

به نام خدا



Multi-Fractal Analysis

Seyed Mohammad Sadegh Movahed^{1,2}

<http://faculties.sbu.ac.ir/~movahed>

Outline

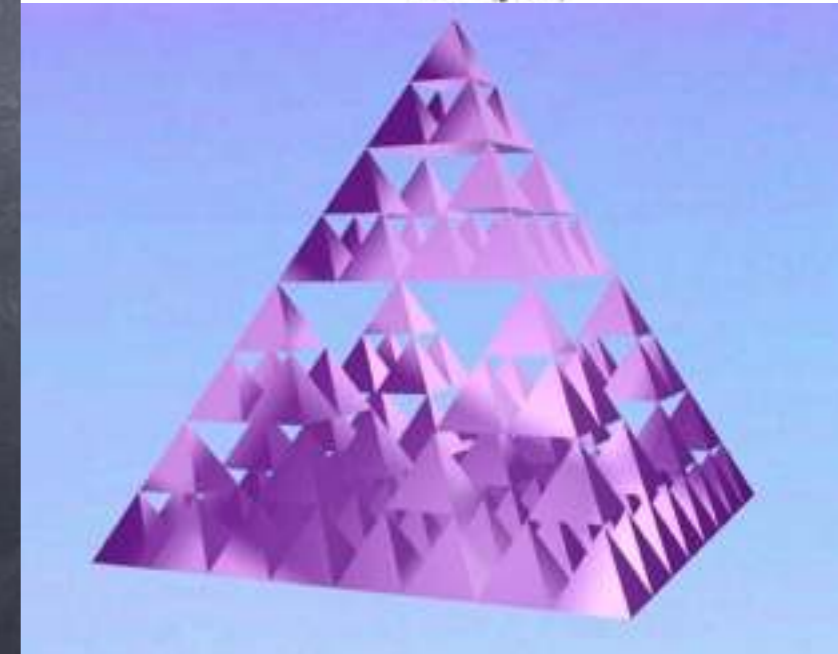
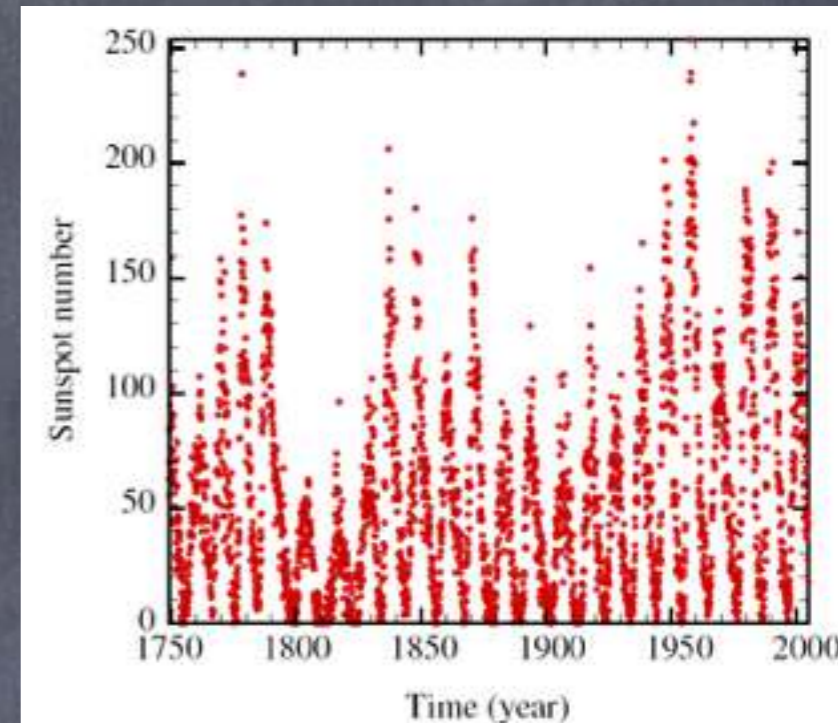
- Motivations
- A brief explanation about Self-similar and self-affine models
- Novel methods in multifractal analysis
- Relation between so-called Hurst exponent and other scaling exponent in 1 and 2 dimensions
- Trends and undesired noise in time series
 - 1) Polynomial trends
 - 2) Sinusoidal trends
- Detrending procedures: F-DFA, SVD and EMD
- Summary

Some relevant references

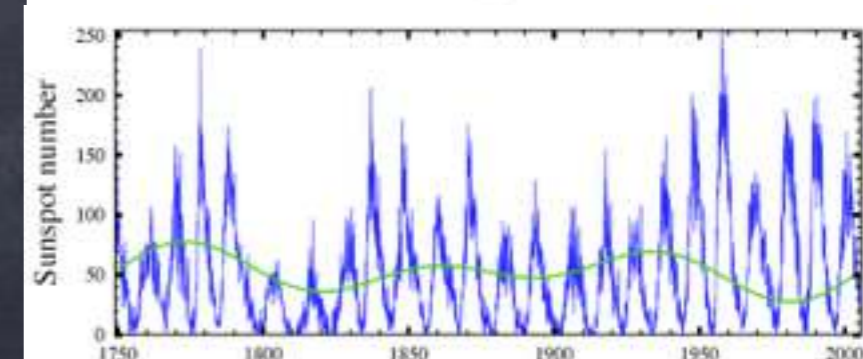
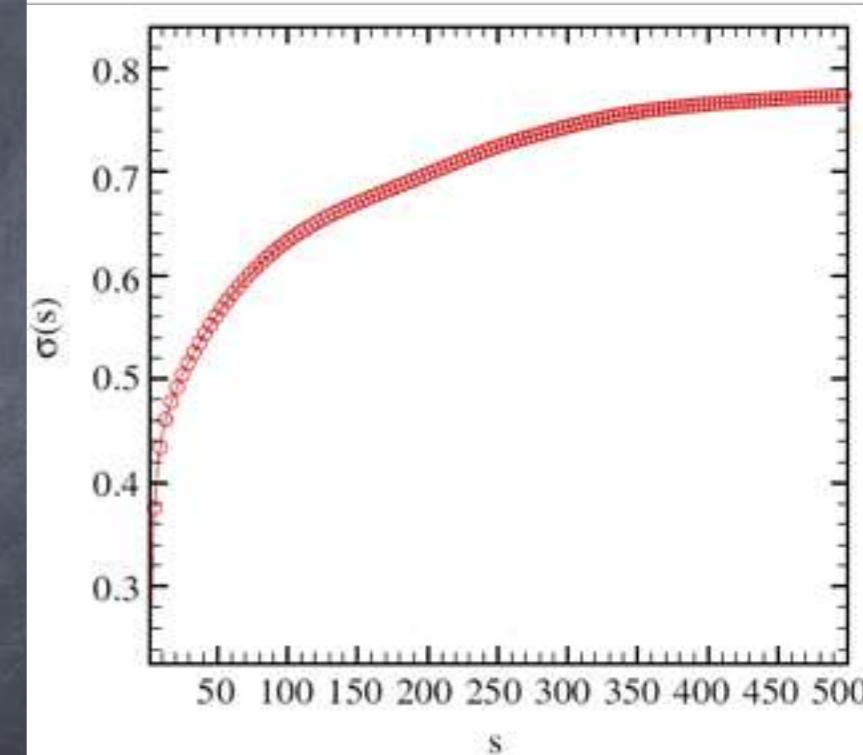
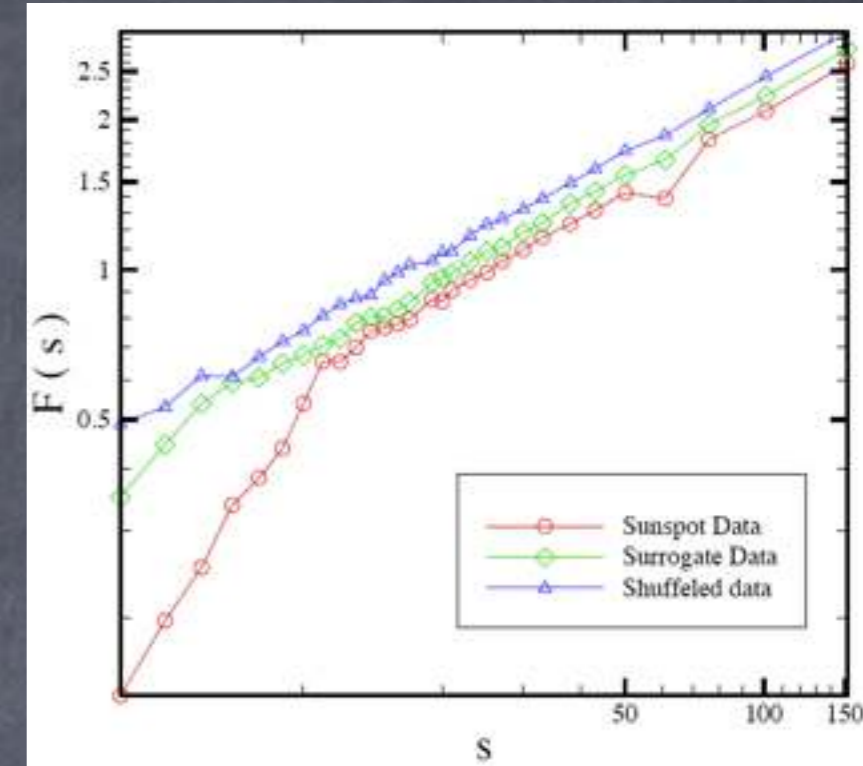
- <http://sharif.ir/~rahimitabar/>
- <http://faculties.sbu.ac.it/~movahed>
- arXiv:0804.0747
- PRE, 74, 061104 (2006)
- Physica A 316, 87-114 (2002)
- PRE 71, 011104 (2005); arXiv:physics/0103018
- Physica A 357, 447-454 (2005); Physica A 354, 182-198 (2005); Chaos, Solitons and fractals 26, 777-784 (2005)
- PNAS, 104, 38 (2007)
- Physiol. Meas. 23 (2002) R1-R38

Glossary

- **Complex system:** A system consisting of many non-linear components.
- **Time series:** One dimensional array representing value of an observable based on dynamical variable so-called time.
- **Scaling law:** A power law function describing the behavior of a typical physical quantity.
- **Fractal and multifractal systems:** A typical system which characterized by a scaling law with non-integer exponent in all scaling ranges. On the other hand, multifractal has infinite number of different fractal exponents. Each of them are valid in proper scaling range.



- Self-similar and self-affine:** Magnification of system's parts in every directions have same scaling exponent for matching to whole of system. While self-affinity is a generalization for anisotropic scaling behavior.
- Cross-over:** Changing in the scaling behavior
- Non-stationary:** The weak definition is concerned to changing the mean standard deviation of time series with time. Strong definition of stationarity requires that all moments remain constant. Usually external affects cause nonstationarity in time series.
- Trend and detrending:** It is an intrinsically fitted monotonic function or a function in which there can be at most one extremum within a given data span. Detrending is the operation of removing trend



Phenomena type

Deterministic

+

Cheotic

+

Stochastic

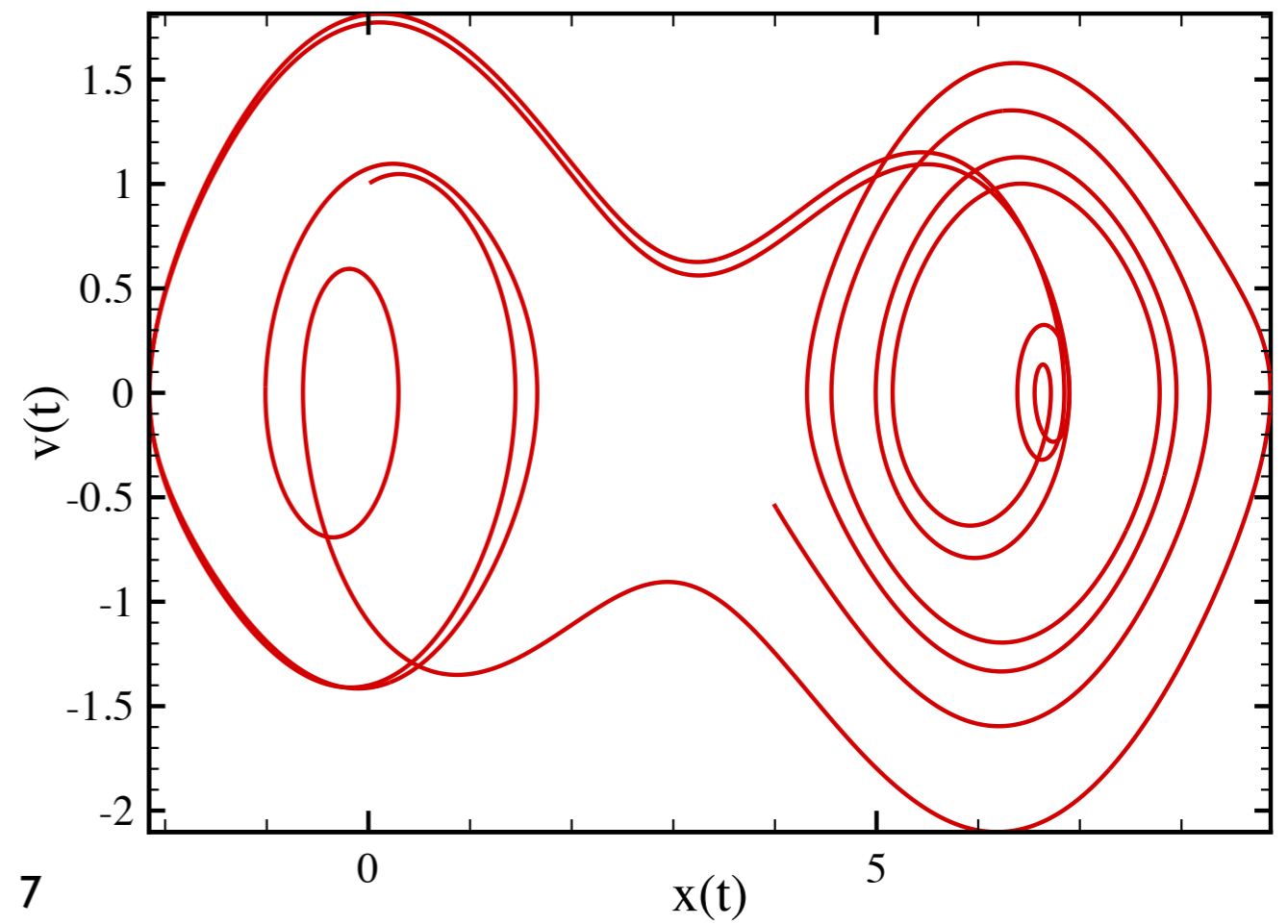
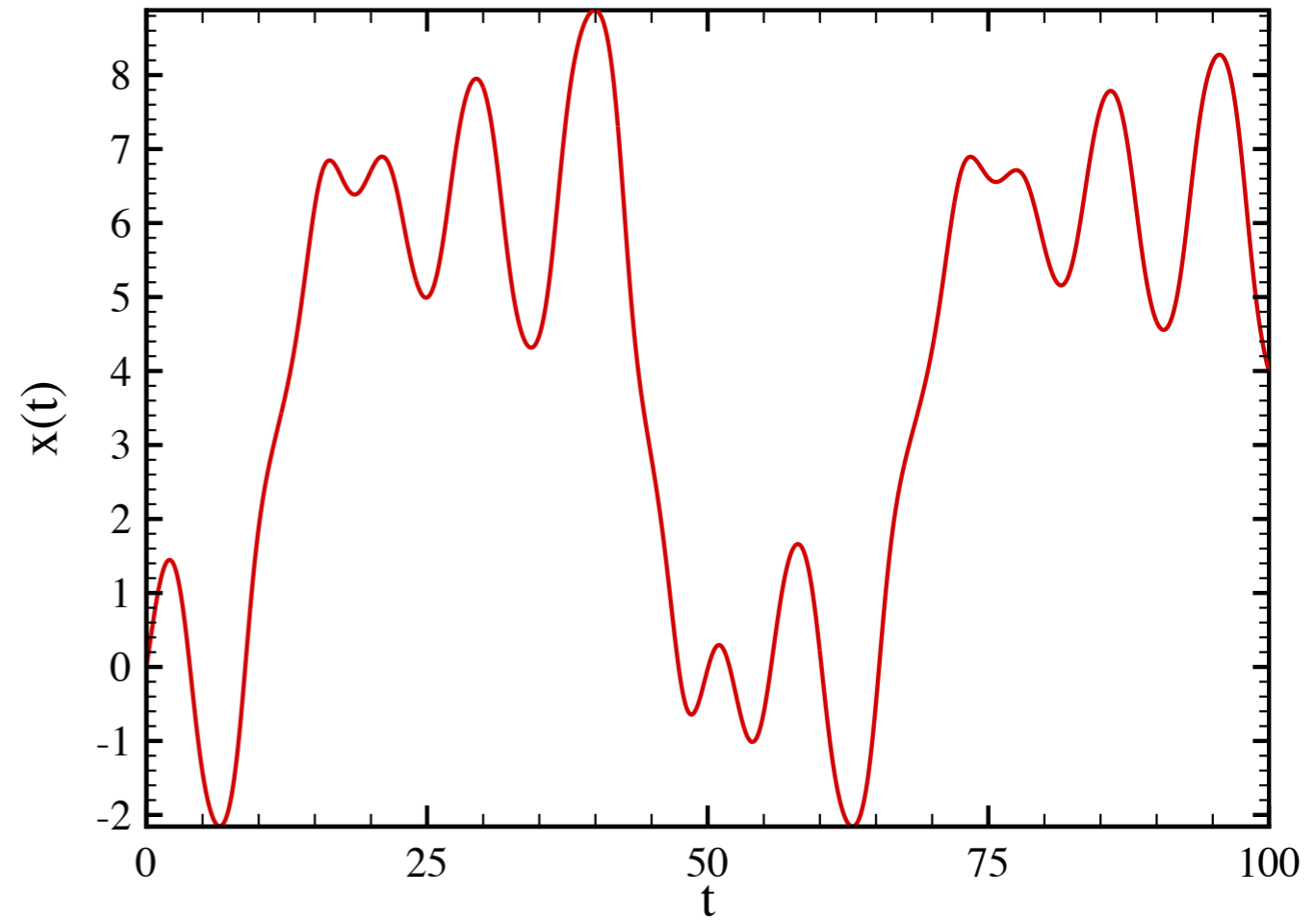
Purely random

Dependent

Markov

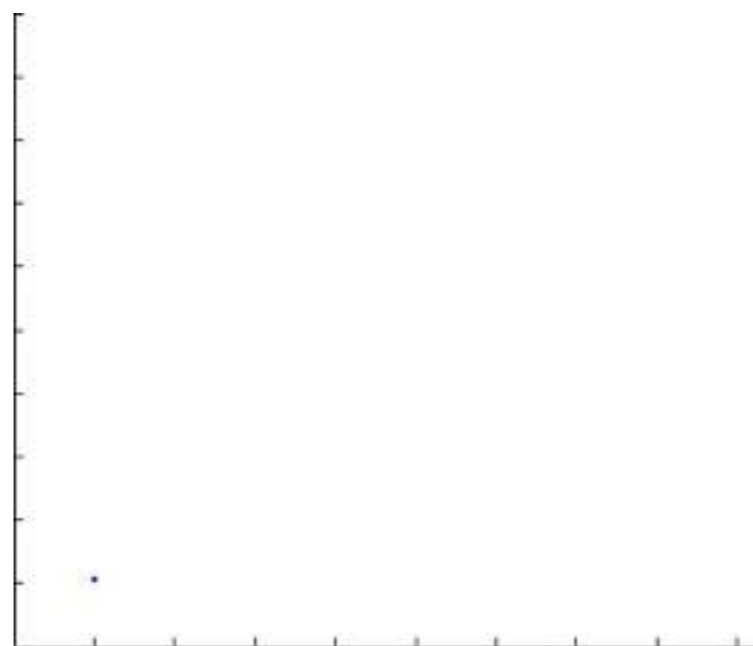
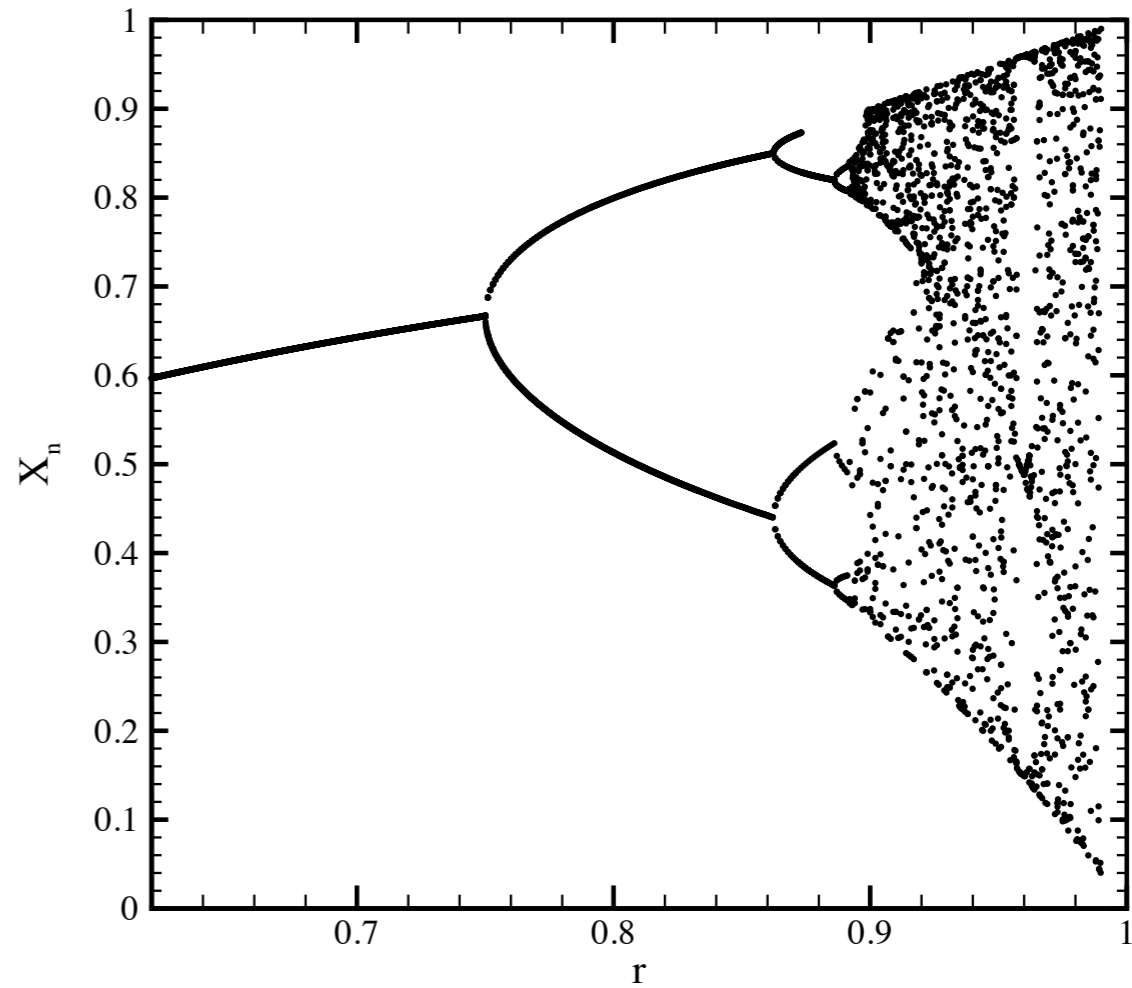
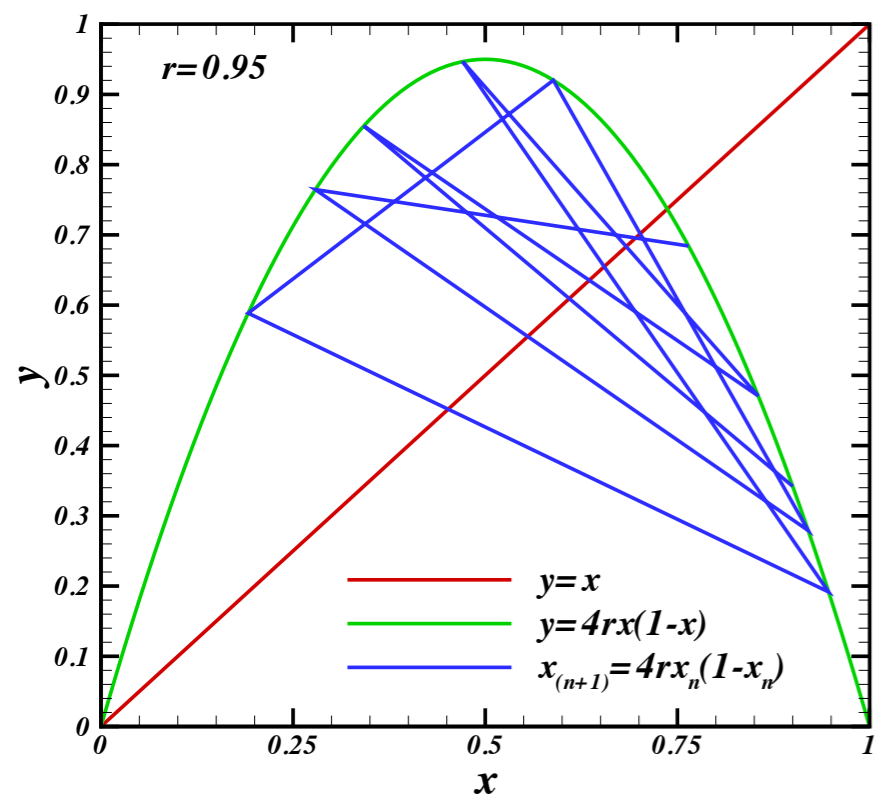
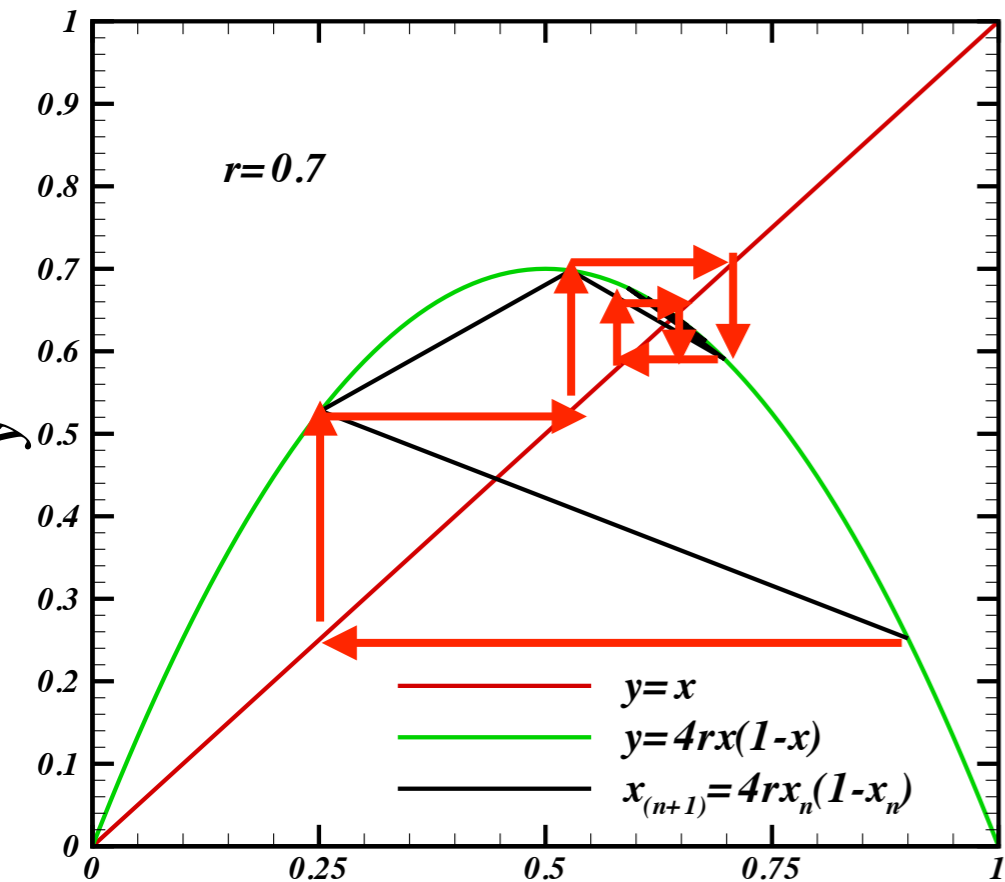
$$\ddot{x}(t) + \alpha \dot{x}(t) + \omega_0^2 \sin(x(t)) = f \cos(\omega t)$$

$$\alpha = 0.2, \quad \omega_0 = 1, \quad f = 0.52, \quad \omega = 0.666$$



Logistic map

$$X_{n+1} = 4rX_n(1-X_n)$$



3) Stochastic Processes

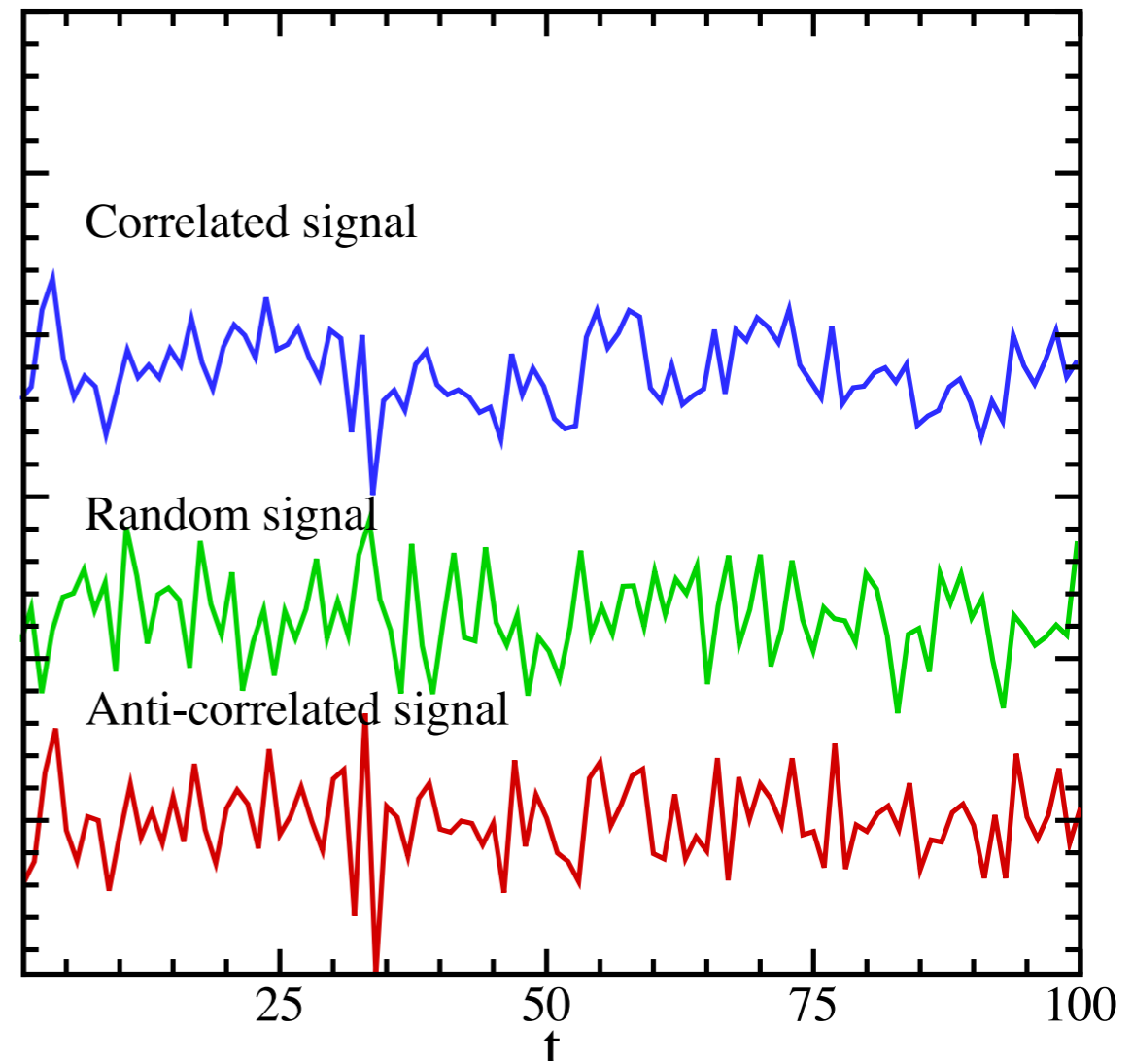
- Purely Random processes

- Dependent processes

- Markov processes

1) Probability distribution function

2) Weighted and Un-weighted Correlation functions



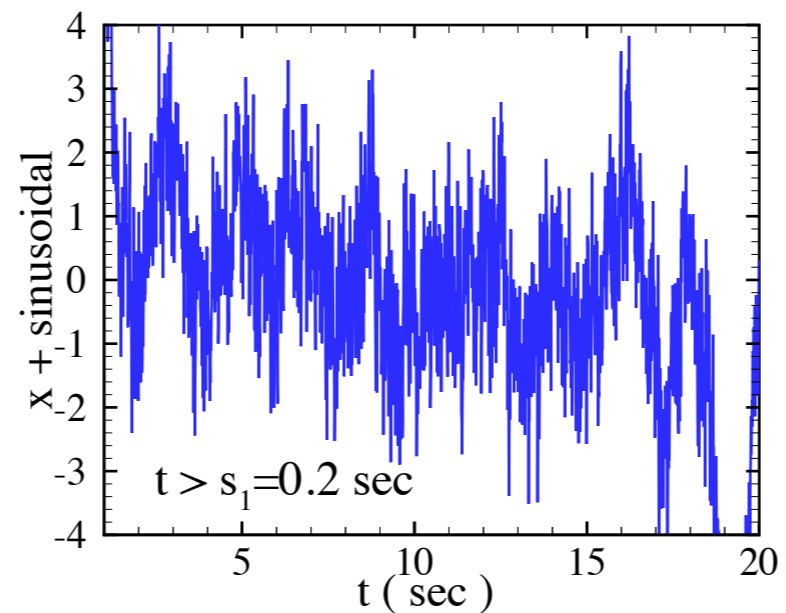
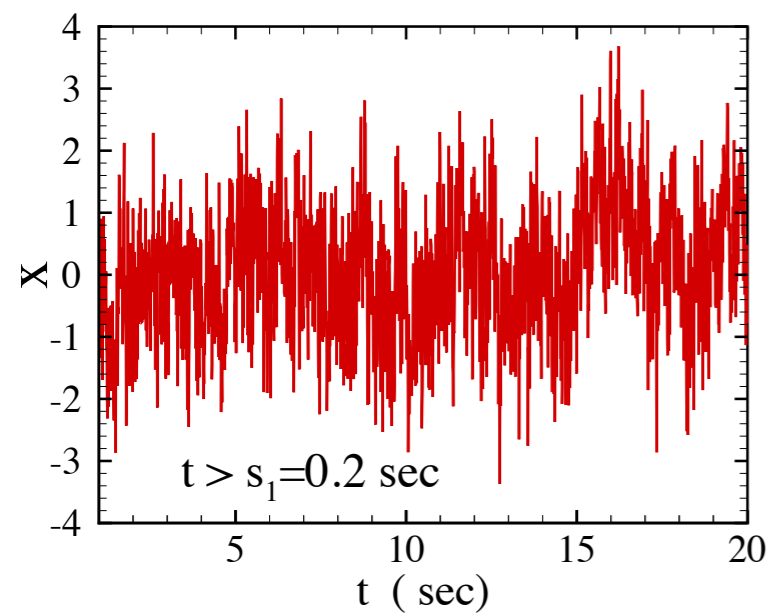
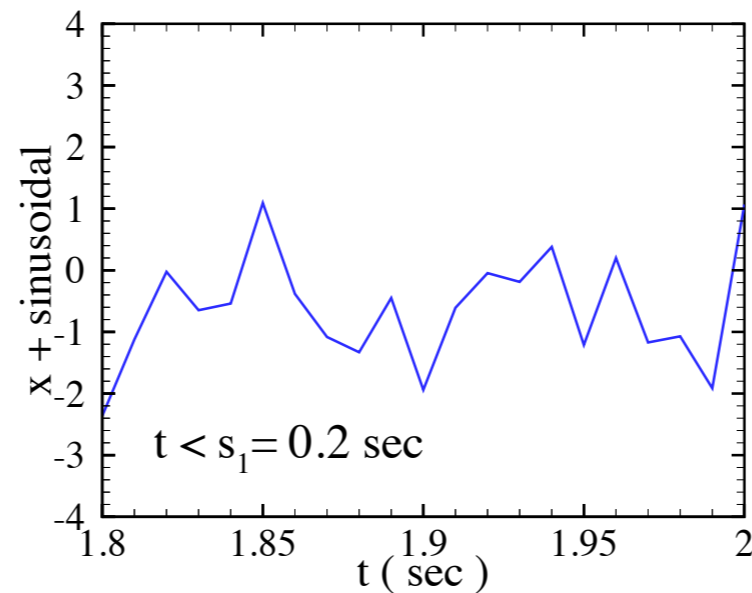
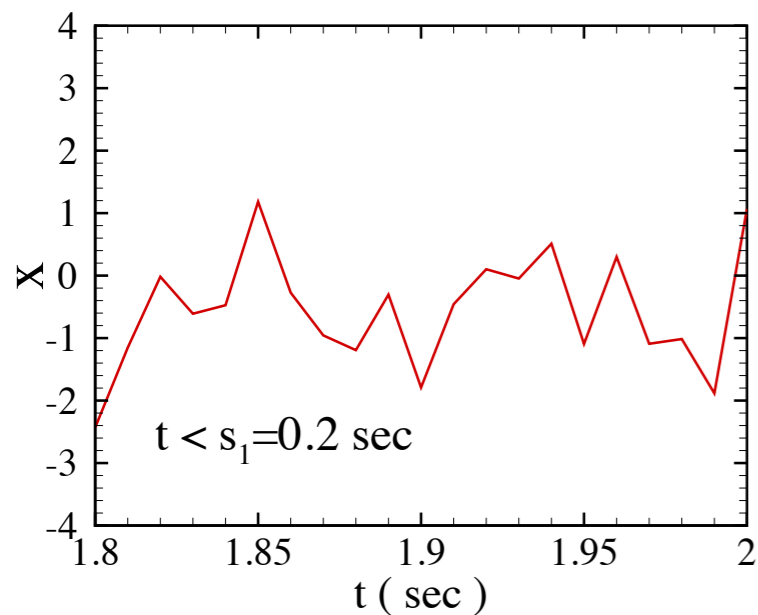
$$\dot{x}_i(t) + \sum_{j=1}^M \xi_{ij} x_j = \eta_i(t)$$

$$\langle \eta_i(t) \eta_j(t') \rangle = \delta_{ij} \delta_D(t-t')$$

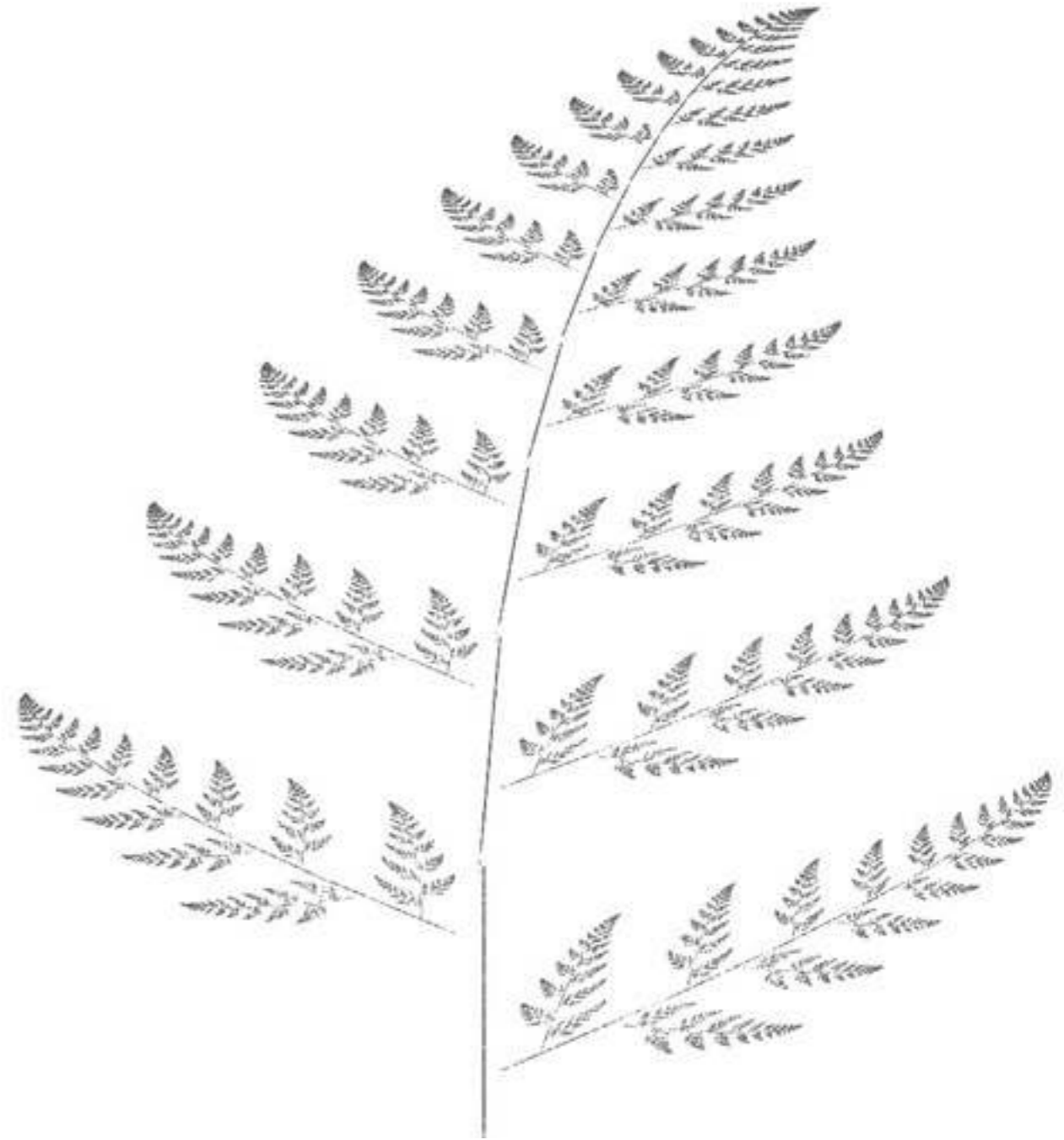
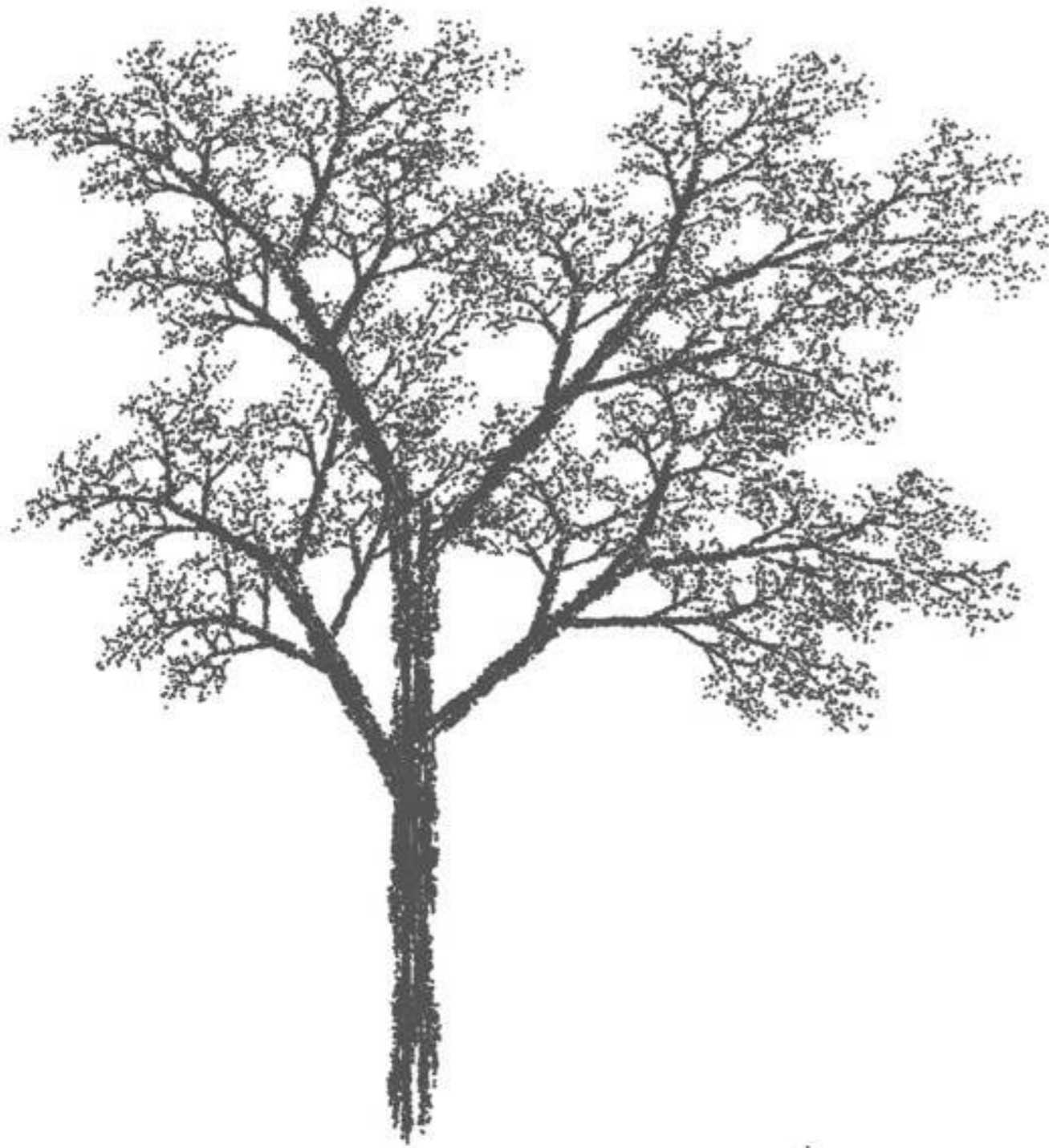
$\dot{x}(t) = -\xi v(t) + \eta(t) \rightarrow$ Stationary regime \rightarrow M.B. Distribution

Self-similarity and scale

Scale dependency
(Multifractal) Self-similarity and
Self-affinity
Complexity



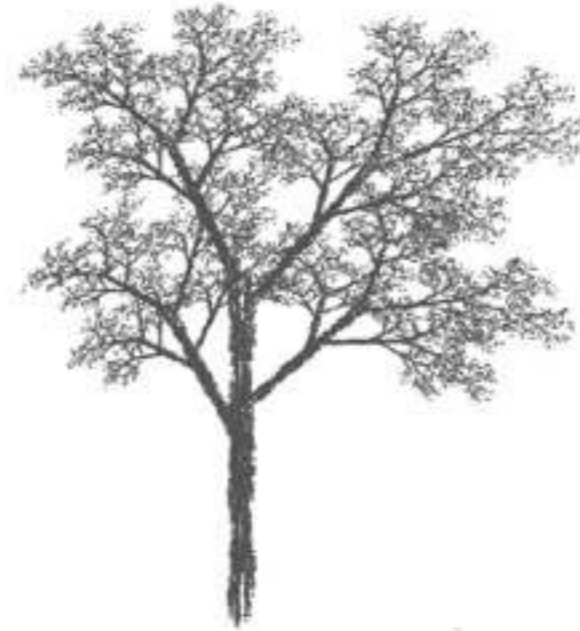
Self-similar process



To know more see: <http://facultymembers.sbu.ac.ir/movahed/index.php/talks-a-presentations>

تاریخچه

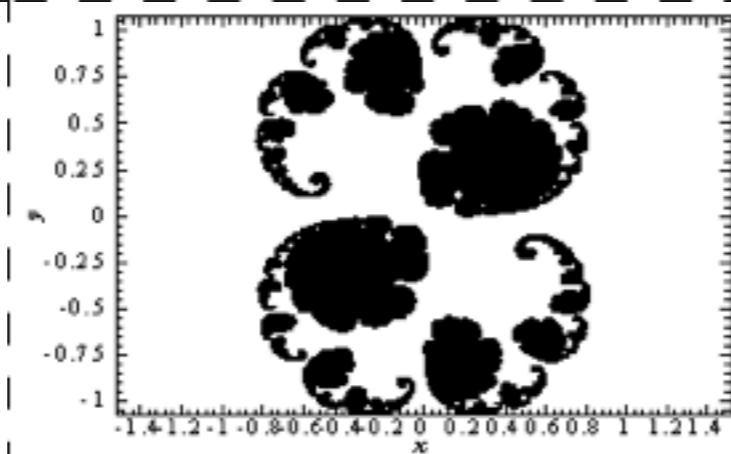
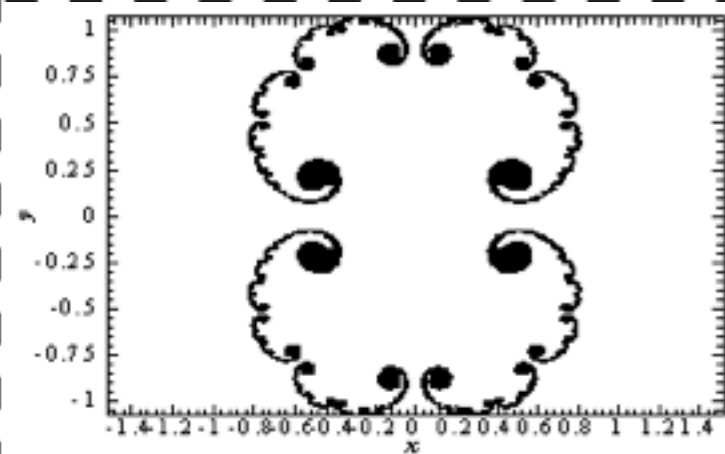
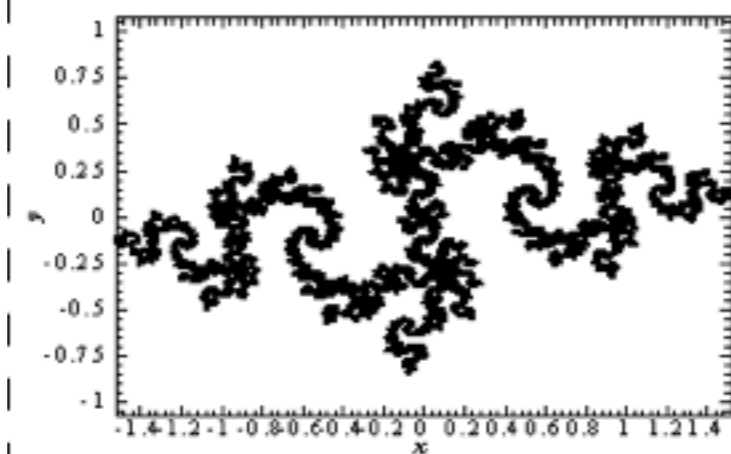
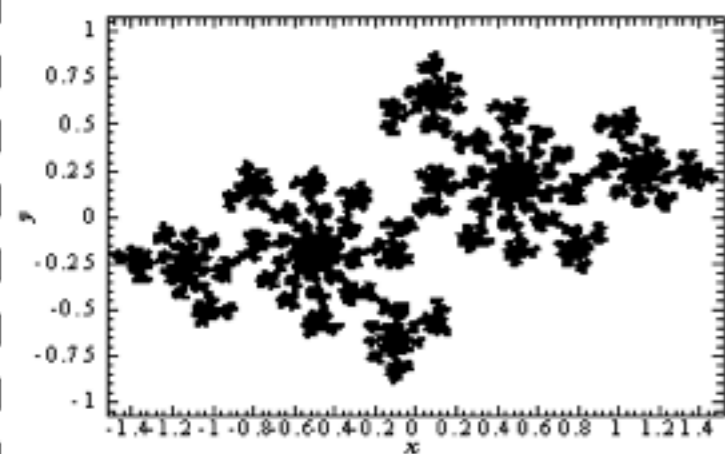
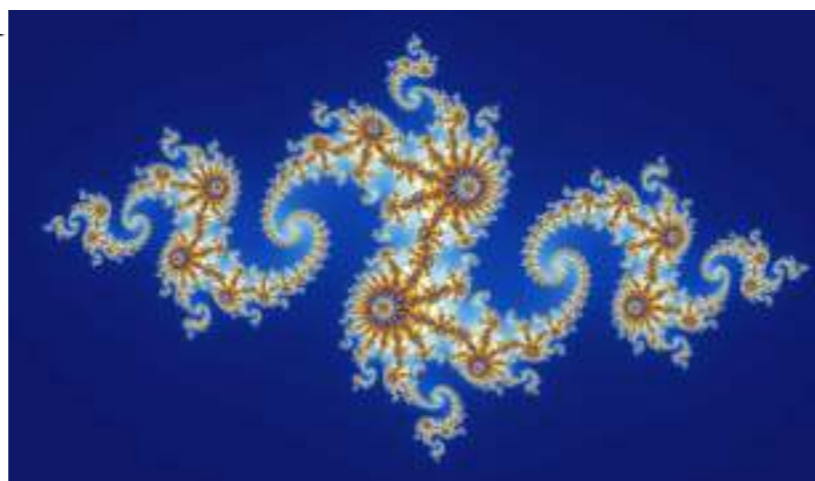
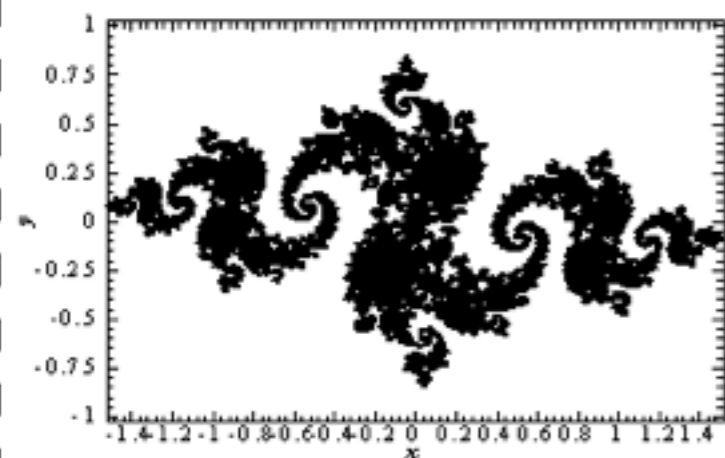
- ~1700 A.D. Gottfried Leibniz
- ~1872 A.D. Karl Weierstrass
- ~1904 A.D. Helge von Koch
- ~1915 A.D. Waclaw Seirpinski
- ~1951 A.D. H. E. Hurst
- ~1968 A.D. B. B. Mandelbrot



Weierstrass



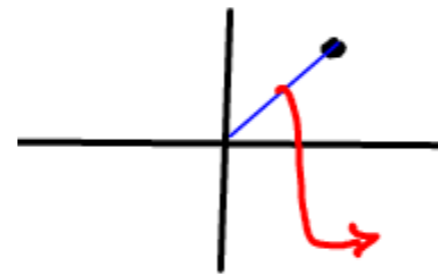
فراکتال (برخال) های هندسی



روش کار برای Mandel brot set

- ① شروع از ناحیه ای
- $-2 \leq x \leq 2$
 - $-2 \leq y \leq 2$

پس $(x_k$ و y_k) به عنوان ورودی



② فاصله فاصله این نقطه از مرکز

$$\text{Length} = (x_k^2 + y_k^2)^{1/2}$$

③ اگر $\text{Length} < 2$ به مرحله بعدی برود

④ تا مادامی که شرط خروج ارضا نشود مراحل زیر انجام شود:

Do while ($n < \text{iteration}$ and $\text{length_New} < 2$)

$$n = n + 1$$

$$Z_{\text{New}} = Z_{\text{old}}^2 + x_k + iy_k$$

$$Z_{\text{old}} = Z_{\text{New}}$$

$$\text{length_New} = |Z_{\text{old}}|^2$$

End do

۵۔ پھر شورہ آیا $(x_k \text{ و } y_k)$ انتخاب شدہ شرط
عصوبیت در نظر فوالتالی را دارد؟

این پوریشن این است که دلیل خروج از حلقه ۴ به سبب
بیرون افتادن از ریمه ای به تابع ۱ است؟ یا به دلیل اینکه

n از کمیت Iteration تیرتر شده است؟

در صورتی که دلیل خروج به سبب دلیل دوم بوده باشد پس

نقطه $(x_k \text{ و } y_k)$ عضو شکل است

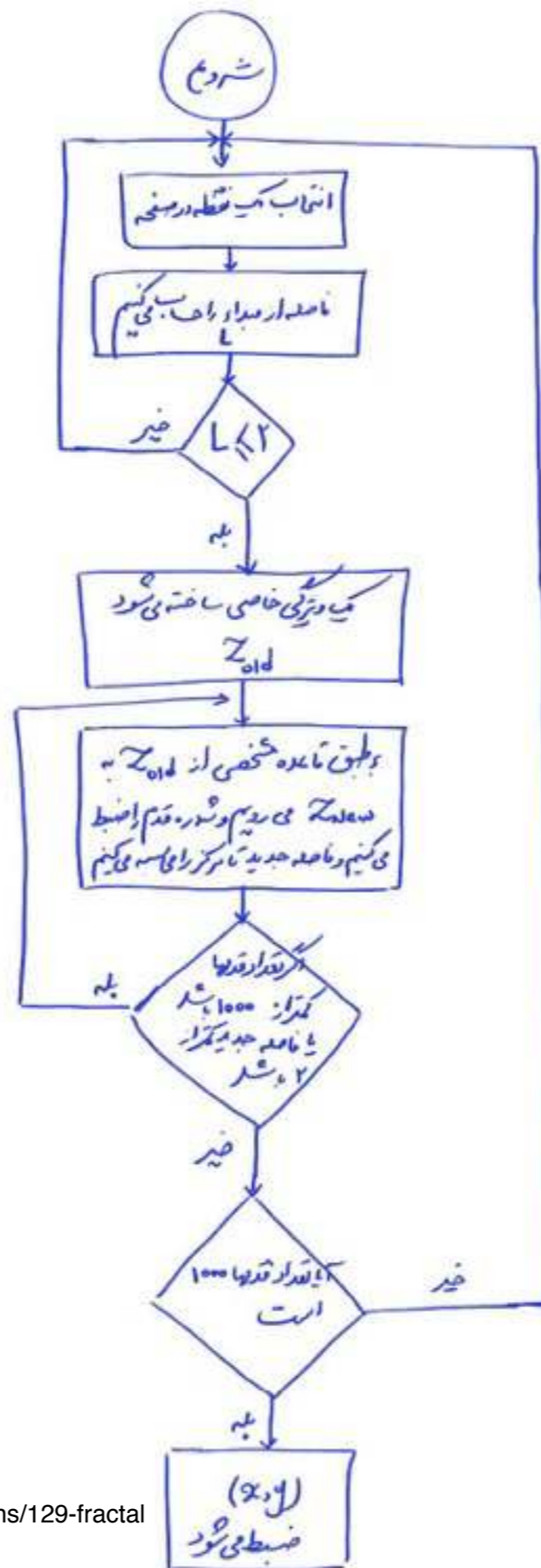
پس
if (Length-New < 2) Then

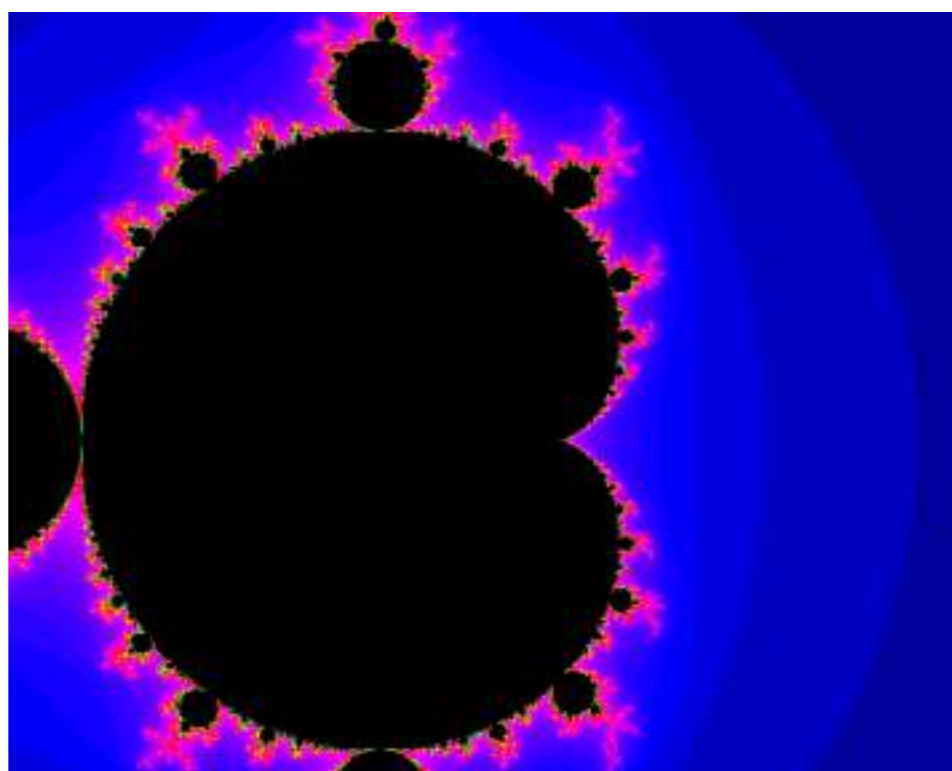
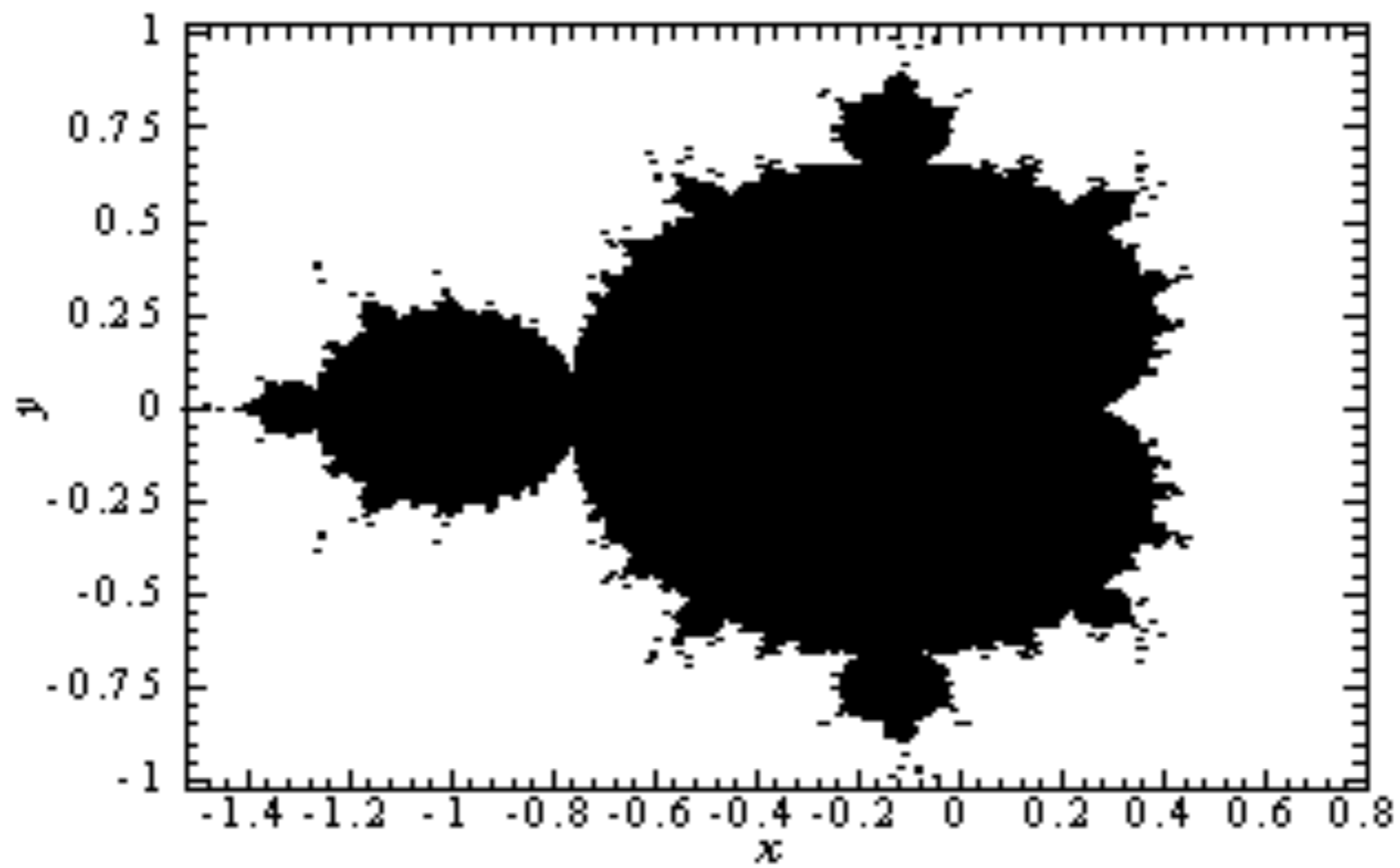
write (*,*) x_k, y_k

④ دوباره به ابتدای برنامه برویم و محبت جدیدی

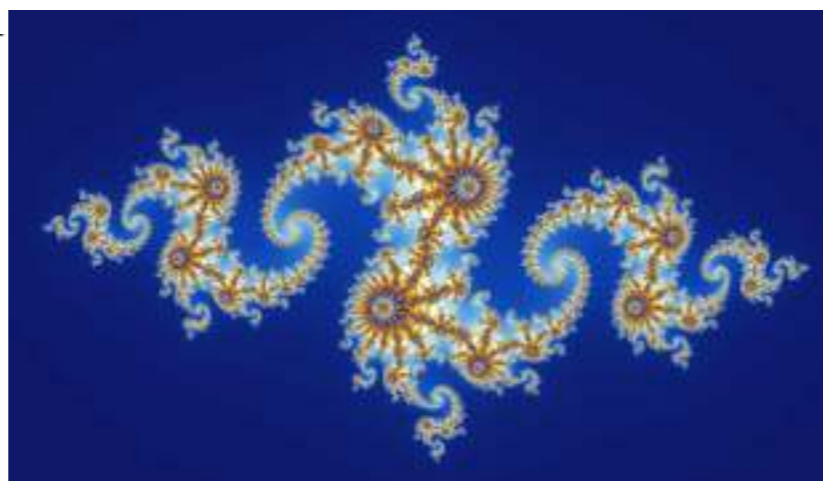
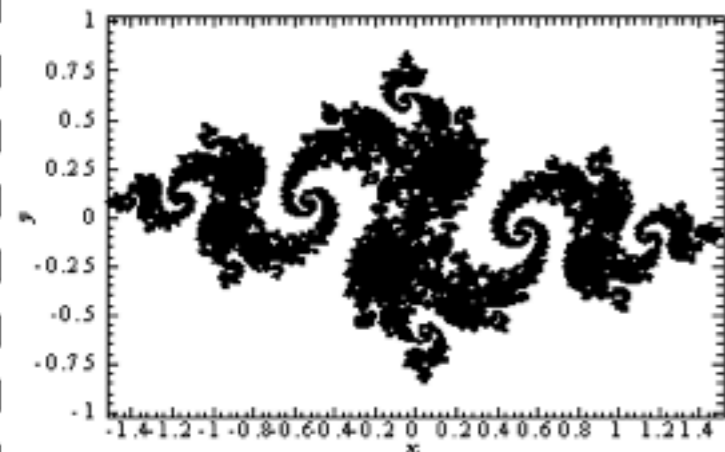
انتخاب کنیم و در مرحله ۱، ۲، ۳، ۴، ۵، ۶، ۷، ۸، ۹، ۱۰، ۱۱، ۱۲، ۱۳، ۱۴، ۱۵، ۱۶، ۱۷، ۱۸، ۱۹، ۲۰، ۲۱، ۲۲، ۲۳، ۲۴، ۲۵، ۲۶، ۲۷، ۲۸، ۲۹، ۳۰، ۳۱، ۳۲، ۳۳، ۳۴، ۳۵، ۳۶، ۳۷، ۳۸، ۳۹، ۴۰، ۴۱، ۴۲، ۴۳، ۴۴، ۴۵، ۴۶، ۴۷، ۴۸، ۴۹، ۵۰، ۵۱، ۵۲، ۵۳، ۵۴، ۵۵، ۵۶، ۵۷، ۵۸، ۵۹، ۶۰، ۶۱، ۶۲، ۶۳، ۶۴، ۶۵، ۶۶، ۶۷، ۶۸، ۶۹، ۷۰، ۷۱، ۷۲، ۷۳، ۷۴، ۷۵، ۷۶، ۷۷، ۷۸، ۷۹، ۸۰، ۸۱، ۸۲، ۸۳، ۸۴، ۸۵، ۸۶، ۸۷، ۸۸، ۸۹، ۹۰، ۹۱، ۹۲، ۹۳، ۹۴، ۹۵، ۹۶، ۹۷، ۹۸، ۹۹، ۱۰۰، ۱۰۱، ۱۰۲، ۱۰۳، ۱۰۴، ۱۰۵، ۱۰۶، ۱۰۷، ۱۰۸، ۱۰۹، ۱۱۰، ۱۱۱، ۱۱۲، ۱۱۳، ۱۱۴، ۱۱۵، ۱۱۶، ۱۱۷، ۱۱۸، ۱۱۹، ۱۲۰، ۱۲۱، ۱۲۲، ۱۲۳، ۱۲۴، ۱۲۵، ۱۲۶، ۱۲۷، ۱۲۸، ۱۲۹، ۱۳۰، ۱۳۱، ۱۳۲، ۱۳۳، ۱۳۴، ۱۳۵، ۱۳۶، ۱۳۷، ۱۳۸، ۱۳۹، ۱۴۰، ۱۴۱، ۱۴۲، ۱۴۳، ۱۴۴، ۱۴۵، ۱۴۶، ۱۴۷، ۱۴۸، ۱۴۹، ۱۵۰، ۱۵۱، ۱۵۲، ۱۵۳، ۱۵۴، ۱۵۵، ۱۵۶، ۱۵۷، ۱۵۸، ۱۵۹، ۱۶۰، ۱۶۱، ۱۶۲، ۱۶۳، ۱۶۴، ۱۶۵، ۱۶۶، ۱۶۷، ۱۶۸، ۱۶۹، ۱۷۰، ۱۷۱، ۱۷۲، ۱۷۳، ۱۷۴، ۱۷۵، ۱۷۶، ۱۷۷، ۱۷۸، ۱۷۹، ۱۸۰، ۱۸۱، ۱۸۲، ۱۸۳، ۱۸۴، ۱۸۵، ۱۸۶، ۱۸۷، ۱۸۸، ۱۸۹، ۱۹۰، ۱۹۱، ۱۹۲، ۱۹۳، ۱۹۴، ۱۹۵، ۱۹۶، ۱۹۷، ۱۹۸، ۱۹۹، ۲۰۰، ۲۰۱، ۲۰۲، ۲۰۳، ۲۰۴، ۲۰۵، ۲۰۶، ۲۰۷، ۲۰۸، ۲۰۹، ۲۱۰، ۲۱۱، ۲۱۲، ۲۱۳، ۲۱۴، ۲۱۵، ۲۱۶، ۲۱۷، ۲۱۸، ۲۱۹، ۲۲۰، ۲۲۱، ۲۲۲، ۲۲۳، ۲۲۴، ۲۲۵، ۲۲۶، ۲۲۷، ۲۲۸، ۲۲۹، ۲۳۰، ۲۳۱، ۲۳۲، ۲۳۳، ۲۳۴، ۲۳۵، ۲۳۶، ۲۳۷، ۲۳۸، ۲۳۹، ۲۴۰، ۲۴۱، ۲۴۲، ۲۴۳، ۲۴۴، ۲۴۵، ۲۴۶، ۲۴۷، ۲۴۸، ۲۴۹، ۲۵۰، ۲۵۱، ۲۵۲، ۲۵۳، ۲۵۴، ۲۵۵، ۲۵۶، ۲۵۷، ۲۵۸، ۲۵۹، ۲۶۰، ۲۶۱، ۲۶۲، ۲۶۳، ۲۶۴، ۲۶۵، ۲۶۶، ۲۶۷، ۲۶۸، ۲۶۹، ۲۷۰، ۲۷۱، ۲۷۲، ۲۷۳، ۲۷۴، ۲۷۵، ۲۷۶، ۲۷۷، ۲۷۸، ۲۷۹، ۲۸۰، ۲۸۱، ۲۸۲، ۲۸۳، ۲۸۴، ۲۸۵، ۲۸۶، ۲۸۷، ۲۸۸، ۲۸۹، ۲۹۰، ۲۹۱، ۲۹۲، ۲۹۳، ۲۹۴، ۲۹۵، ۲۹۶، ۲۹۷، ۲۹۸، ۲۹۹، ۳۰۰، ۳۰۱، ۳۰۲، ۳۰۳، ۳۰۴، ۳۰۵، ۳۰۶، ۳۰۷، ۳۰۸، ۳۰۹، ۳۱۰، ۳۱۱، ۳۱۲، ۳۱۳، ۳۱۴، ۳۱۵، ۳۱۶، ۳۱۷، ۳۱۸، ۳۱۹، ۳۲۰، ۳۲۱، ۳۲۲، ۳۲۳، ۳۲۴، ۳۲۵، ۳۲۶، ۳۲۷، ۳۲۸، ۳۲۹، ۳۳۰، ۳۳۱، ۳۳۲، ۳۳۳، ۳۳۴، ۳۳۵، ۳۳۶، ۳۳۷، ۳۳۸، ۳۳۹، ۳۴۰، ۳۴۱، ۳۴۲، ۳۴۳، ۳۴۴، ۳۴۵، ۳۴۶، ۳۴۷، ۳۴۸، ۳۴۹، ۳۵۰، ۳۵۱، ۳۵۲، ۳۵۳، ۳۵۴، ۳۵۵، ۳۵۶، ۳۵۷، ۳۵۸، ۳۵۹، ۳۶۰، ۳۶۱، ۳۶۲، ۳۶۳، ۳۶۴، ۳۶۵، ۳۶۶، ۳۶۷، ۳۶۸، ۳۶۹، ۳۷۰، ۳۷۱، ۳۷۲، ۳۷۳، ۳۷۴، ۳۷۵، ۳۷۶، ۳۷۷، ۳۷۸، ۳۷۹، ۳۸۰، ۳۸۱، ۳۸۲، ۳۸۳، ۳۸۴، ۳۸۵، ۳۸۶، ۳۸۷، ۳۸۸، ۳۸۹، ۳۹۰، ۳۹۱، ۳۹۲، ۳۹۳، ۳۹۴، ۳۹۵، ۳۹۶، ۳۹۷، ۳۹۸، ۳۹۹، ۴۰۰، ۴۰۱، ۴۰۲، ۴۰۳، ۴۰۴، ۴۰۵، ۴۰۶، ۴۰۷، ۴۰۸، ۴۰۹، ۴۱۰، ۴۱۱، ۴۱۲، ۴۱۳، ۴۱۴، ۴۱۵، ۴۱۶، ۴۱۷، ۴۱۸، ۴۱۹، ۴۲۰، ۴۲۱، ۴۲۲، ۴۲۳، ۴۲۴، ۴۲۵، ۴۲۶، ۴۲۷، ۴۲۸، ۴۲۹، ۴۳۰، ۴۳۱، ۴۳۲، ۴۳۳، ۴۳۴، ۴۳۵، ۴۳۶، ۴۳۷، ۴۳۸، ۴۳۹، ۴۴۰، ۴۴۱، ۴۴۲، ۴۴۳، ۴۴۴، ۴۴۵، ۴۴۶، ۴۴۷، ۴۴۸، ۴۴۹، ۴۵۰، ۴۵۱، ۴۵۲، ۴۵۳، ۴۵۴، ۴۵۵، ۴۵۶، ۴۵۷، ۴۵۸، ۴۵۹، ۴۶۰، ۴۶۱، ۴۶۲، ۴۶۳، ۴۶۴، ۴۶۵، ۴۶۶، ۴۶۷، ۴۶۸، ۴۶۹، ۴۷۰، ۴۷۱، ۴۷۲، ۴۷۳، ۴۷۴، ۴۷۵، ۴۷۶، ۴۷۷، ۴۷۸، ۴۷۹، ۴۸۰، ۴۸۱، ۴۸۲، ۴۸۳، ۴۸۴، ۴۸۵، ۴۸۶، ۴۸۷، ۴۸۸، ۴۸۹، ۴۹۰، ۴۹۱، ۴۹۲، ۴۹۳، ۴۹۴، ۴۹۵، ۴۹۶، ۴۹۷، ۴۹۸، ۴۹۹، ۵۰۰، ۵۰۱، ۵۰۲، ۵۰۳، ۵۰۴، ۵۰۵، ۵۰۶، ۵۰۷، ۵۰۸، ۵۰۹، ۵۱۰، ۵۱۱، ۵۱۲، ۵۱۳، ۵۱۴، ۵۱۵، ۵۱۶، ۵۱۷، ۵۱۸، ۵۱۹، ۵۲۰، ۵۲۱، ۵۲۲، ۵۲۳، ۵۲۴، ۵۲۵، ۵۲۶، ۵۲۷، ۵۲۸، ۵۲۹، ۵۳۰، ۵۳۱، ۵۳۲، ۵۳۳، ۵۳۴، ۵۳۵، ۵۳۶، ۵۳۷، ۵۳۸، ۵۳۹، ۵۴۰، ۵۴۱، ۵۴۲، ۵۴۳، ۵۴۴، ۵۴۵، ۵۴۶، ۵۴۷، ۵۴۸، ۵۴۹، ۵۵۰، ۵۵۱، ۵۵۲، ۵۵۳، ۵۵۴، ۵۵۵، ۵۵۶، ۵۵۷، ۵۵۸، ۵۵۹، ۵۶۰، ۵۶۱، ۵۶۲، ۵۶۳، ۵۶۴، ۵۶۵، ۵۶۶، ۵۶۷، ۵۶۸، ۵۶۹، ۵۷۰، ۵۷۱، ۵۷۲، ۵۷۳، ۵۷۴، ۵۷۵، ۵۷۶، ۵۷۷، ۵۷۸، ۵۷۹، ۵۸۰، ۵۸۱، ۵۸۲، ۵۸۳، ۵۸۴، ۵۸۵، ۵۸۶، ۵۸۷، ۵۸۸، ۵۸۹، ۵۹۰، ۵۹۱، ۵۹۲، ۵۹۳، ۵۹۴، ۵۹۵، ۵۹۶، ۵۹۷، ۵۹۸، ۵۹۹، ۶۰۰، ۶۰۱، ۶۰۲، ۶۰۳، ۶۰۴، ۶۰۵، ۶۰۶، ۶۰۷، ۶۰۸، ۶۰۹، ۶۱۰، ۶۱۱، ۶۱۲، ۶۱۳، ۶۱۴، ۶۱۵، ۶۱۶، ۶۱۷، ۶۱۸، ۶۱۹، ۶۲۰، ۶۲۱، ۶۲۲، ۶۲۳، ۶۲۴، ۶۲۵، ۶۲۶، ۶۲۷، ۶۲۸، ۶۲۹، ۶۳۰، ۶۳۱، ۶۳۲، ۶۳۳، ۶۳۴، ۶۳۵، ۶۳۶، ۶۳۷، ۶۳۸، ۶۳۹، ۶۴۰، ۶۴۱، ۶۴۲، ۶۴۳، ۶۴۴، ۶۴۵، ۶۴۶، ۶۴۷، ۶۴۸، ۶۴۹، ۶۵۰، ۶۵۱، ۶۵۲، ۶۵۳، ۶۵۴، ۶۵۵، ۶۵۶، ۶۵۷، ۶۵۸، ۶۵۹، ۶۶۰، ۶۶۱، ۶۶۲، ۶۶۳، ۶۶۴، ۶۶۵، ۶۶۶، ۶۶۷، ۶۶۸، ۶۶۹، ۶۷۰، ۶۷۱، ۶۷۲، ۶۷۳، ۶۷۴، ۶۷۵، ۶۷۶، ۶۷۷، ۶۷۸، ۶۷۹، ۶۸۰، ۶۸۱، ۶۸۲، ۶۸۳، ۶۸۴، ۶۸۵، ۶۸۶، ۶۸۷، ۶۸۸، ۶۸۹، ۶۹۰، ۶۹۱، ۶۹۲، ۶۹۳، ۶۹۴، ۶۹۵، ۶۹۶، ۶۹۷، ۶۹۸، ۶۹۹، ۷۰۰، ۷۰۱، ۷۰۲، ۷۰۳، ۷۰۴، ۷۰۵، ۷۰۶، ۷۰۷، ۷۰۸، ۷۰۹، ۷۱۰، ۷۱۱، ۷۱۲، ۷۱۳، ۷۱۴، ۷۱۵، ۷۱۶، ۷۱۷، ۷۱۸، ۷۱۹، ۷۲۰، ۷۲۱، ۷۲۲، ۷۲۳، ۷۲۴، ۷۲۵، ۷۲۶، ۷۲۷، ۷۲۸، ۷۲۹، ۷۳۰، ۷۳۱، ۷۳۲، ۷۳۳، ۷۳۴، ۷۳۵، ۷۳۶، ۷۳۷، ۷۳۸، ۷۳۹، ۷۴۰، ۷۴۱، ۷۴۲، ۷۴۳، ۷۴۴، ۷۴۵، ۷۴۶، ۷۴۷، ۷۴۸، ۷۴۹، ۷۵۰، ۷۵۱، ۷۵۲، ۷۵۳، ۷۵۴، ۷۵۵، ۷۵۶، ۷۵۷، ۷۵۸، ۷۵۹، ۷۶۰، ۷۶۱، ۷۶۲، ۷۶۳، ۷۶۴، ۷۶۵، ۷۶۶، ۷۶۷، ۷۶۸، ۷۶۹، ۷۷۰، ۷۷۱، ۷۷۲، ۷۷۳، ۷۷۴، ۷۷۵، ۷۷۶، ۷۷۷، ۷۷۸، ۷۷۹، ۷۸۰، ۷۸۱، ۷۸۲، ۷۸۳، ۷۸۴، ۷۸۵، ۷۸۶، ۷۸۷، ۷۸۸، ۷۸۹، ۷۹۰، ۷۹۱، ۷۹۲، ۷۹۳، ۷۹۴، ۷۹۵، ۷۹۶، ۷۹۷، ۷۹۸، ۷۹۹، ۸۰۰، ۸۰۱، ۸۰۲، ۸۰۳، ۸۰۴، ۸۰۵، ۸۰۶، ۸۰۷، ۸۰۸، ۸۰۹، ۸۱۰، ۸۱۱، ۸۱۲، ۸۱۳، ۸۱۴، ۸۱۵، ۸۱۶، ۸۱۷، ۸۱۸، ۸۱۹، ۸۲۰، ۸۲۱، ۸۲۲، ۸۲۳، ۸۲۴، ۸۲۵، ۸۲۶، ۸۲۷، ۸۲۸، ۸۲۹، ۸۳۰، ۸۳۱، ۸۳۲، ۸۳۳، ۸۳۴، ۸۳۵، ۸۳۶، ۸۳۷، ۸۳۸، ۸۳۹، ۸۴۰، ۸۴۱، ۸۴۲، ۸۴۳، ۸۴۴، ۸۴۵، ۸۴۶، ۸۴۷، ۸۴۸، ۸۴۹، ۸۵۰، ۸۵۱، ۸۵۲، ۸۵۳، ۸۵۴، ۸۵۵، ۸۵۶، ۸۵۷، ۸۵۸، ۸۵۹، ۸۶۰، ۸۶۱، ۸۶۲، ۸۶۳، ۸۶۴، ۸۶۵، ۸۶۶، ۸۶۷، ۸۶۸، ۸۶۹، ۸۷۰، ۸۷۱، ۸۷۲، ۸۷۳، ۸۷۴، ۸۷۵، ۸۷۶، ۸۷۷، ۸۷۸، ۸۷۹، ۸۸۰، ۸۸۱، ۸۸۲، ۸۸۳، ۸۸۴، ۸۸۵، ۸۸۶، ۸۸۷، ۸۸۸، ۸۸۹، ۸۹۰، ۸۹۱، ۸۹۲، ۸۹۳، ۸۹۴، ۸۹۵، ۸۹۶، ۸۹۷، ۸۹۸، ۸۹۹، ۹۰۰، ۹۰۱، ۹۰۲، ۹۰۳، ۹۰۴، ۹۰۵، ۹۰۶، ۹۰۷، ۹۰۸، ۹۰۹، ۹۱۰، ۹۱۱، ۹۱۲، ۹۱۳، ۹۱۴، ۹۱۵، ۹۱۶، ۹۱۷، ۹۱۸، ۹۱۹، ۹۲۰، ۹۲۱، ۹۲۲، ۹۲۳، ۹۲۴، ۹۲۵، ۹۲۶، ۹۲۷، ۹۲۸، ۹۲۹، ۹۳۰، ۹۳۱، ۹۳۲، ۹۳۳، ۹۳۴، ۹۳۵، ۹۳۶، ۹۳۷، ۹۳۸، ۹۳۹، ۹۴۰، ۹۴۱، ۹۴۲، ۹۴۳، ۹۴۴، ۹۴۵، ۹۴۶، ۹۴۷، ۹۴۸، ۹۴۹، ۹۵۰، ۹۵۱، ۹۵۲، ۹۵۳، ۹۵۴، ۹۵۵، ۹۵۶، ۹۵۷، ۹۵۸، ۹۵۹، ۹۶۰، ۹۶۱، ۹۶۲، ۹۶۳، ۹۶۴، ۹۶۵، ۹۶۶، ۹۶۷، ۹۶۸، ۹۶۹، ۹۷۰، ۹۷۱، ۹۷۲، ۹۷۳، ۹۷۴، ۹۷۵، ۹۷۶، ۹۷۷، ۹۷۸، ۹۷۹، ۹۸۰، ۹۸۱، ۹۸۲، ۹۸۳، ۹۸۴، ۹۸۵، ۹۸۶، ۹۸۷، ۹۸۸، ۹۸۹، ۹۹۰، ۹۹۱، ۹۹۲، ۹۹۳، ۹۹۴، ۹۹۵، ۹۹۶، ۹۹۷، ۹۹۸، ۹۹۹، ۱۰۰۰

باید نرم افزار x_k, y_k را رسم کنیم





فراکتال (برخال) های هندسی

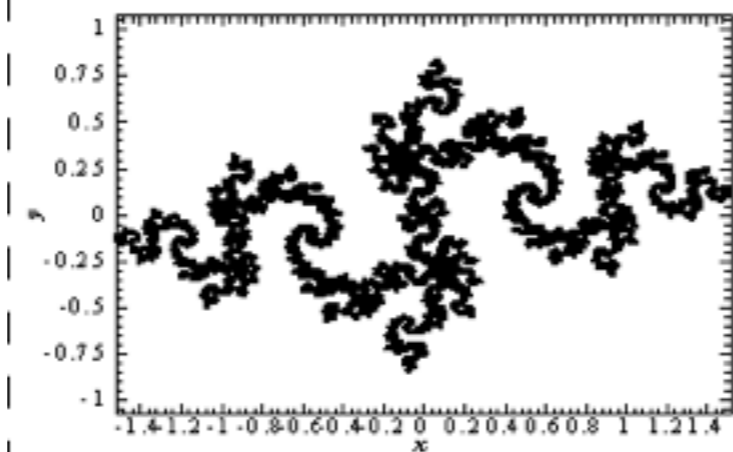
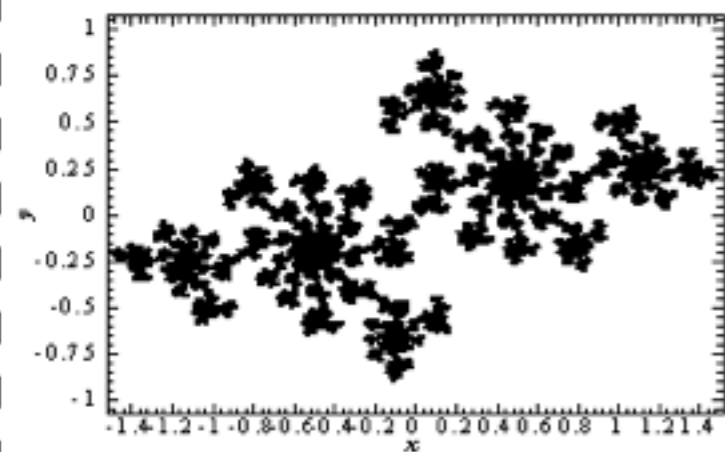


Julian set برای

همه چیز مانند قبل است جز اینکه

$$Z_{New} = Z_{old}^2 + C$$

است که در آن به ازای C های مختلف نگارهای مختلف
بهش می آید



$$C = -0.8 + 0.156i$$

$$C = -0.4 + 0.6i$$

$$C = 0.285$$

$$C = 0.285 + 0.01i$$

$$C = -0.70176 - 0.3842i$$

⋮

Fractal Tree

$$x_{old} = 0.5$$

① انتخاب نقطه شروع

$$y_{old} = 0.0$$

② $Write(*,*) x_{old}, y_{old}$

③ به تعداد نقاطی که می خواهیم انتخاب کنیم یک حلقه ایبار می کنیم

④ یک عدد تصادفی تولید می کنیم

⑤ Call random_number(u)

⑥ if (u ≤ 0.1) Then

$$x_{New} = 0.05 x_{old}$$

$$y_{New} = 0.6 y_{old}$$

End if

if (0.1 < u ≤ 0.2) Then

$$x_{New} = 0.05 x_{old}$$

$$y_{New} = -0.5 y_{old} + 1.0$$

End if

if (0.2 < u ≤ 0.4) Then

$$x_{New} = 0.46 x_{old} - 0.15 y_{old}$$

$$y_{New} = 0.39 x_{old} + 0.38 y_{old} + 0.6$$

End if

⑤

⑥

⑦

if ($0.8 < u \leq 1.0$) Then (9)

$$x_{New} = 0.42 x_{old} + 0.26 y_{old}$$

$$y_{New} = -0.35 x_{old} + 0.31 y_{old} + 0.7$$

End if

$$x_{old} = x_{New}$$

$$y_{old} = y_{New}$$

write(*,*) x_{old} , y_{old}

if ($0.4 < u \leq 0.6$) Then (v)

$$x_{New} = 0.47 x_{old} - 0.15 y_{old}$$

$$y_{New} = 0.17 x_{old} + 0.42 y_{old} + 1.1$$

End if

if ($0.6 < u \leq 0.8$) Then (A)

$$x_{New} = 0.43 x_{old} + 0.28 y_{old}$$

$$y_{New} = -0.25 x_{old} + 0.45 y_{old} + 1.0$$

End if

Fractal Tree

$$x_{old} = 0.5$$

① انتخاب نقطه شروع

$$y_{old} = 0.0$$

② $Write(*,*) x_{old}, y_{old}$

③ به تعداد نقاطی که می خواهیم انتخاب کنیم یک حلقه ایبار می کنیم

④ یک عدد تصادفی تولید می کنیم

⑤ Call random_number(u)

⑥ if (u ≤ 0.1) Then

$$x_{New} = 0.05 x_{old}$$

$$y_{New} = 0.6 y_{old}$$

End if

if (0.1 < u ≤ 0.2) Then

$$x_{New} = 0.05 x_{old}$$

$$y_{New} = -0.5 y_{old} + 1.0$$

End if

if (0.2 < u ≤ 0.4) Then

$$x_{New} = 0.46 x_{old} - 0.15 y_{old}$$

$$y_{New} = 0.39 x_{old} + 0.38 y_{old} + 0.6$$

End if

if ($0.8 < u \leq 1.0$) Then (9)

$$x_{New} = 0.42 x_{old} + 0.26 y_{old}$$

$$y_{New} = -0.35 x_{old} + 0.31 y_{old} + 0.7$$

End if

$$x_{old} = x_{New}$$

$$y_{old} = y_{New}$$

write(*,*) x_{old} , y_{old}

if ($0.4 < u \leq 0.6$) Then (v)

$$x_{New} = 0.47 x_{old} - 0.15 y_{old}$$

$$y_{New} = 0.17 x_{old} + 0.42 y_{old} + 1.1$$

End if

if ($0.6 < u \leq 0.8$) Then (A)

$$x_{New} = 0.43 x_{old} + 0.28 y_{old}$$

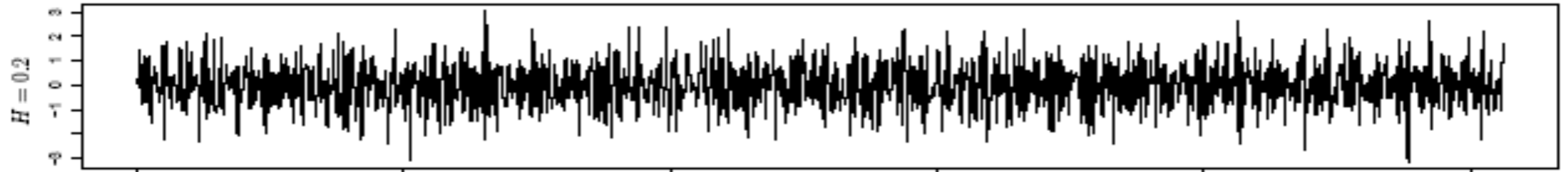
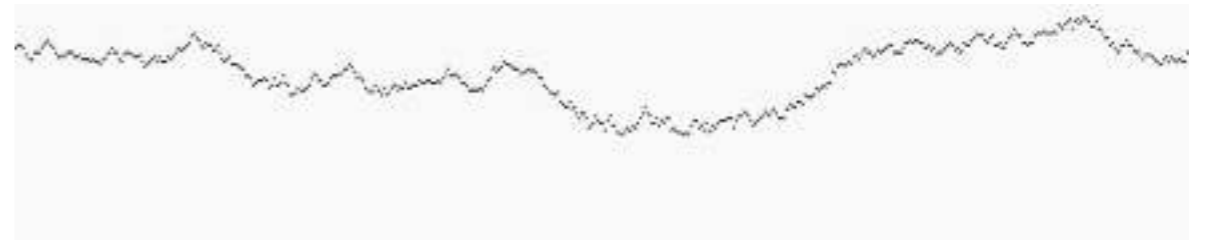
$$y_{New} = -0.25 x_{old} + 0.45 y_{old} + 1.0$$

End if

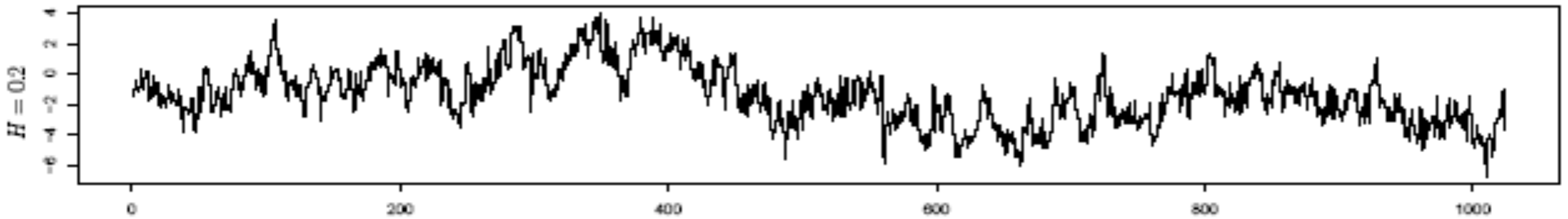
Fractional Gaussian Noise (fGn)

&

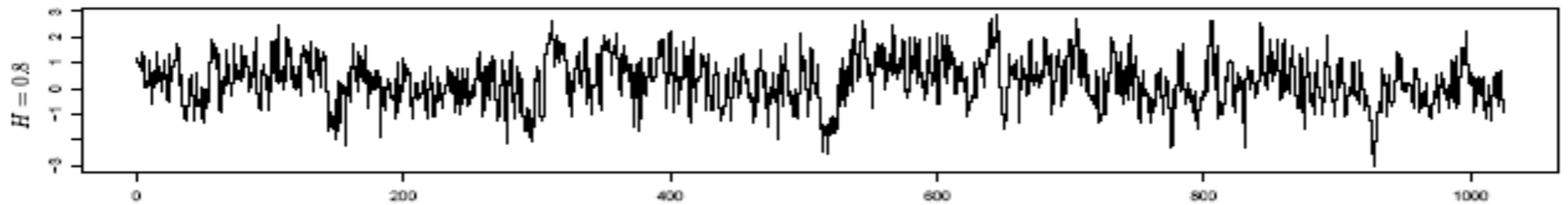
Fractional Brownian Motion (fBm)



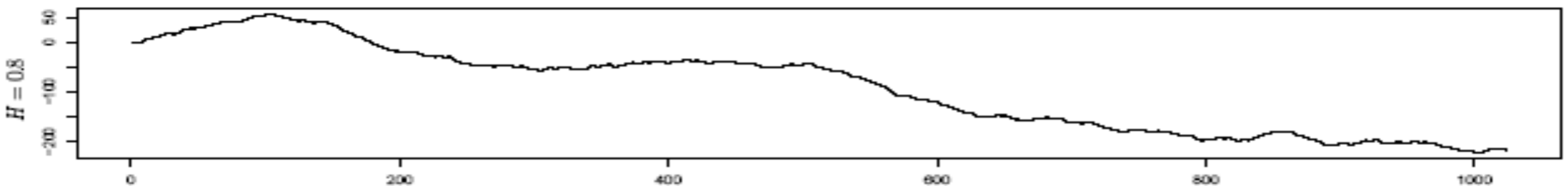
fGn



fBm



fGn



fBm

Why Fractal and multifractal ?Analysis

- Prediction of the future behavior of the systems
- Classification of various systems from complex systems point of view
- Find the universality properties of underlying systems

Multifractality in human heartbeat dynamics

Plamen Ch. Ivanov[†], Luís A. Nunes Amaral[†], Ary L. Goldberger[†], Shlomo Havlin[‡], Michael G. Rosenblum[§], Zbigniew R. Struzik[¶]



Available online at www.sciencedirect.com

ScienceDirect

Physica A 380 (2007) 290–298

PHYSICA A

www.elsevier.com/locate/physa

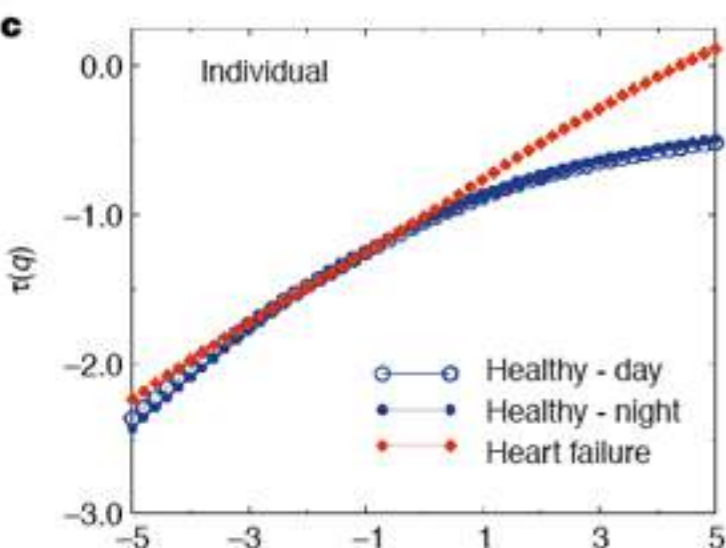


ELSEVIER

Physica A 287 (2009) 362–373

PHYSICA A

www.elsevier.com/locate/physa



Long range correlations in the heart rate variability following the injury of cardiac arrest

Shanbao Tong^{a,*}, Dineng Jiang^a, Ziming Wang^a, Yisheng Zhu^a, Romeryko G. Geocadin^b, Nitish V. Thakor^c

^aDepartment of Biomedical Engineering, Shanghai Jiao Tong University, Shanghai 200240, PR China

^bDepartment of Neurology, Johns Hopkins School of Medicine, Baltimore, MD 21287, USA

^cDepartment of Biomedical Engineering, Johns Hopkins School of Medicine, Baltimore, MD 21205, USA

Received 1 July 2006

Available online 6 March 2007



ELSEVIER

Physica A 270 (1999) 309–324

PHYSICA A

www.elsevier.com/locate/physa



ELSEVIER

Chemical Engineering Journal 136 (2008) 364–372

Chemical
Engineering
Journal

www.elsevier.com/locate/cej

Multifractal detrended fluctuation analysis of pressure fluctuation signals in an impinging entrained-flow gasifier

Miaoren Niu^{*}, Fuchen Wang, Oinfeng Lian, Guanxiao Yu, Zunhong Yu

Available online at www.sciencedirect.com

ScienceDirect

Physica A 380 (2007) 418–428

PHYSICA A

www.elsevier.com/locate/physa



ELSEVIER

Physica A 270 (1999) 309–324

PHYSICA A

www.elsevier.com/locate/physa

Music walk, fractal geometry in music

Zhi-Yuan Su^a, Tzuyin Wu^{b,*}

^aDepartment of Information Management, Chia Nan University of Pharmacy & Science, Tainan 717, Taiwan, ROC

^bDepartment of Mechanical Engineering, National Taiwan University, Taipei 106, Taiwan, ROC

Received 16 November 2006; received in revised form 5 January 2007

Available online 1 March 2007

Statistical physics and physiology: Monofractal and multifractal approaches

H.E. Stanley^{a,*}, L.A.N. Amaral^{a,b}, A.L. Goldberger^b, S. Havlin^{a,c}, P.Ch. Ivanov^{a,b}, C.-K. Peng^b

^aCenter for Polymer Studies and Department of Physics, Boston University, Boston, MA 02215, USA

^bHarvard Medical School, Beth Israel Deaconess Medical Center, Boston, MA 02215, USA

^cGonda Goldschmid Center and Department of Physics, Bar-Ilan University, Ramat Gan, Israel



ELSEVIER

Physica A 270 (1999) 309–324

PHYSICA A

www.elsevier.com/locate/physa

Statistical physics and physiology: Monofractal and multifractal approaches

H.E. Stanley^{a,*}, L.A.N. Amaral^{a,b}, A.L. Goldberger^b, S. Havlin^{a,c}, P.Ch. Ivanov^{a,b}, C.-K. Peng^b

^aCenter for Polymer Studies and Department of Physics, Boston University, Boston, MA 02215, USA

^bHarvard Medical School, Beth Israel Deaconess Medical Center, Boston, MA 02215, USA

^cGonda Goldschmid Center and Department of Physics, Bar-Ilan University, Ramat Gan, Israel

Problems and Discrepancies regarding to Observations and Models

Direct computation and determination

Trend and unknown noise

Indirect computation and determination

Self-affinity in time series

- Suppose a time series as:

$$y : \{y(i)\} \quad i = 1, \dots, N$$

$$i \rightarrow a \times i$$

$$y(a \times i) = a^H y(i)$$

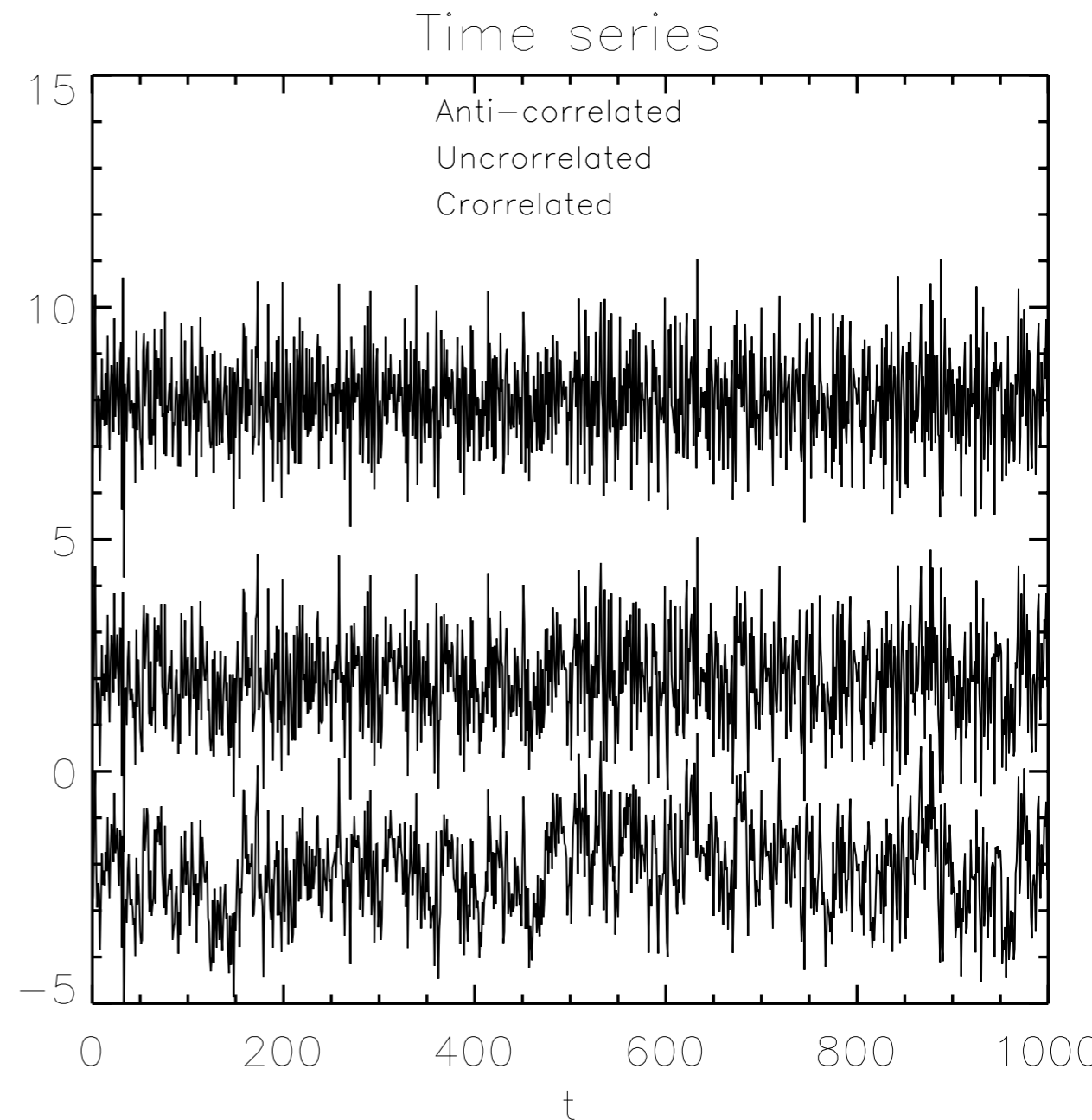
So-called Hurst exponent



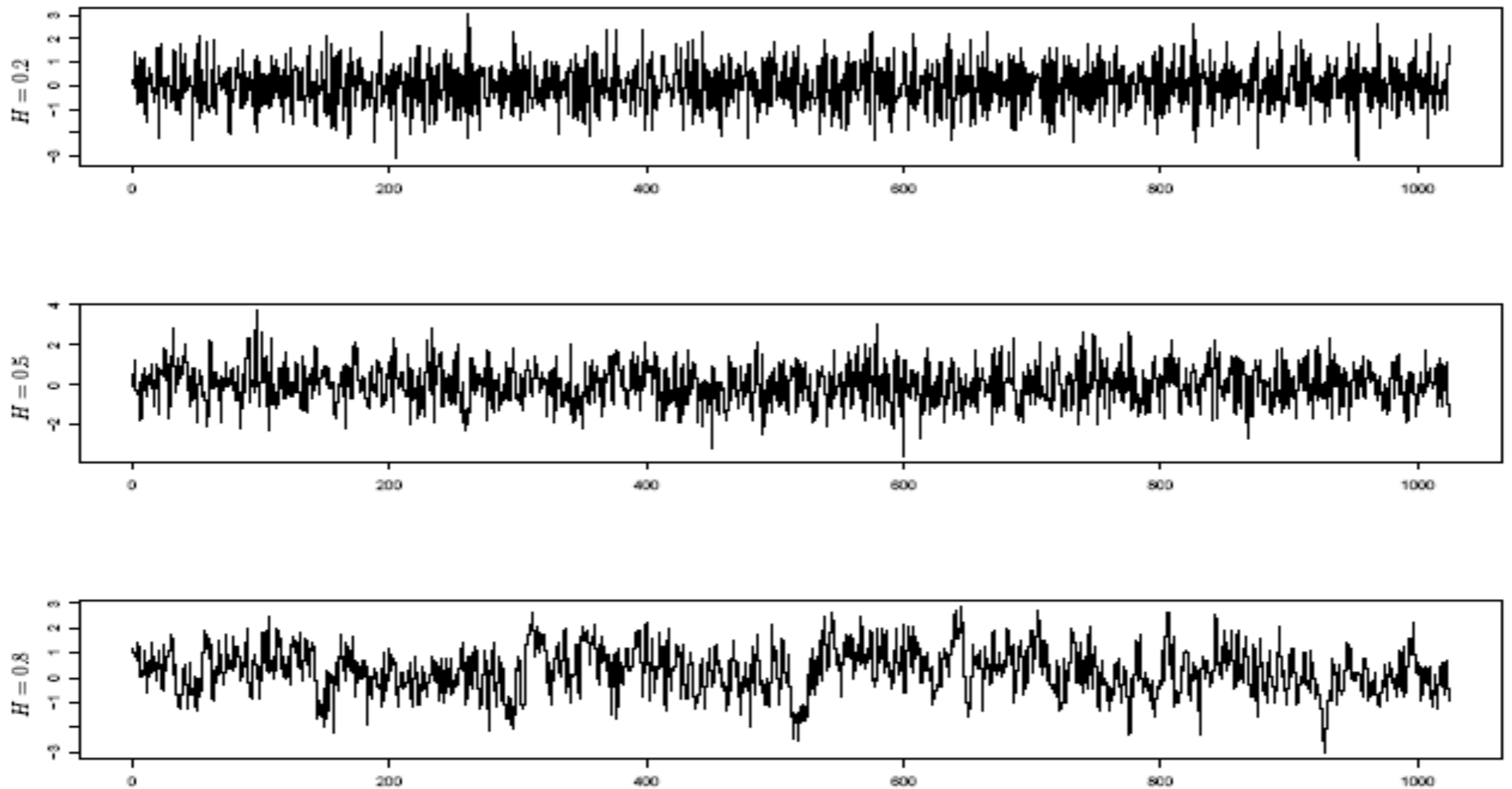
$$y(i) = x(1) + x(2) + x(3) + \dots + x(i) = i^H x(1)$$

Classification of time series based on Hurst exponent

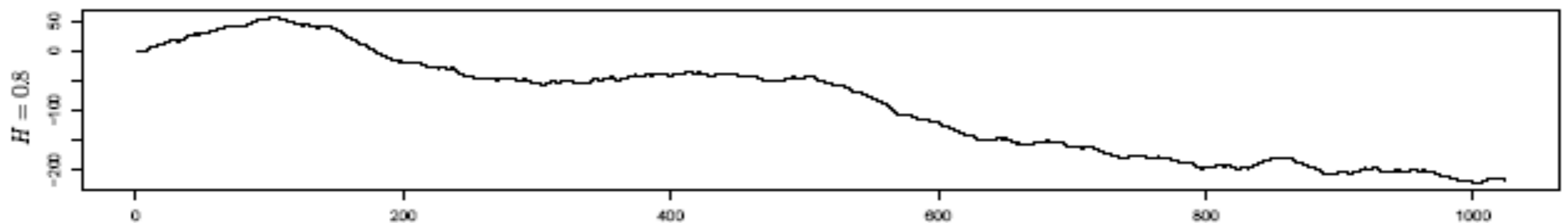
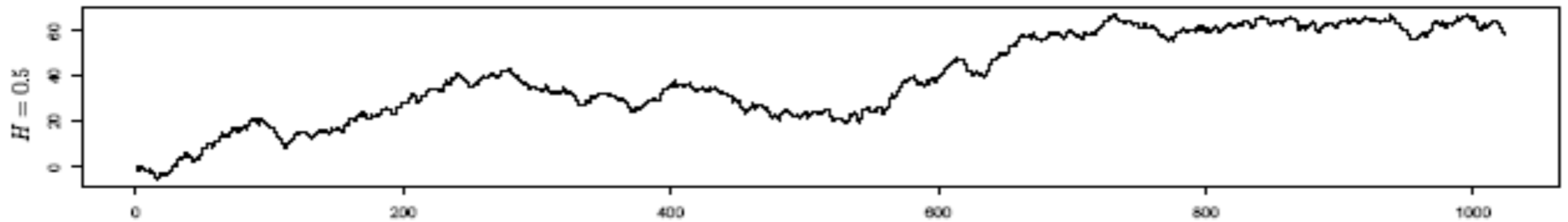
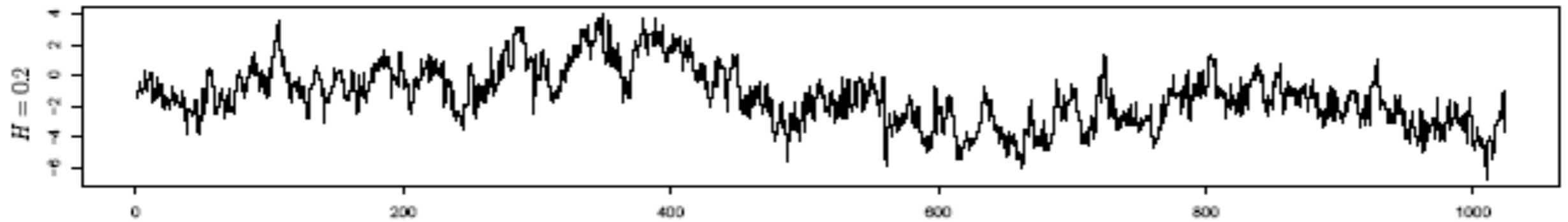
- **Anti-correlated :** $H < 0.5$
- **Uncorrelated:** $H = 0.5$
- **Correlated:** $H > 0.5$



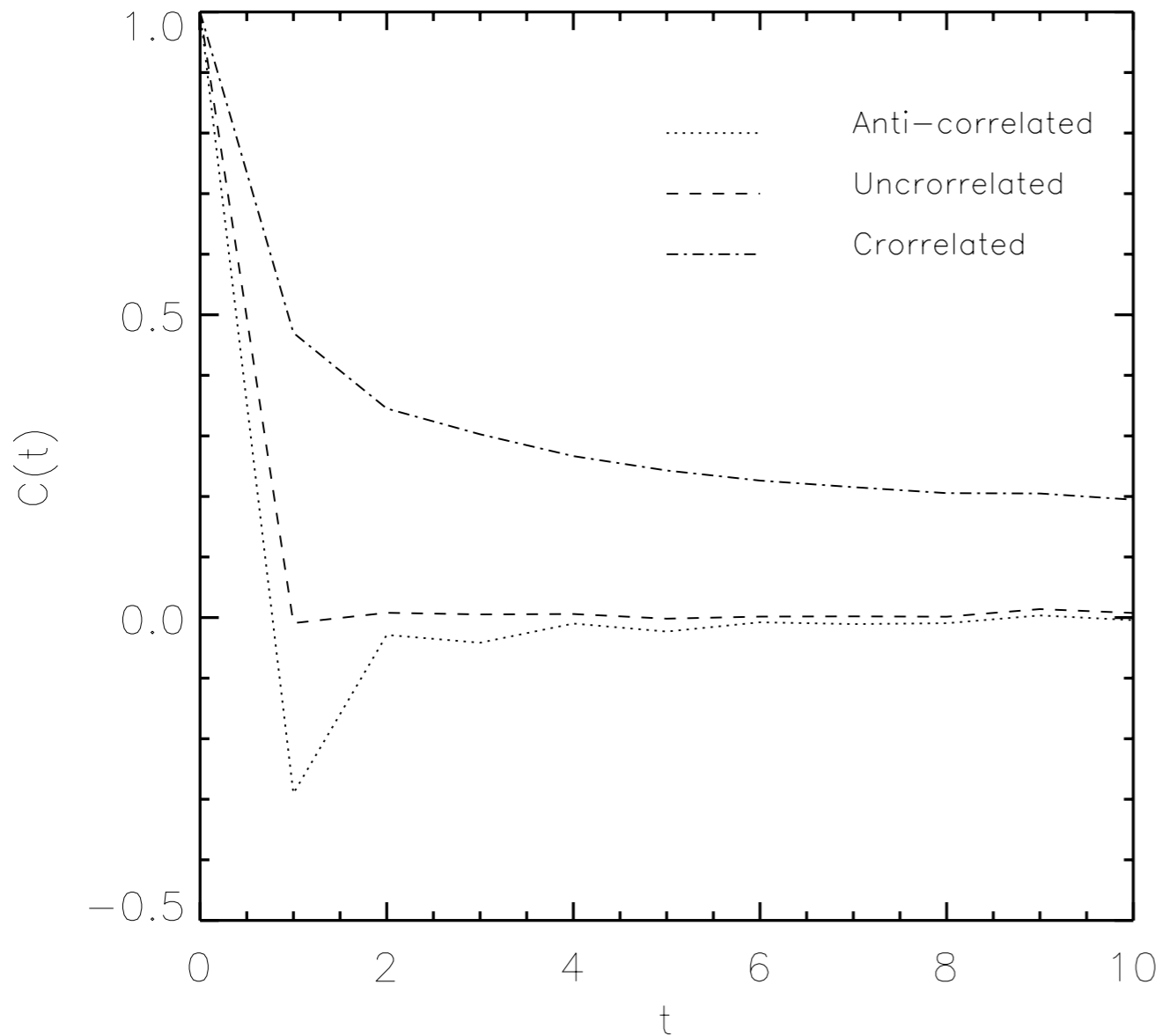
Fractional Gaussian Noise



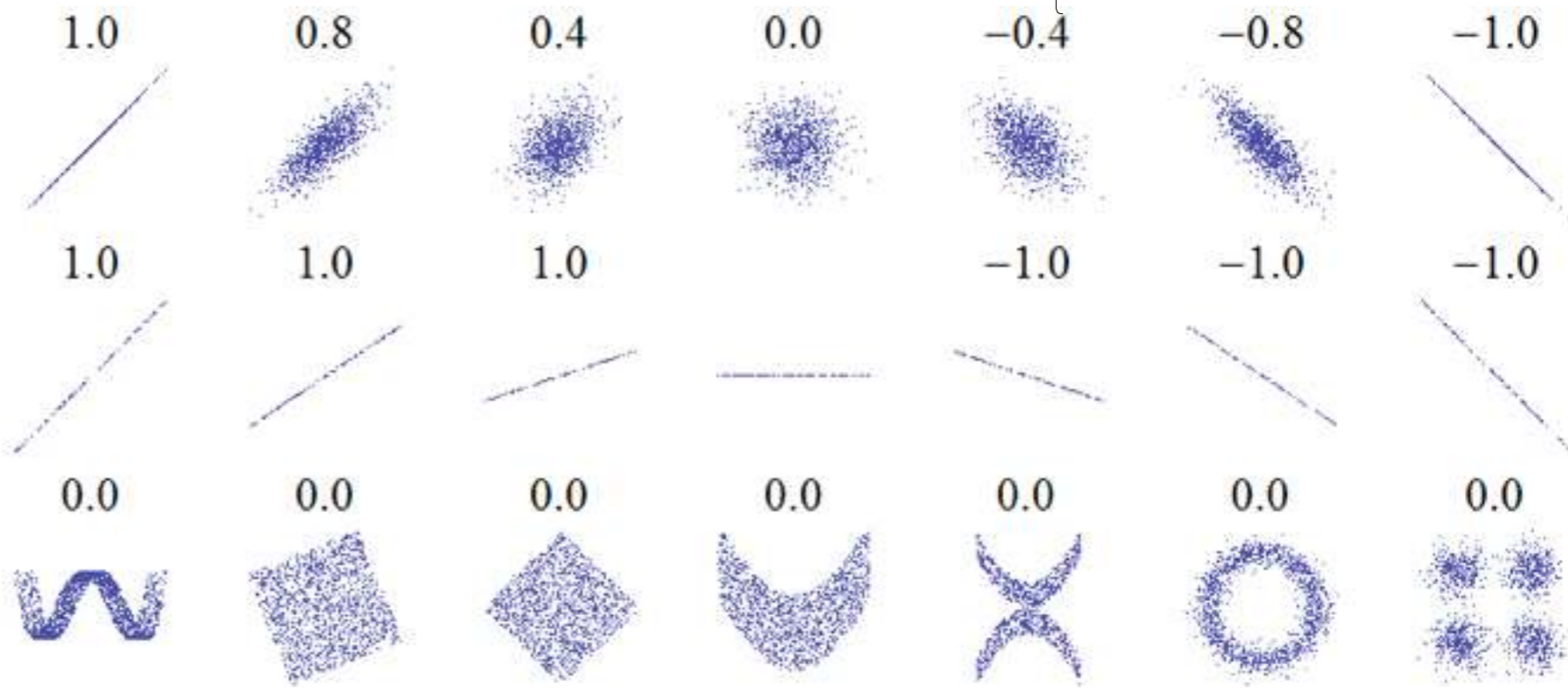
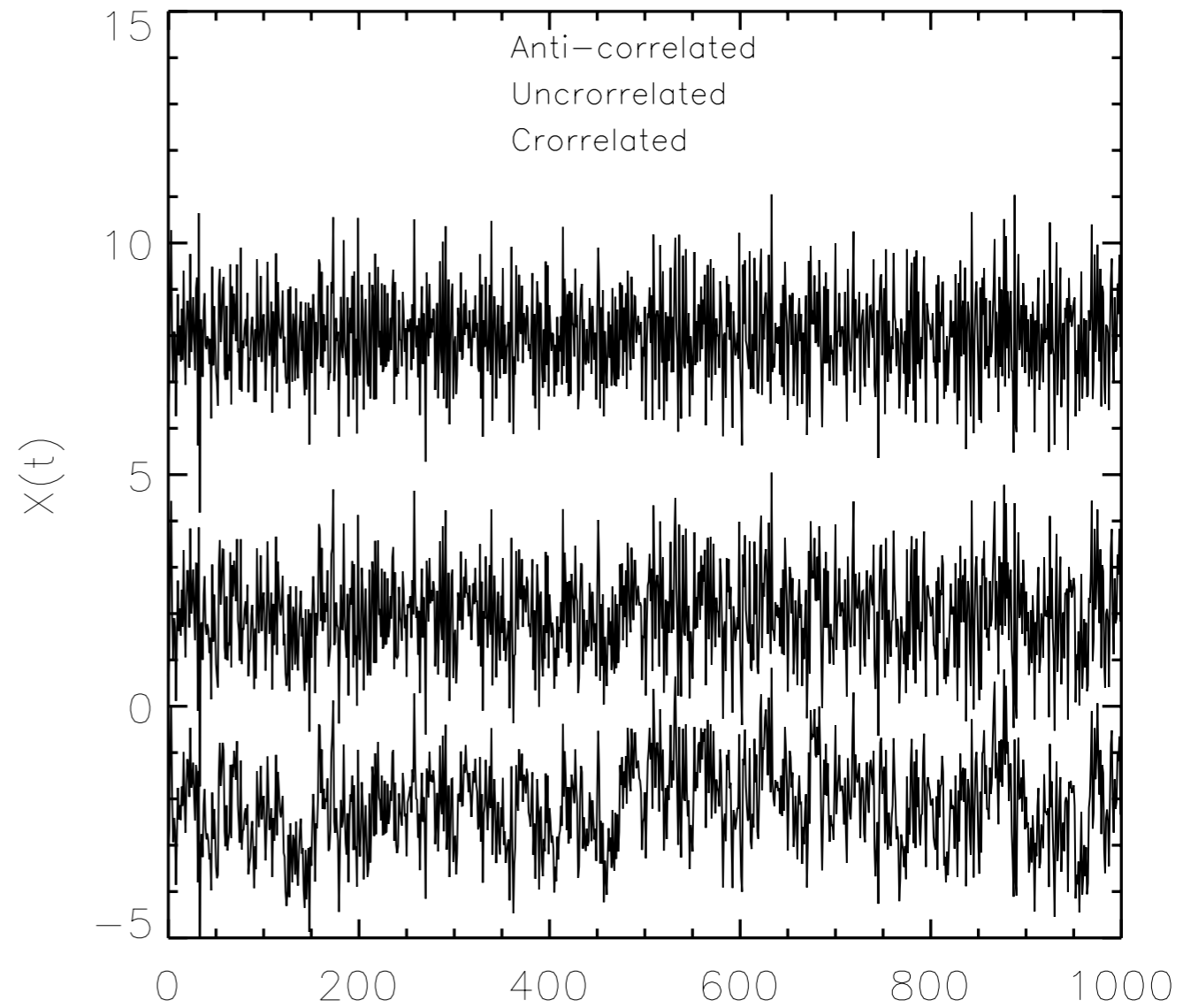
Fractional Brownian Motion



Correlation function



Time series



Novel Fractal Analysis methods

- Hurst' rescaled range (R/S) analysis : By Hurst (1951)
- Scaled windowed variance analysis (SWA) : By Mandelbort (1985)
- Dispersional analysis (Disp) : By Bassingthwaighte (1988)
- Detrended fluctuation analysis (DFA) : By Peng (1994)
- Some state-of-the-art algorithm based on previous idea such as: MF-DFA, MF-DCCA, MF-TWDFFA, DMA (BDMA & CDMA), WTMM

Detrending methods

- Parametric: Done in DFA
- Non-parametric: Empirical mode decomposition (EMD)

I must point out that now a days there are some challenge regarding to Detrending methods in multifractal analyses

Description and Application of mentioned methods

- **Part A:** For stationary case without trends
- **Part B:** For non-stationary case with trends

SWV method

- *Step 1.* Determine the 'profile'

$$Y(i) \equiv \sum_{k=1}^i [x_k - \langle x \rangle], \quad i = 1, \dots, N.$$

- *Step 2.* Divide the profile $Y(i)$ into $N_s \equiv \text{int}(N/s)$ non-overlapping segments of equal lengths s .

$$SWV(s) = \left(\frac{1}{s} \sum_{i=1}^s [Y(i) - \langle Y(s) \rangle]^2 \right)^{1/2}$$

$$SWV(s) \sim s^H$$

R/S method

- *Step 1.* Determine the 'profile'

$$Y(i) \equiv \sum_{k=1}^i [x_k - \langle x \rangle], \quad i = 1, \dots, N.$$

- *Step 2.* Divide the profile $Y(i)$ into $N_s \equiv \text{int}(N/s)$ non-overlapping segments of equal lengths s .

$$R(s) = \text{Max}\{Y(s)\} - \text{Min}\{Y(s)\}$$

$$S(s) = \left(\frac{1}{s} \sum_{i=1}^s [x(i) - \langle X \rangle]^2 \right)^{1/2}, \quad s = 1, \dots, N$$

$$R(s)/S \sim s^H$$

Dispersional method

- *Step 1.* Determine the 'profile'

$$Y(i) \equiv \sum_{k=1}^i [x_k - \langle x \rangle], \quad i = 1, \dots, N.$$

- *Step 2.* Divide the profile $Y(i)$ into $N_s \equiv \text{int}(N/s)$ non-overlapping segments of equal lengths s .

$$\mu(\nu, s) = \frac{1}{s} \sum_{i=1}^s Y[(\nu - 1)s + i]$$

$$\langle \mu(s) \rangle = \frac{1}{N_s} \sum_{\nu=1}^{N_s} \mu(\nu, s)$$

$$M(s) = \frac{1}{N_s} \sum_{\nu=1}^{N_s} [\mu(\nu, s) - \langle \mu(s) \rangle]$$

$$M(s) \sim s^{2H}$$

Multi-Fractal Detrended Fluctuation in 1D

DFAM remove trend of order m in profile or trend of order $m-1$ in original series

- *Step 1.* Determine the 'profile'

$$Y(i) \equiv \sum_{k=1}^i [x_k - \langle x \rangle], \quad i = 1, \dots, N.$$

- *Step 2.* Divide the profile $Y(i)$ into $N_s \equiv \text{int}(N/s)$ non-overlapping segments of equal lengths s .
- *Step 3.* Calculate the local trend for each of the $2N_s$ segments by a least squares fit of the series. Then determine the variance

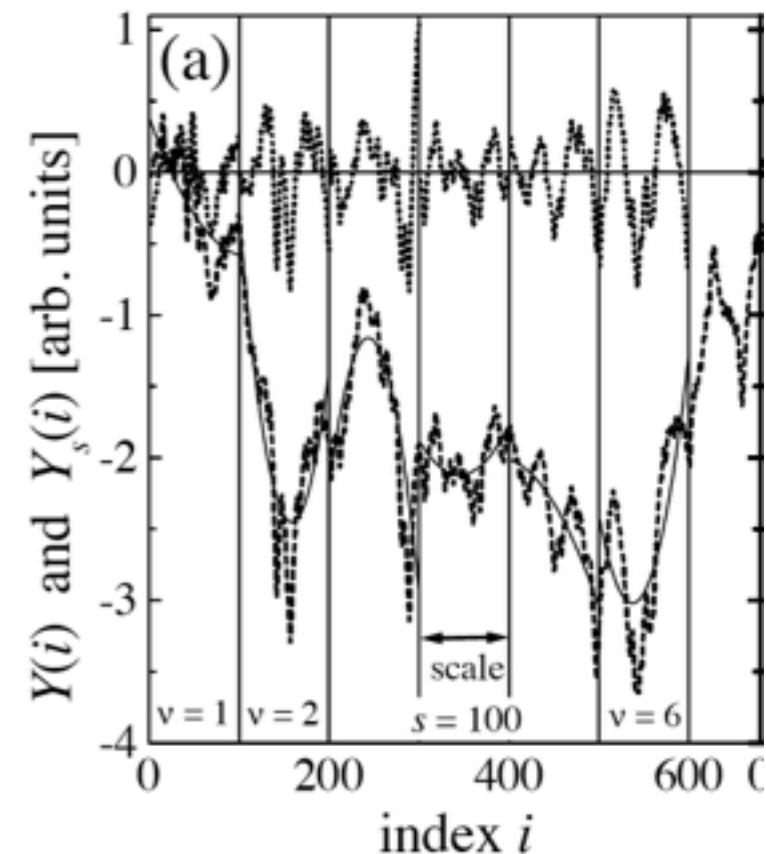
$$F^2(s, \nu) \equiv \frac{1}{s} \sum_{i=1}^s \{Y[(\nu - 1)s + i] - y_\nu(i)\}^2$$

for each segment ν , $\nu = 1, \dots, N_s$, and

$$F^2(s, \nu) \equiv \frac{1}{s} \sum_{i=1}^s \{Y[N - (\nu - N_s)s + i] - y_\nu(i)\}^2,$$

for $\nu = N_s + 1, \dots, 2N_s$.

Here, $y_\nu(i)$ is the fitting polynomial in segment ν .



- *Step 4.* Average over all segments to obtain the q th-order fluctuation function, defined as

$$F_q(s) \equiv \left\{ \frac{1}{2N_s} \sum_{\nu=1}^{2N_s} [F^2(s, \nu)]^{q/2} \right\}^{1/q}$$

$F_q(s)$ is only defined for $s \geq m + 2$.

- *Step 5.* Determine the scaling behaviour of the fluctuation functions by analysing log-log plots of $F_q(s)$ versus s for each value of q . If the series x_i are long range power law correlated, $F_q(s)$ increases, for large values of s , as a power law,

$$F_q(s) \sim s^{h(q)}.$$

$$\{X\} : \{F_q(s)\} \quad \{\Theta\} : \{h(q)\}$$

$$P(h(q)|X) = \frac{\mathcal{L}(X|h(q))P(h(q))}{\int \mathcal{L}(X|h(q))dh(q)} \quad \mathcal{L}(X|h(q)) \sim \exp\left(\frac{-\chi^2(h(q))}{2}\right)$$

$$\chi^2(h(q)) = \int ds \frac{[F_{\text{obs.}}(s) - F_{\text{The.}}(s; h(q))]^2}{\sigma_{\text{obs.}}^2(s)}$$

$$68.3\% = \int_{-\sigma^-}^{+\sigma^+} \mathcal{L}(X|h(q))dh(q) \quad h_{-\sigma^-}^{+\sigma^+}$$

$h(2)$ and Hurst exponent in DFA1 for fGn

$$F^2(s) \equiv \frac{1}{N_s} \sum_{\nu=1}^{N_s} [F^2(s; \nu)], \quad (1)$$

$$= \left\langle [F^2(s; \nu)] \right\rangle_{\nu},$$

$$\equiv C_H s^{2H},$$

$$F^2(s; \nu) = \frac{1}{s} \sum_{i=1}^s [Y_{\nu}(i) - y_{\nu}(i)]^2 \quad (2)$$

$$Y(i) = \sum_{k=1}^i x(k) - \langle x \rangle \quad (3)$$

$$y_{\nu}(i) = a_{\nu} + b_{\nu} i \quad (4)$$

$$\begin{aligned} \langle [F^2(s; \nu)] \rangle &= \left\langle \frac{1}{s} \sum_{i=1}^s [Y(i) - a - bi]^2 \right\rangle \\ &\simeq \left\langle \frac{1}{s} \sum_{i=1}^s Y(i)^2 \right\rangle + \langle a^2 \rangle + \frac{s^2}{3} \langle b^2 \rangle + s \langle ab \rangle - 2 \left\langle \frac{a}{s} \sum_{i=1}^s Y(i) \right\rangle - 2 \left\langle \frac{b}{s} \sum_{i=1}^s iY(i) \right\rangle \end{aligned}$$

$$Y(i) = i^H x \longrightarrow Y(i) - Y(k) = |i - k|^H x$$

$$\langle [Y(i) - Y(k)]^2 \rangle = \sigma^2 |i - k|^{2H} \quad \sigma^2 = \langle x(i)^2 \rangle \quad \langle Y(i)^2 \rangle = \sigma^2 i^{2H}$$

$$\langle Y(i)Y(k) \rangle = \frac{\sigma^2}{2} [i^{2H} + k^{2H} - |i - k|^{2H}]$$

$$\langle [F^2(s; \nu)] \rangle_\nu = \mathcal{C}_{\mathcal{H}}(s)^{2H}$$

$$\sum_{i,j=1}^s \langle iY(i)Y(j) \rangle = \frac{\sigma^2}{2} \sum_{i,j=1}^s (i^{2H+1} + ij^{2H} - i|i - j|^{2H}),$$

$$= \frac{\sigma^2}{2} \sum_{i,j=1}^s (i^{2H+1} + ij^{2H}) - \frac{\sigma^2}{2} \sum_{i=1}^s \sum_{j=1}^i i(i - j)^{2H} - \frac{\sigma^2}{2} \sum_{i=1}^s \sum_{j=i}^s i(j - i)^{2H},$$

$$\sim \frac{\sigma^2}{2} \left(\frac{s^{2H+3}}{2H+2} + \frac{s^{2H+3}}{2(2H+1)} \right) - \frac{\sigma^2}{2} \sum_{i=1}^s i^{2H+2} \left(\int_0^1 (1-x)^{2H} dx - \int_0^1 x(1-x)^{2H} dx \right)$$

$$= \frac{\sigma^2 s^{2H+3}}{4} \left(\frac{2}{H+1} - \frac{1}{2H+1} \right)$$

$$\begin{aligned}
\sum_{i,j=1}^s \langle Y(i)Y(j) \rangle &= \frac{\sigma^2}{2} \sum_{i,j=1}^s \left(i^{2H} + j^{2H} - |i-j|^{2H} \right), \\
&= \frac{\sigma^2}{2} \sum_{i,j=1}^s \left(i^{2H} + j^{2H} \right) - \sigma^2 \sum_{i=1}^s \sum_{j=1}^i (i-j)^{2H}, \\
&\sim \sigma^2 \left(\frac{s^{2H+2}}{2H+1} - \sum_{i=1}^s i^{2H+1} \int_0^1 (1-x)^{2H} \right), \\
&\sim \sigma^2 s^{2H+2} \left(\frac{1}{2H+1} - \frac{1}{(2H+2)(2H+1)} \right).
\end{aligned}$$

$$\begin{aligned}
F^2(s) &\equiv \frac{1}{N_s} \sum_{\nu=1}^{N_s} [F^2(s; \nu)], \\
&= \left\langle [F^2(s; \nu)] \right\rangle_{\nu}, \\
&\equiv C_H s^{2H},
\end{aligned}$$

$$C_H = \frac{\sigma^2}{(2H+1)} - \frac{4\sigma^2}{2H+2} + 3\sigma^2 \left(\frac{2}{H+1} - \frac{1}{2H+1} \right) - \frac{3\sigma^2}{(H+1)} \left(1 - \frac{1}{(H+1)(2H+1)} \right)$$

$$h(q=2) = H$$

$h(2)$ and Hurst exponent in DFA1 for fBm

$$\begin{aligned}
 \langle [F^2(s, \nu)] \rangle &= \left\langle \frac{1}{s} \sum_{i=1}^s (Y(i) - a - bi)^2 \right\rangle & x(i) &= Y(i) - Y(i-1) \\
 &\simeq \left\langle \frac{1}{s} \sum_{i=1}^s Y(i)^2 \right\rangle + \langle a^2 \rangle + \frac{s^2}{3} \langle b^2 \rangle & u(i) &= x(i) - x(i-1), \\
 &\quad - 2 \left\langle \frac{a}{s} \sum_{i=1}^s y(i) \right\rangle - 2 \left\langle \frac{b}{s} \sum_{i=1}^s iY(i) \right\rangle + s \langle ab \rangle, \\
 &= \left\langle \frac{1}{s} \sum_{i=1}^s Y(i)^2 \right\rangle - \frac{4}{s^2} \left\langle \left[\sum_{i=1}^s Y(i) \right]^2 \right\rangle \\
 &\quad - \frac{12}{s^4} \left\langle \left[\sum_{i=1}^s iY(i) \right]^2 \right\rangle + \frac{12}{s^3} \left\langle \sum_{i=1}^s iY(i) \sum_{i=1}^s Y(i) \right\rangle \\
 &= \frac{A}{s} - \frac{4}{s^2} B - \frac{12}{s^4} D + \frac{12}{s^3} C
 \end{aligned}$$

$$\langle x(i)x(j) \rangle = \frac{\sigma^2}{2} [i^{2H} + j^{2H} - |i-j|^{2H}],$$

$$\langle Y(i)Y(j) \rangle = \frac{\sigma^2}{(H+1)^2} (ij)^{H+1},$$

For fBm series

$$\langle [F^2(s, \nu)] \rangle_\nu = C_H s^{2(H+1)},$$

$$C_H = \frac{\sigma^2}{(2H+3)(H+1)^2} - \frac{4\sigma^2}{[(H+1)(H+2)]^2} \\ - \frac{12\sigma^2}{[(H+1)(H+3)]^2} + \frac{12\sigma^2}{(H+1)^2(H+2)(H+3)}.$$

For fGn series

$$\langle [F^2(s; \nu)] \rangle_\nu = C_{\mathcal{H}}(s)^{2H}$$

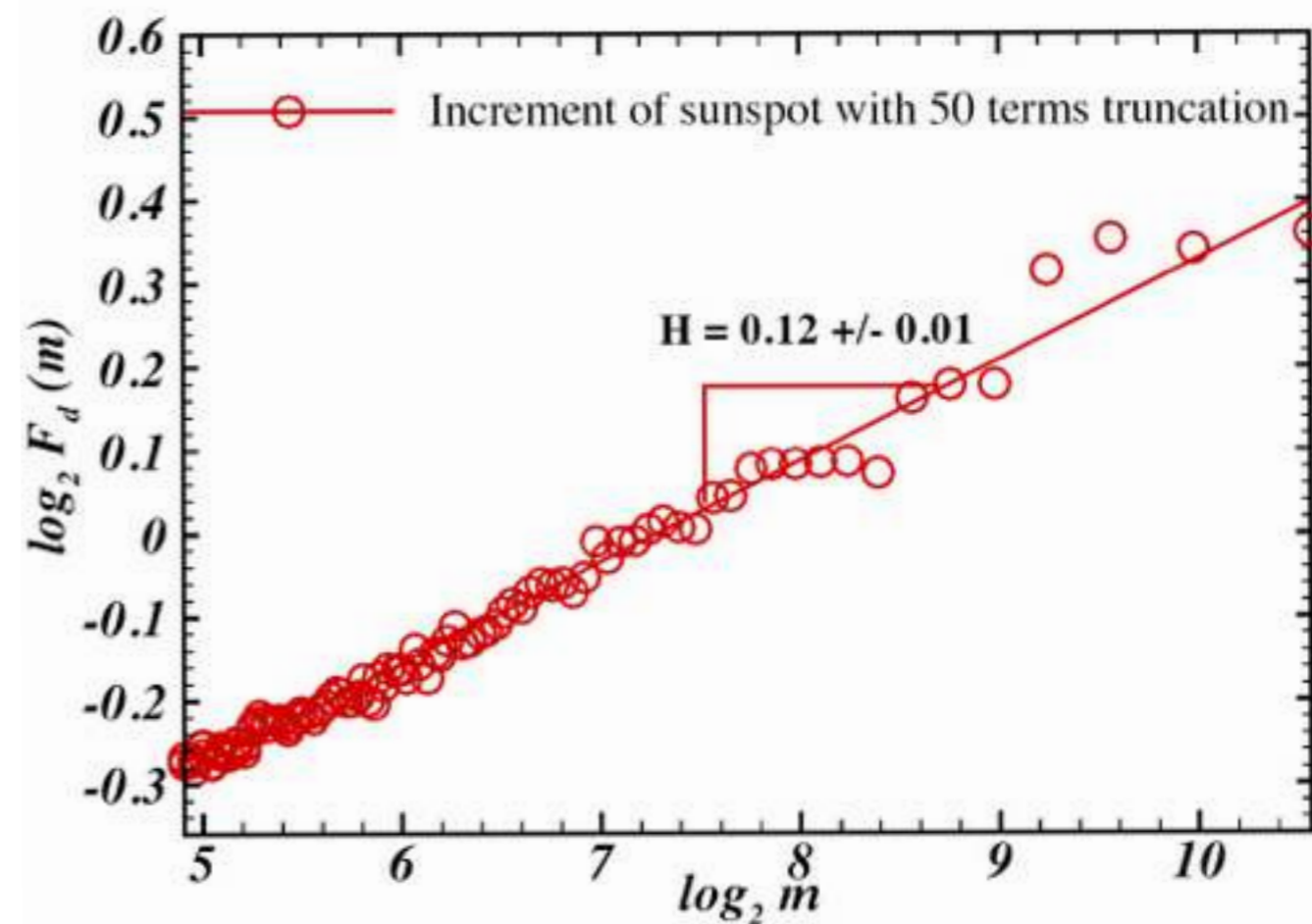
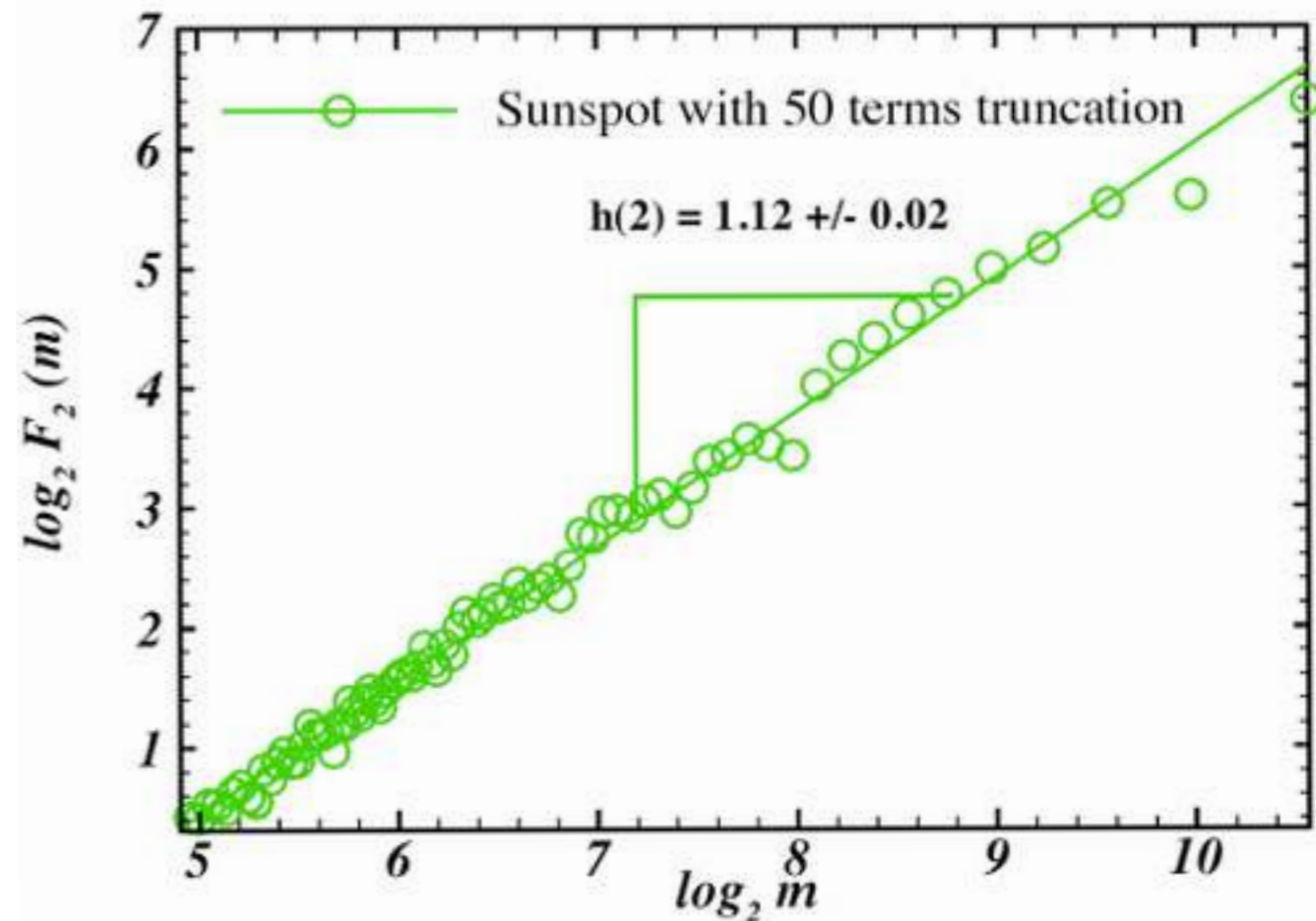
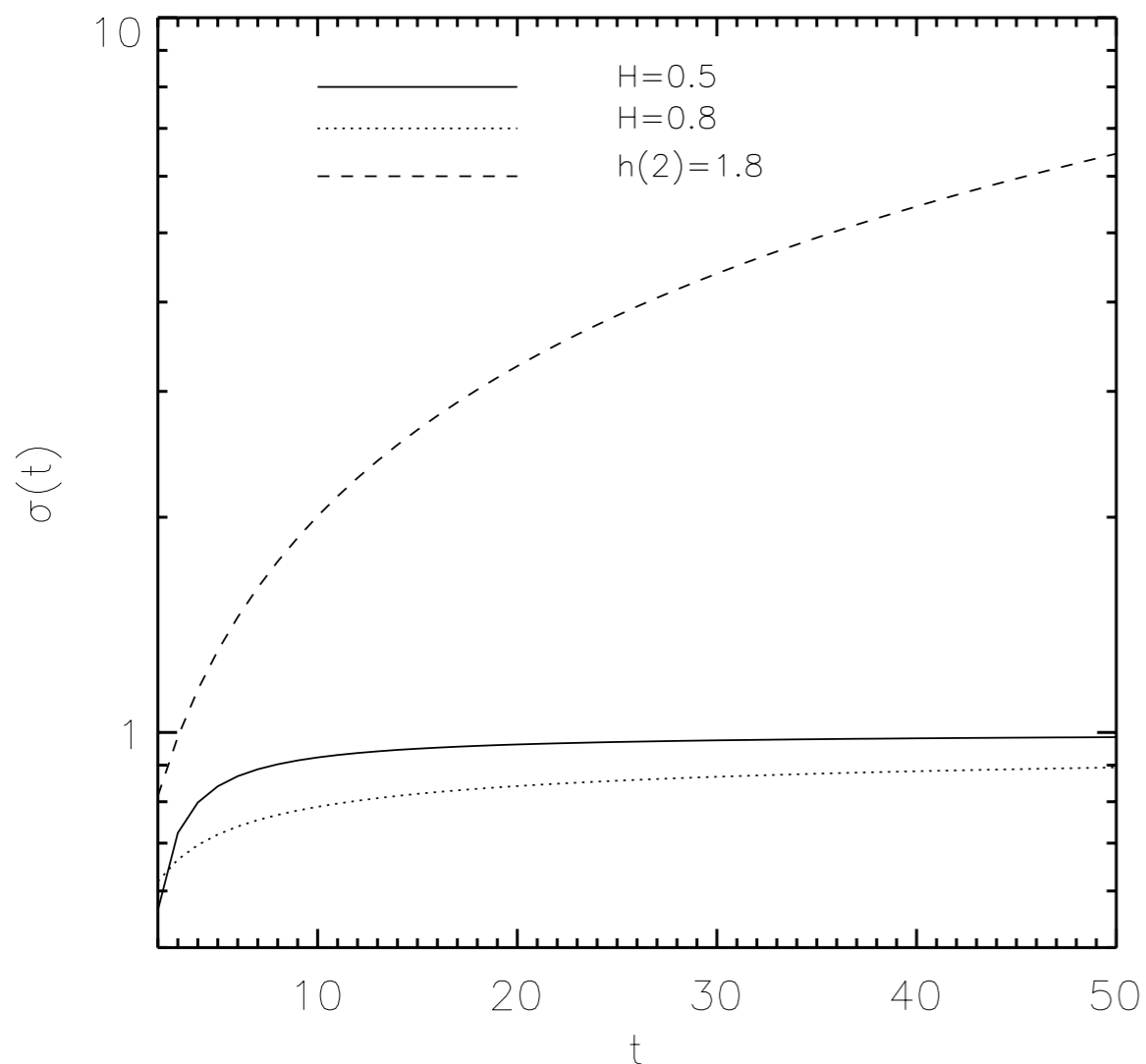
$$C_{\mathcal{H}} = \frac{\sigma^2}{(2H+1)} - \frac{4\sigma^2}{2H+2} + 3\sigma^2 \left(\frac{2}{H+1} - \frac{1}{2H+1} \right) - \frac{3\sigma^2}{(H+1)} \left(1 - \frac{1}{(H+1)(2H+1)} \right)$$

$$h(q=2) = H$$

For fBm: $h(q = 2) > 1$

For fGn: $h(q = 2) < 1$

Time series



Scaling exponents

- Multifractal scaling exponent $\tau(q) = qh(q) - 1$
- Generalized multifractal dimension $D(q) = \frac{\tau(q)}{q - 1}$
- Autocorrelation exponent $\begin{cases} C(s) : s^{-\gamma} \\ C(i, j) : i^{-\gamma} + j^{-\gamma} - |i - j|^{-\gamma} \end{cases}$
- Power spectrum scaling exponent $S(\omega) : \omega^{-\beta}$
- Holder exponent $\alpha = \tau'(q)$
 $\alpha = h(q) + qh'(q)$
- Singularity spectrum $f(\alpha) = q[\alpha - h(q)]_+ + 1$

Correlation and Hurst exponents

$$C(s) = \frac{\langle x(i+\tau)x(i) \rangle}{\sigma^2} \propto \tau^{-\gamma}$$

$$Y(s) = \sum_{k=1}^s x(k) = x(1) \times s^H$$

$$\langle Y(s)^2 \rangle = \sigma^2 \times s^{2H}$$

$$= \left\langle \left(\sum_{k=1}^s x(k) \right)^2 \right\rangle = \left\langle \sum_{k=1}^s x(k)^2 \right\rangle + \left\langle \sum_{k \neq j}^s x(k)x(j) \right\rangle$$

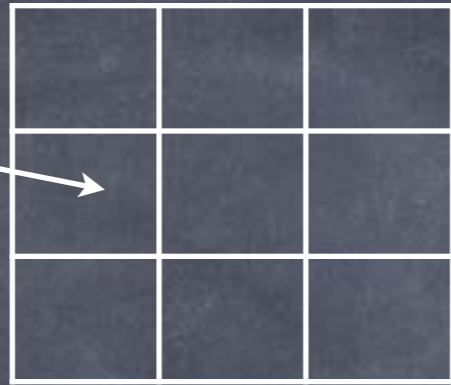
$$= i\sigma^2 + 2 \sum_{j=1}^{s-1} (s-j)C(j) \propto s^{2-\gamma} = s^{2H} \rightarrow \gamma = 2 - 2H$$

for $0.5 < H < 1$

Generalized fractal dimension based on partition function

$$p(\nu, s)$$

$$\sum_{\nu=1}^{N_s} p(\nu, s) = 1$$



$$p^2(\nu, s) = \frac{1}{s} \sum_{i=1}^s \left\{ Y[(\nu-1)s + i] - y_\nu(i) \right\}^2$$

$$Z_q(s) \equiv \sum_{\nu=1}^{N_s} |p(\nu, s)|^q : s^{\tau(q)}$$

$$F_q(s) = \left(\frac{1}{N_s} \sum_{\nu=1}^{N_s} |p(\nu, s)|^q \right)^{1/q}$$

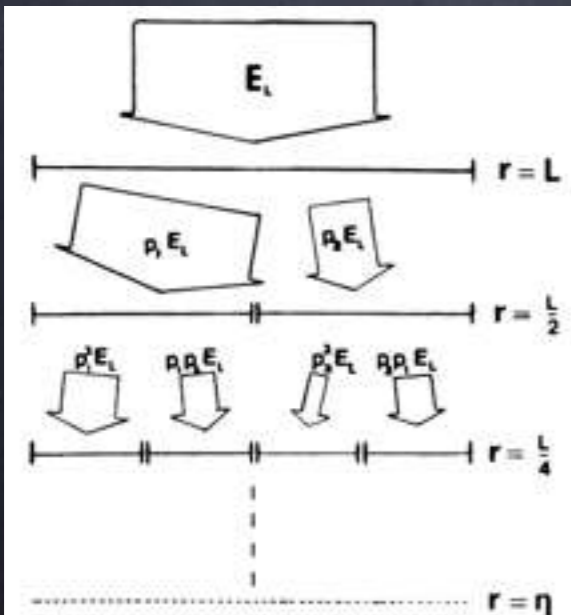
$$D(q) \equiv \frac{1}{q-1} \lim_{s \rightarrow 0} \frac{\ln Z_q(s)}{\ln s} = \frac{\tau(q)}{1-q}$$

$$Z_q(s) \equiv \sum_{\nu=1}^{N_s} |p(\nu, s)|^q = N_s F_q^q(s)$$

for $q = 0$ $D(0) = D_f$

$$: \frac{N}{s} s^{qh(q)} : s^{qh(q)-1} : s^{\tau(q)}$$

for $q = 1$ $D(1) : \sum p \ln p$



$$\tau(q) = qh(q) - 1$$

Free energy and T^{-1}

Singularity spectrum

criterion for scaling behavior of
measure at each subinterval of time
series

$$p(v, s) : s^{\alpha_v} \quad \text{for } s \rightarrow 0$$

$$PDF \rightarrow \mu(\alpha) : l^{-f(\alpha)}$$

$$\alpha = \tau'(q)$$

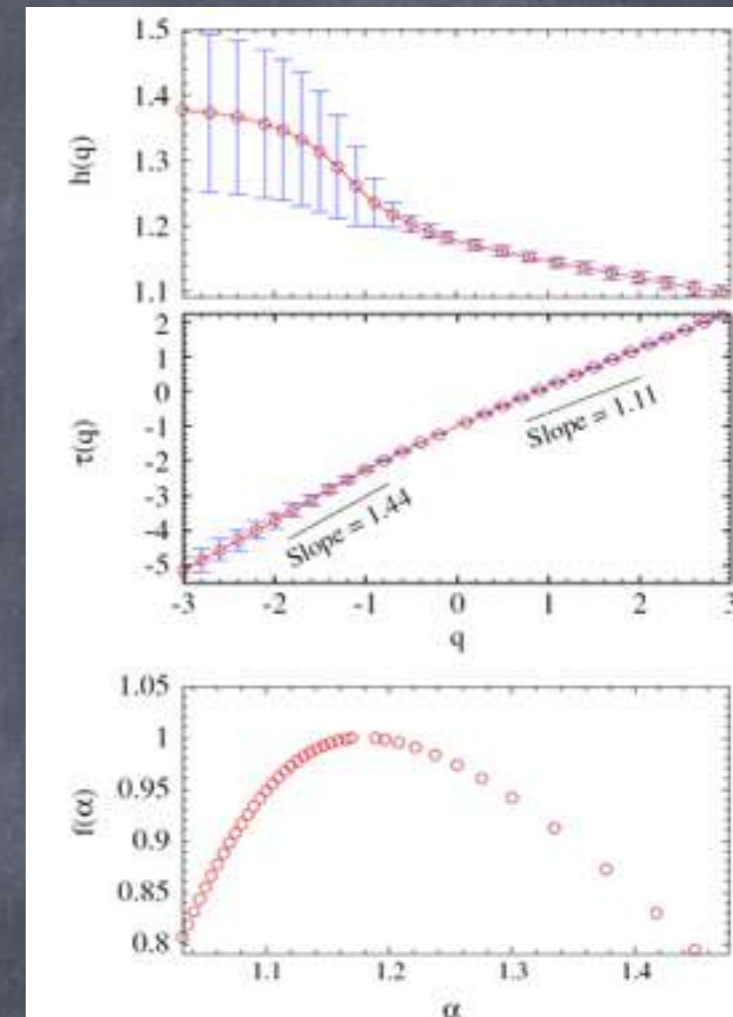
$$\alpha = h(q) + qh'(q)$$

$$f(\alpha) = q[\alpha - h(q)] + 1$$

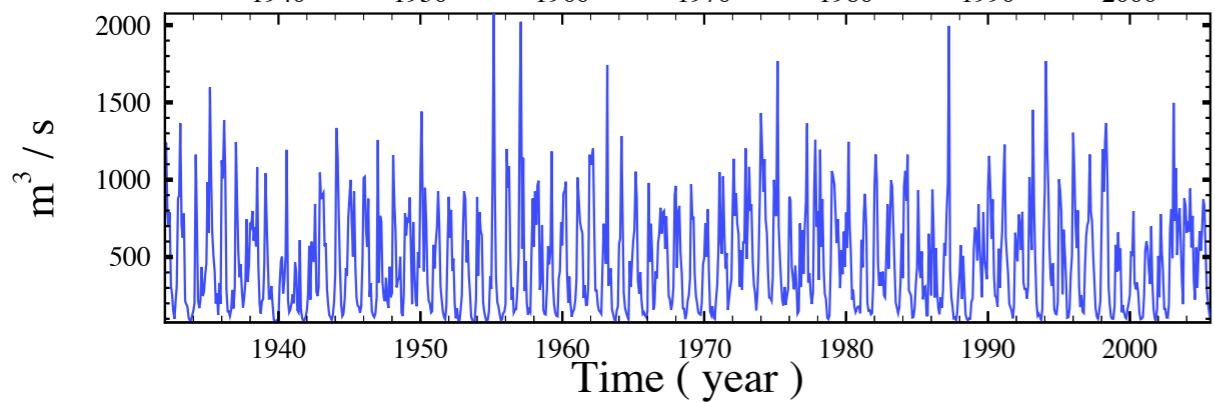
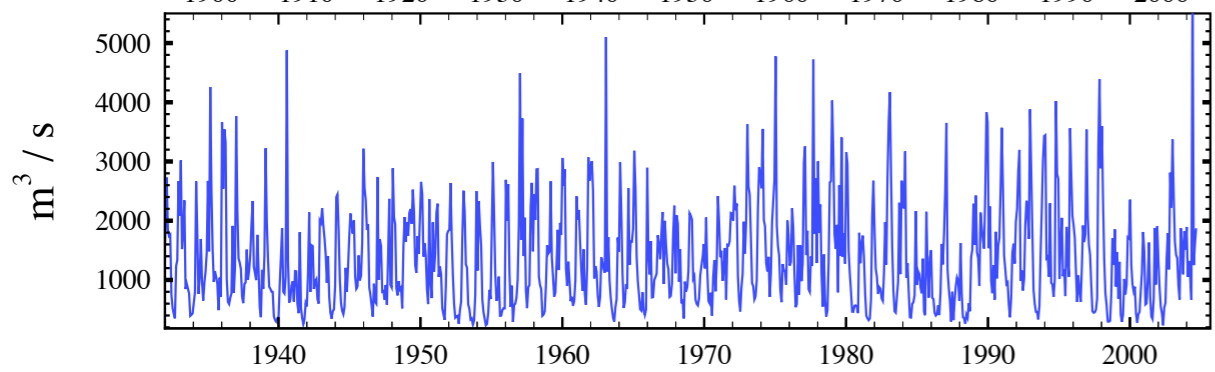
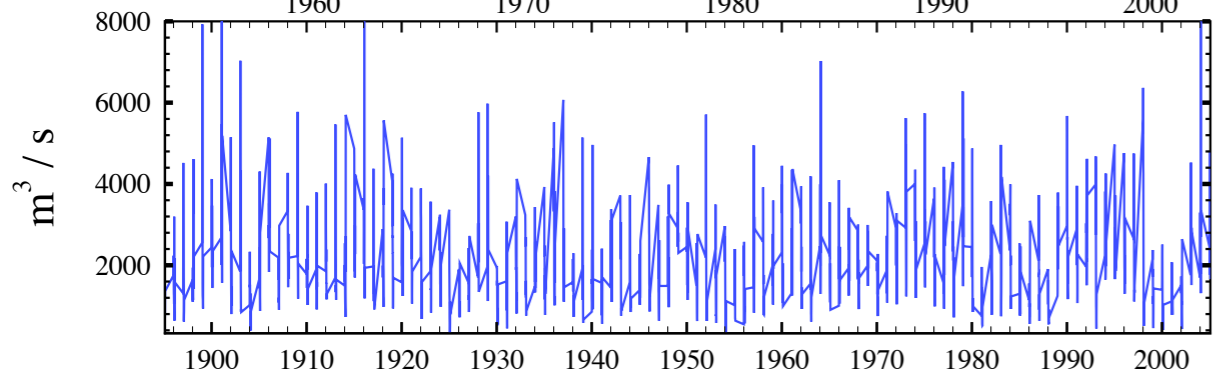
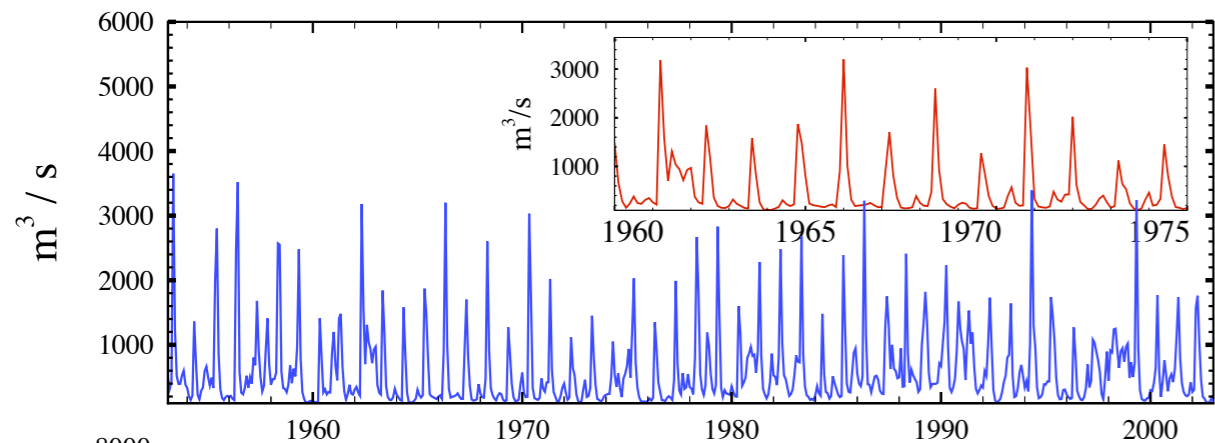
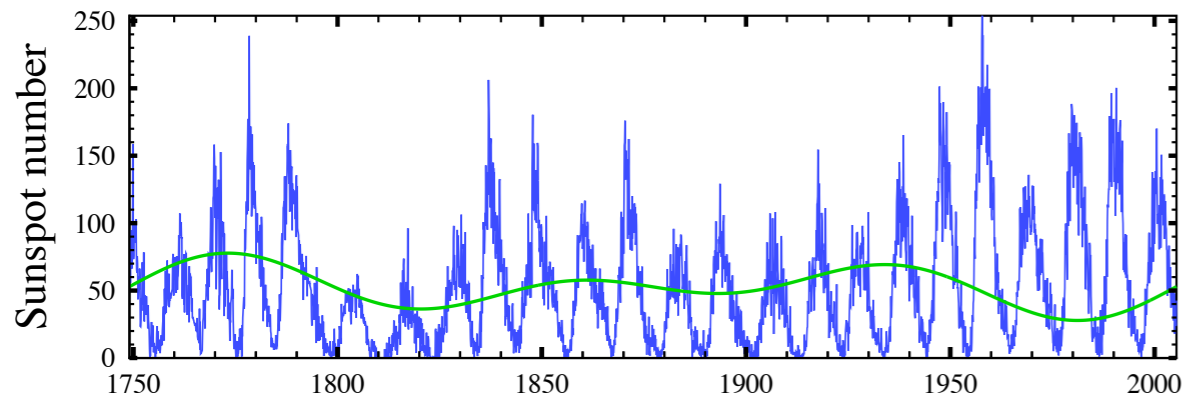
$$\Delta\alpha \equiv \alpha(q_{\min}) - \alpha(q_{\max})$$

$$\Delta\alpha \rightarrow 0$$

$$f(\alpha = H) = 1$$



A Holder exponent represents monofractal process while the existence of spectrum for Holder exponent demonstrates multifractality nature of time series

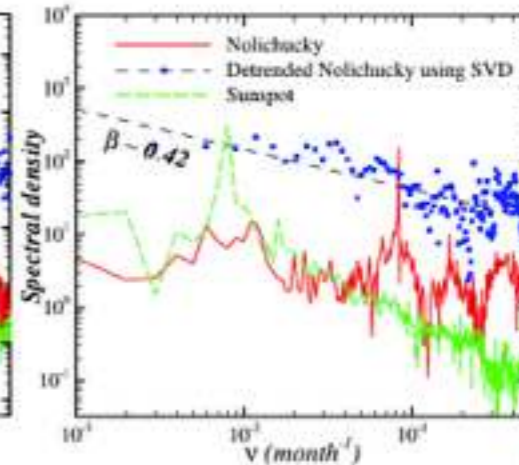
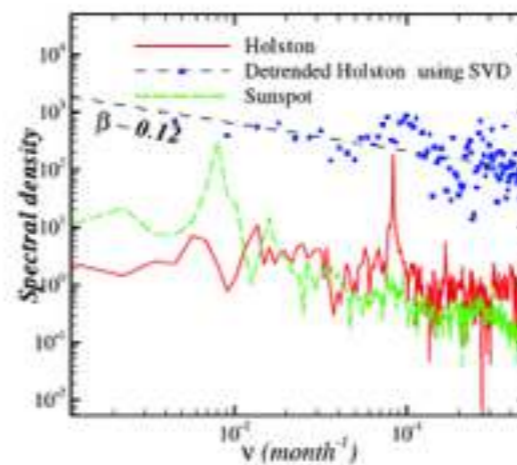
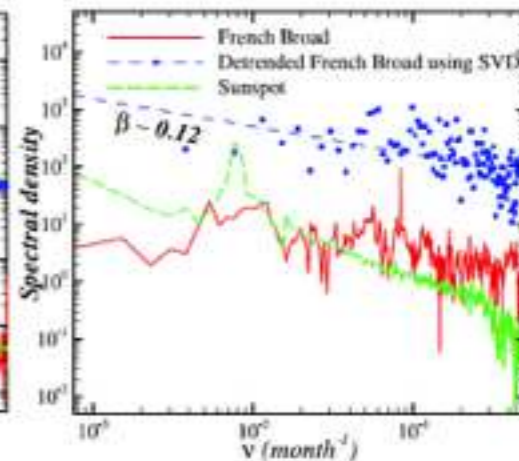
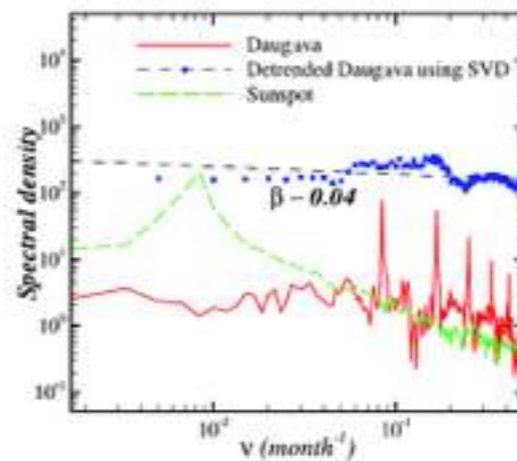
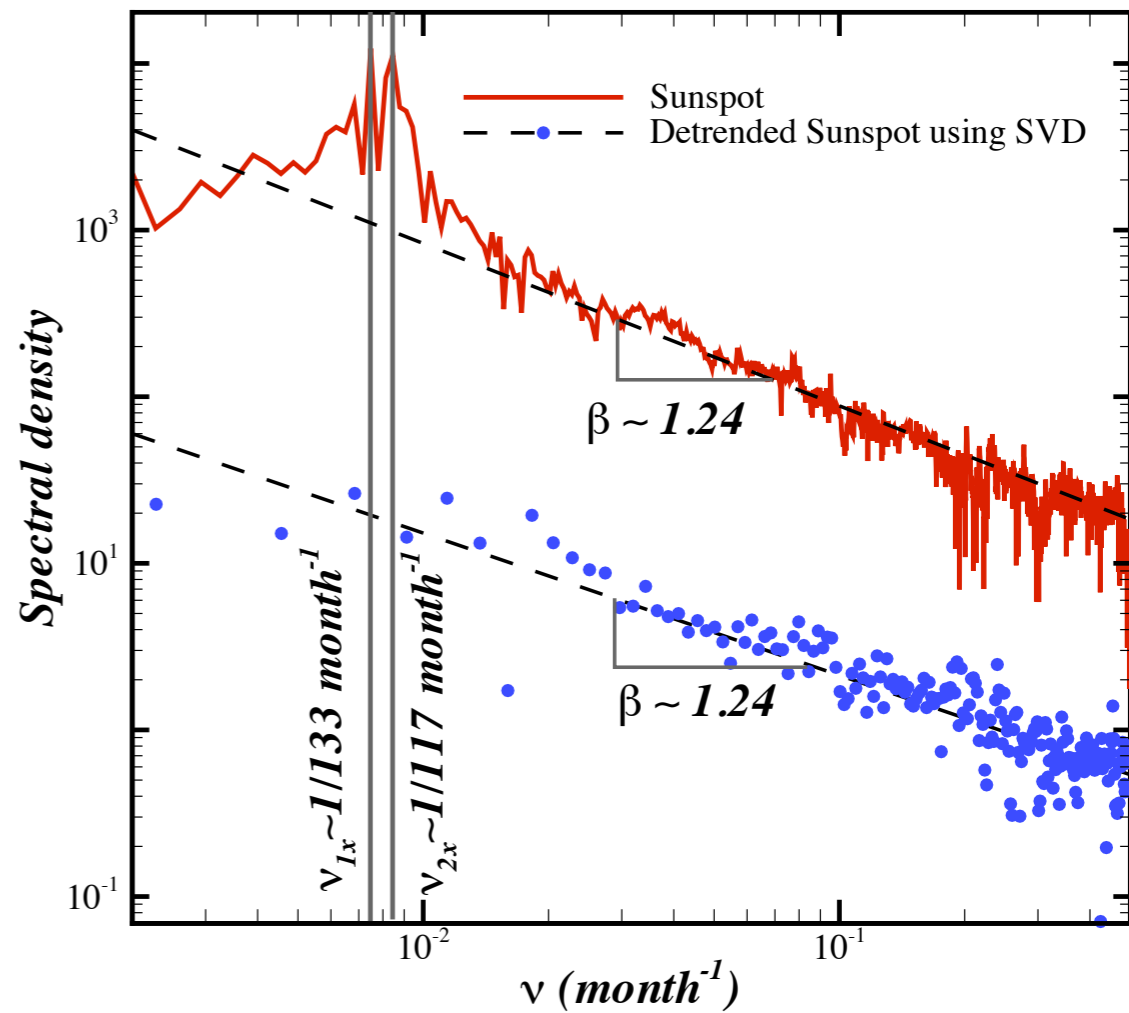


Daugava

French Broad

Nolichucky

Holston



Power spectrum exponent

$$S(\nu) \sim \nu^{-\beta}$$

$$S(\nu) : \nu^{-\beta} : \nu^{-1+\gamma}$$

$$\gamma = 2 - 2H$$

$$\beta = 2H - 1 \quad \text{For fGn}$$

$$\beta = 2H + 1 \quad \text{For fBm}$$

$D(\text{fractal} - \text{dimension})$	H_{fBm}	H_{fGn}	β	$h(q = \nu)$	
—	$\nu - H_{fBm}$	—	$\frac{\delta - \beta}{\nu}$	$\nu - h(q = \nu)$	D
$\nu - D$	—	—	$\frac{\beta - 1}{\nu}$	$h(q = \nu) - 1$	H_{fBm}
—	—	—	$\frac{\beta + 1}{\nu}$	$h(q = \nu)$	H_{fGn}
$\delta - \nu D$	$\nu H_{fBm} + 1$	$\nu H_{fGn} - 1$	—	$\nu h(q = \nu) - 1$	β
$\nu - D$	$H_{fBm} + 1$	H_{fGn}	$\frac{\beta + 1}{\nu}$	—	$h(q = \nu)$

q	$\tau(q)$	$\alpha = -\frac{d\tau(q)}{dq}$	$f = q\alpha + \tau(q)$
$q \rightarrow -\infty$	$-q\alpha_{\max}$	$\alpha_{\max} = -\ln \mu_- / \ln \delta$	0
$q = 0$	D	α_0	D
$q = 1$	0	$\alpha_1 = -S(\delta) / \ln \delta$	α_1
$q \rightarrow +\infty$	$-q\alpha_{\min}$	$\alpha_{\min} = -\ln \mu_+ / \ln \delta$	0

Multifractality

A: $h(q)$ depends on "q"

B: There is a spectrum for holder exponent

C: There are various slopes for $\tau(q)$ in different scales

What are the sources?

1) Multifractality due to a fatness of PDF

2) Multifractality due to different correlations in small and large scales

$$F_q(s) / F_q^{\text{shuf}}(s) \sim s^{h(q) - h_{\text{shuf}}(q)} = s^{h_{\text{cor}}(q)},$$

$$F_q(s) / F_q^{\text{sur}}(s) \sim s^{h(q) - h_{\text{sur}}(q)} = s^{h_{\text{PDF}}(q)}.$$

$$h_{\text{cor}}(q) = 0 \quad \text{For Fatness}$$

$$h_{\text{PDF}}(q) = 0 \quad \text{For correlation}$$

Surrogate method

(i) Computing the discrete Fourier transform (DFT) coefficients of the series

$$\mathcal{F}^2\{x(t)\} \equiv |X(\nu)|^2 = |X(k)|^2 = \left| \frac{1}{\sqrt{N}} \sum_{n=0}^{N-1} x(t_n) e^{i2\pi nk/N} \right|^2 \quad (9)$$

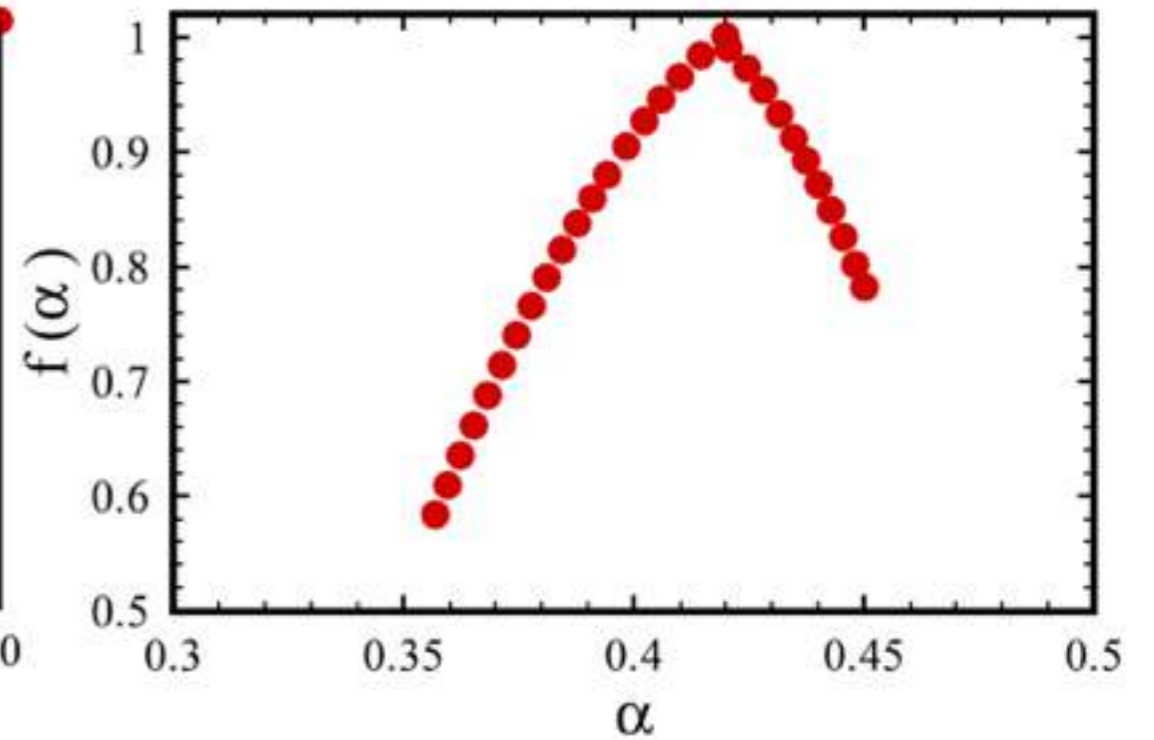
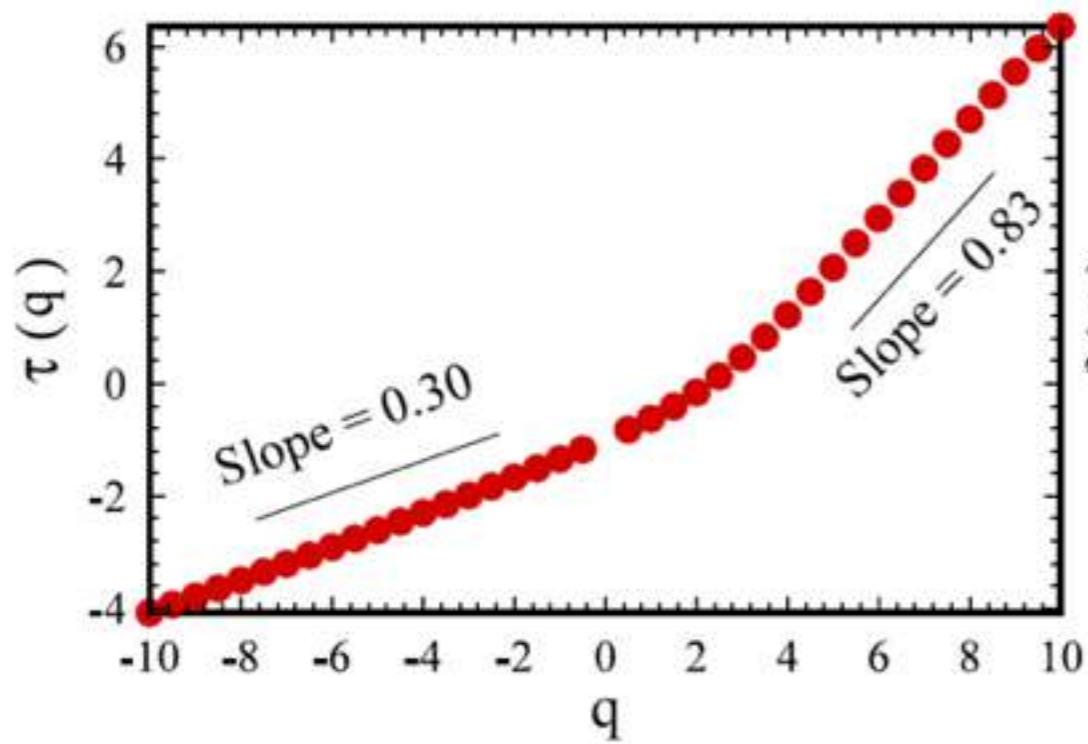
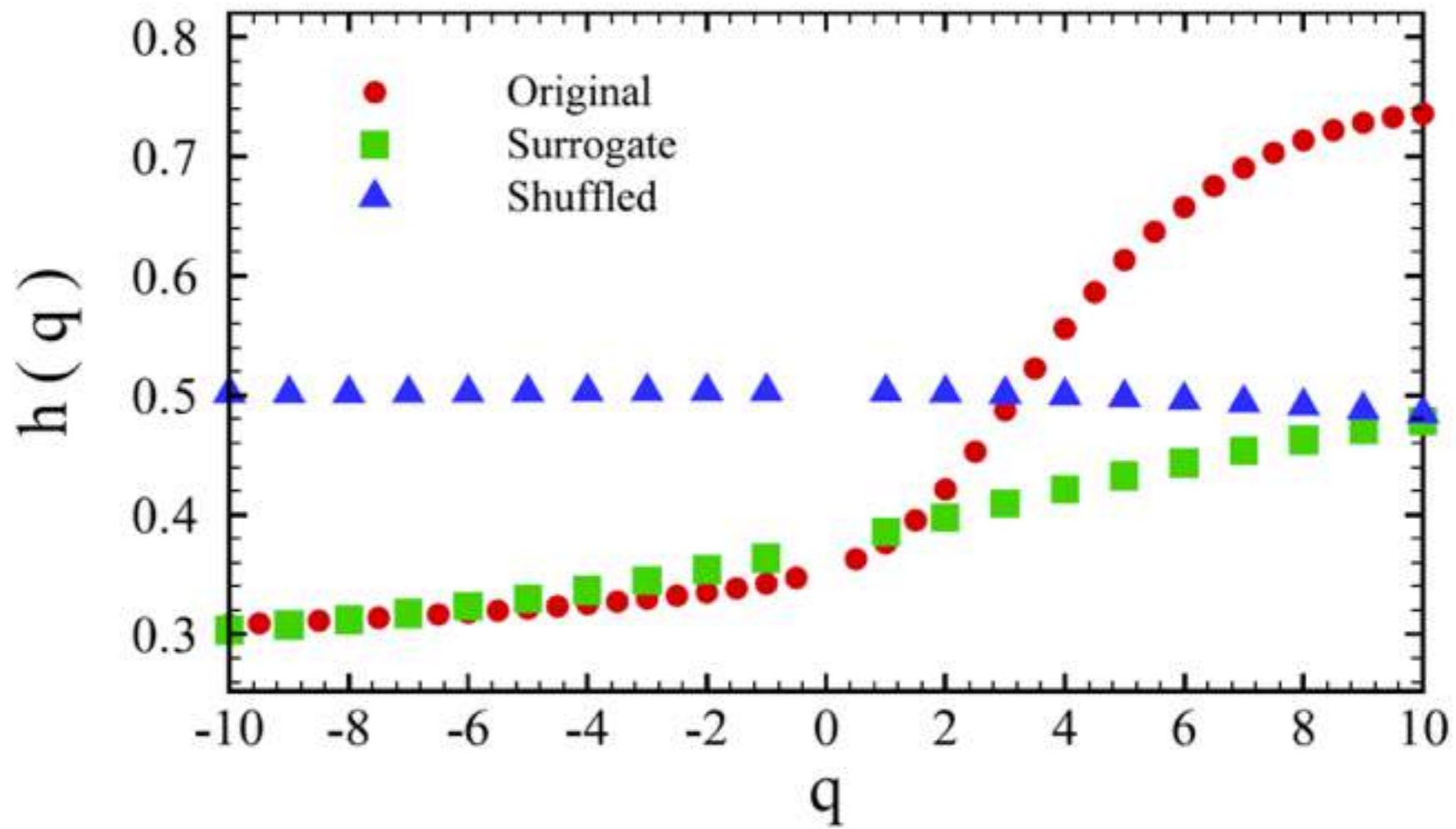
where $\nu = k/N\Delta t$ and Δt is the step of digitization in the experimental setup.

(ii) Multiplying the DFT coefficients of the series by a set of pseudo-independent, uniformly distributed $\phi(\nu)$ quantities in the range $[0, 2\pi)$:

$$\tilde{X}(\nu) = X(\nu) e^{i\phi(\nu)}. \quad (10)$$

(iii) The surrogate data set is given by the inverse DFT as

$$\mathcal{F}^{-1}\{\tilde{X}(\nu)\} \equiv \tilde{x}(t_n) = \frac{1}{\sqrt{N}} \sum_{k=0}^{N-1} |X_k| e^{i\phi(k)} e^{-i2\pi nk/N}. \quad (11)$$



(S. Kimiagar, M. Sadeqh Movahed et. al., JSTAT P03020 (2009)

MF-DFA in higher dimension

In many cases, one encounters with self-similar or self-affine surface which is denoted by a two dimensional array $X(i,j)$. For this case the MF-DFA has the following steps:

Step I: Suppose

$$x(i,j), \begin{cases} i = 1, \dots, M \\ j = 1, \dots, N \end{cases}$$

$$M_s = \text{int}\left(\frac{N}{s}\right)$$

$$N_s = \text{int}\left(\frac{M}{s}\right)$$

$$x_{v,w}(i,j) = x(l_1 + i, l_2 + j) \quad 1 \leq i, j \leq s \quad \begin{cases} l_1 = (v-1)s \\ l_2 = (w-1)s \end{cases}$$

Step II: For each non-overlapping segment, the cumulative sum is calculated by:

$$Y_{v,w}(i,j) = \sum_{k=1}^i \sum_{l=1}^j x_{v,w}(k,l) \quad 1 \leq i, j \leq s$$

Step III: The trend of constructed cumulative arrays such as:

$$u_{v,w}(i, j) = a_{v,w}i + b_{v,w}j + c_{v,w}$$

$$u_{v,w}(i, j) = a_{v,w}i^2 + b_{v,w}j^2 + c_{v,w}$$

$$u_{v,w}(i, j) = a_{v,w}ij + b_{v,w}i + c_{v,w}j + d_{v,w}$$

$$u_{v,w}(i, j) = a_{v,w}i^2 + b_{v,w}j^2 + c_{v,w}i + d_{v,w}j + e$$

$$u_{v,w}(i, j) = a_{v,w}i^2 + b_{v,w}j^2 + c_{v,w}ij + d_{v,w}i + e_{v,w}j + f_{v,w}$$

Step IV: For each non-overlapping segment, the cumulative sum is calculated by:

$$\varepsilon_{v,w}(i, j) = Y_{v,w}(i, j) - u_{v,w}(i, j)$$

$$F_{v,w}^2(s) = \frac{1}{s^2} \sum_{i=1}^s \sum_j^s \varepsilon_{v,w}(i, j)^2$$

Step V: By averaging over all segments as:

$$F_q(s) = \left[\frac{1}{N_s M_s} \sum_{v=1}^{N_s} \sum_{w=1}^{M_s} \left\{ F_{v,w}^2(s) \right\}^{q/2} \right]^{1/q}$$

$$F_q(s) = A \times s^{h(q)} \quad \begin{cases} s_{\min} \approx 6 \\ s_{\max} \approx \min(M, N) / 4 \end{cases}$$

$$Y(i) = \sum_{k=1}^i \sum_{l=1}^j [x(k, l) - \langle x \rangle]^2$$

$$y_\nu(i, j) = a_\nu + b_\nu i + c_\nu j$$

$$b_\nu = \frac{\sum_{i,j=1}^{s,m} Y(i, j) i - \frac{1}{s \times m} \sum_{i,j=1}^{s,m} Y(i, j) \sum_{i,j=1}^{sm} i}{\sum_{i,j=1}^{s,m} i^2 - \frac{1}{s \times m} \left[\sum_{i,j=1}^{s,m} i \right]^2},$$

$$\simeq \frac{\sum_{i,j=1}^{s,m} Y(i, j) i - \frac{s}{\nu} \sum_{i,j=1}^{s,m} Y(i, j)}{m \times s^2 / \nu^2},$$

$$c_\nu = \frac{\sum_{i,j=1}^{s,m} Y(i, j) j - \frac{1}{s \times m} \sum_{i,j=1}^{s,m} Y(i, j) \sum_{i,j=1}^{sm} j}{\sum_{i,j=1}^{s,m} j^2 - \frac{1}{s \times m} \left[\sum_{i,j=1}^{s,m} j \right]^2},$$

$$\simeq \frac{\sum_{i,j=1}^{s,m} Y(i, j) j - \frac{m}{\nu} \sum_{i,j=1}^{s,m} Y(i, j)}{s \times m^2 / \nu^2}$$

$$\begin{aligned}
a_\nu &= \frac{1}{s \times m} \sum_{i=1}^s \sum_{j=1}^m Y(i, j) - \frac{b_\nu}{s \times m} \sum_{i=1}^s \sum_{j=1}^m i - \frac{c_\nu}{s \times m} \sum_{i=1}^s \sum_{j=1}^m j \\
&\approx \frac{1}{s \times m} \sum_{i,j=1}^{s,m} Y(i, j) - \frac{b_\nu s}{2} - \frac{c_\nu m}{2},
\end{aligned}$$

$$F^\nu(s; \nu) = \frac{1}{sm} \sum_{i=1}^s \sum_{j=1}^m [Y_\nu(i, j) - y_\nu(i, j)]^\nu$$

$$\begin{aligned}
\left\langle \left[F^\nu(s, m; \nu) \right] \right\rangle &= \left\langle \frac{1}{s \times m} \sum_{i,j=1}^{s,m} [Y(i, j) - a - bi - cj]^\nu \right\rangle \\
&\approx \left\langle \frac{1}{s \times m} \sum_{i,j=1}^{s,m} Y(i, j)^\nu \right\rangle + \langle a^\nu \rangle + \frac{s^\nu}{\nu} \langle b^\nu \rangle + \frac{m^\nu}{\nu} \langle c^\nu \rangle \\
&\quad - \nu \left\langle \frac{a}{s \times m} \sum_{i,j=1}^{s,m} Y(i, j) \right\rangle - \nu \left\langle \frac{b}{s \times m} \sum_{i,j=1}^{sm} iY(i, j) \right\rangle \\
&\quad - \nu \left\langle \frac{c}{s \times m} \sum_{i,j=1}^{sm} jY(i, j) \right\rangle + s \langle ab \rangle + m \langle ac \rangle + \frac{s \times m}{\nu} \langle bc \rangle
\end{aligned}$$

$$Y(i, j) = (ij)^H x$$

$$Y(i, j) - Y(k, l) = Y(i, l) + Y(k, j) + |i - k|^H |j - l|^H x$$

$$= [(il)^H + (kj)^H + |i - k|^H |j - l|^H] x,$$

$$\langle [Y(i, j) - Y(k, l)]^{\Upsilon} \rangle = \sigma^{\Upsilon} [(il)^H + (kj)^H + |i - k|^H |j - l|^H]^{\Upsilon}$$

$$\sigma^{\Upsilon} = \langle x(i, j)^{\Upsilon} \rangle$$

$$\langle Y(i, j)^{\Upsilon} \rangle = \sigma^{\Upsilon} (ij)^{\Upsilon H}$$

$$\begin{aligned} \langle Y(i, j)Y(k, l) \rangle &= \frac{\sigma^{\Upsilon}}{\Upsilon} [(ij)^{\Upsilon H} + (kl)^{\Upsilon H} - (ik)^{\Upsilon H} - (jl)^{\Upsilon H} \\ &\quad - \Upsilon |i - k|^H |j - l|^H [(il)^H + (kj)^H] \\ &\quad - |i - k|^{\Upsilon H} |j - l|^{\Upsilon H} - \Upsilon (ijkl)^H], \end{aligned}$$

$$\left\langle \left[F^\nu(s, m; \nu) \right] \right\rangle_\nu = C_H (s \times m)^\nu H$$

$$\begin{aligned}
C_H &= \frac{1}{\gamma} \sigma^\gamma \left[\frac{\gamma \circ + H (\lambda \circ + H [1 \gamma \gamma + H(\gamma + H)(\gamma \rho + \gamma H(\gamma + H))])}{(\gamma + H)^\gamma (\gamma + H)^\gamma (\gamma + \gamma H)^\gamma} \right. \\
&+ \left\{ - \frac{1 \gamma (\gamma \Gamma[\gamma + H]^\gamma + \Gamma[\gamma + \gamma H])}{(\gamma + H)^\gamma (\gamma + H) \Gamma[\gamma + \gamma H] \Gamma[\gamma + \gamma H]^\gamma} \right. \\
&\times \left. \left\{ \gamma \Gamma[\gamma + \gamma H] \left(\Gamma[\gamma + H] \left\{ \gamma H^\gamma \Gamma[H] + (\gamma + \Delta H) \Gamma[\gamma + H] + \Gamma[\gamma + H] \right\} + (\gamma + H) \Gamma[\gamma + \gamma H] \right) \right. \right. \\
&+ \left. \left. \Gamma[\gamma + H]^\gamma \Gamma[\Delta + \gamma H] \right\} + \left(\frac{1}{(\gamma + H)^\gamma} + \frac{\gamma \Gamma[\gamma + H]^\gamma}{\Gamma[\gamma + \gamma H]} \right) \right. \\
&\times \left(\gamma \left[\frac{1}{(\gamma + H)^\gamma} + \frac{\gamma \Gamma[\gamma + H]^\gamma}{\Gamma[\gamma + \gamma H]} \right] + \frac{\gamma \lambda}{(\gamma + H)(\gamma + H) \Gamma[\Delta + \gamma H]^\gamma} \right. \\
&\times \left. \left. \left(\gamma \Gamma[\gamma + H]^\gamma \Gamma[\gamma + \gamma H] + \left(\gamma (\gamma + H)(\gamma + H) \Gamma[\gamma + H]^\gamma + \Gamma[\gamma + \gamma H] \right) \Gamma[\Delta + \gamma H] \right) \right) \right] \}
\end{aligned}$$

$$\Gamma(x) \equiv (x - 1)! = \int_0^\infty t^{x-1} e^{-t} dt$$

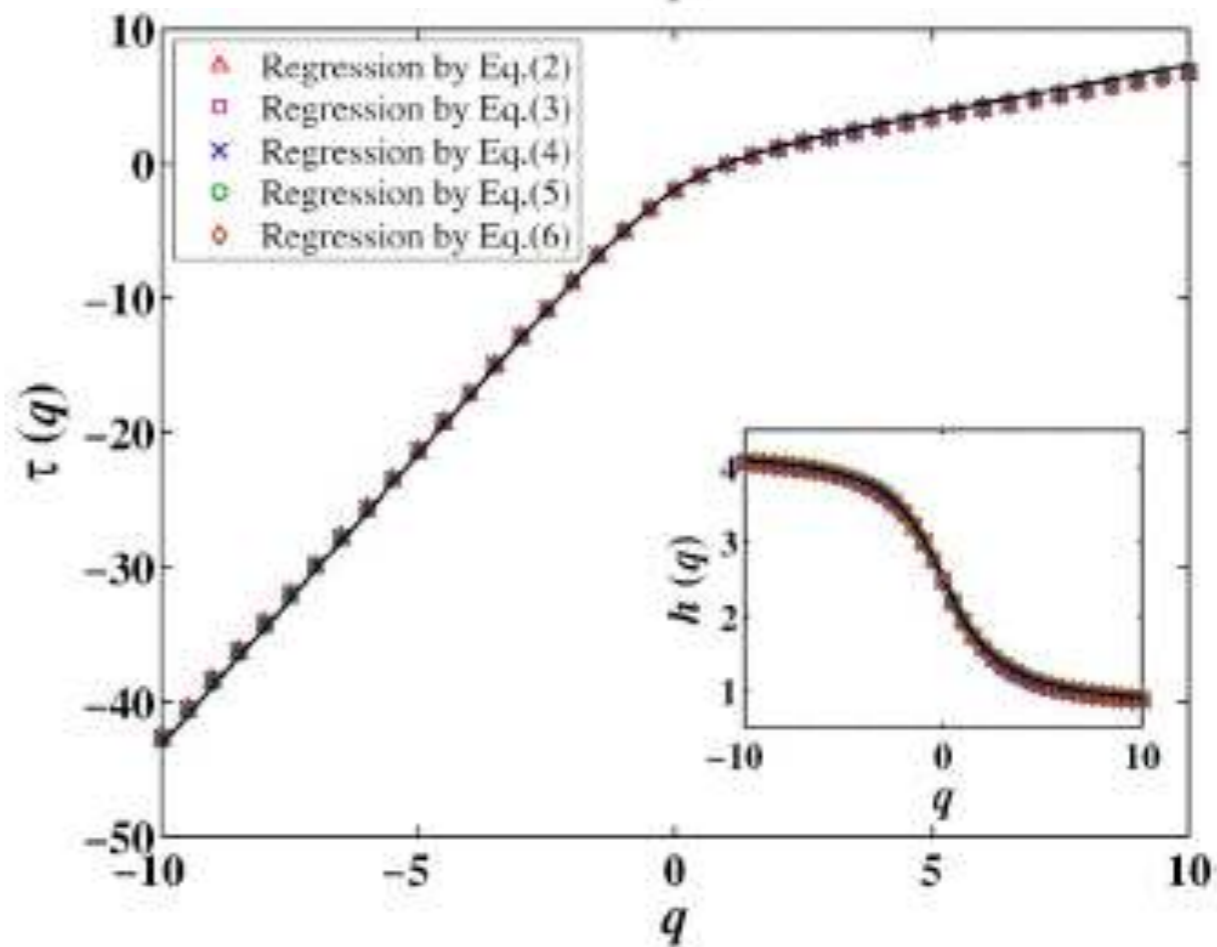
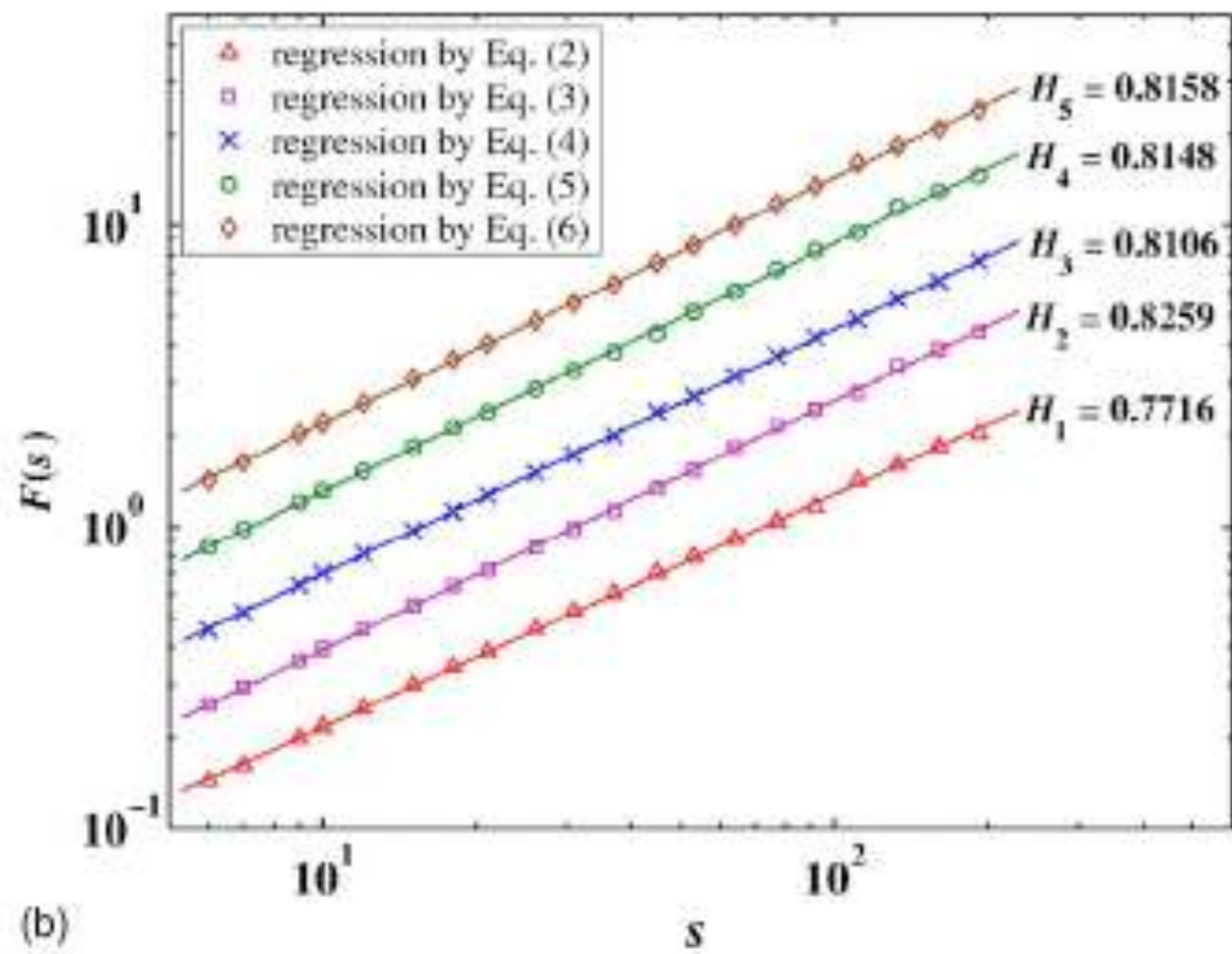
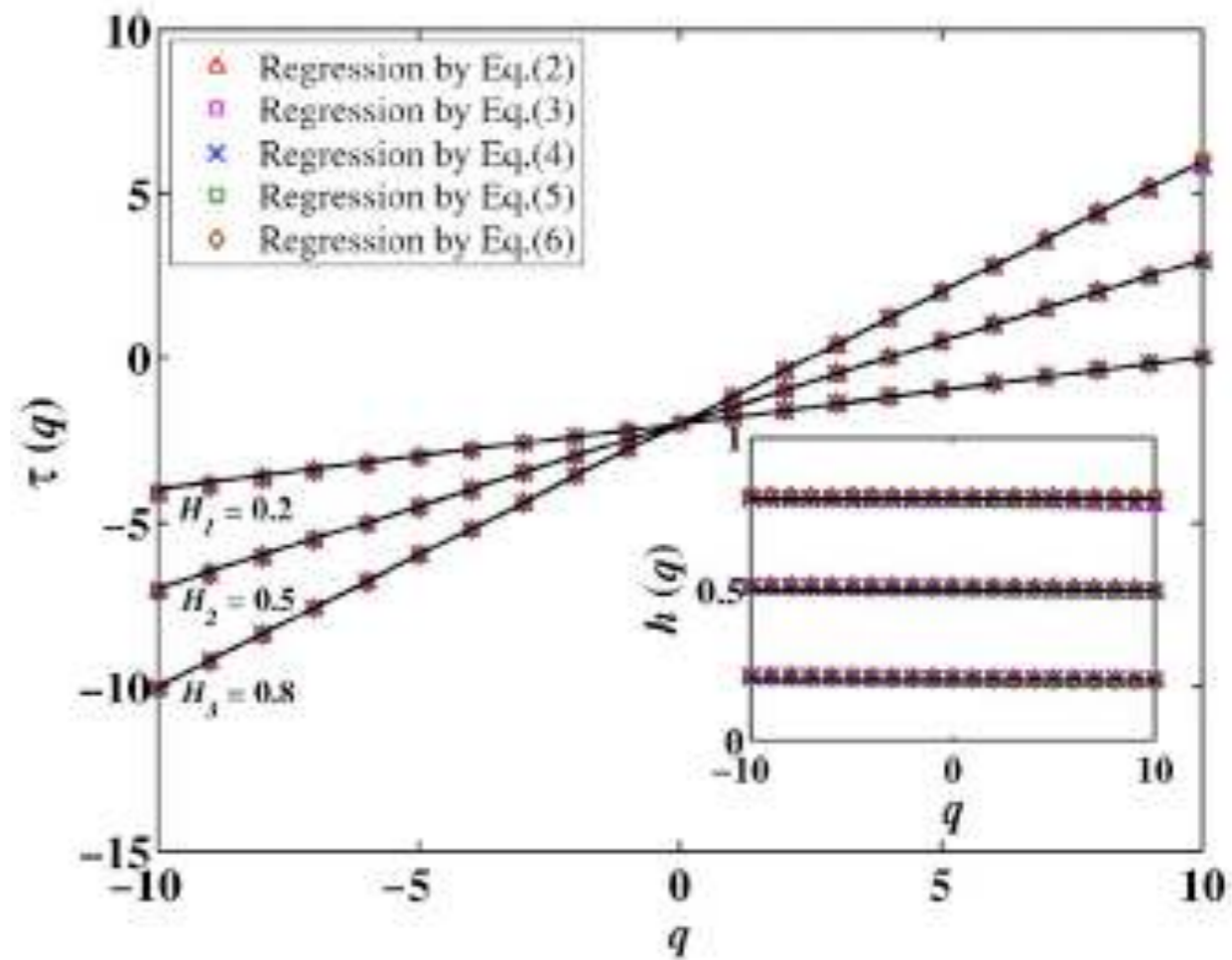
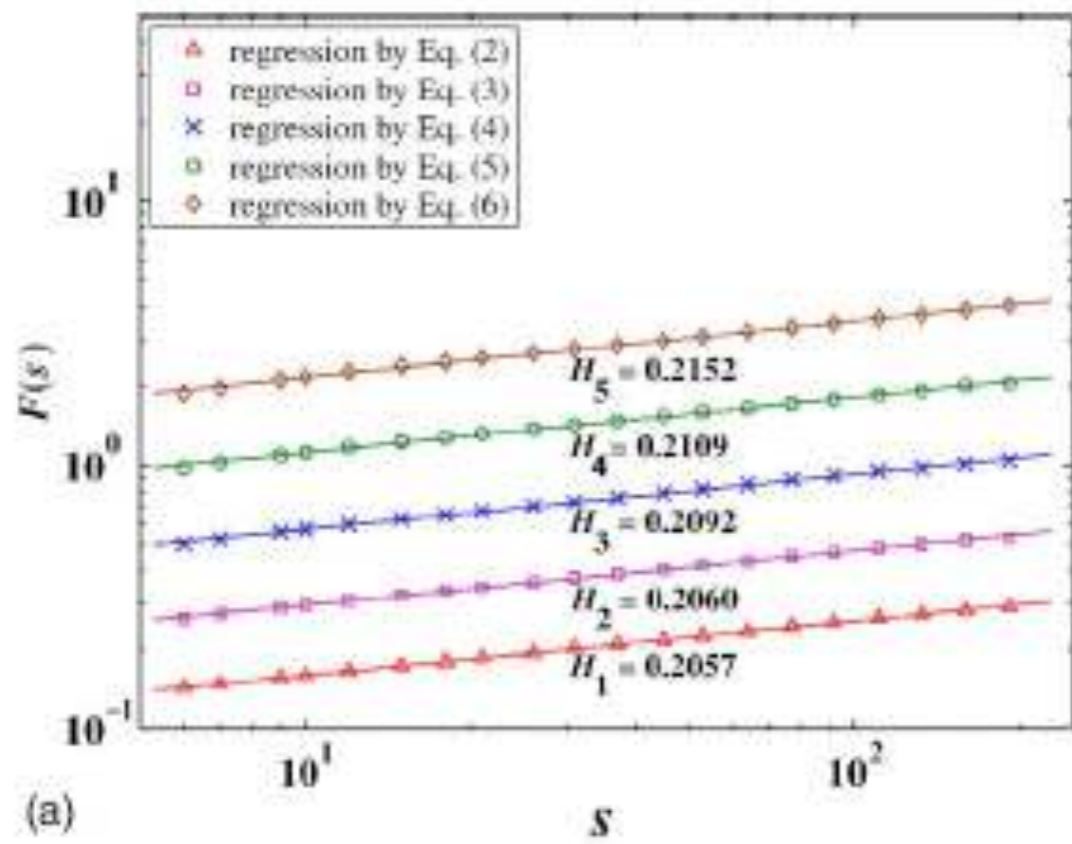
Some important exponents

$$\tau(q) = qh(q) - d_f$$

$$D_f = 3 - H$$

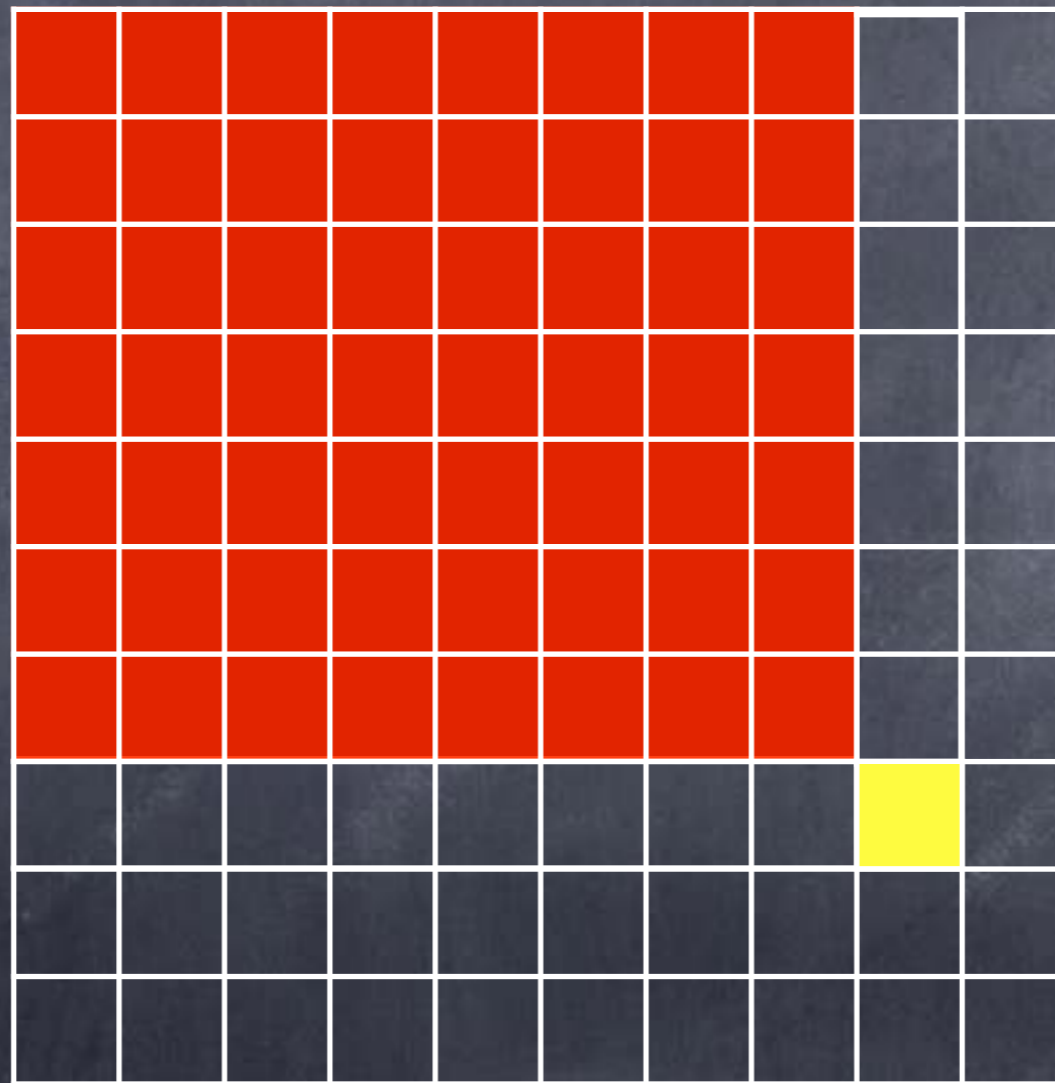
$$f(x) = \mu(x) \otimes |x|^{-(1-H)} \quad H \in (0,1)$$

$$\tau(q) = q(1 + H) - 1 - \log_2 \left[p^q + (1 - p)^q \right]$$



More about cumulative sum

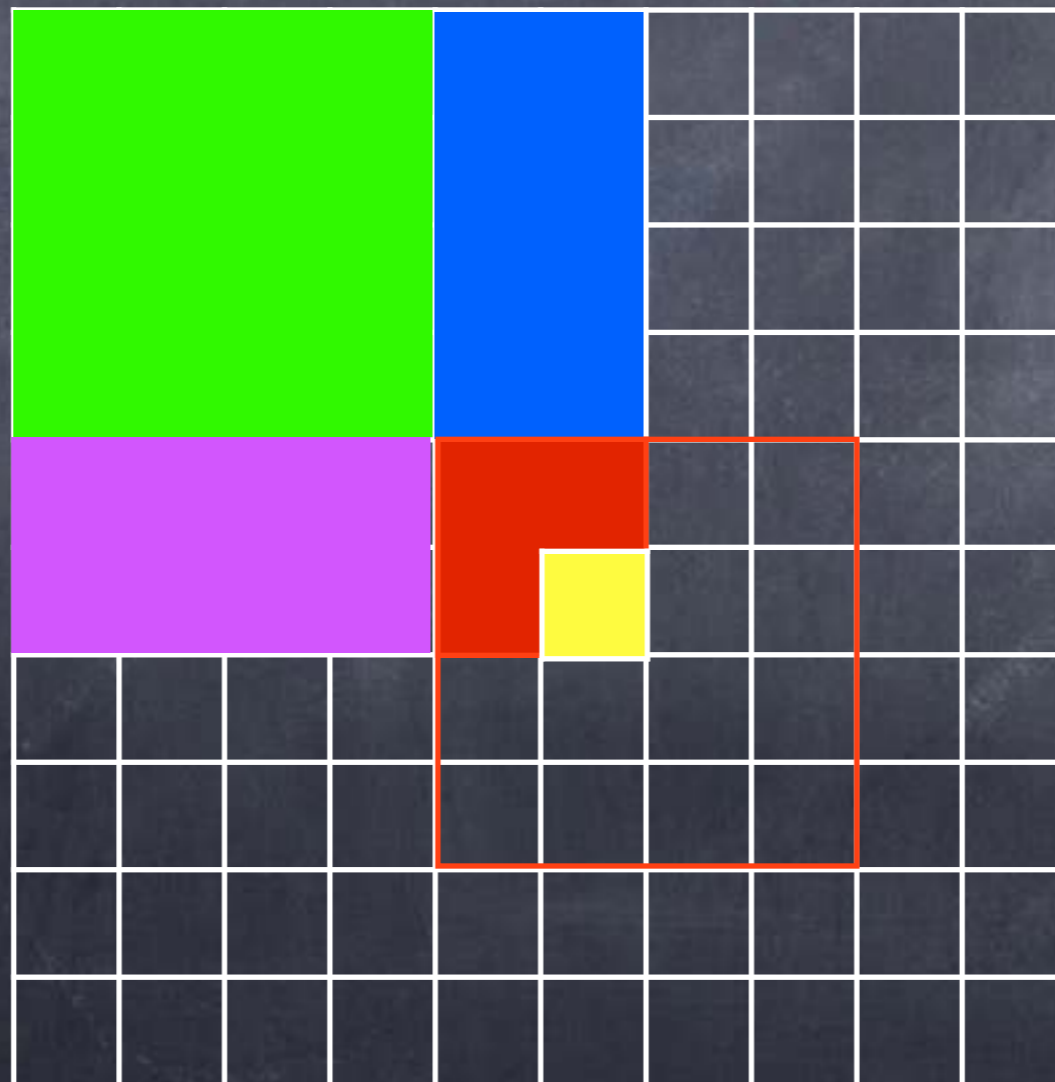
$$X(i, j) = X_{v,w}(i-1, j-1) + \sum_{k=1}^{i-1} x(k, j) + \sum_{l=1}^{j-1} x(i, l) + x(i, j)$$



More about cumulative sum

$$X(l_v + i, l_w + j) = X_{v,w}(i, j) + \sum_{k=1}^{l_v} \sum_{l=1}^{l_w} x(k, l) + \sum_{k=1}^{l_v} \sum_{l=l_w+1}^{l_w+j} x(k, l) + \sum_{k=l_v+1}^{l_v+i} \sum_{l=1}^{l_w} x(k, l)$$

$s = 4$
 $i = j = 2$
 $v = 2$
 $w = 2$
 $l_2 = 4$
 $l_2 = 4$



Multifractal Detrended cross-correlation ((MF-DCCA

- Step I: Consider two time series as:

$$\{x(i)\} \quad \{y(i)\} \quad i = 1, 2, \dots, N$$

$$M_s = \text{int}\left(\frac{N}{s}\right)$$

- Step II: Construct profile and trend functions.
Polynomials or based on empirical mode decomposition (EMD, non-parametric)

$$X_v(k) = \sum_{i=1}^k x(l_v + i) \quad l_v = (v-1)s$$

$$Y_v(k) = \sum_{i=1}^k y(l_v + i)$$

$$F(s, v) = \frac{1}{s} \sum_i^s \left\{ Y[(v-1)s + i - y_v(i)] \right\} \times \left\{ X[(v-1)s + i - x_v(i)] \right\} \quad v = 1, \dots, M_s$$

$$F(s, v) = \frac{1}{s} \sum_i^s \left\{ Y[N - (v-1)s + i - y_v(i)] \right\} \times \left\{ X[N - (v-1)s + i - x_v(i)] \right\} \quad v = M_s + 1, \dots, 2M_s$$

- Step IV: Averaging over all segments as:

$$F_q(s) = \left\{ \frac{1}{M_s} \sum_{v=1}^{M_s} [F(s, v)]^{q/2} \right\}^{1/q}$$

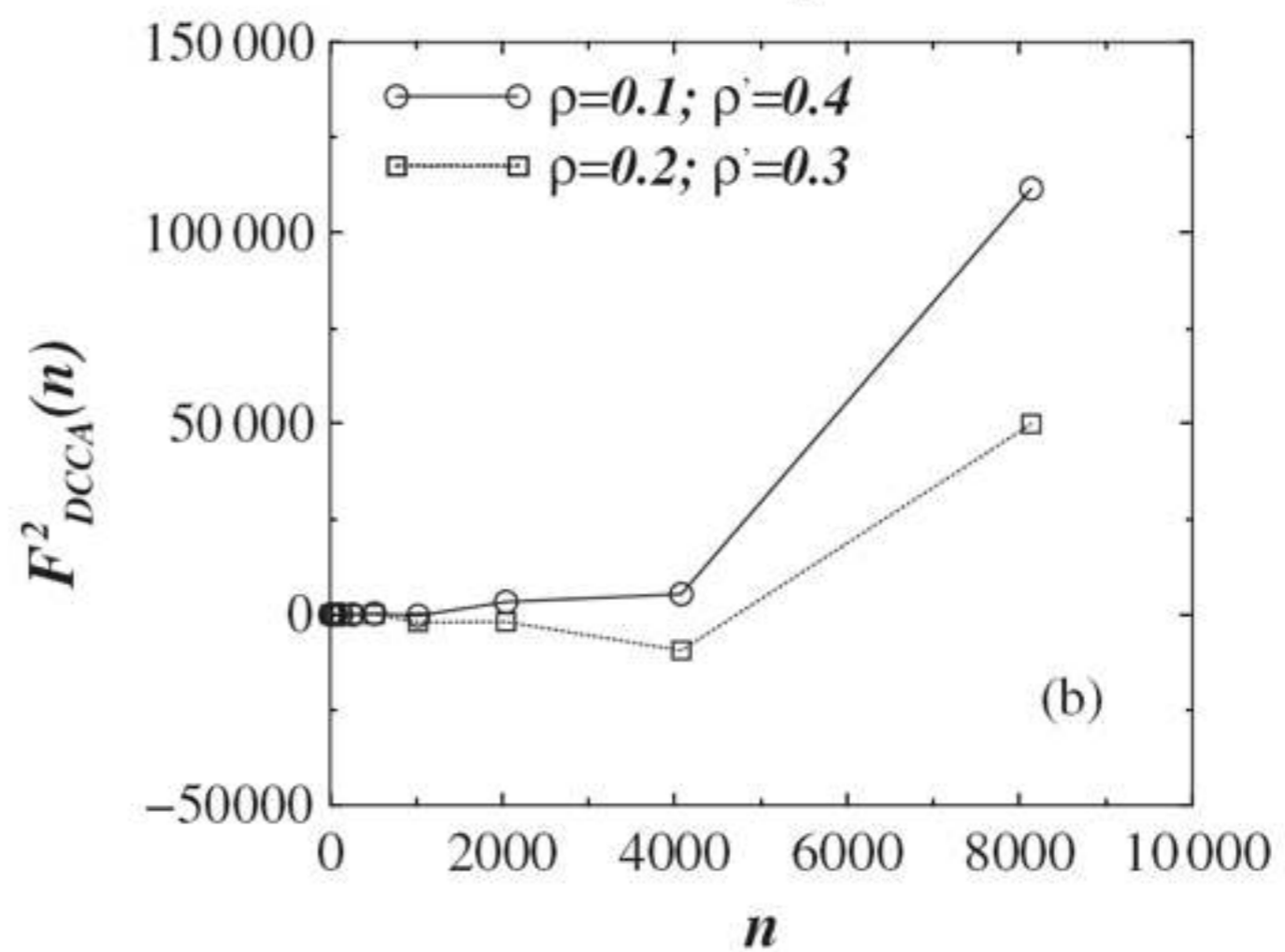
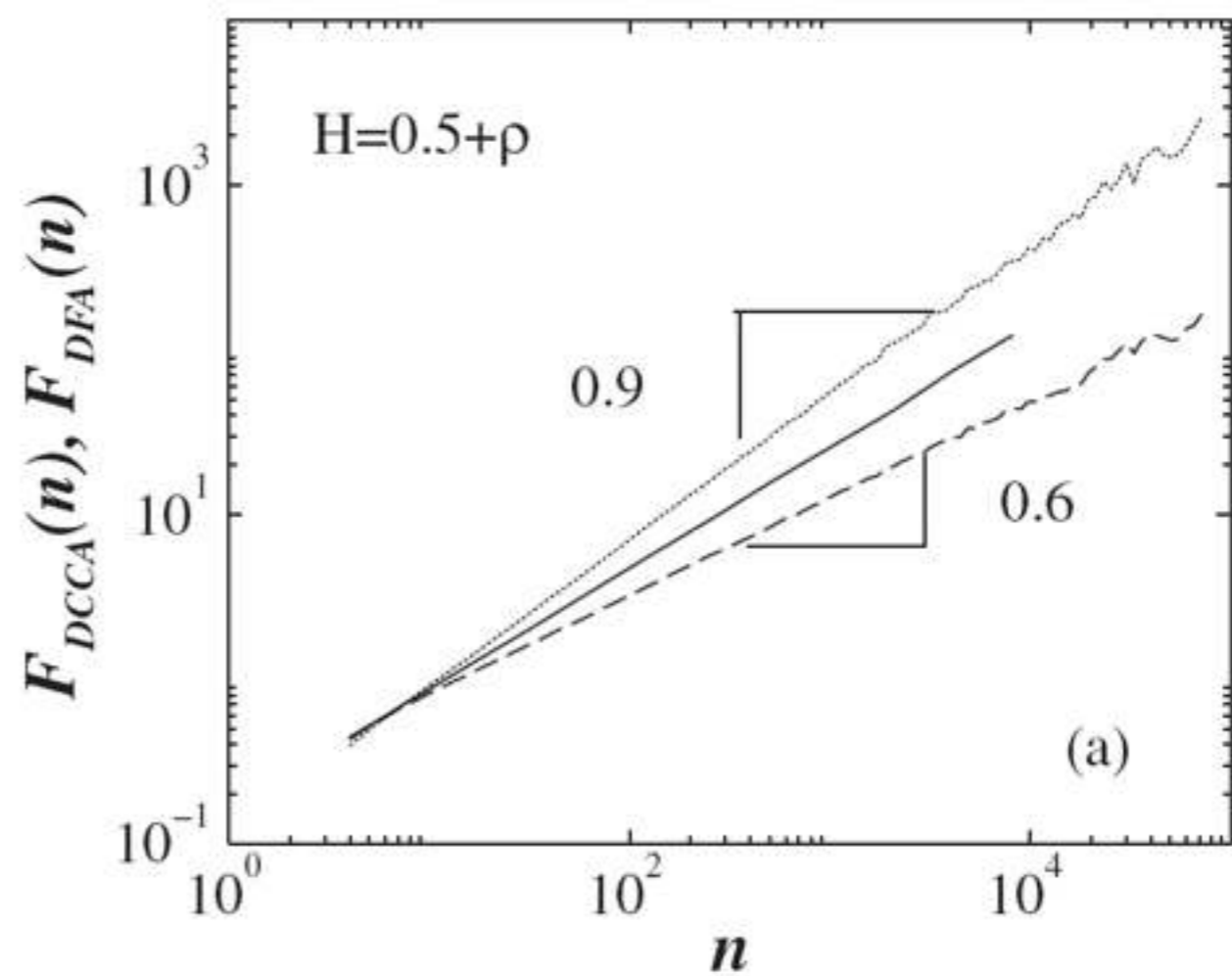
$$F_0(s) = \exp \left(\frac{1}{2M_s} \sum_{v=1}^{M_s} \ln [F(s, v)] \right)$$

- Step V: Demanding a scaling relation according to:

$$F_q(s) \propto s^{\lambda(q)}$$

- If two underlying series to be equal so one finds nothing except the Hurst exponent:

$$F_q(s) \propto s^{h(q)}$$



2D version of MF-DCCA

$$x(i, j) \quad y(i, j) \quad i = 1, \dots, M \quad j = 1, \dots, N$$

$$M_s = \text{int}\left(\frac{M}{s}\right) \quad N_s = \text{int}\left(\frac{N}{s}\right)$$

$$X_{v,w}(i, j) = \sum_{k=1}^i \sum_{l=1}^j x_{v,w}(k, l)$$

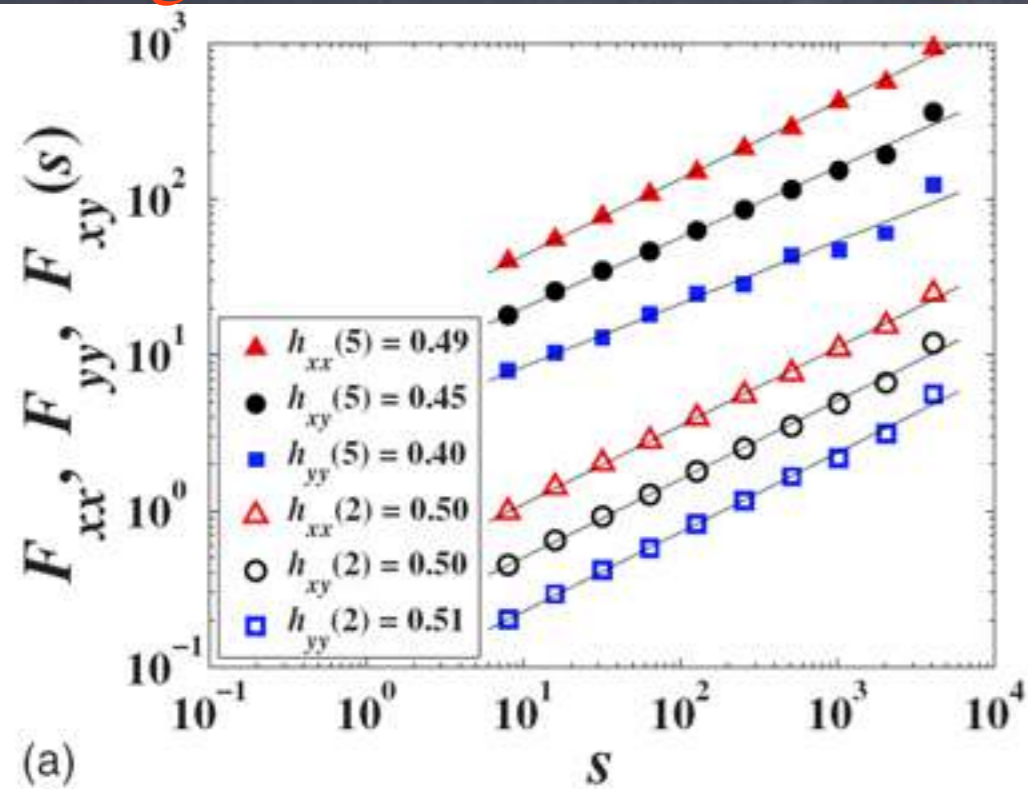
$$Y_{v,w}(i, j) = \sum_{k=1}^i \sum_{l=1}^j y_{v,w}(k, l)$$

$$F_{v,w}(s) = \frac{1}{s^2} \sum_{i=1}^s \sum_{j=1}^s [X_{v,w}(i, j) - \bar{X}_{v,w}^0(i, j)] [Y_{v,w}(i, j) - \bar{Y}_{v,w}^0(i, j)]$$

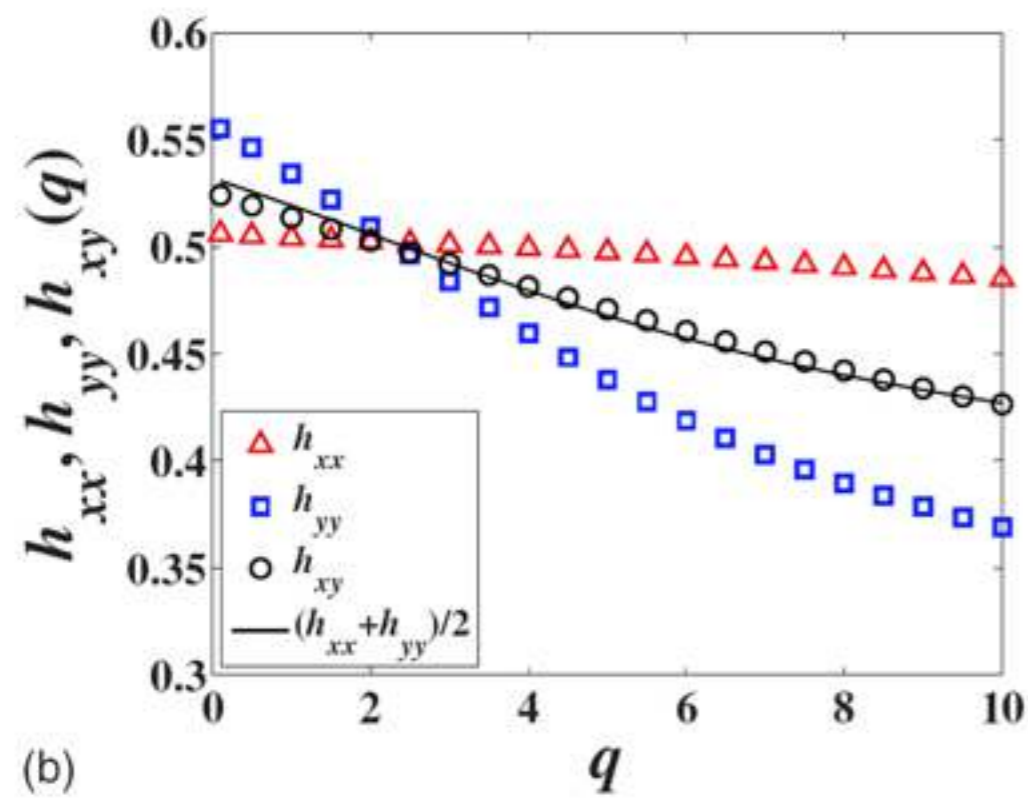
$$F_q(s) = \left(\frac{1}{M_s N_s} \sum_{v=1}^{M_s} \sum_{w=1}^{N_s} [F_{v,w}(s)]^{q/2} \right)^{1/q}$$

$$F_0(s) = \exp \left(\frac{1}{2M_s N_s} \sum_{v=1}^{M_s} \sum_{w=1}^{N_s} \ln [F_{v,w}(s)] \right)$$

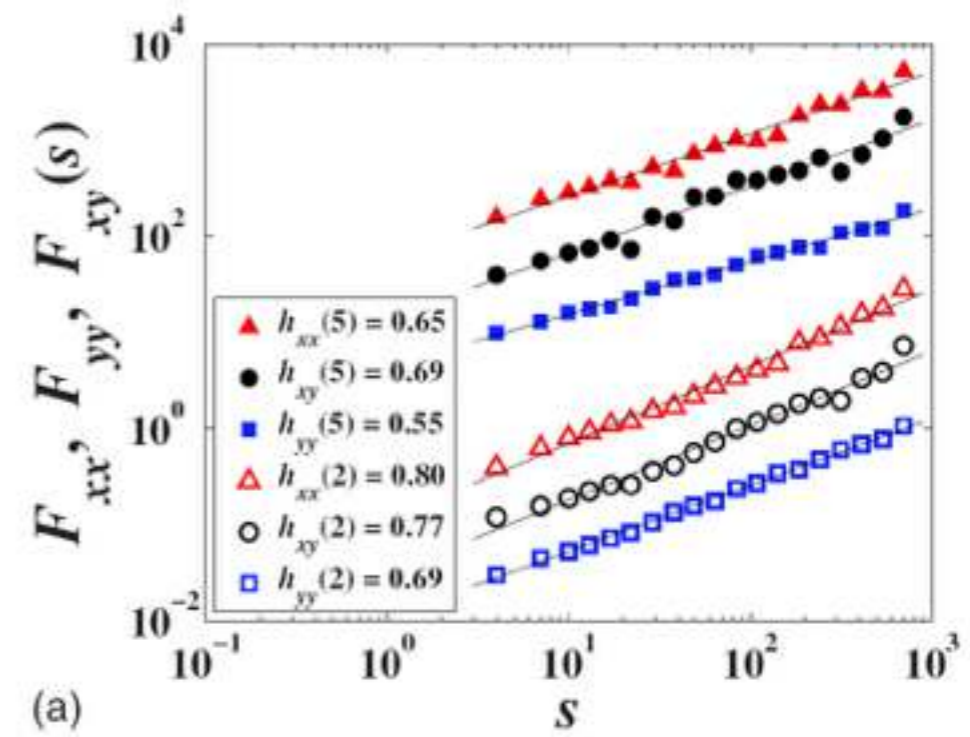
$$F_q(s) \propto s^{-\lambda(q)}$$



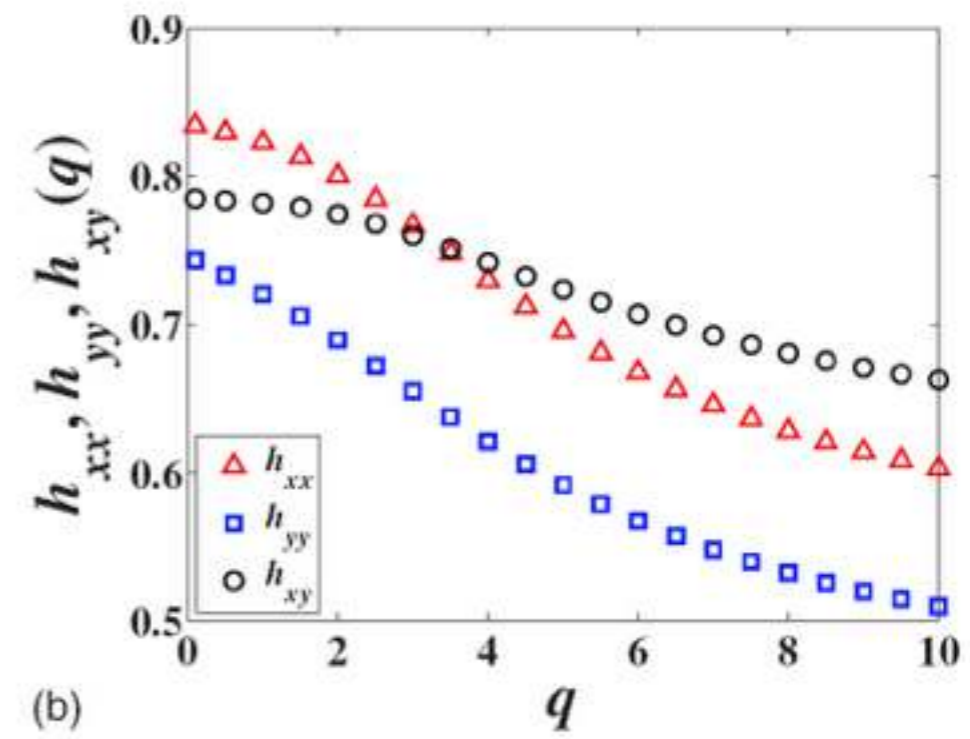
(a)



(b)



(a)



(b)

FIG. 2. (Color online) Multifractal nature of the power-law cross correlations of two MRWs. (a) Power-law scaling in F_{xy} , F_{xx} , and F_{yy} with respect to s for $q=2$ and 5 ; (b) power-law exponents h_{xy} , h_{xx} , and h_{yy} .

FIG. 3. (Color online) Multifractal nature of the power-law cross correlations of the absolute values of daily price changes for DJIA and NASDAQ indices in the period from July 1993 to November 2003. (a) Power-law scaling in F_{xy} , F_{xx} , and F_{yy} with respect to s for $q=2$ and 5 . The scaling range is the same as in Ref. [15]. (b) Dependence of the power-law exponents h_{xy} , h_{xx} , and h_{yy} as nonlinear functions of q , indicating the presence of multifractality. There is no clear relation between these exponents.

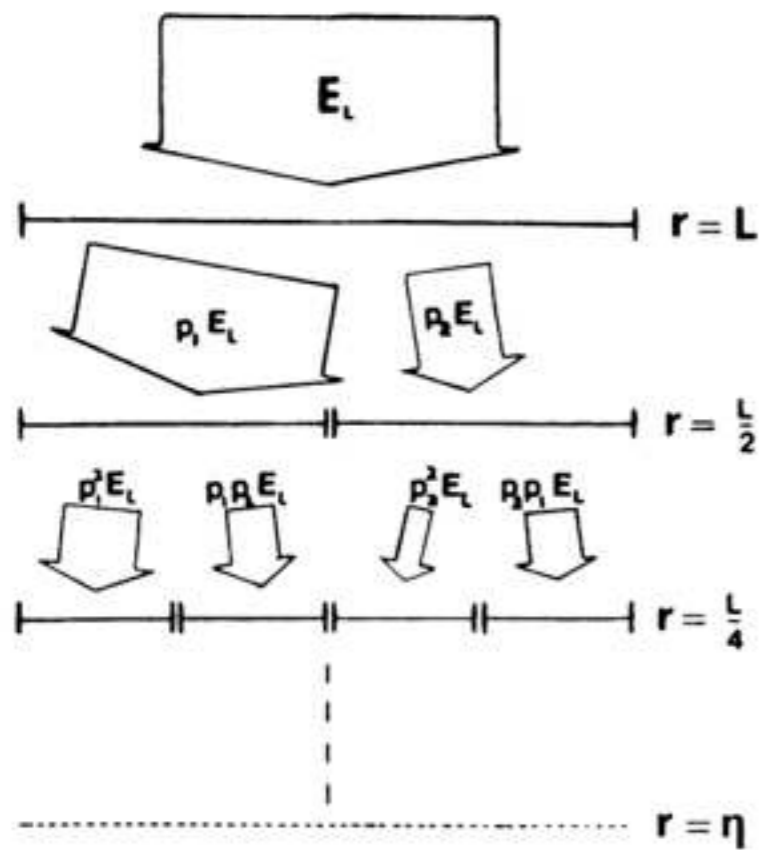


FIG. 3. One-dimensional version of a cascade model of eddies, each breaking down into two new ones. The flux of kinetic energy to smaller scales is divided into nonequal fractions p_1 and p_2 . This cascade terminates when the eddies are of the size of the Kolmogorov scale, η .

B. B. Mandelbrot, J. Fluid Mech. **62**, (1) 331 1974

C. Meneveau and K. R. Sreenivasan, (2) Phys. Rev. Lett. **59**, 1424 1987

E. A. Novikov, Phys. Fluids A **2**, 814(3) 1990

C. Meneveau and K. R. Sreenivasan, (4) J. Fluid Mech. **224**, 429 1991

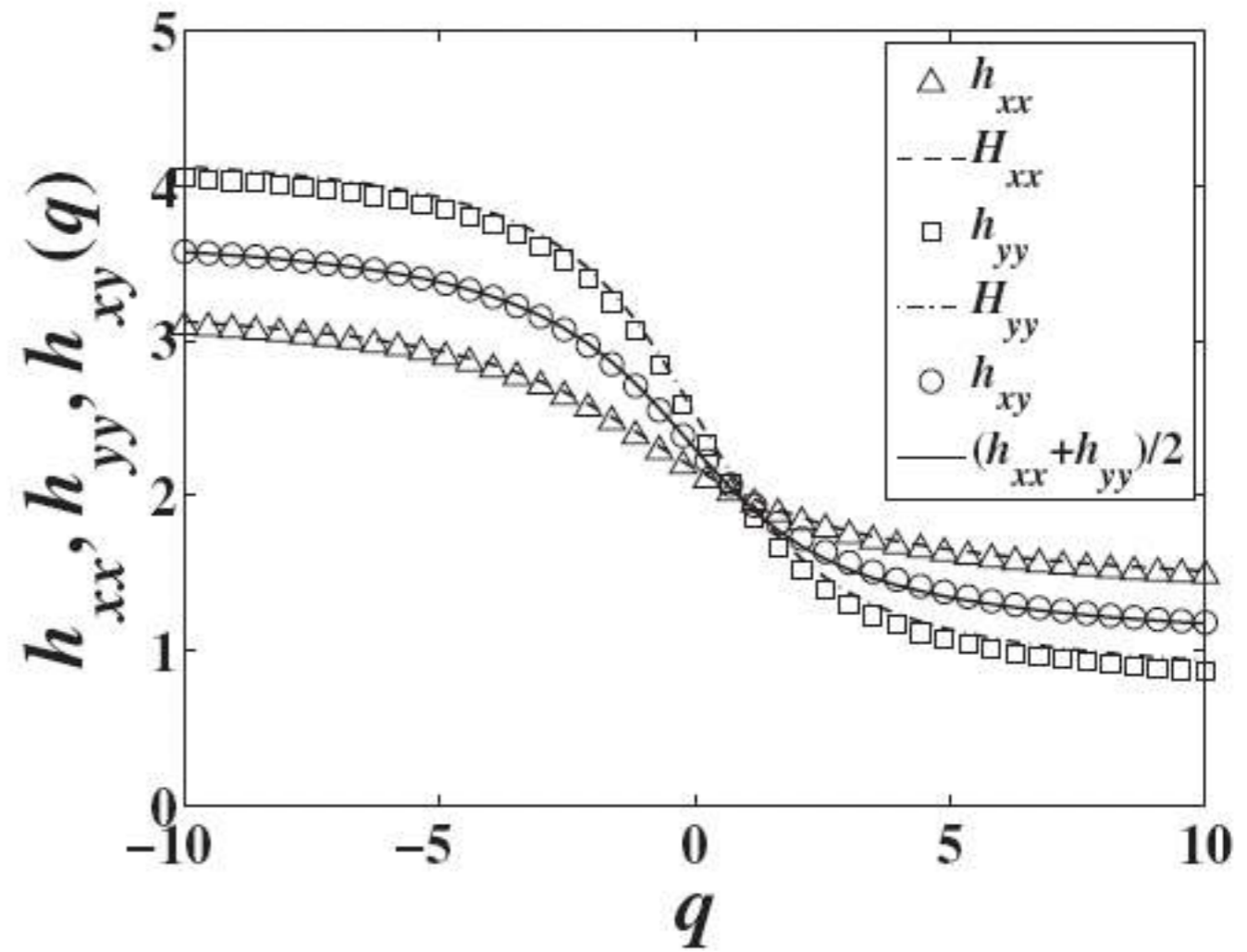


FIG. 4. Multifractal detrended cross-correlation analysis of two cross-correlated synthetic binomial measures from the p model. The size of each multifractal is 4096×4096 and the cross-correlation coefficient is 0.48. The numerical exponents $h_{xx}(q)$ and $h_{yy}(q)$ obtained from the multifractal detrended fluctuation analysis of X and Y are located approximately on the analytical curves $H_{xx}(q)$ and $H_{yy}(q)$. This example illustrates the relation $h_{xy}(q) = [h_{xx}(q) + h_{yy}(q)]/2$.

$$H_{zz}(q) = [2 - \log_2(p_{11}^q + p_{12}^q + p_{21}^q + p_{22}^q)]/q,$$

Cross-correlation exponent for stationary series

$$x(i, j) \quad y(i, j) \quad i = 1, \dots, M \quad j = 1, \dots, N$$

$$\mu_x = \frac{1}{N} \sum_{i=1}^N x(i) \quad \sigma_x^2 = \frac{1}{N-1} \sum_{i=1}^N [x(i) - \mu_x]^2$$

$$\mu_y = \frac{1}{N} \sum_{i=1}^N y(i) \quad \sigma_y^2 = \frac{1}{N-1} \sum_{i=1}^N [y(i) - \mu_y]^2$$

$$C_x(\tau) = \frac{\langle (x(i+\tau) - \mu_x)(x(i) - \mu_x) \rangle}{\sigma_x^2} : \tau^{-\gamma_x}$$

$$C_{xy}(\tau) = \frac{\langle (x(i+\tau) - \mu_x)(y(i) - \mu_y) \rangle}{\sigma_x \sigma_y} : \tau^{-\gamma_{xy}}$$

$$F_v(s) = \frac{1}{s} \sum_{i=1}^s [Y_v(i) - \bar{Y}][X_v(i) - \bar{X}]$$

$$F_2^2(s) = \frac{1}{M_s} \sum_{v=1}^{M_s} [F_v(s)] \equiv \langle [Y_v(s) - \bar{Y}][X_v(s) - \bar{X}] \rangle$$

$$= sC_{xy}(0) + \sum_{i=1}^{s-1} [s-i][C_{xy}(i) + C_{xy}(-i)]; s^{1-\gamma_{xy}} + s^{2-\gamma_{xy}}$$

$$F_2^2(s) : s^{2\lambda} : s^{2-\gamma_{xy}} \rightarrow 2 - \gamma_{xy} = 2\lambda \rightarrow \gamma_{xy} = 2 - 2\lambda$$

Cross-Correlation in the presence of trends

$$x(i, j) \quad y(i, j) \quad i = 1, \dots, M \quad j = 1, \dots, N$$

$$F(s, \nu) = \frac{1}{s} \sum_i^s \left\{ Y[(\nu - 1)s + i] - y_\nu(i) \right\} \times \left\{ X[(\nu - 1)s + i] - x_\nu(i) \right\}$$

$$F_2^2(s) = \left\{ \frac{1}{M_s} \sum_{\nu=1}^{M_s} [F(s, \nu)] \right\} \div s^{2\lambda}$$

$$F_2^2(s) \div s^{2\lambda} \div s^{2-\gamma_{xy}} \rightarrow 2 - \gamma_{xy} = 2\lambda \rightarrow \gamma_{xy} = 2 - 2\lambda$$

$$\text{if } x \equiv y \rightarrow \gamma_{xx} = 2 - 2H$$

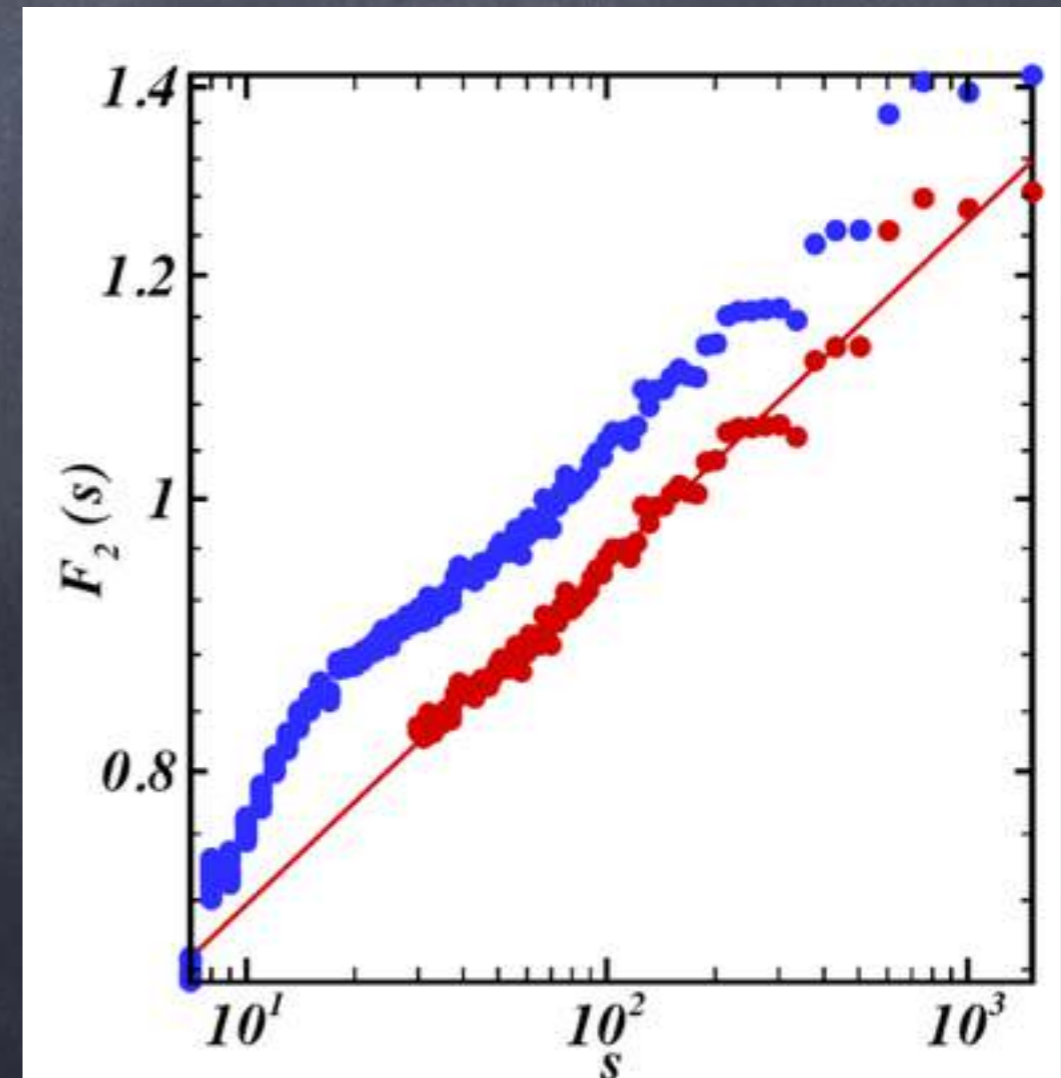
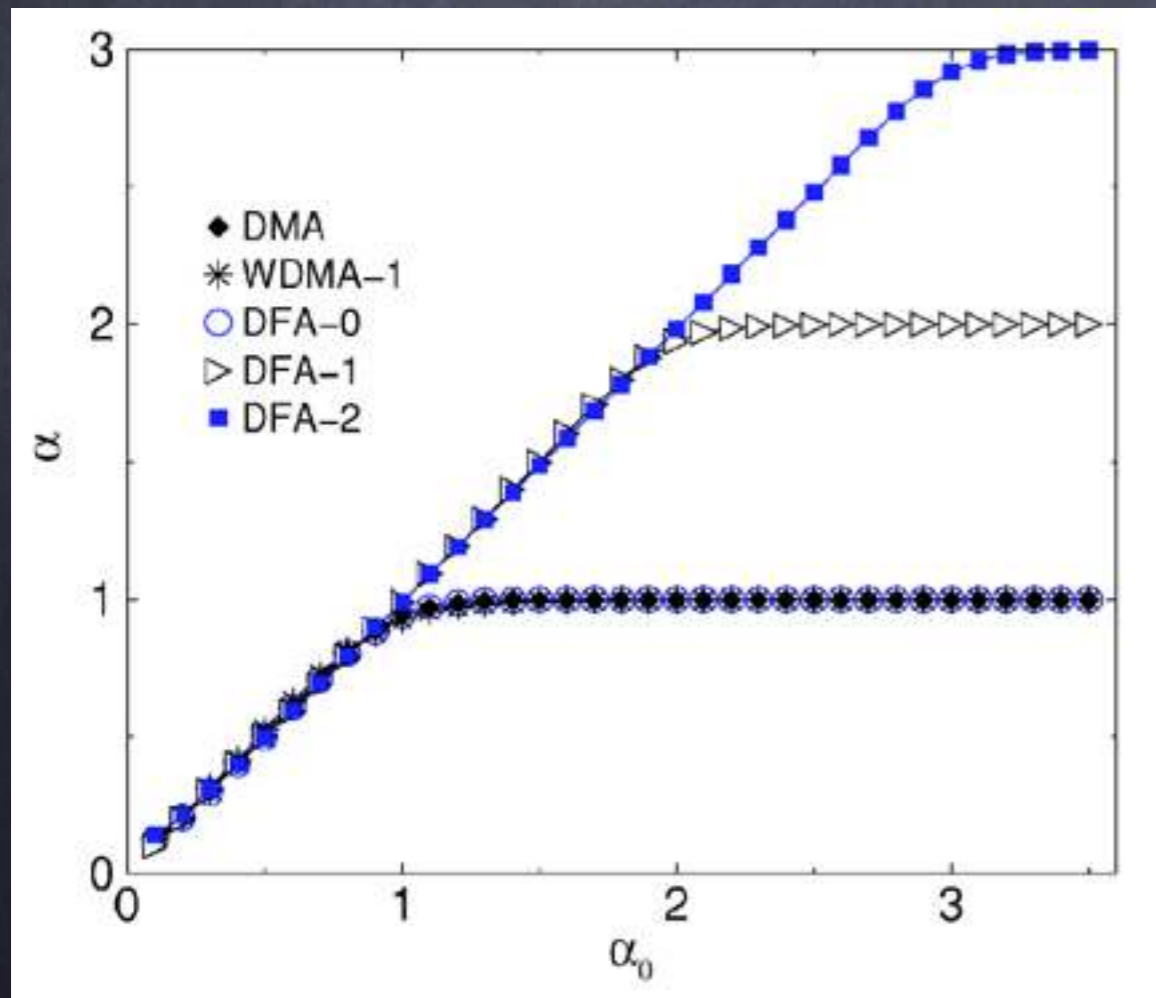
Strategy for using methods

- For stationary anti-correlated signal i.e. $H < 0.5$,
SWV
- For stationary correlated signal, $H > 0.5$,
R/S
- For signal with superimposed trends,
WTMM, MF-DFA, MF-TWDFFA, DMA

More about DFA

1) The longer the time series, the better the agreement with the theory in all methods but DFA behaves more reliable than others

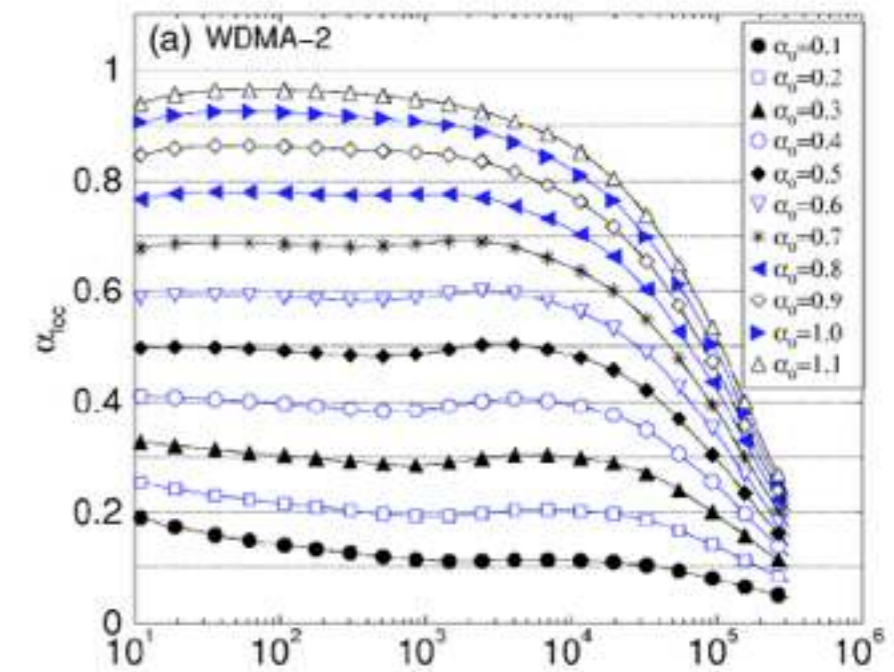
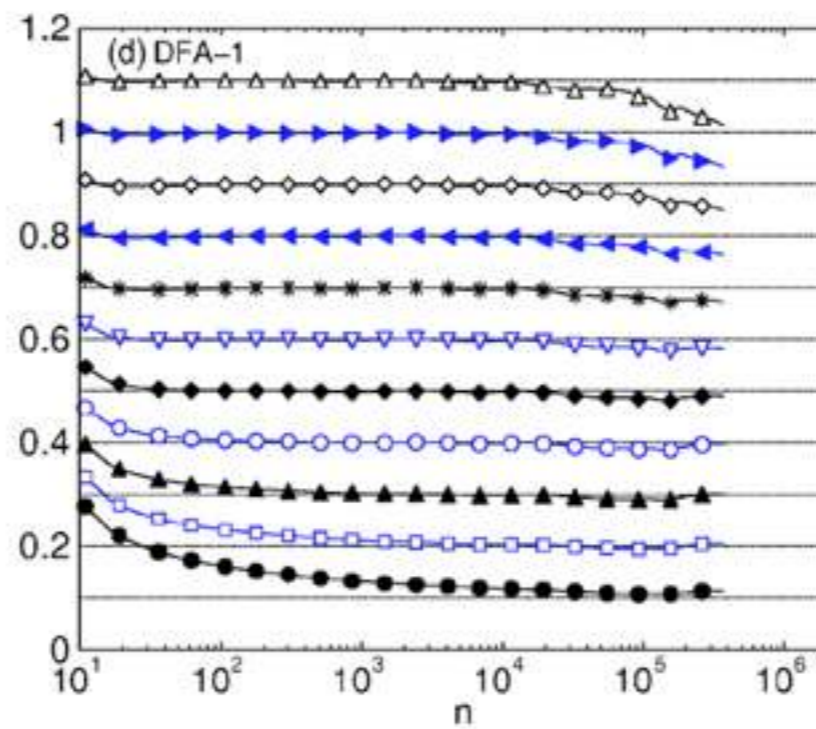
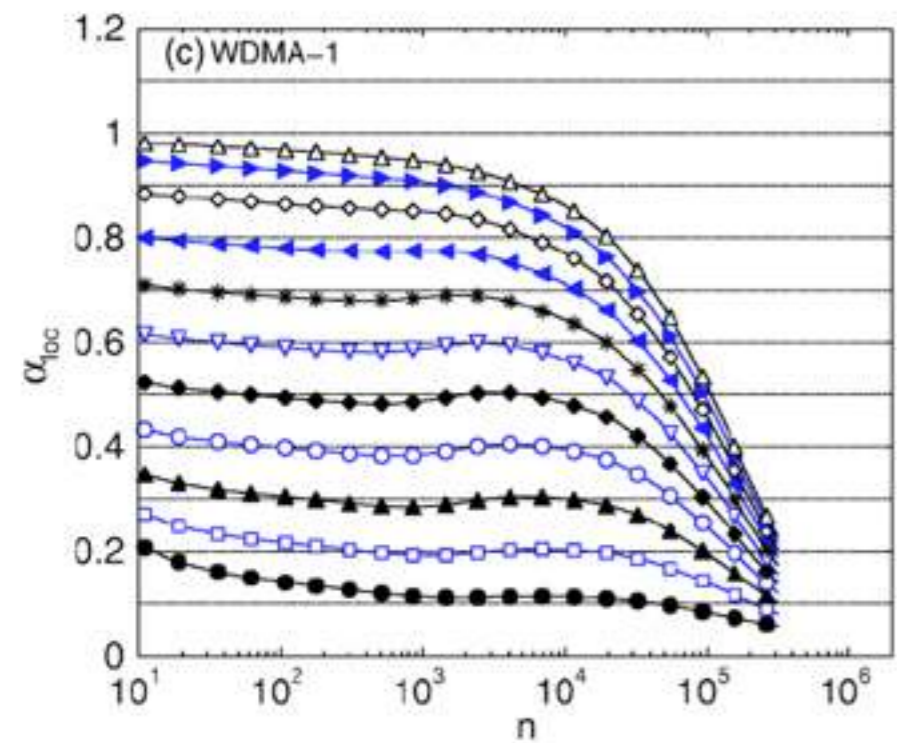
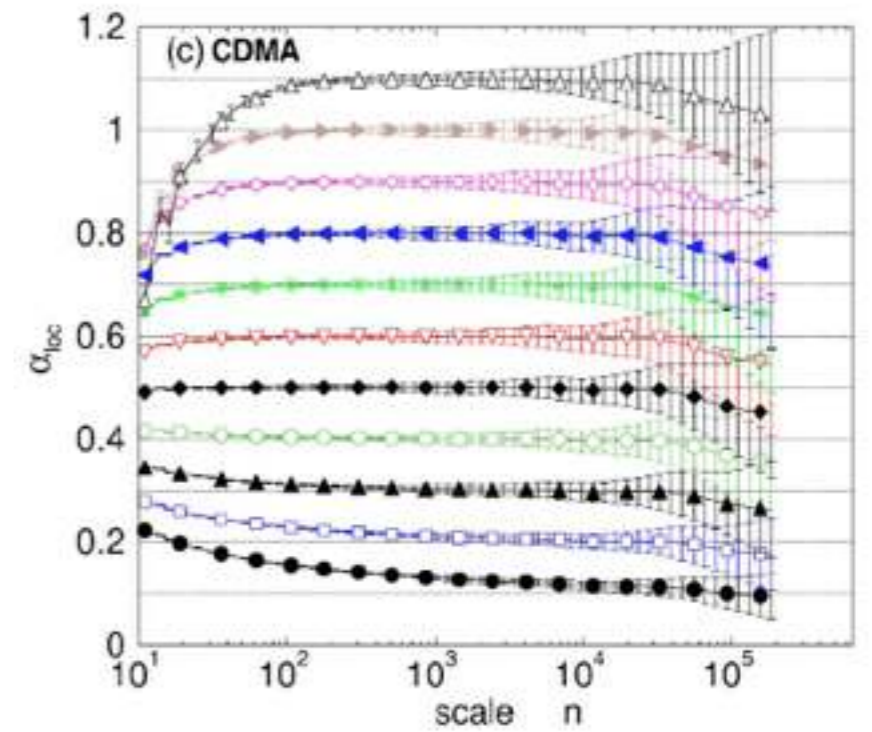
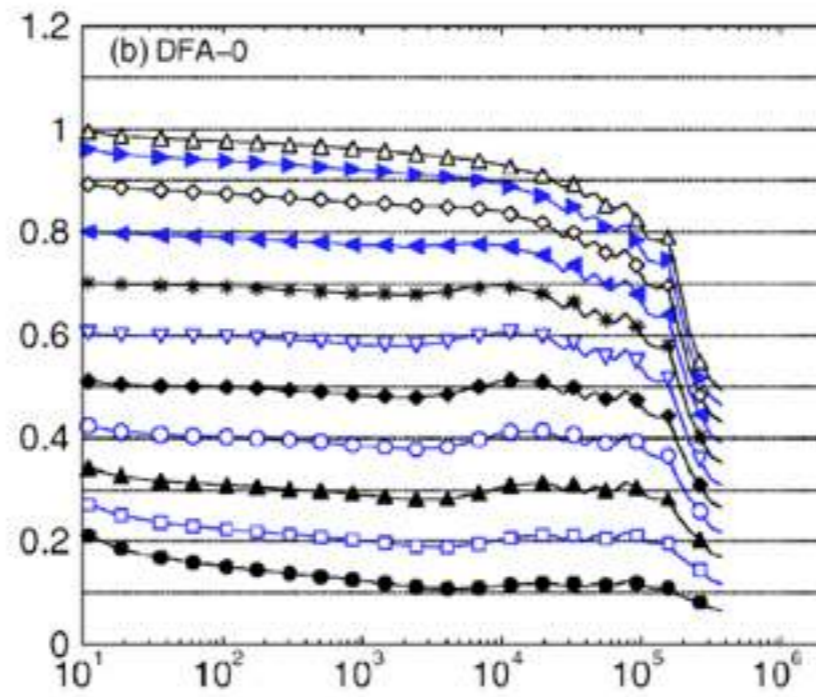
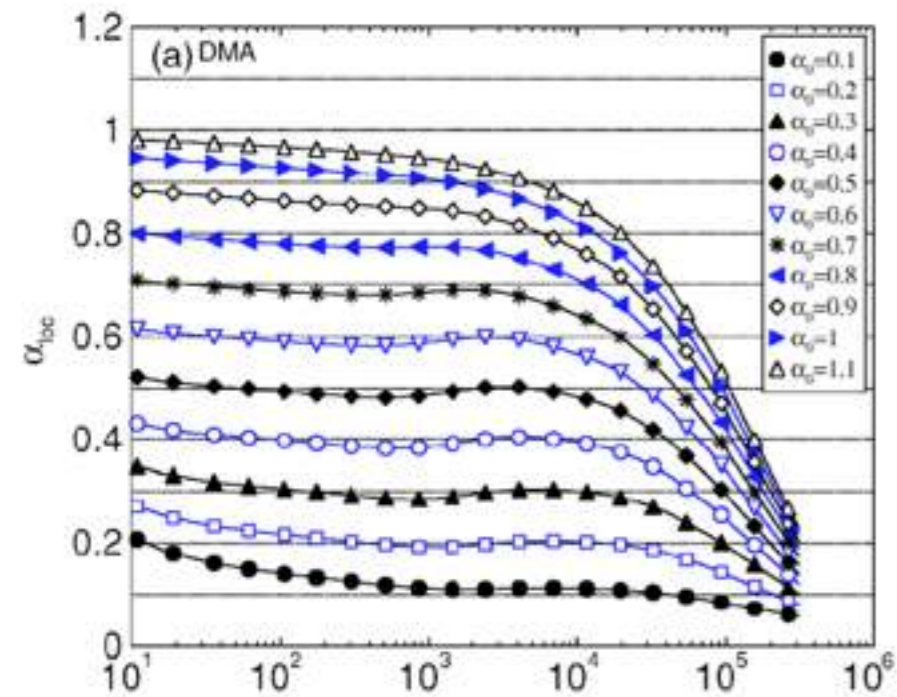
2) DFA cannot give correct results when $h(q=2) \sim 0$, In this case it is recommended to construct double profile and use DFA method

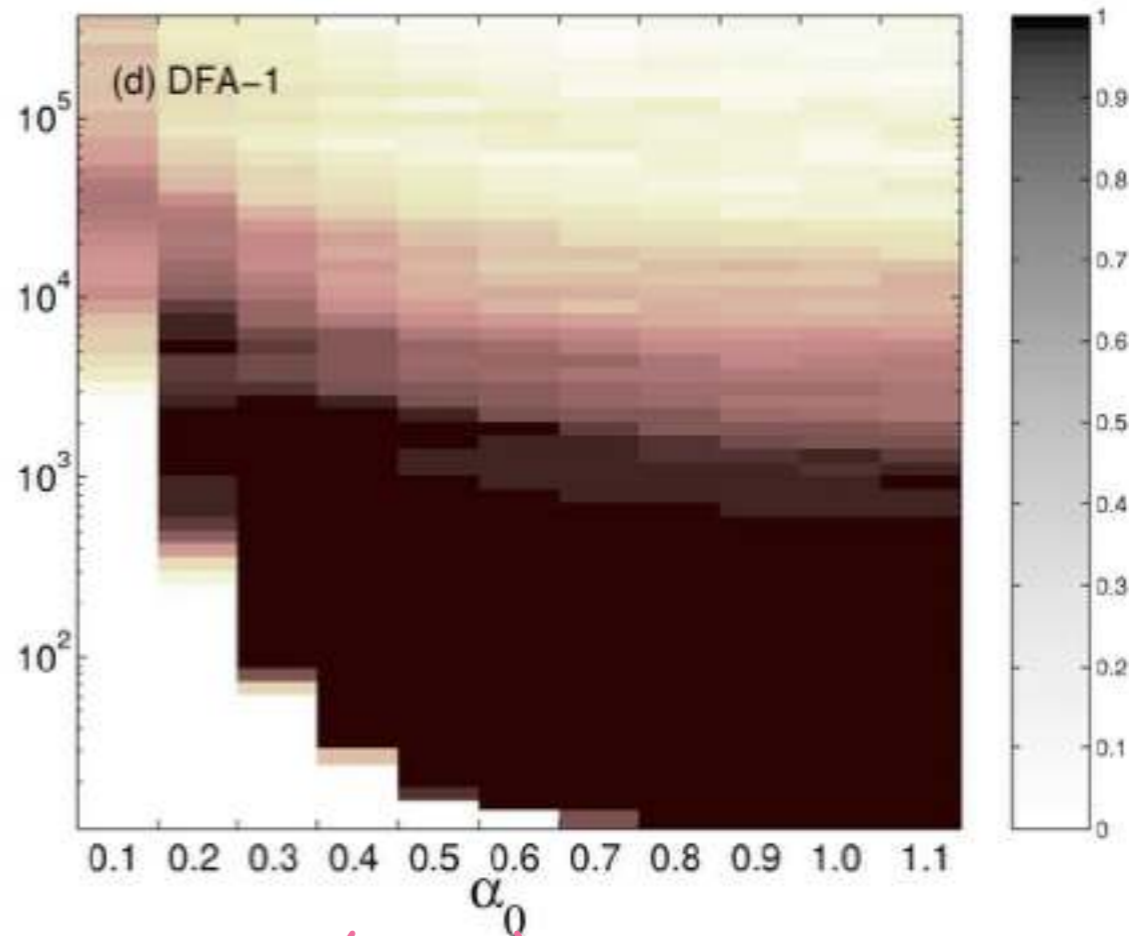
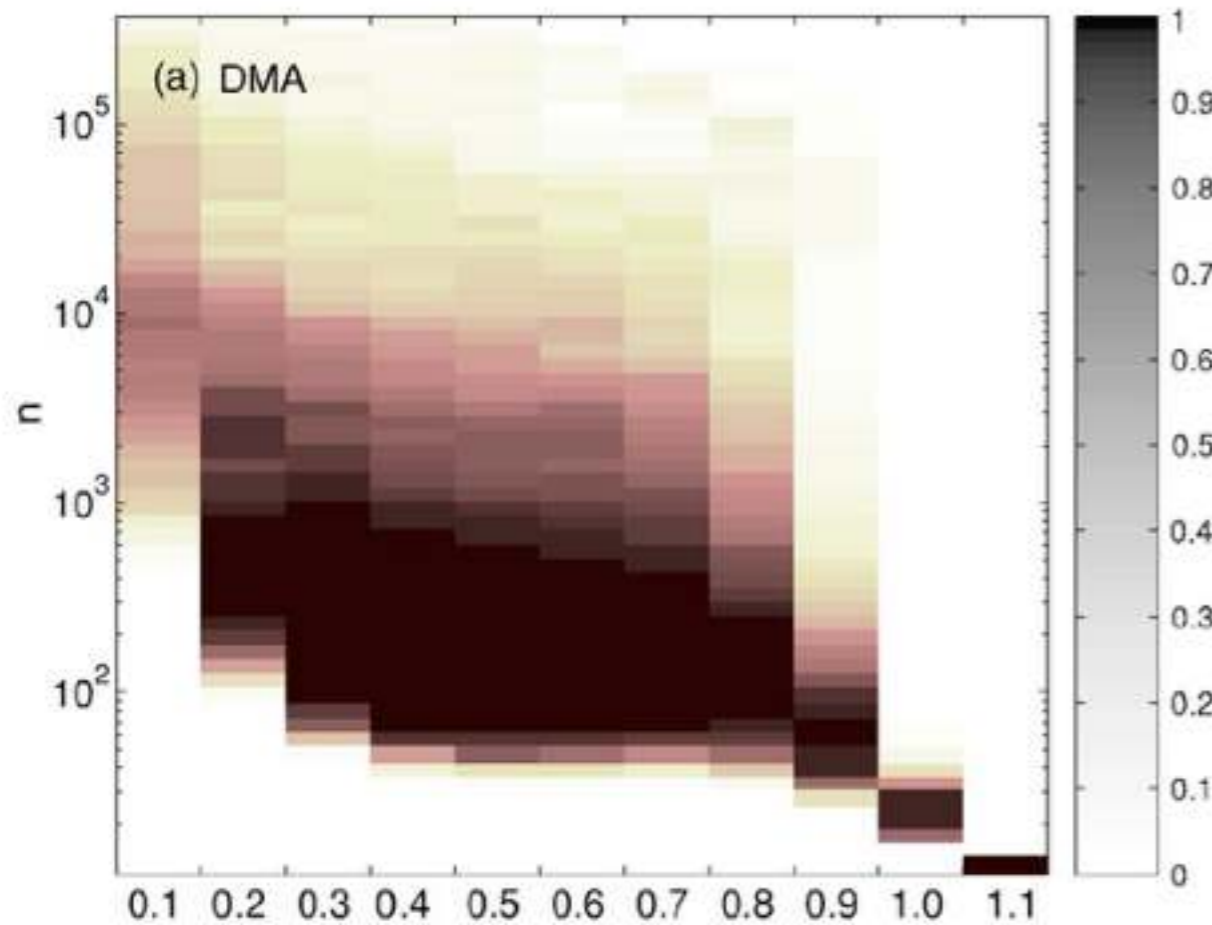
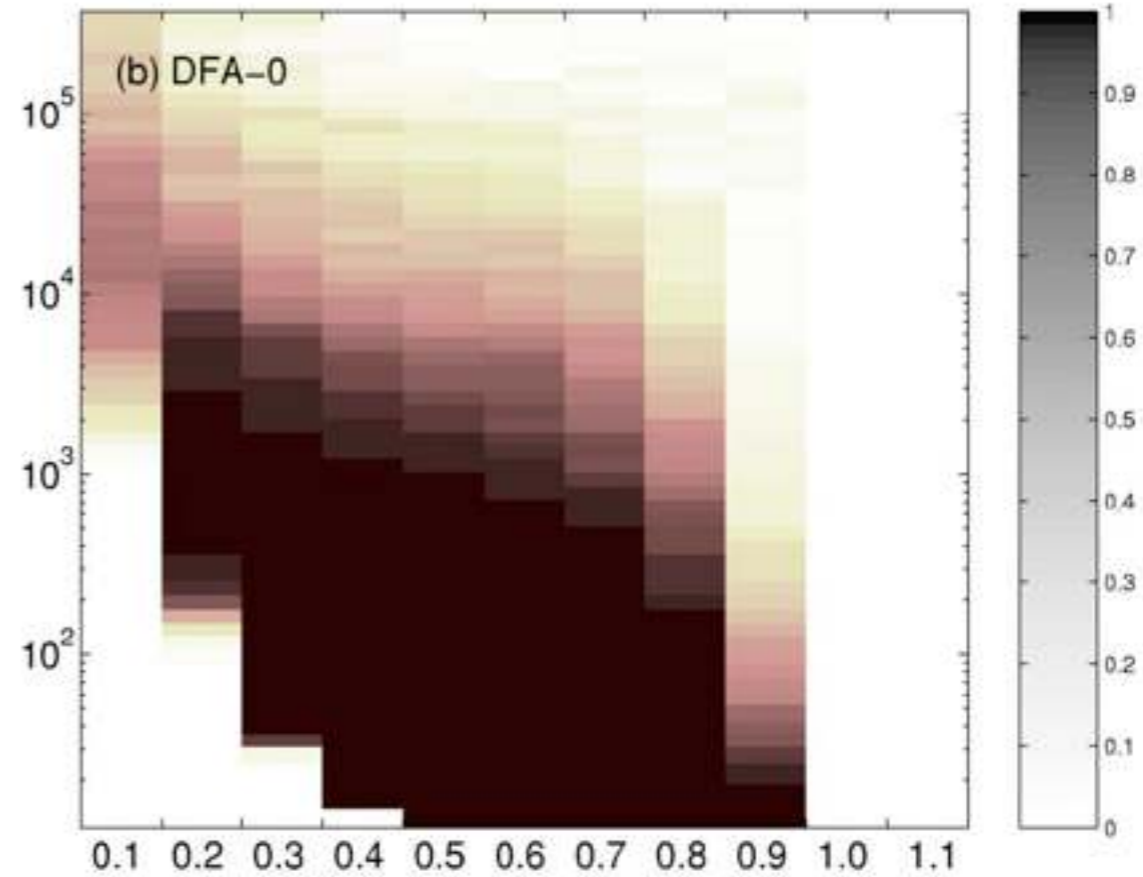
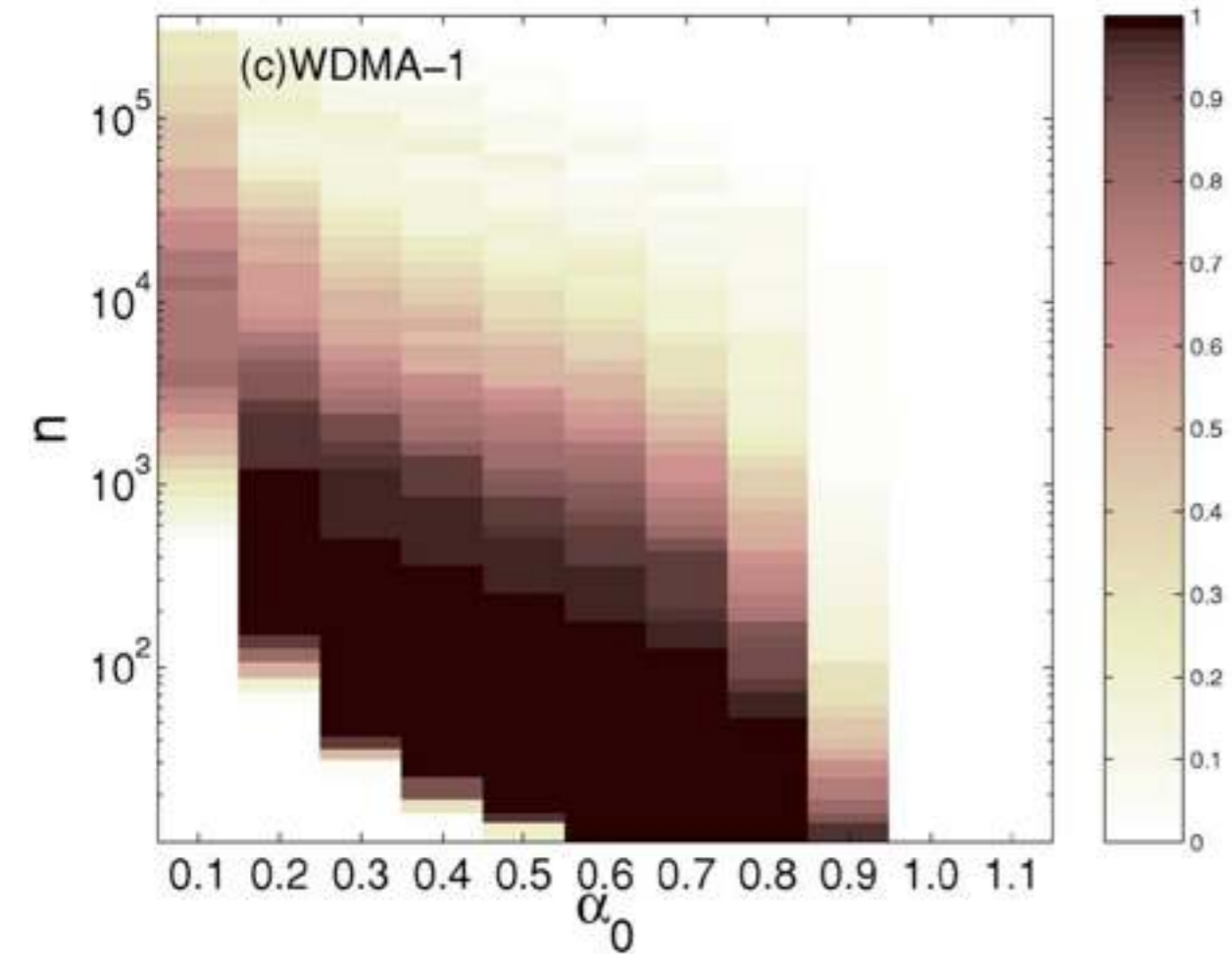


DMA (BDMA & CDMA) and MF-TWDFFA

: Refer to

arXiv:cond-mat/0507395 (1
(PRE 71, 051101 (2005 (2
(PRE 73, 016117 (2006 (3
(JSTAT P06021 (2010 (4



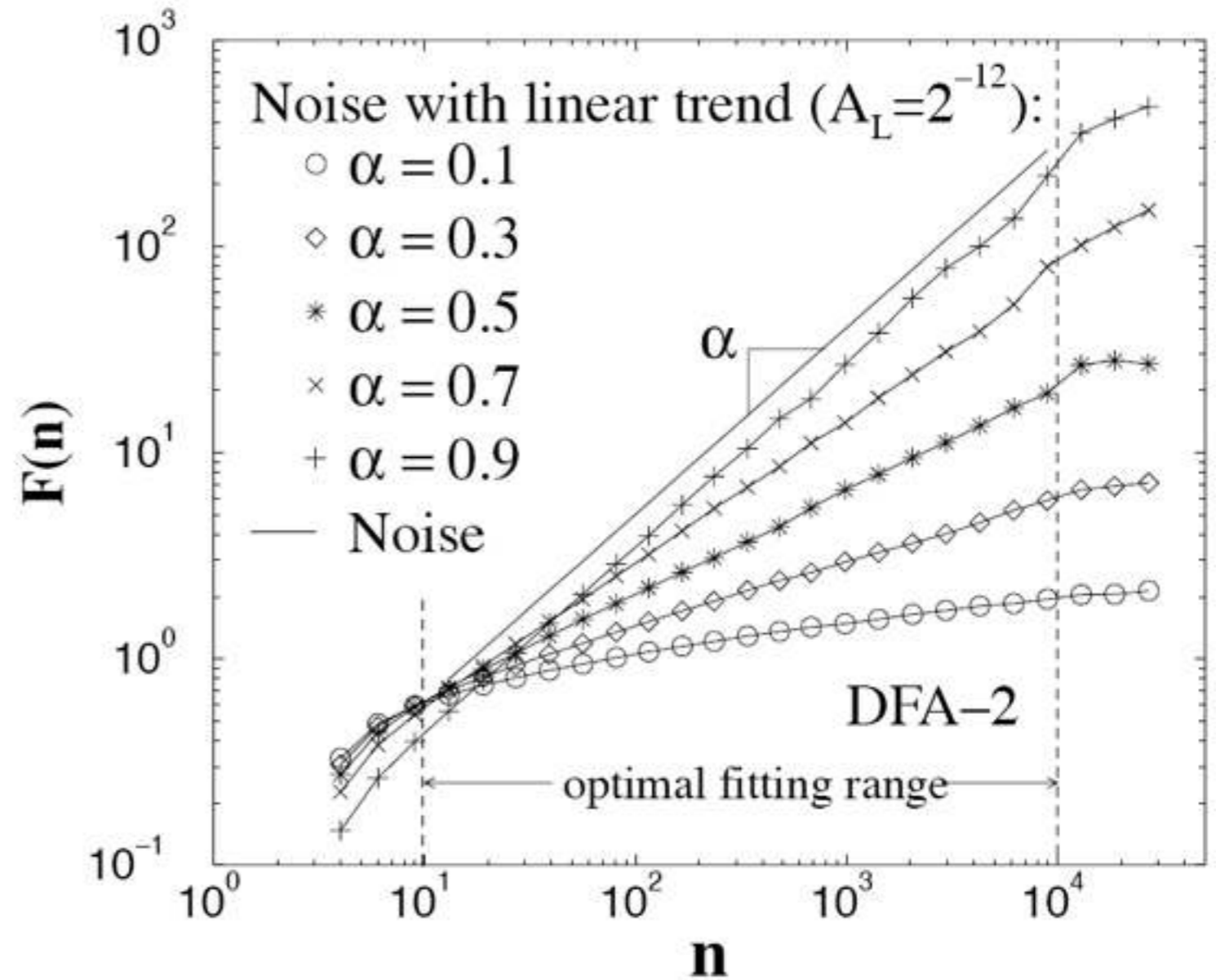
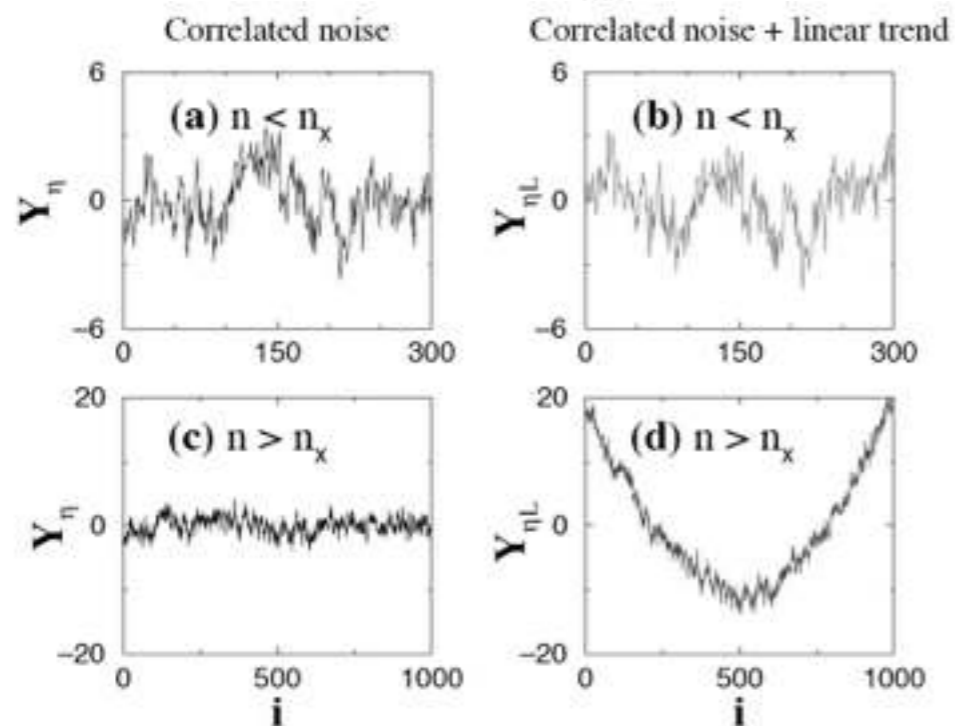
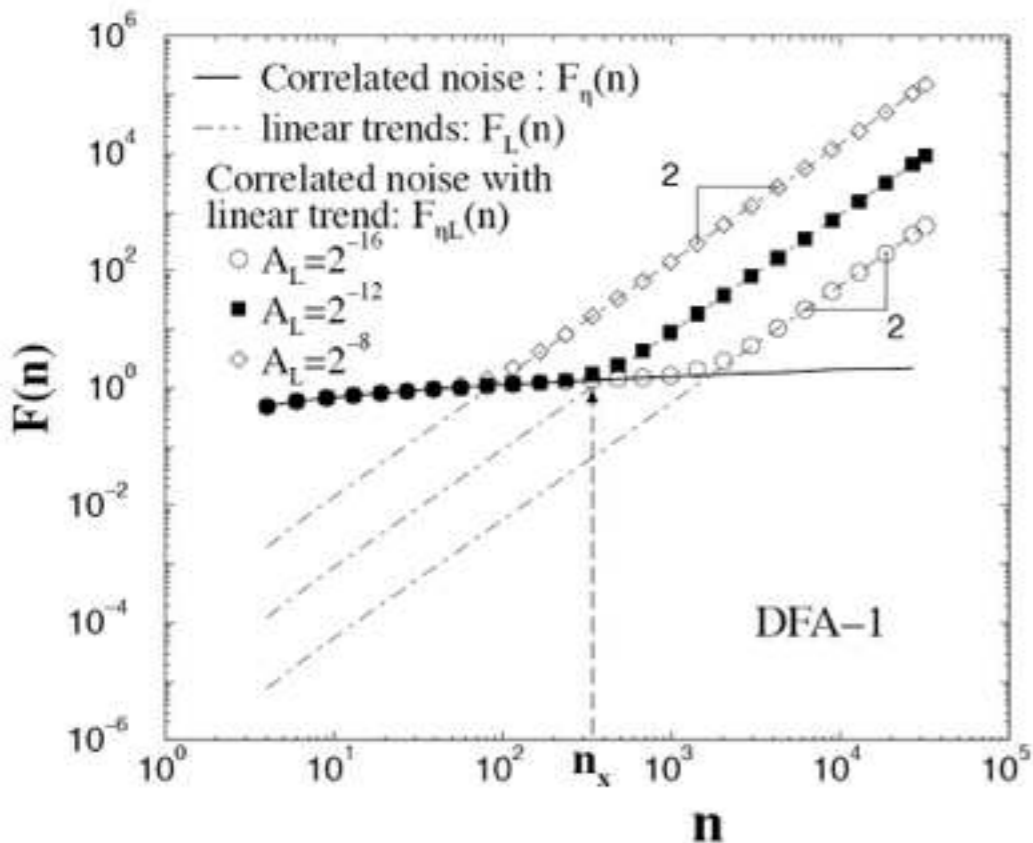


Crossover and effect of trends

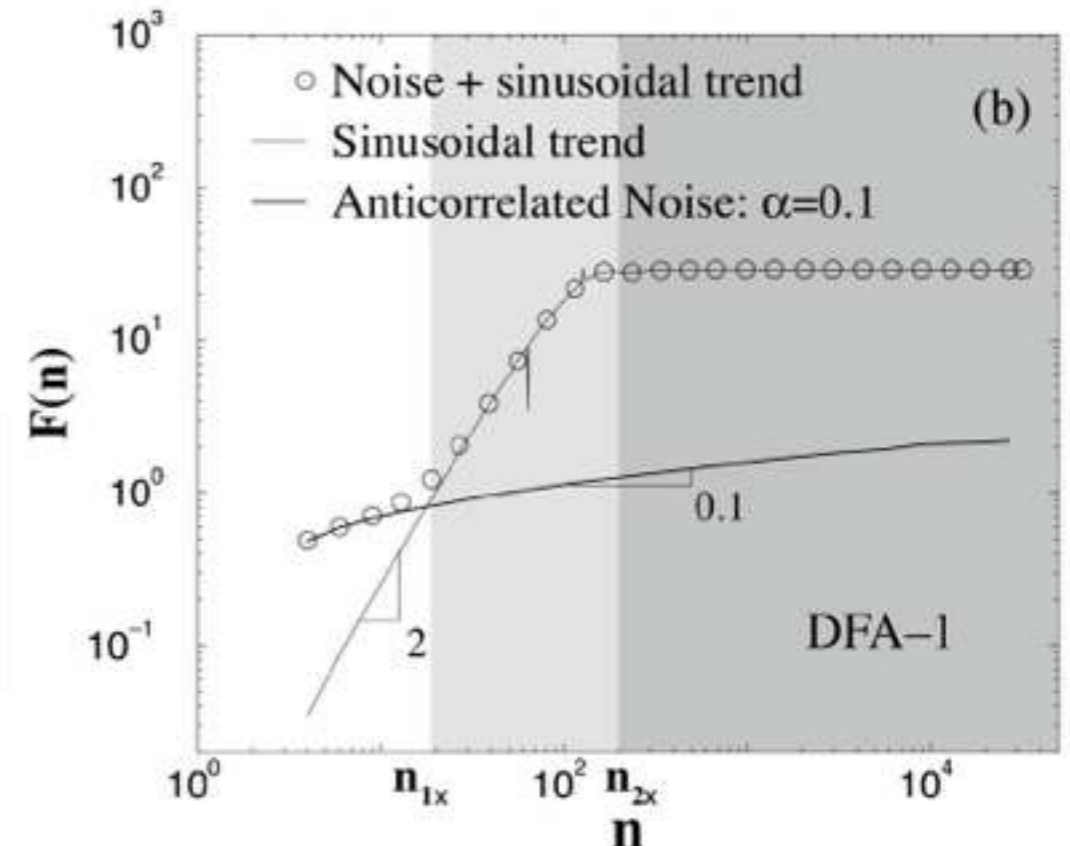
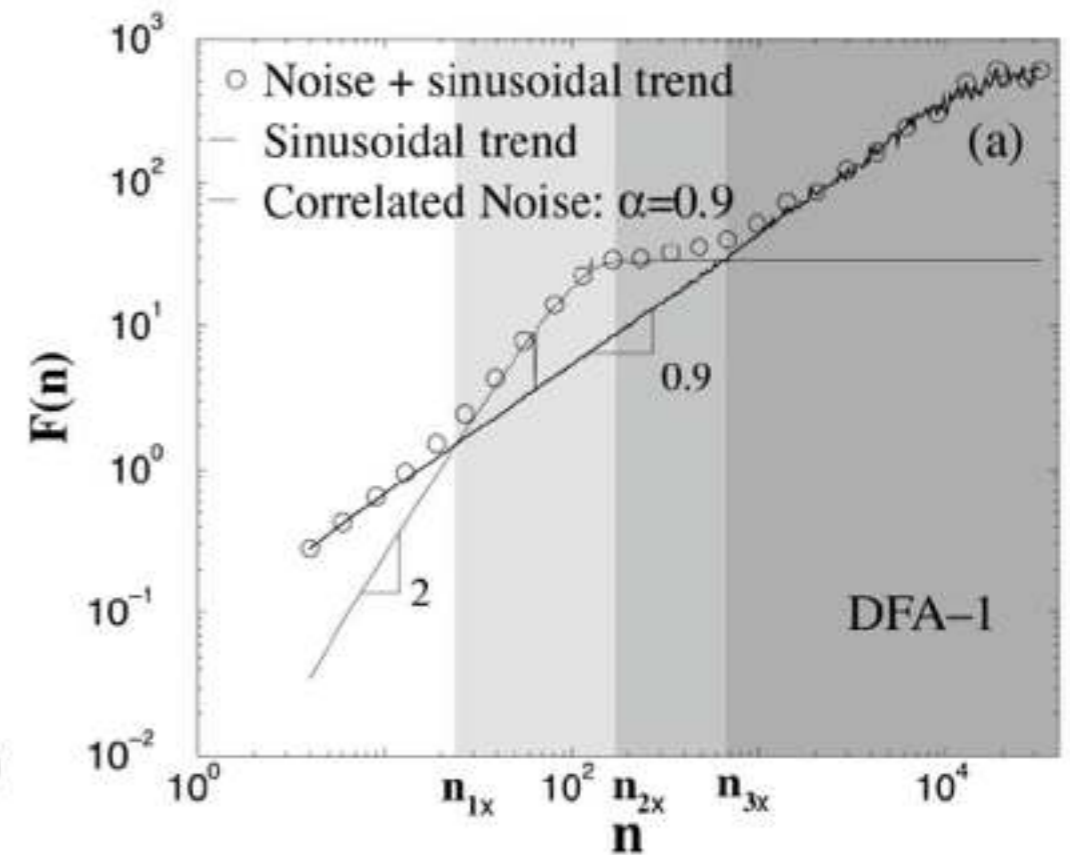
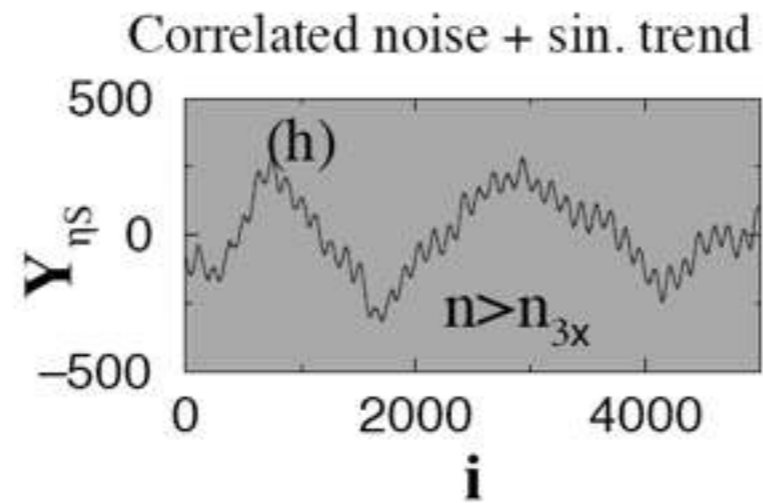
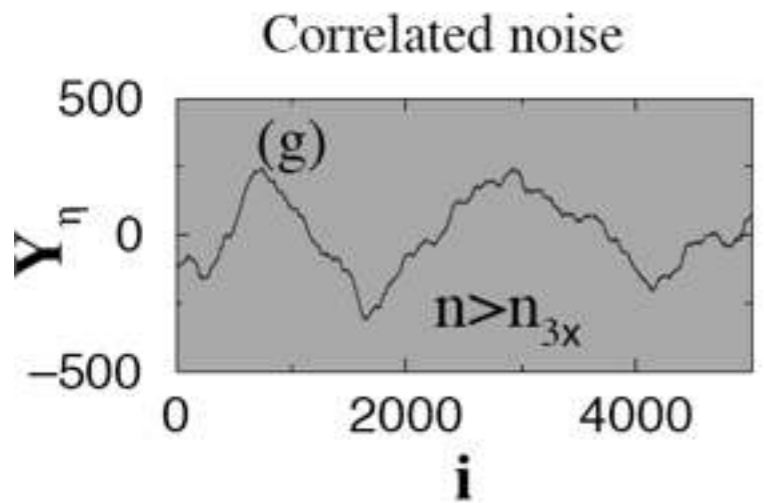
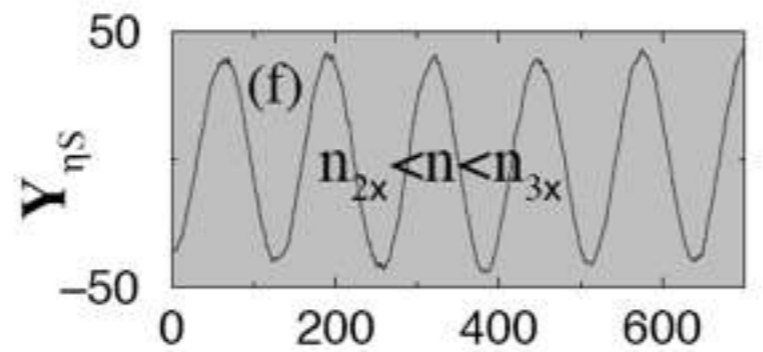
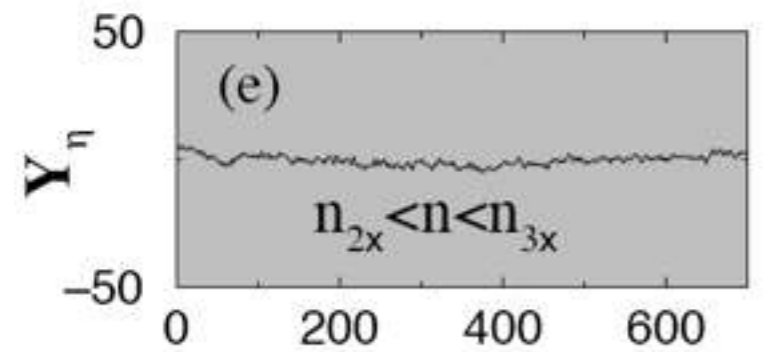
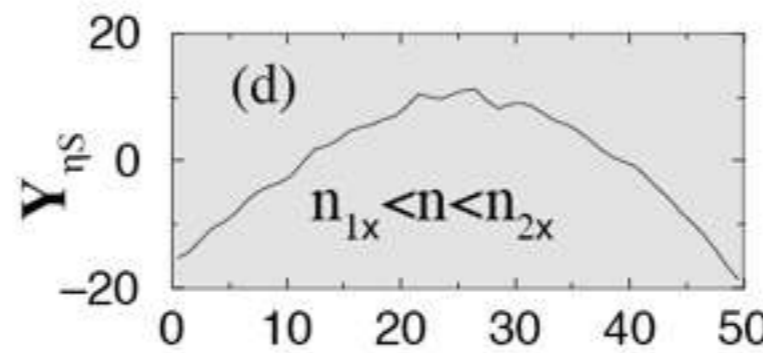
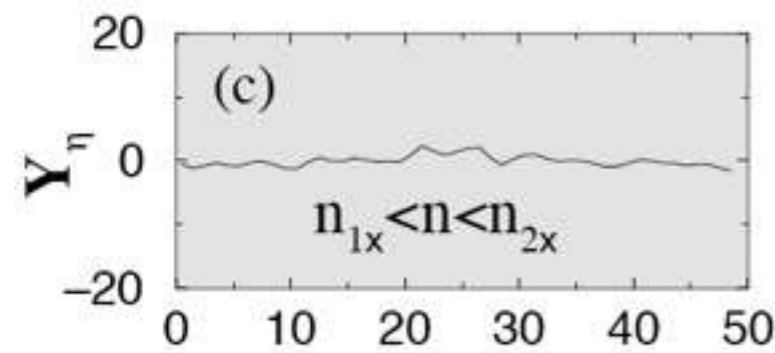
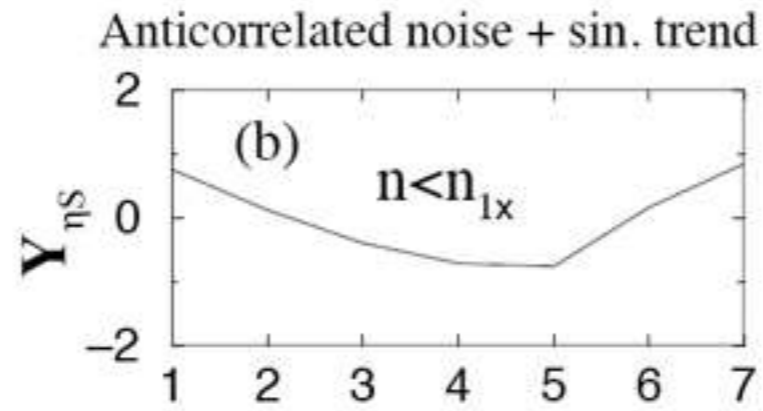
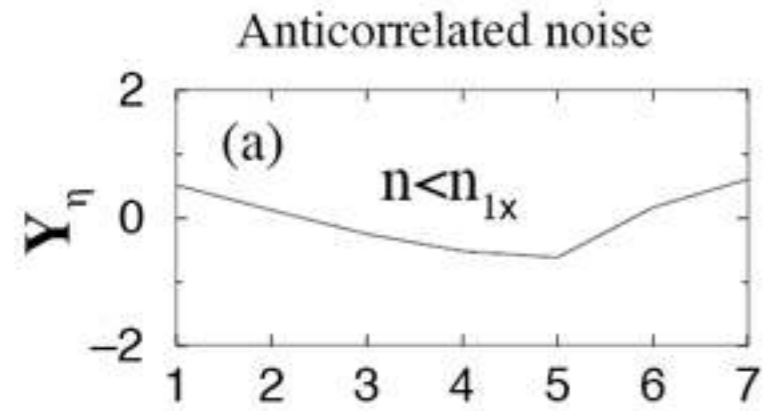
- Polynomial trends: MF-DFAm
- Sinusoidal trends: F-DFa, SVD, chaotic SVD and Empirical mode decomposition(EMD)

Polynomial Trends

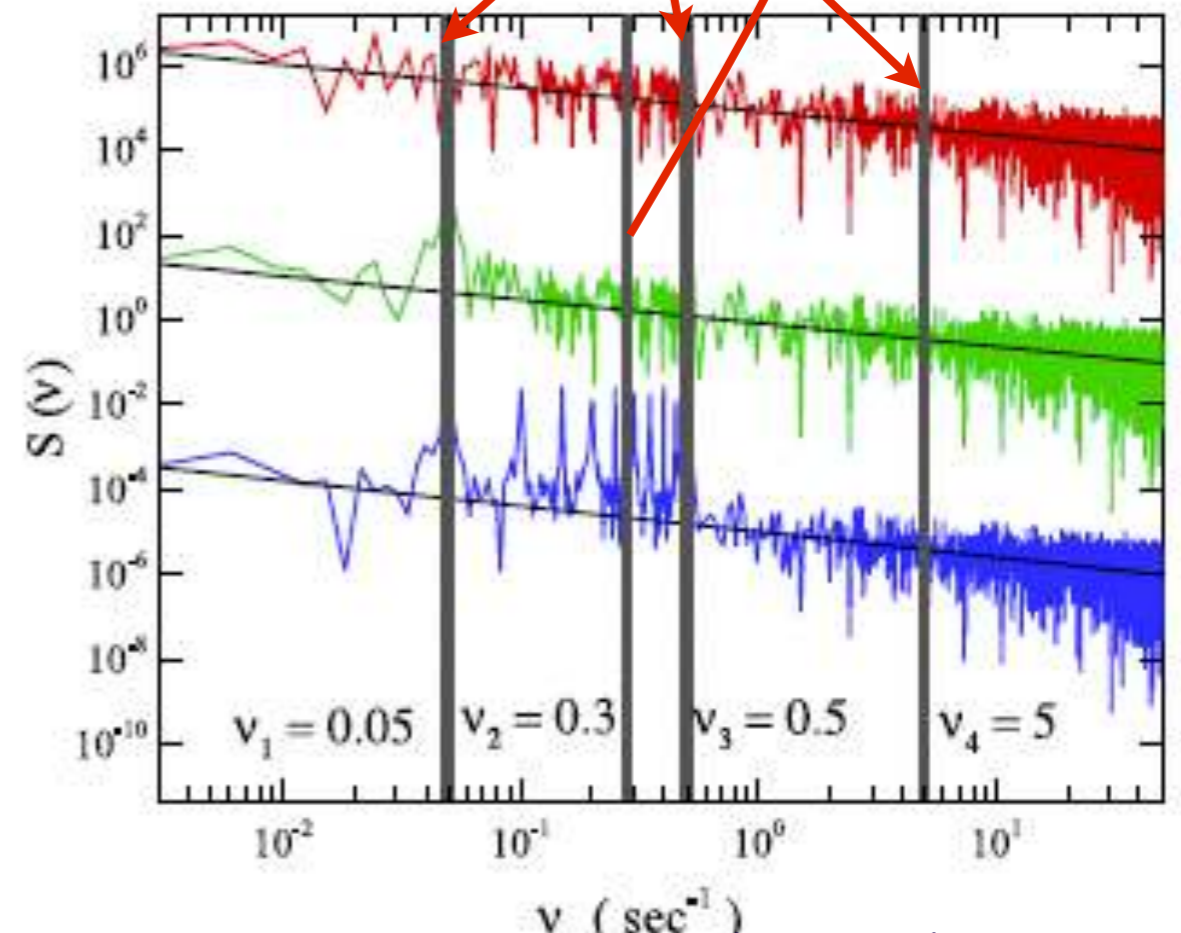
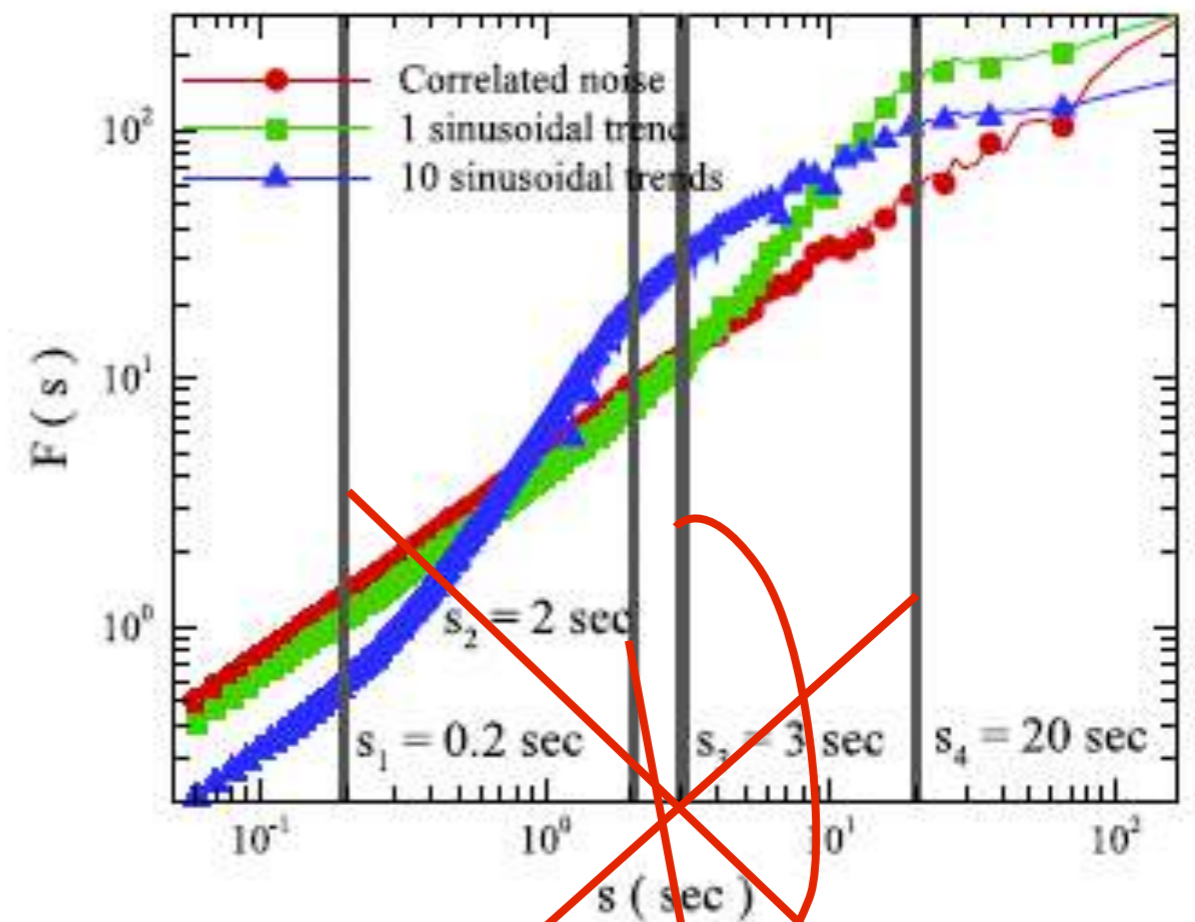
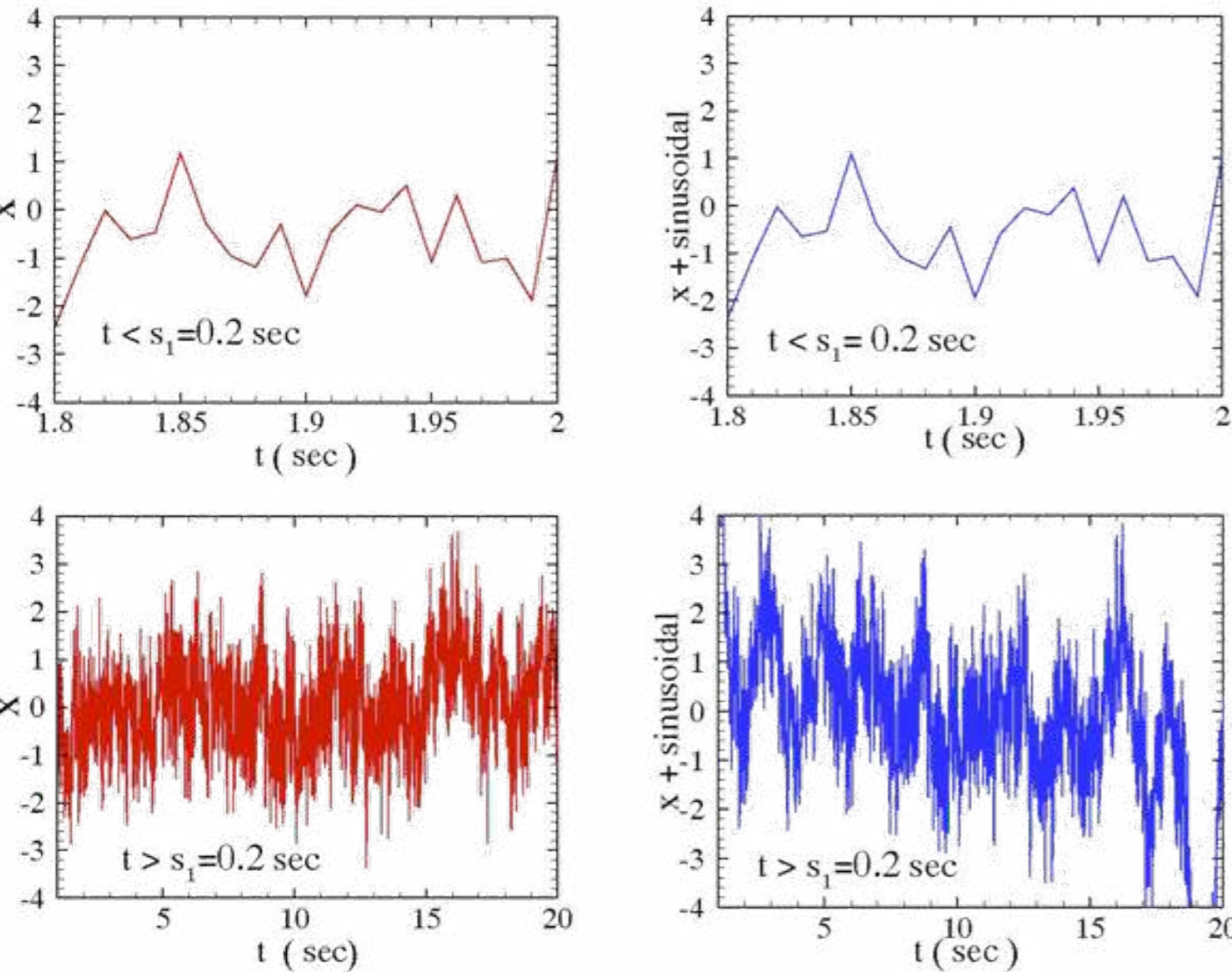
It has been demonstrated that by MF-DFAm, polynomial of order $m-1$ to be diminished



Sinusoidal Trends



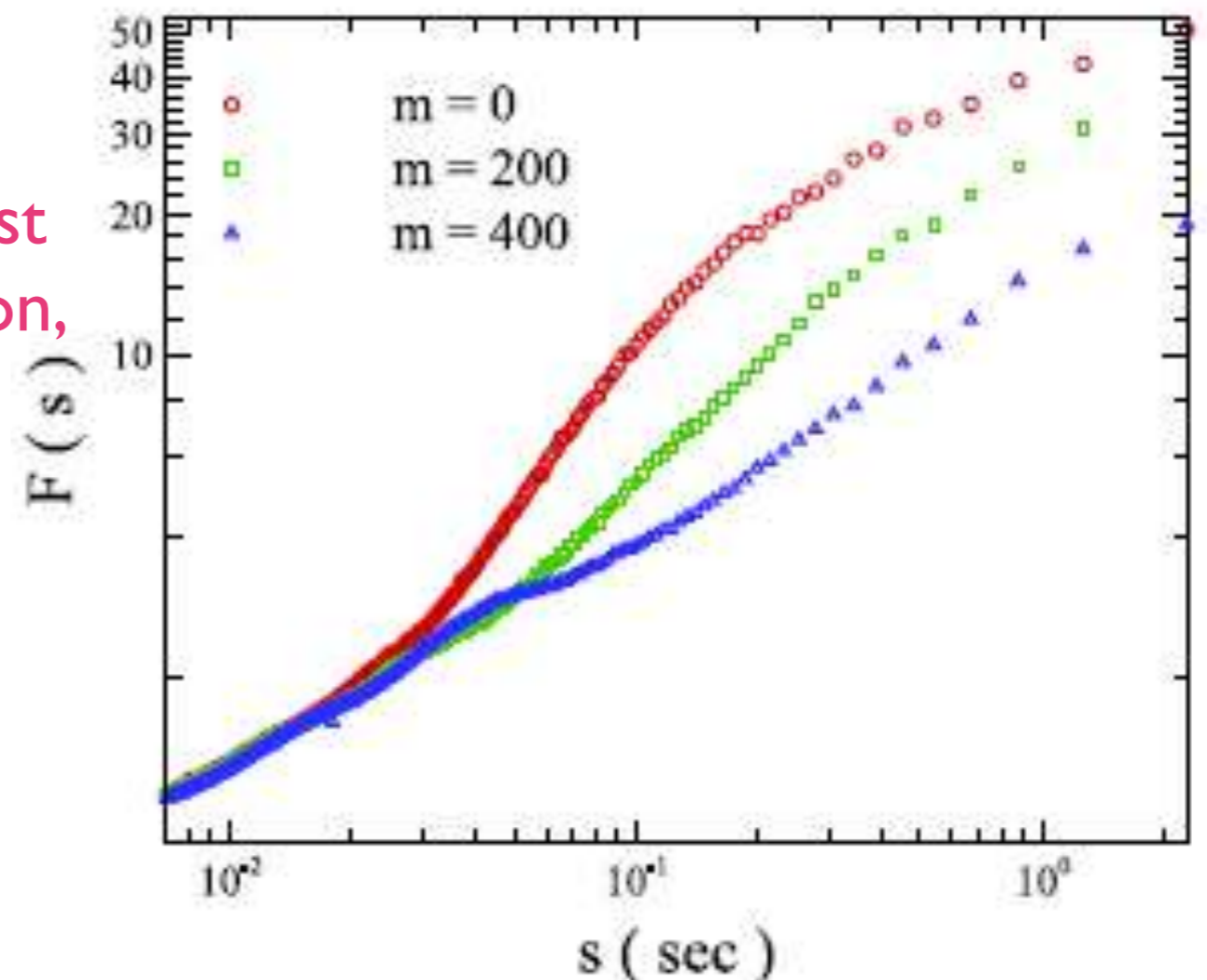
Competition between noise and sinusoidal trends



Fourier-Detrended

- Indeed, this method bases on High-pass filter

We transform the data set to the Fourier space and then truncate the first few coefficients of the Fourier expansion, finally by inverse transformation, the clean data will be retrieved



Singular Value Decomposition (SVD)

$$\{x_i\}; i = 1, \dots, N \quad d \leq N - (d-1)\tau + 1$$

$$\mathbf{\Gamma} \equiv \begin{pmatrix} x_1 & x_{1+\tau} & \dots & x_{1+N-(d-1)\tau-1} \\ \vdots & \vdots & \vdots & \vdots \\ x_i & x_{i+\tau} & \dots & x_{i+N-(d-1)\tau-1} \\ \vdots & \vdots & \vdots & \vdots \\ x_d & x_{d+\tau} & \dots & x_{d+N-(d-1)\tau-1} \end{pmatrix}$$

p will be given by power spectrum

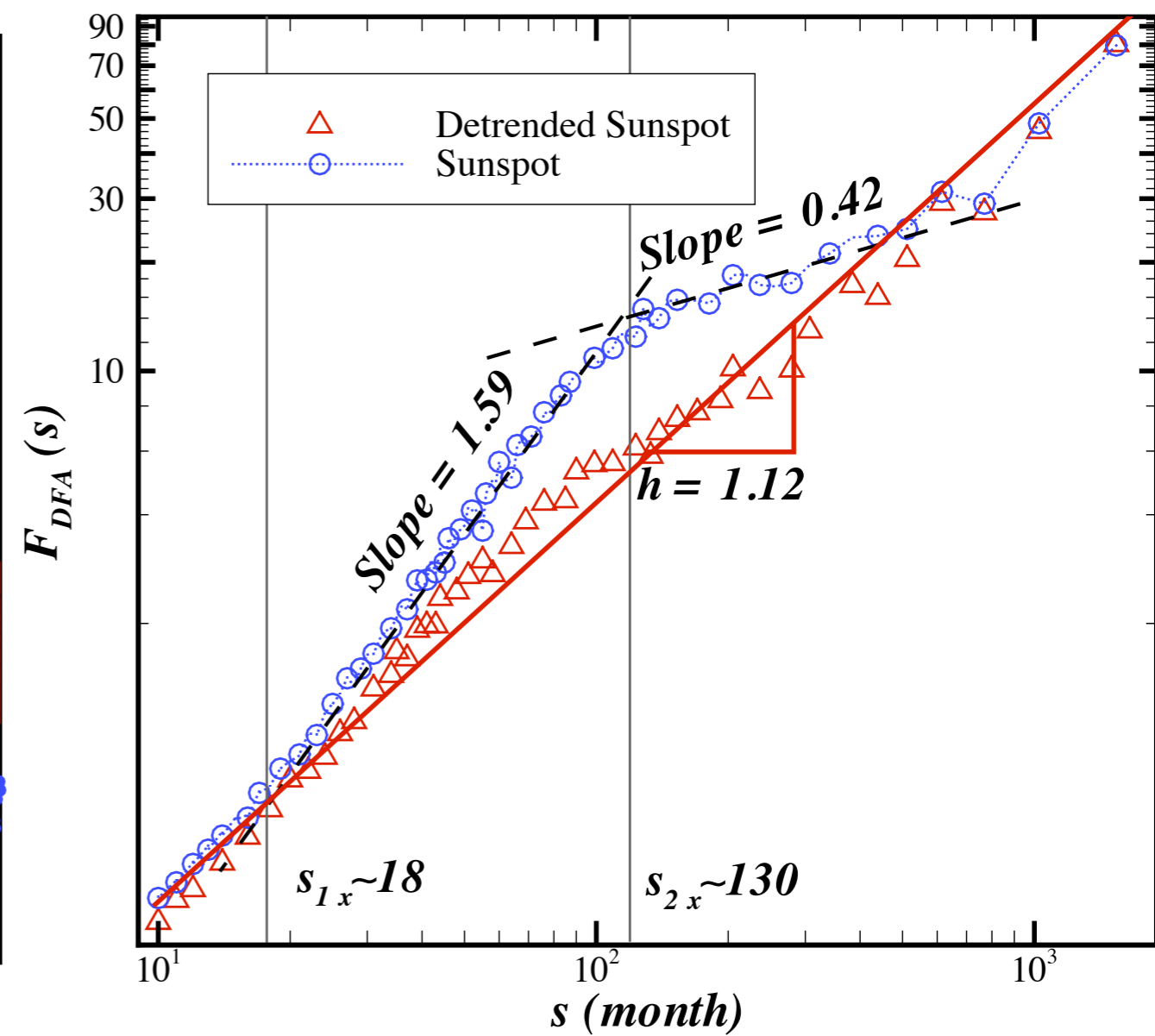
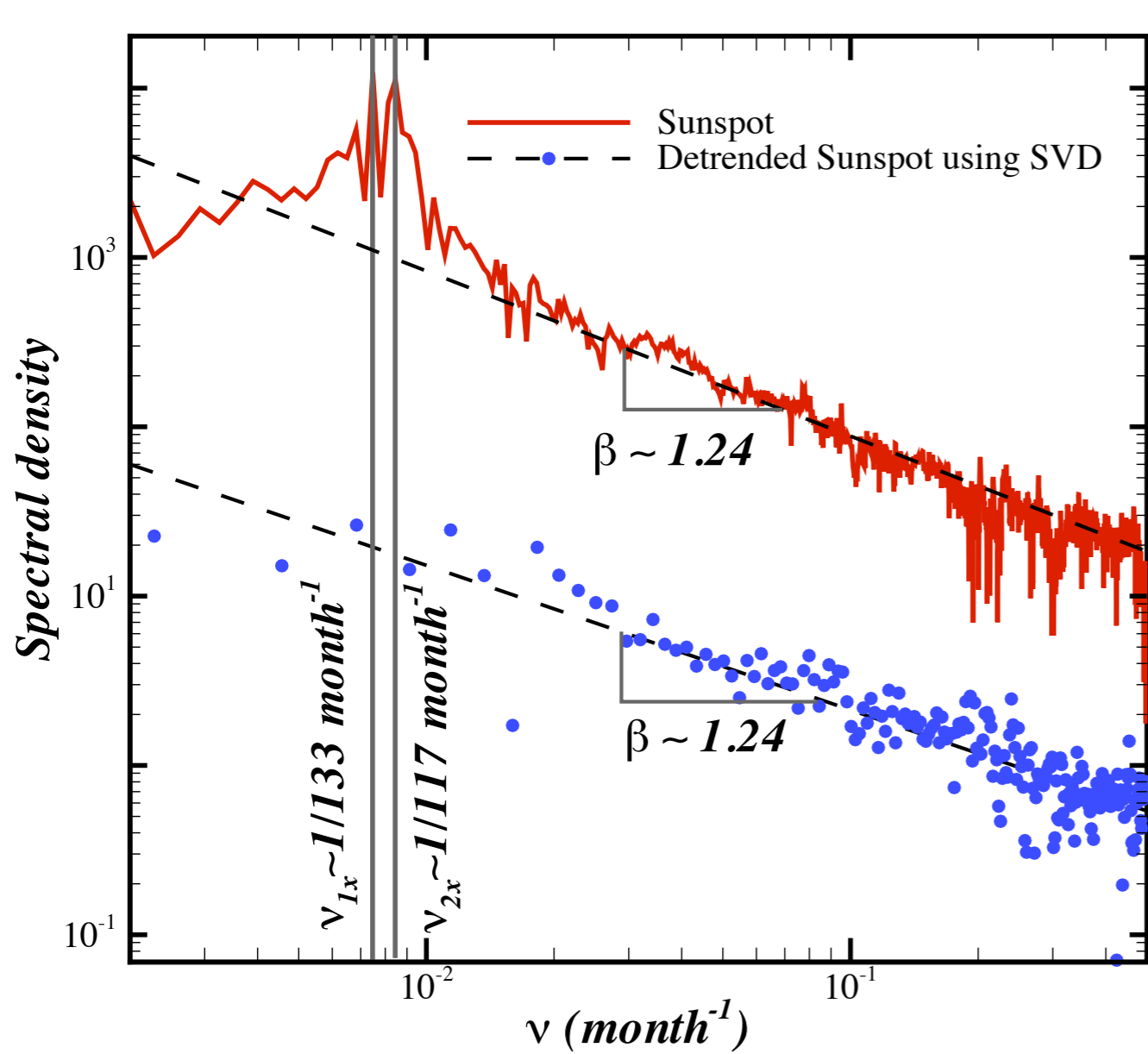
$$\mathbf{\Gamma} = \mathbf{U} \mathbf{S} \mathbf{V}^\dagger$$

$$\mathbf{\Gamma}^\dagger \mathbf{\Gamma} \mathbf{v}_i = \lambda_i^2 \mathbf{v}_i$$

$$\mathbf{\Gamma} \mathbf{\Gamma}^\dagger \mathbf{u}_i = \lambda_i^2 \mathbf{u}_i$$

$$x_{i+j-1}^* = \Gamma_{ij}^*$$

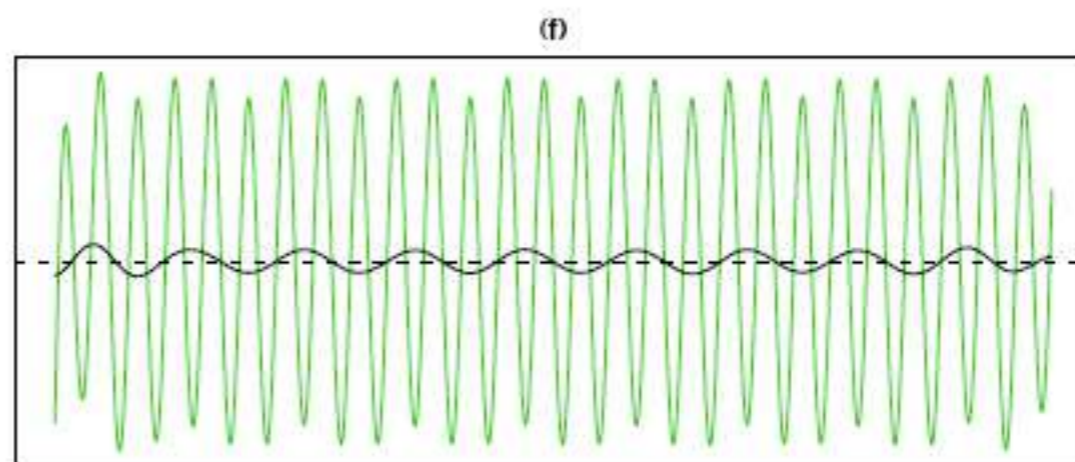
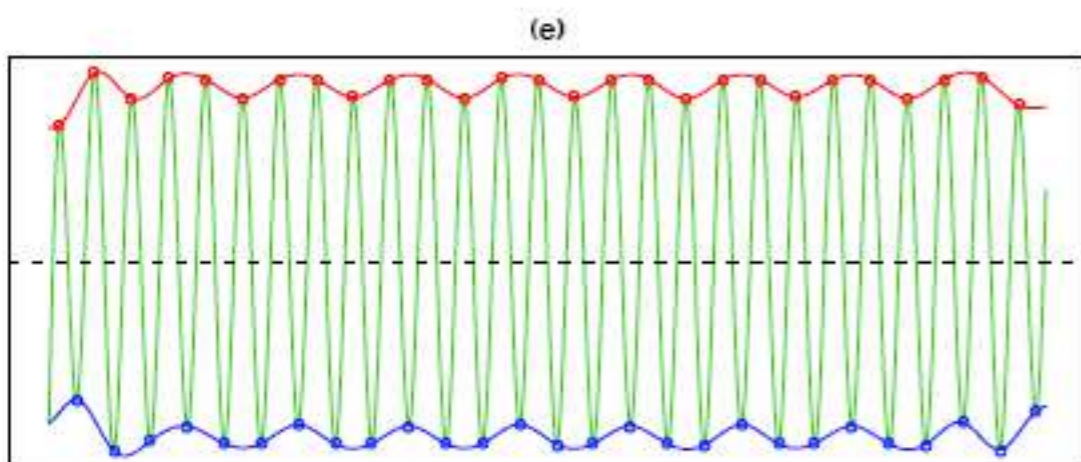
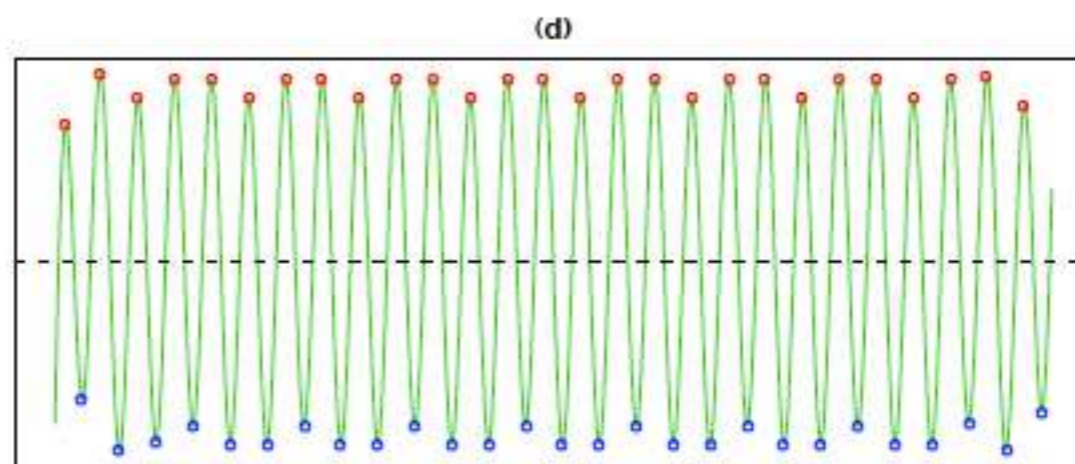
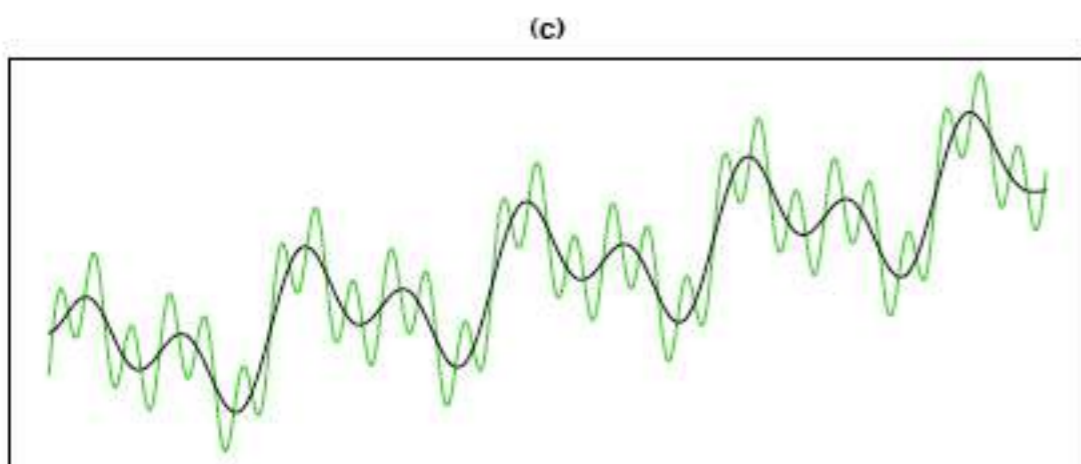
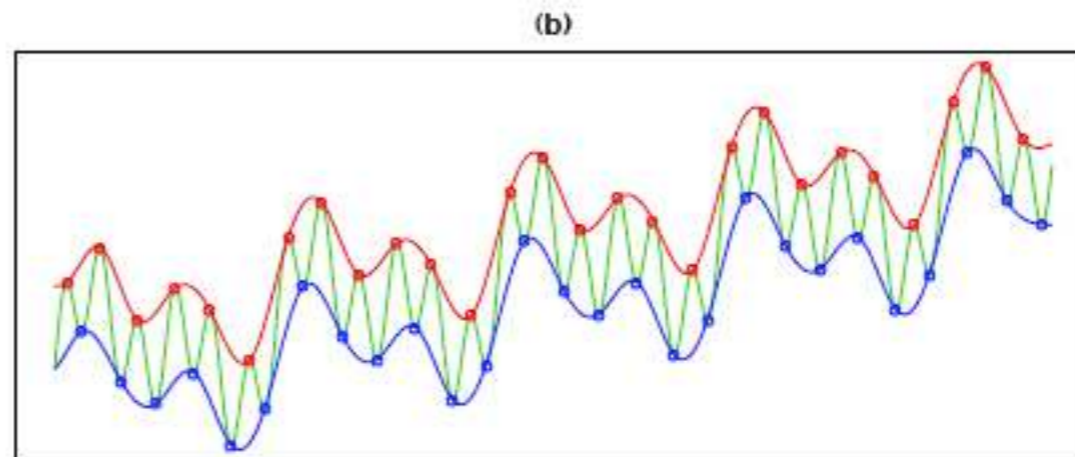
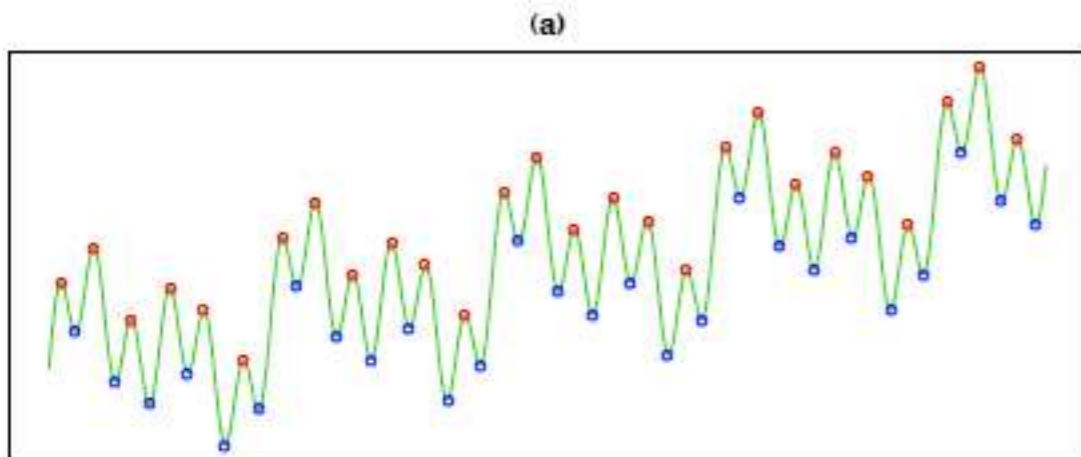
The p dominant eigenvalue and associating eigendecomposed vector represent the superimposed trend and the remaining (d-p) demonstrates intrinsic fluctuations

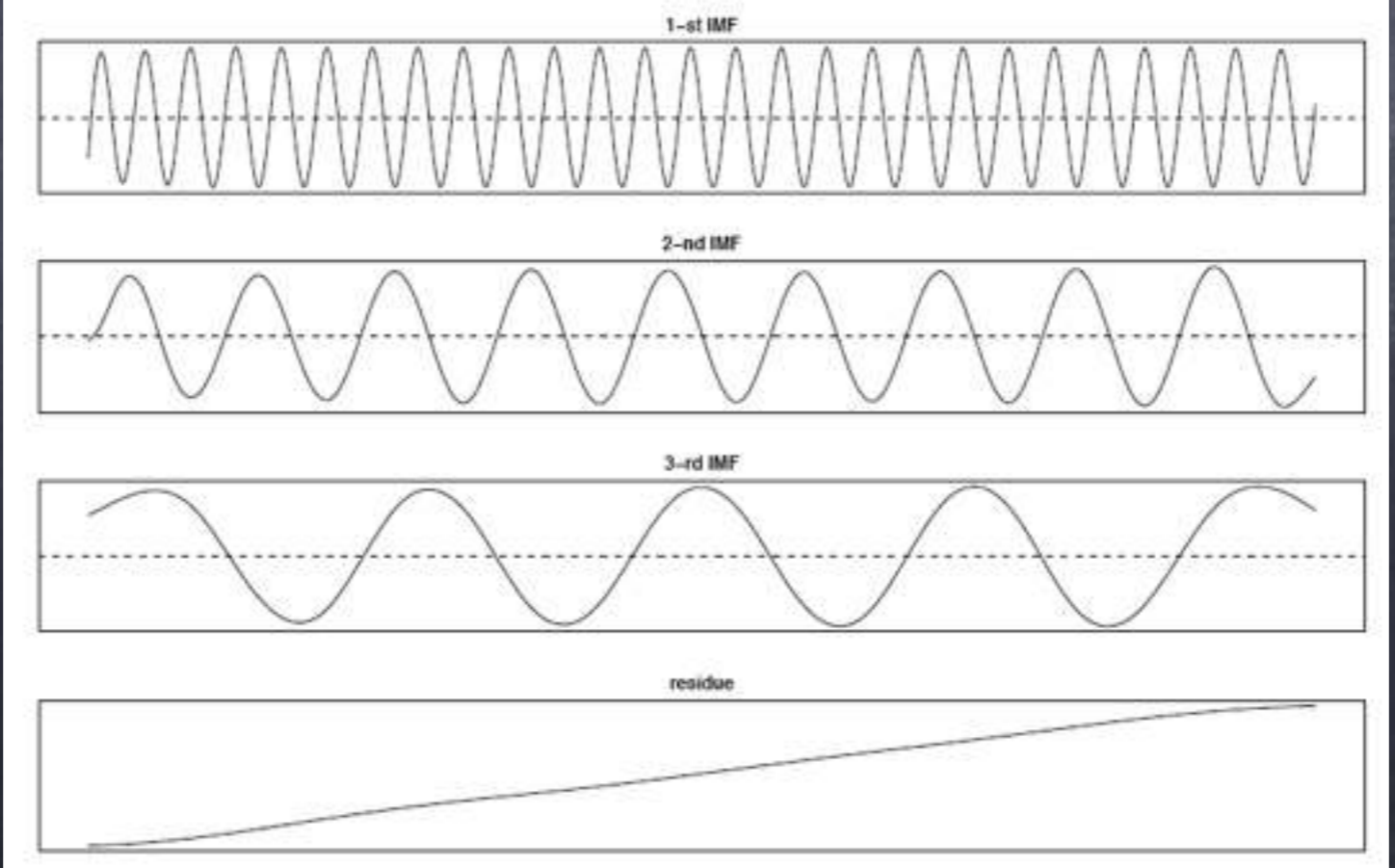
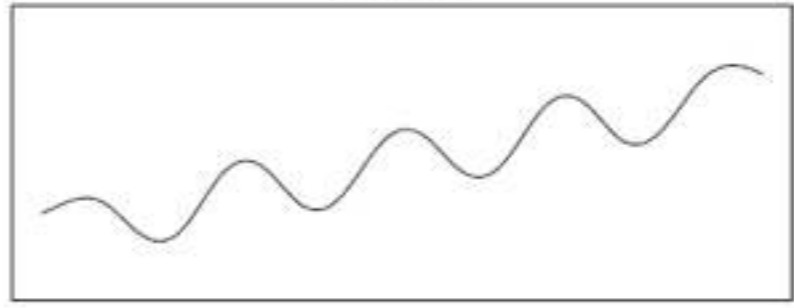
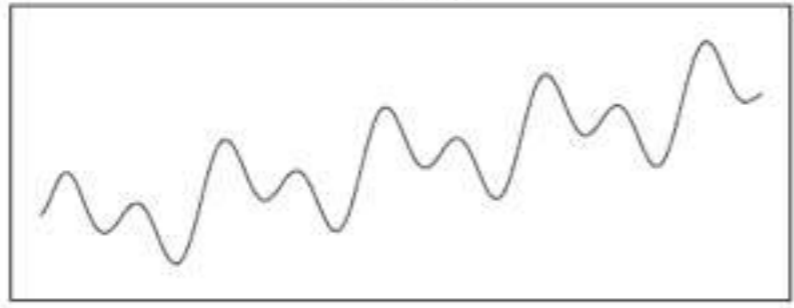
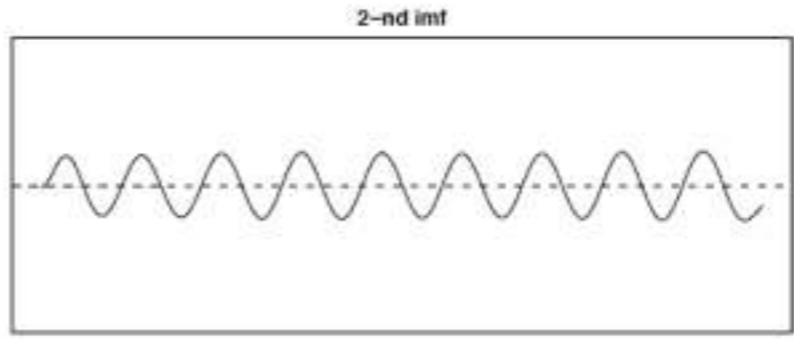
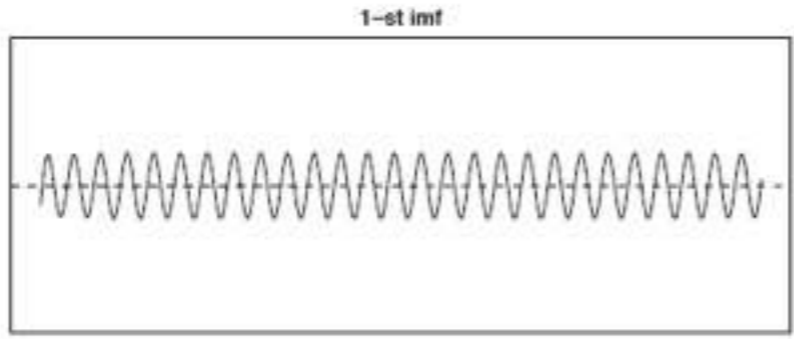
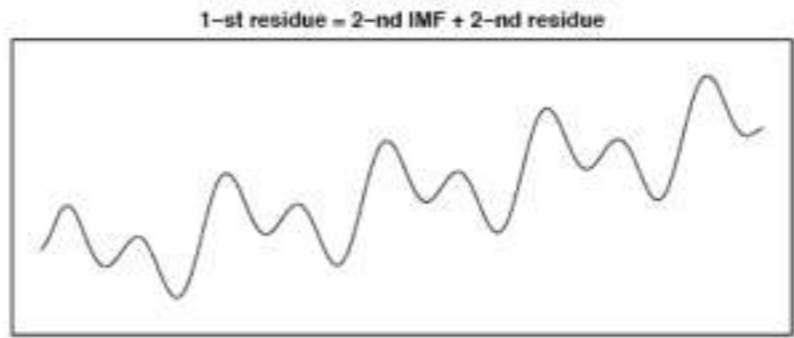
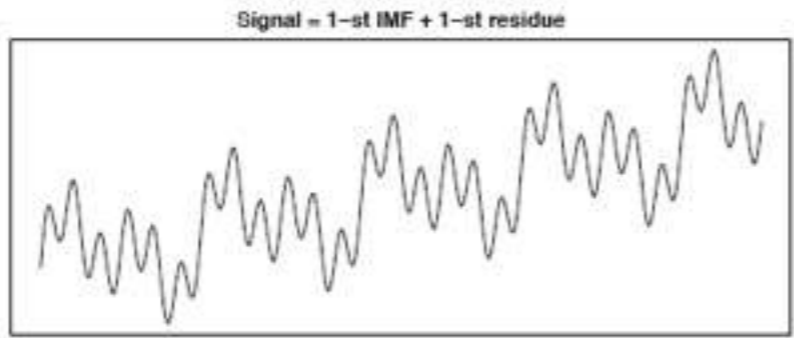


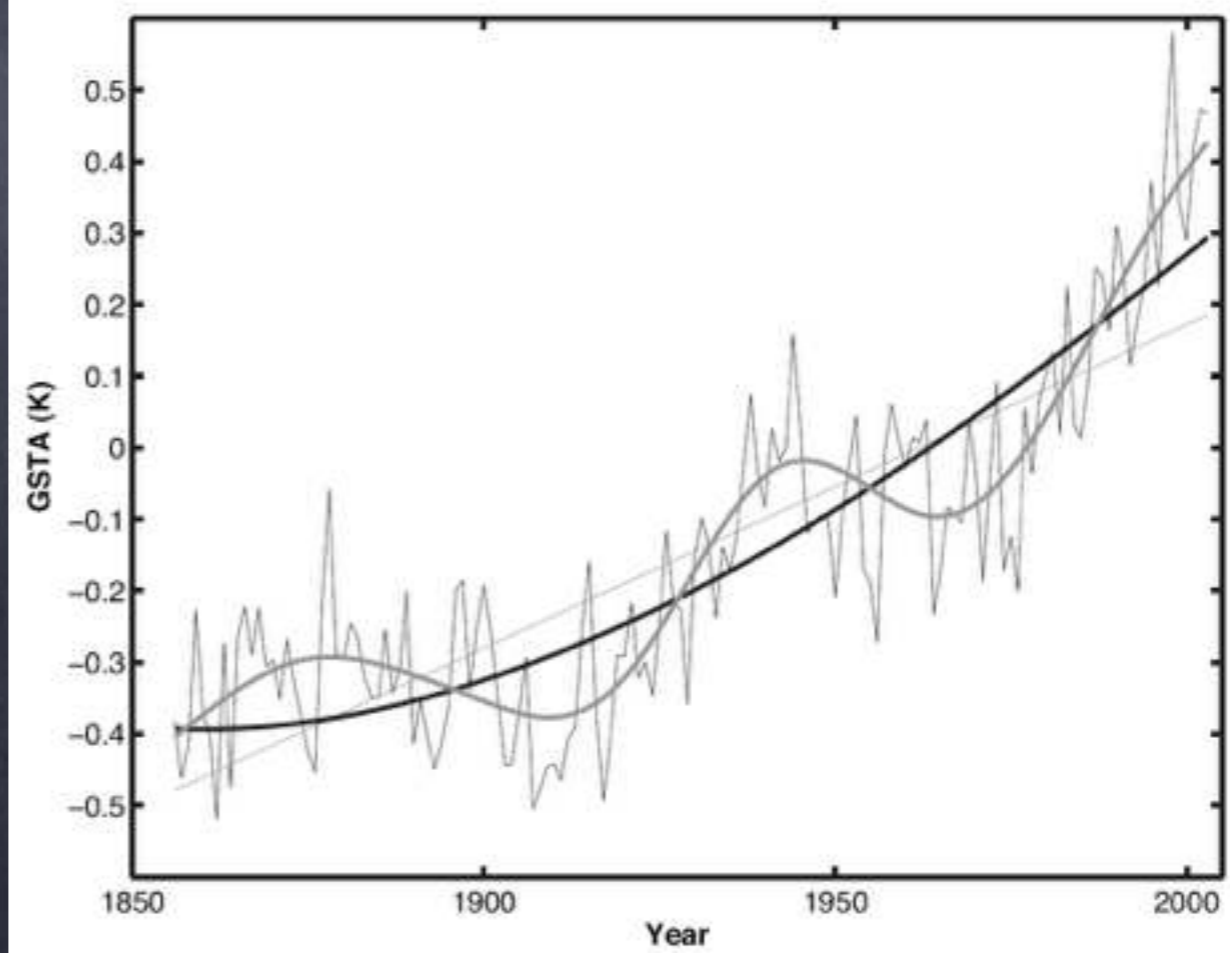
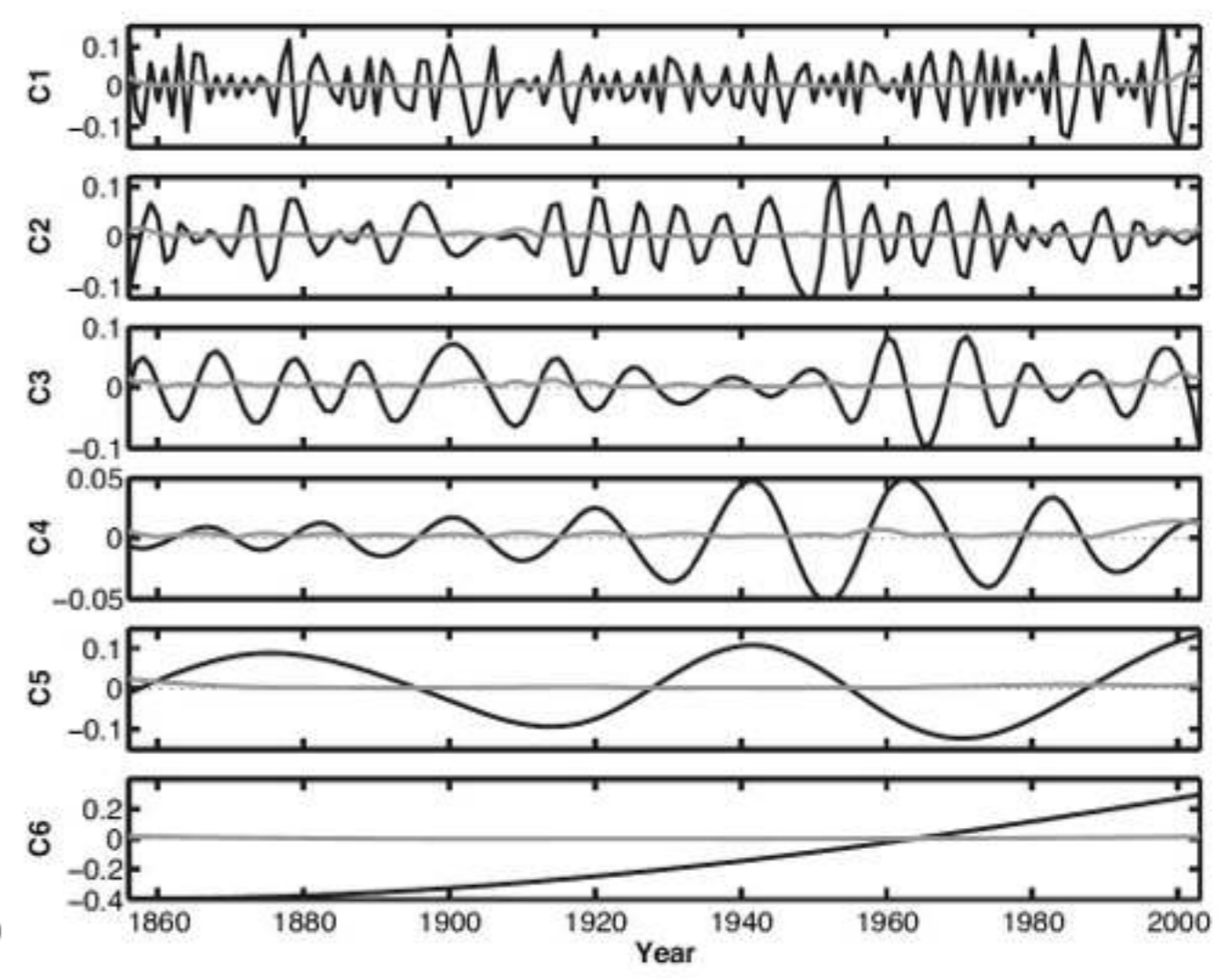
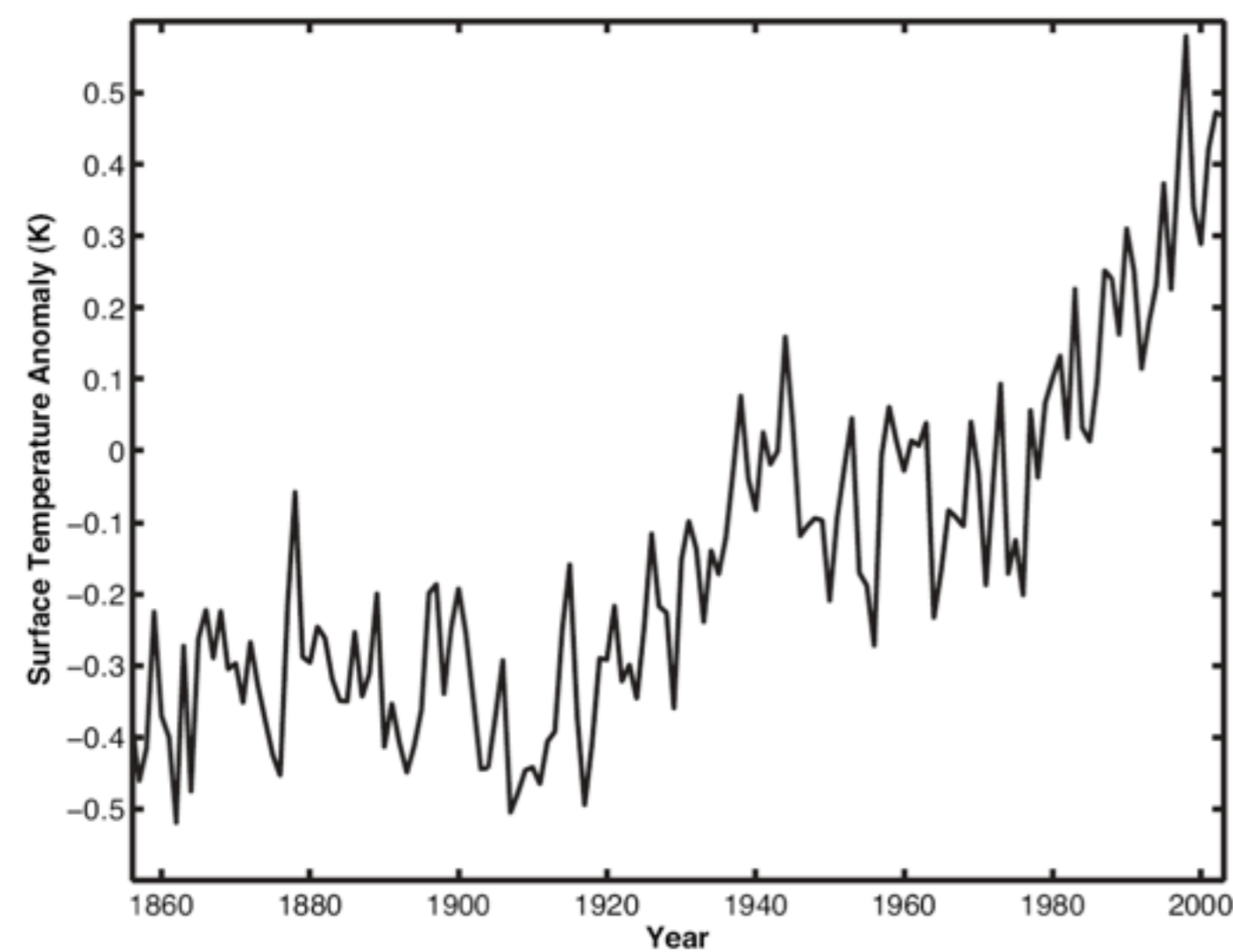
Empirical Mode decomposition (EMD)

- This method is known as non-parametric method
- There is a good review by Norden E. Huang
Proceedings: Mathematical, Physical and Engineering Sciences,
Vol. 454, No. 1971 (Mar. 8, 1998)
- In this case, the intrinsic mode functions (IMFs) satisfy two conditions:
 - 1) The number of extrema and zero-crossing differs only by one
 - 2) The local average is zero

- 1) Identify the local extrema and find their average (Generating upper envelop and lower envelope)
- 2) Subtracting the envelop mean from signal
- 3) Check the IMF conditions







gray corresponds to vari
 black corresponds t
 various stoppin

Advantages and disadvantages

- The size of underlying data won't be invariant by using F-DFA, while the size will be preserved in SVD and EMD

User manual for MF-DFA code written by Sadegh Movahed

1: You should write the name of your data file in it

2: To shuffled data set you should select YES here.

3: If you want to surrogate your data, select YES for this option

4: This value shows the number of shuffling data set.

5: Here you should determine the maximum and minimum no. of windows, i.e. if you select "10" for maximum and "2" for minimum, your data set is divided to 2 up to 10 non-overlapping windows.

6: If you want to calculate just $H=h(q=2)$ you should determine $q=2$, namely, $q_{max}=q_{min}=2$. To find the generalized Hurst exponent i.e. $h(q)$ versus q (moment exponent), must q_{min} and q_{max} to be different. Just in this case you can find the singularity spectrum for data set.

7: Here the step of moment exponent is determined.

8: In some case, we have to use double profile for data. It is done by the proper option in my program.

The name of output files are as follows:

- 1) hurst.txt gives generalized Hurst exponent versus q
- 2) log_f_s.txt gives the $\ln(F(s))$ versus $\ln(s)$
- 3) f_s.txt gives the fluctuation function versus " s "
- 4) tau.txt gives classical multifractal scaling exponent
- 5) D.txt gives generalized multifractal dimension
- 6) singularity.txt gives singularity spectrum
- 7) PDF.txt gives probability density function

The screenshot shows a graphical user interface for the MF-DFA code. It contains several input fields and dropdown menus. Red arrows from the text on the left point to the following elements:

- 1: Points to the "Name of data file" field, which contains "input.txt".
- 2: Points to the "Shuffling" dropdown menu, which is set to "No".
- 3: Points to the "Surrogate" dropdown menu, which is set to "No".
- 4: Points to the "Number of Shuffling" field, which contains "5".
- 5: Points to the "Min_Window" field, which contains "2".
- 6: Points to the "q_max" field, which contains "2.0".
- 7: Points to the "q_step" field, which contains "0.5".
- 8: Points to the "Double Profile" dropdown menu, which is set to "No".

Other visible fields include "Max_Window" (100), "q_min" (2.0), and "Hurst" (empty). There are "RUN" and "CANCEL" buttons at the bottom.

Part 6

PTRs and GWB

Pulsar

- It was observed for the first time on 1967 by Bell and Hewish
- Received Nobel prize on 1974.
- Fast rotating object: Period~ msec -sec
- Pulse periods can be measured with accuracies approaching 1 part in 10^{16}
- A best model for pulsar is Neutron star

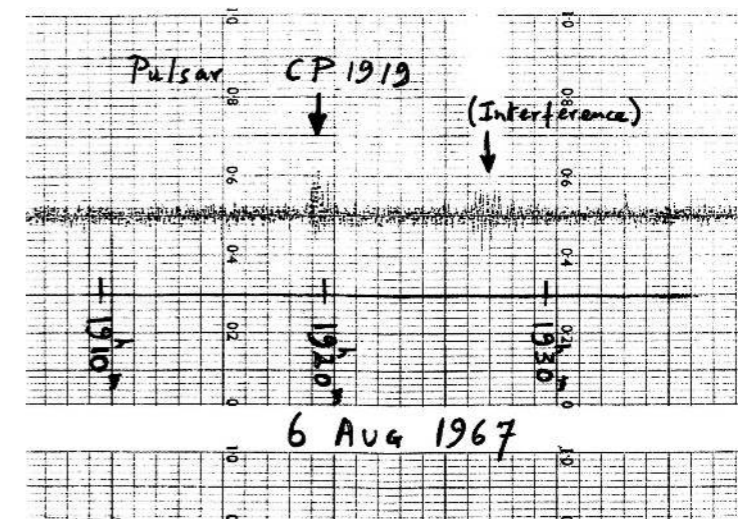
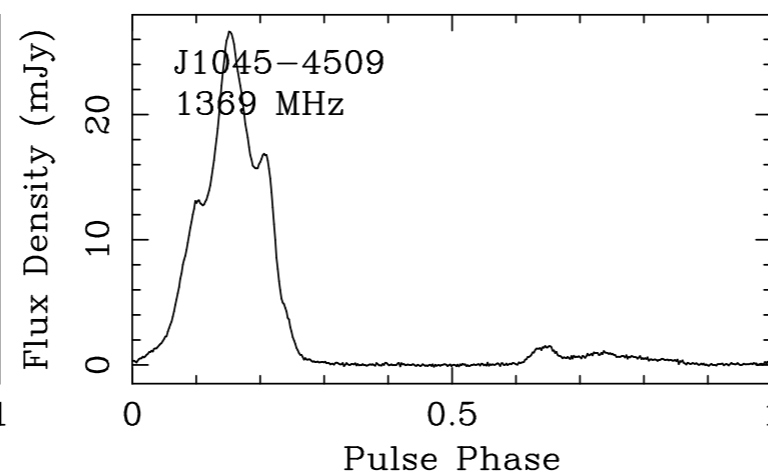
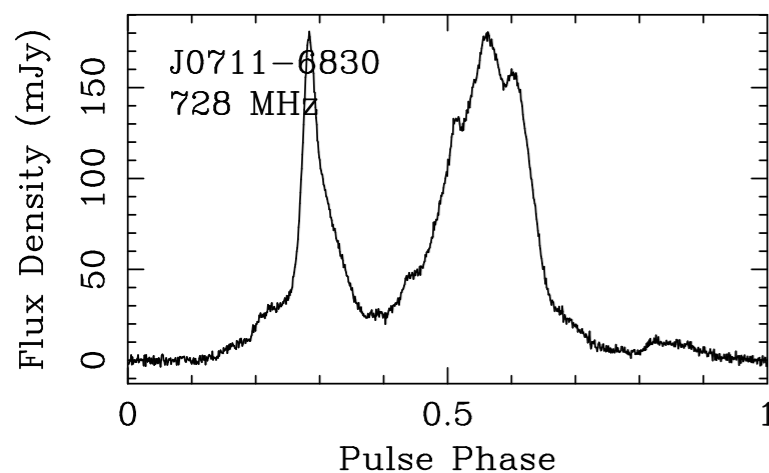
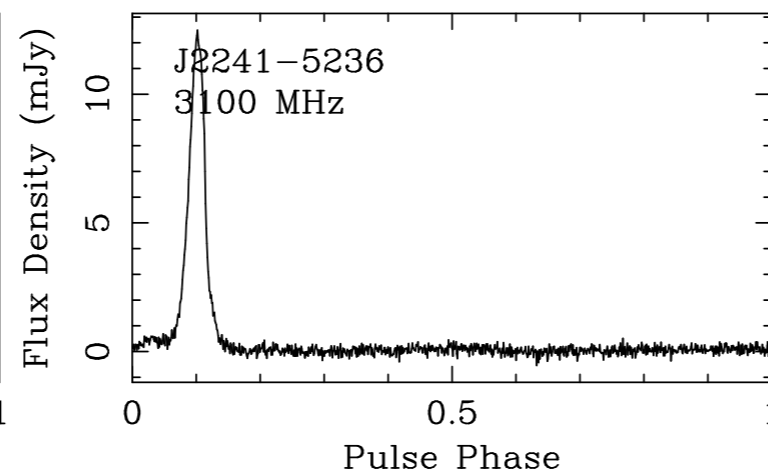
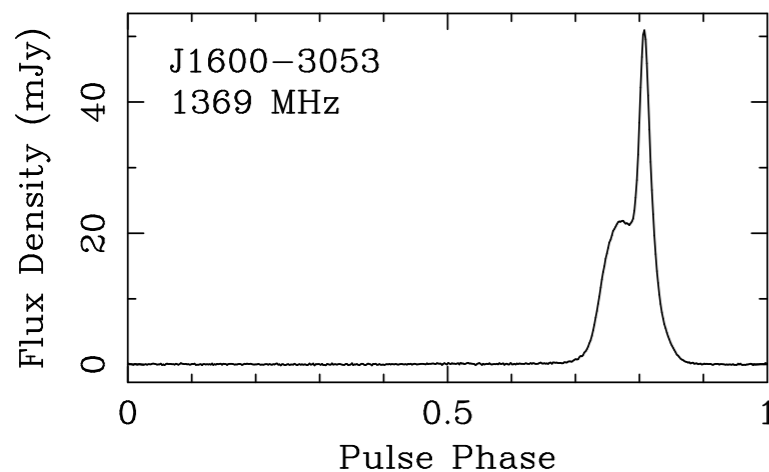


FIGURE 13 Discovery of the first pulsar, PSR 1919+21 (“CP” stands for Cambridge Pulsar). (Figure from Lyne and Graham-Smith, *Pulsar Astronomy*, ©Cambridge University Press, New York, 1990. Reprinted with the permission of Cambridge University Press.)

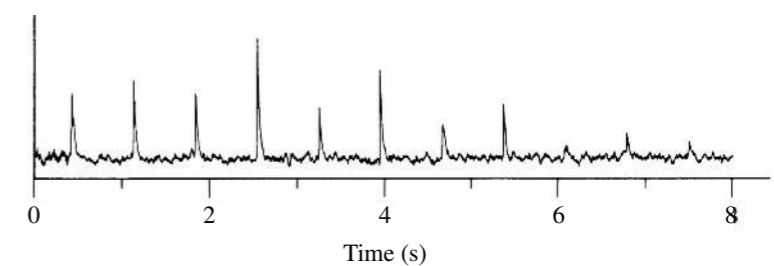
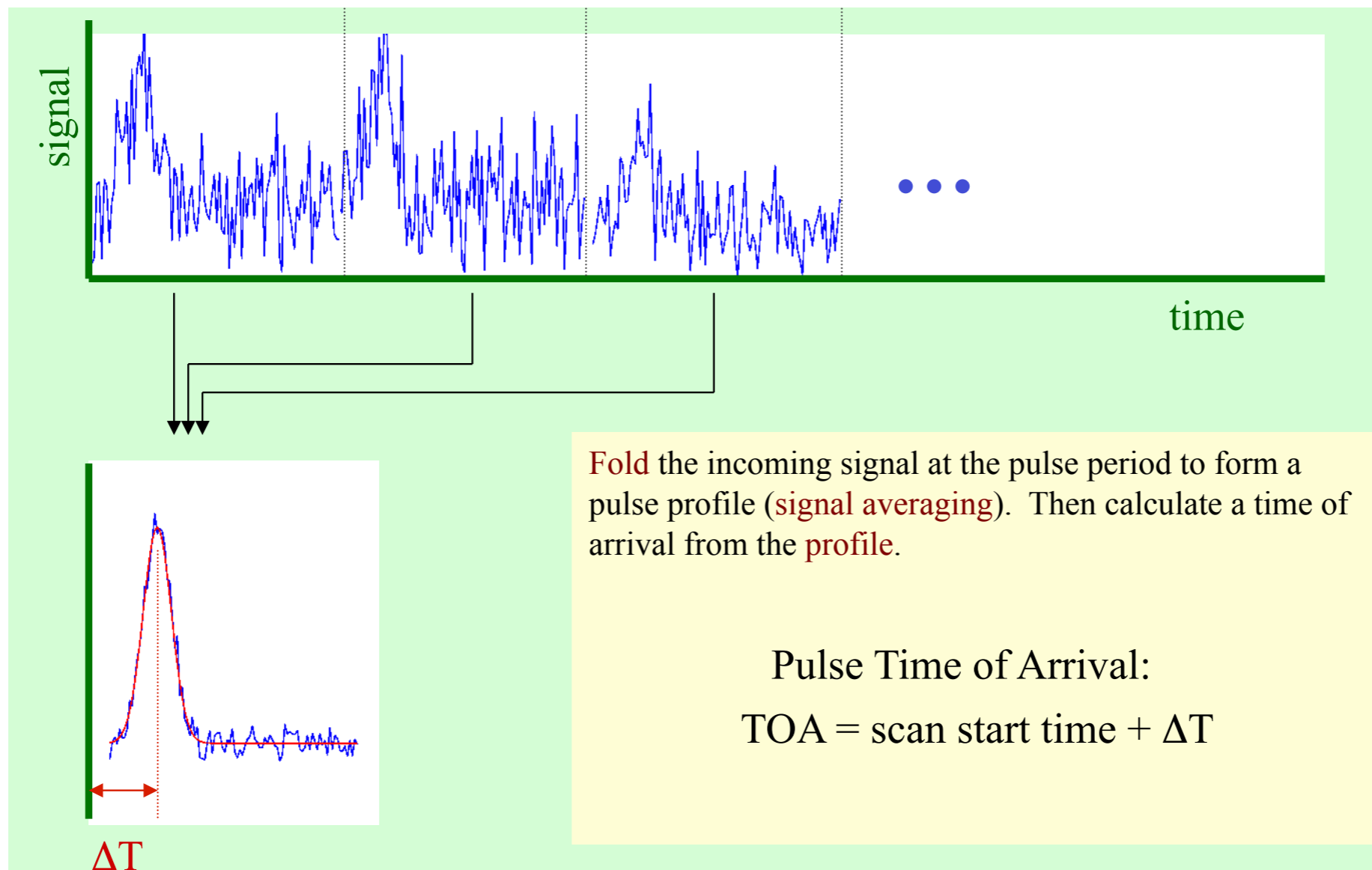


FIGURE 19 Pulses from PSR 0329+54 with a period of 0.714 s. (Figure adapted from Manchester and Taylor, *Pulsars*, W. H. Freeman and Co., New York, 1977.)

Pulsar's Time of Arrival

Pulsar timing is the regular monitoring of the rotation of pulsar by tracking (nearly exactly) the times of arrival of the radio pulses

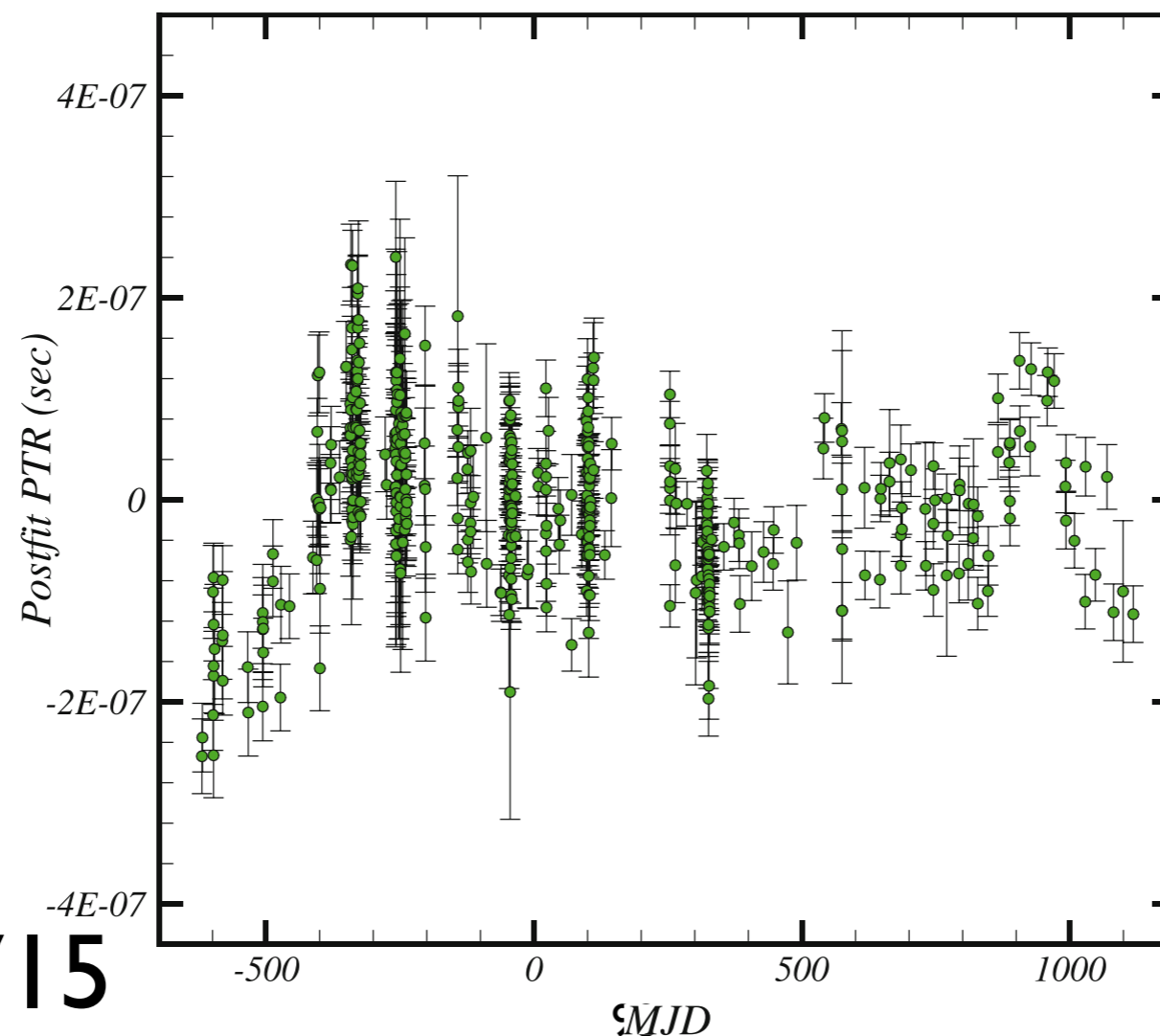


Pulsar's Timing residual

Residual is difference between measured pulse's time of arrival and expected time of arrival:

Residual=Observed ToA-Computed ToA or vice versa

$$\Delta t = \Delta_c + \Delta_A + \Delta_{E_\odot} + \Delta_{R_\odot} + \Delta_{S_\odot} - D/f^\gamma + \Delta_{VP} + \Delta_B$$



PSR J0437-4715

Pulsar Timing Array

- 1) Parkes Pulsar Timing Array (PPTA),
64-meter Radio Telescope from 1961
- 2) Square Kilometer Array (SKA)
- 3) International Pulsar Timing Array (IPTA)
- 4) European Pulsar Timing Array
(Including 5 radio telescopes)
- 5) Indian Pulsar Timing Array (2016)



San Basilio, Sardinia, Italy



Nançay, Nançay, France



Cheshire East, United Kingdom



Australia

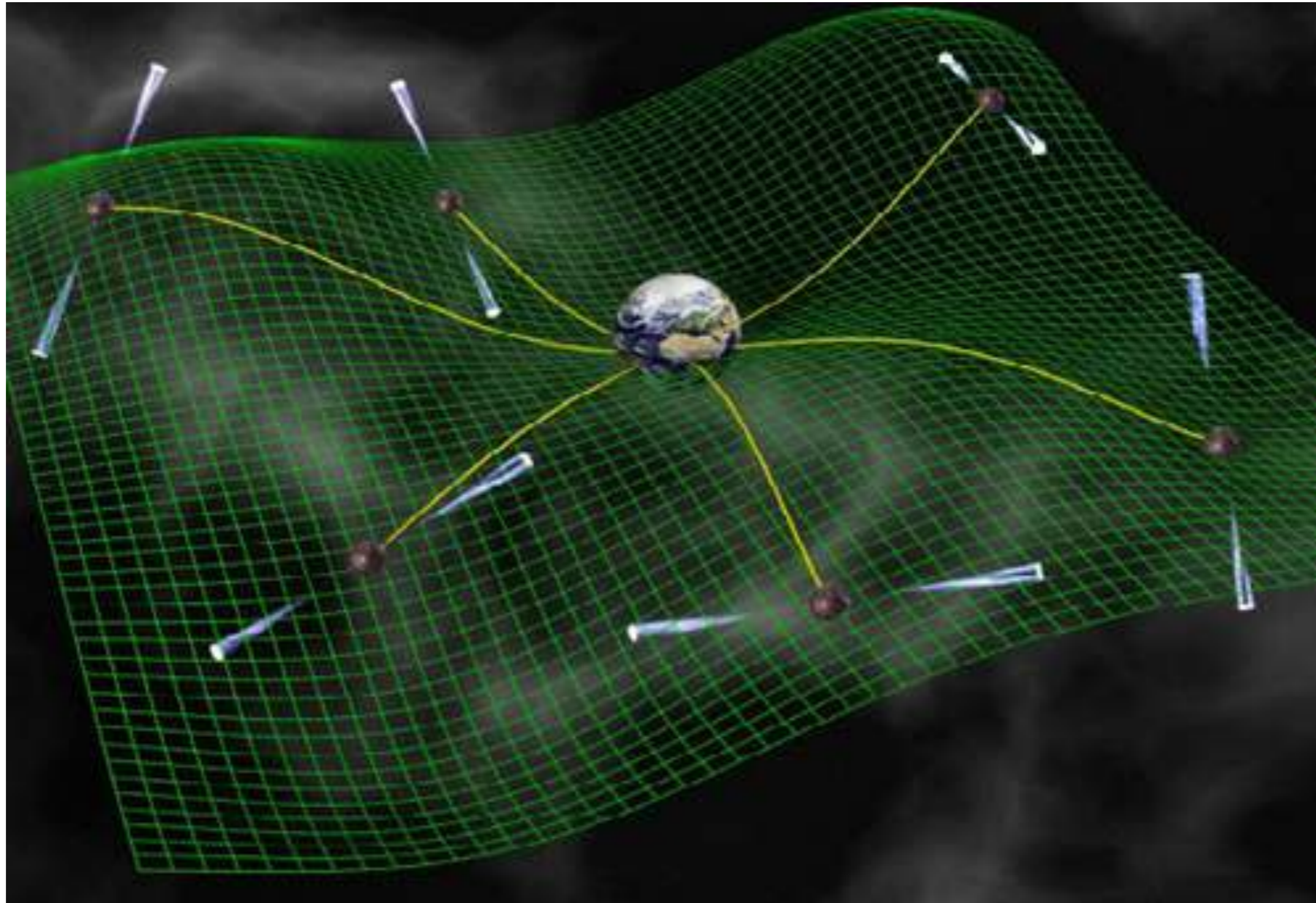


Hooghalen, Netherlands



99North Rhine-Westphalia, Germany

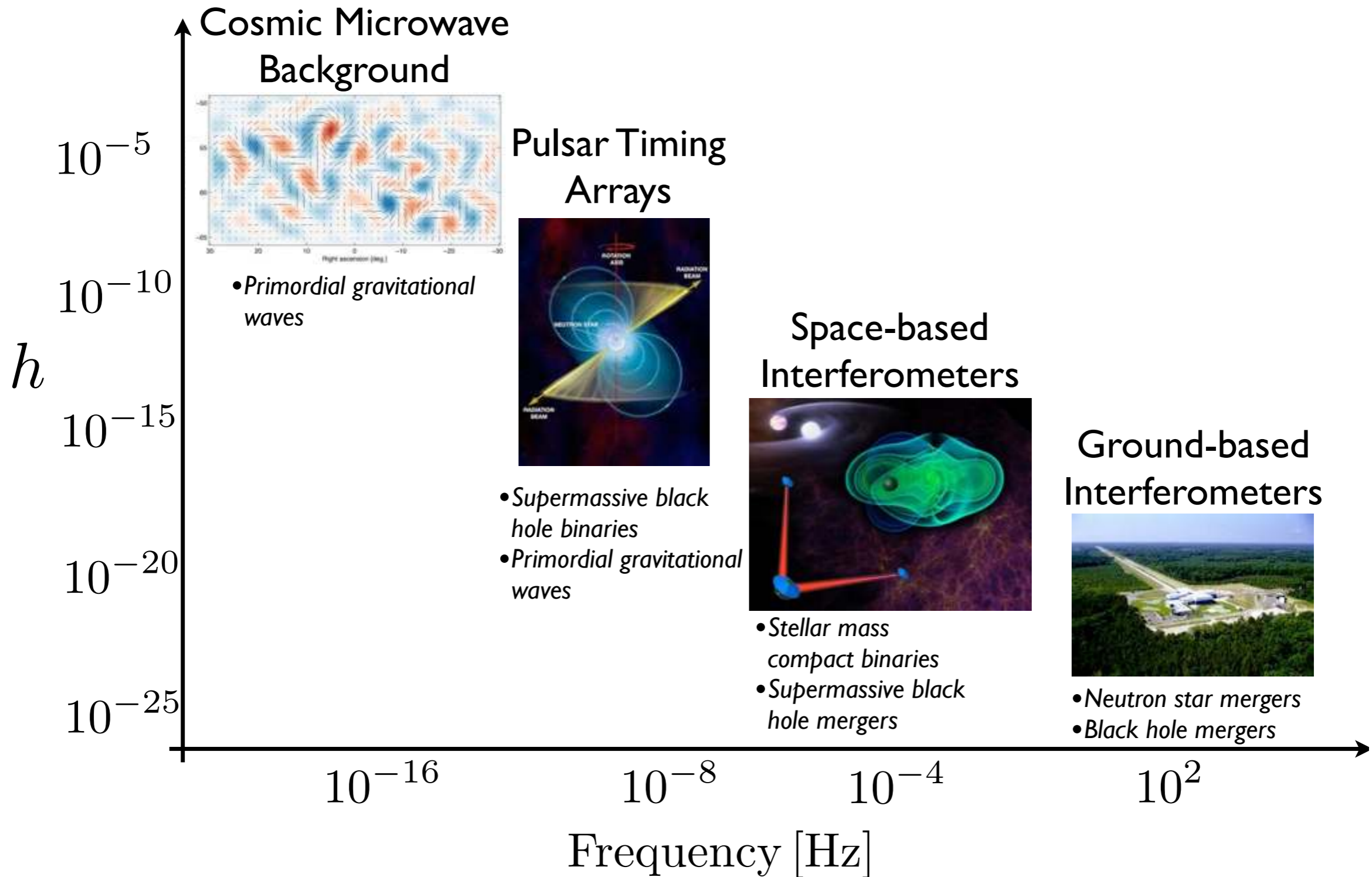
Applications of Pulsar



Ierapetra, Crete

$$f \sim 1/(\text{weeks-years}) (10^{-6} - 10^{-9} \text{ Hz})$$

The big picture of gravitational-wave astronomy



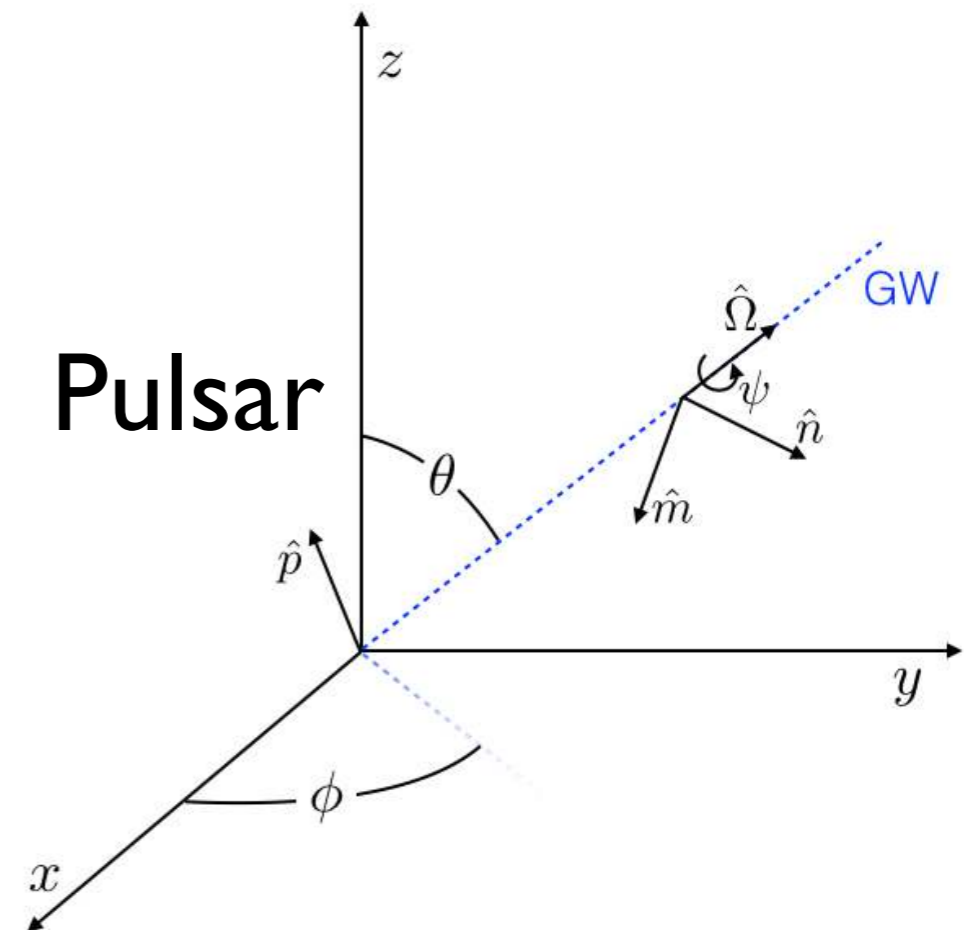
PTR and GWB model

$$h_{\mu\nu}^{TT}(t, z) = h_{\mu\nu}^{TT}\left(t - \frac{z}{c}\right) = \begin{pmatrix} \circ & \circ & \circ & \circ \\ \circ & h_+ & h_\times & \circ \\ \circ & h_\times & -h_+ & \circ \\ \circ & \circ & \circ & \circ \end{pmatrix},$$



Characteristic strain spectrum is:

$$\mathcal{H}_c(f) = \mathcal{A}_{\text{yr}} \left(\frac{f}{f_{1 \text{ yr}}} \right)^\zeta,$$

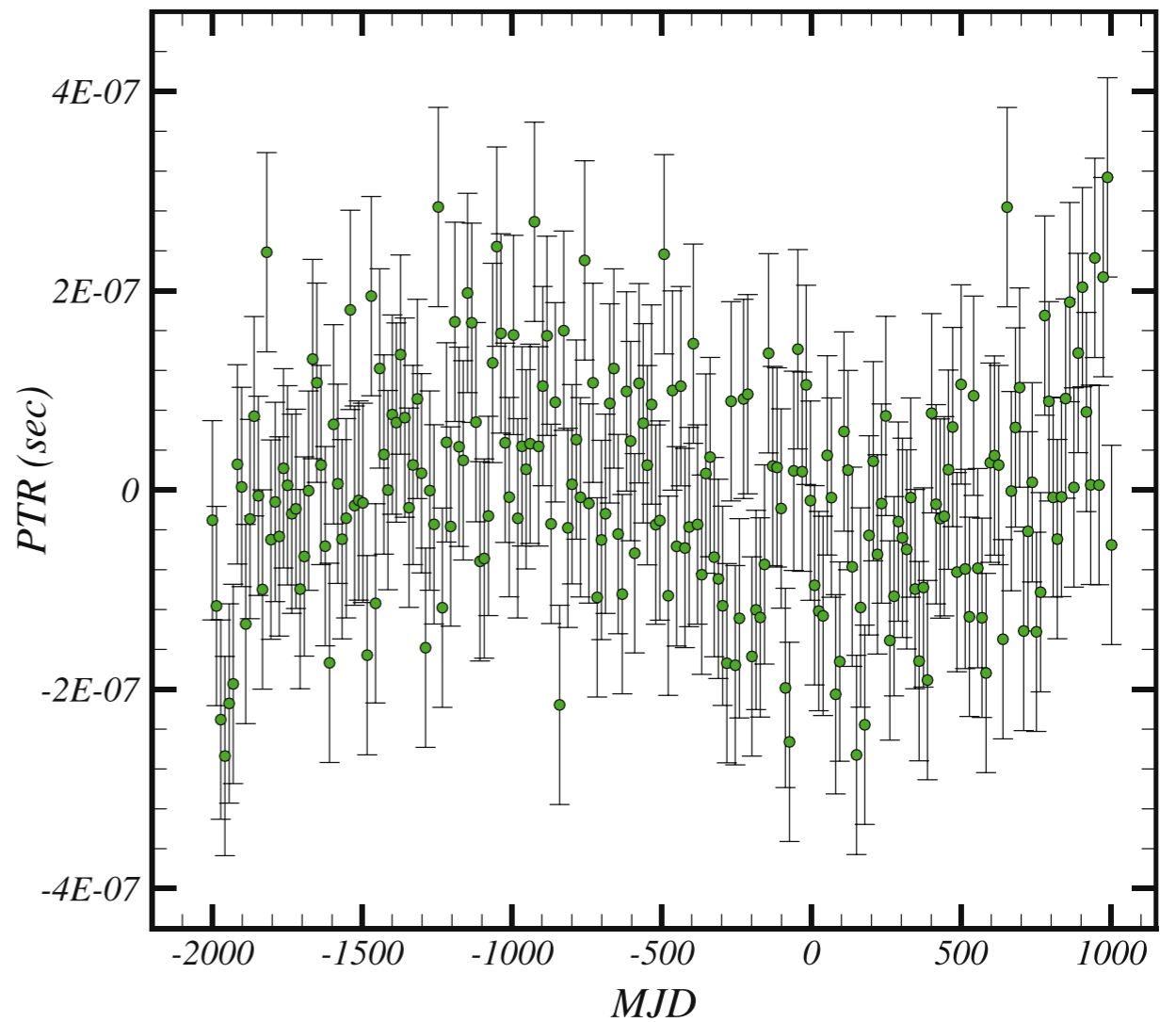
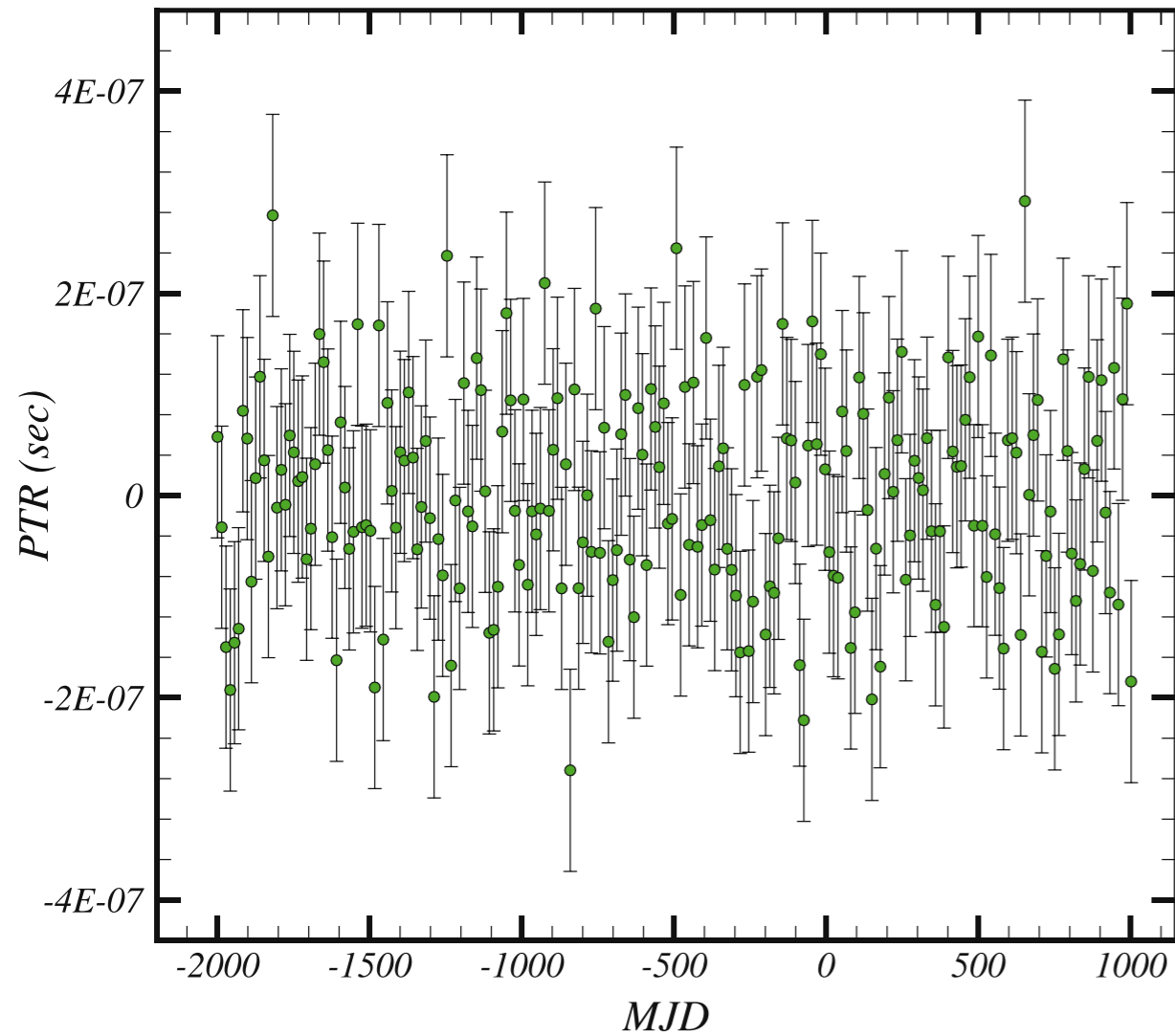


Synthetic Datasets

$$A_{\text{yr}} = 10^{-15}$$
$$\zeta = -2/3$$

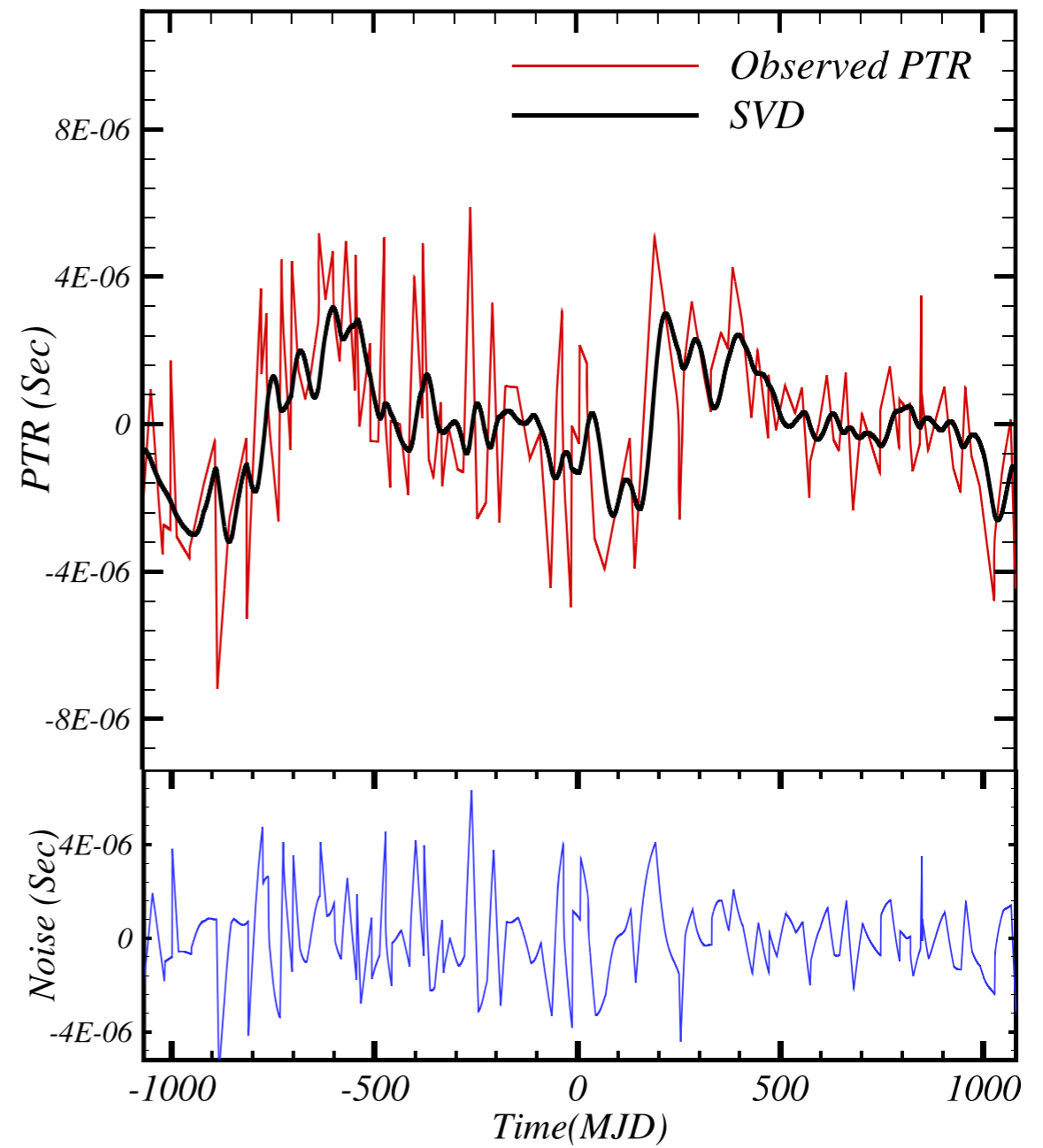
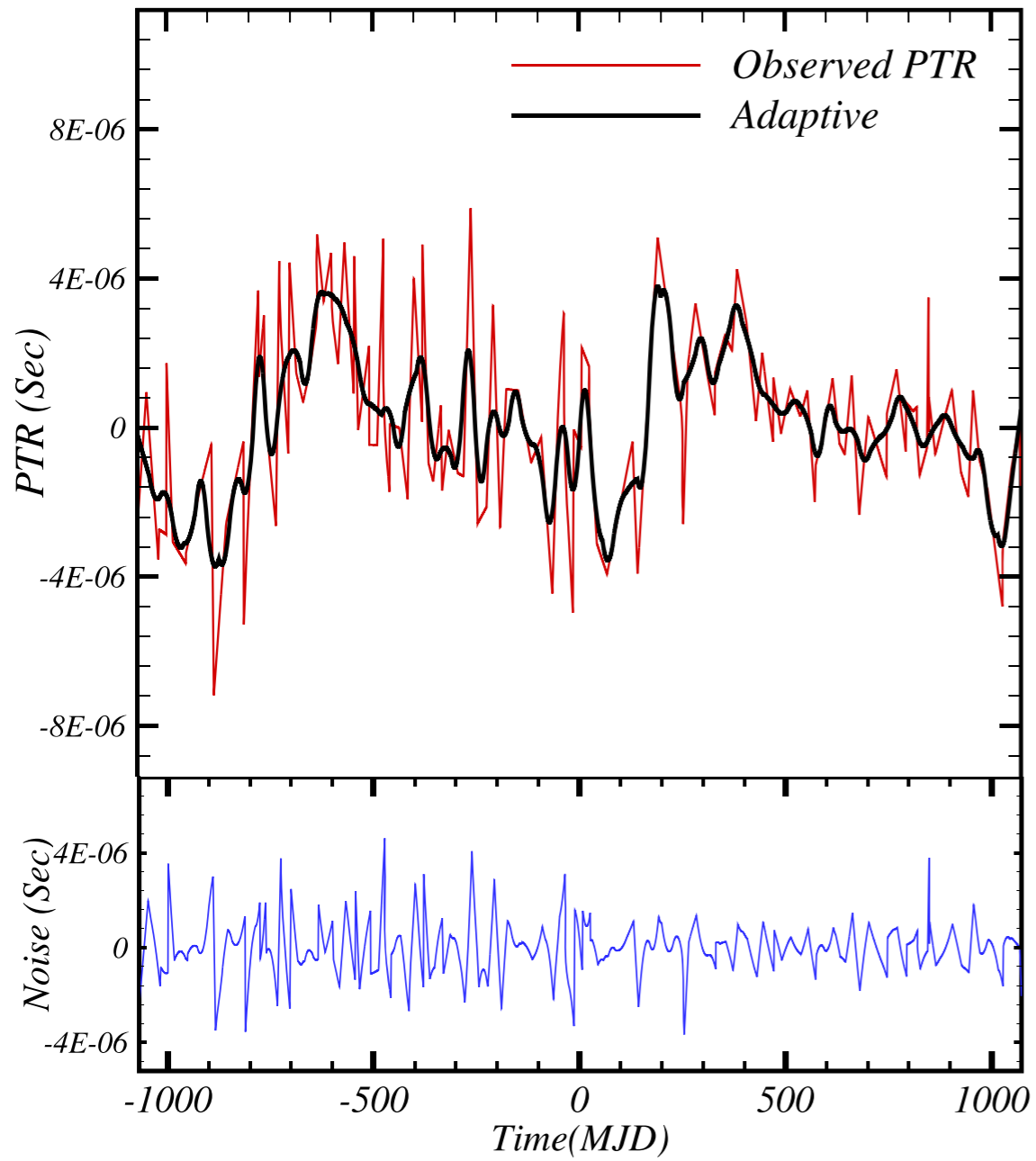
Pure PTR

PTR+GW



TEMPO2 software package

Trend and Noise models



Generalized form of Hellings & Downs (1983)

$$\mathcal{C}_\times(\tau, \Theta_{ab}) = \langle PTR_a(t, \hat{n}_a) PTR_b(t + \tau, \hat{n}_b) \rangle_t$$

$$\Theta_{ab} = \arccos |\hat{n}_a \cdot \hat{n}_b|$$

$$PTR_a(t) = PTR_a^{\text{pure}}(t) + \mathcal{B}_a R_{\text{GWB}}(t)$$

$$PTR_b(t) = PTR_b^{\text{pure}}(t) + \mathcal{B}_b R_{\text{GWB}}(t)$$

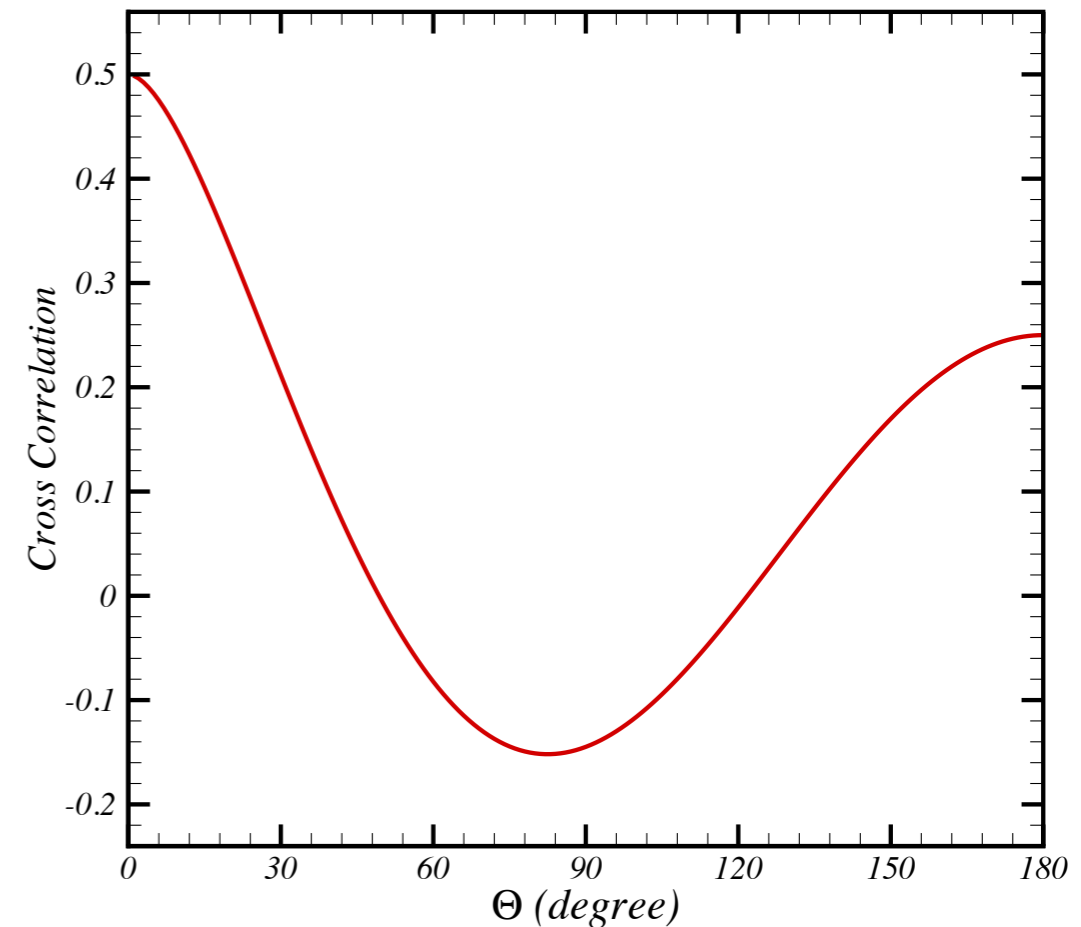
$$\mathcal{B}_i \equiv -\frac{1}{2} \cos(2\phi_i)(1 - \cos(\theta_i))$$

$$\bar{\mathcal{C}}_\times(\tau, \Theta) = \langle \mathcal{C}_\times(\tau, \Theta_{ab}) \rangle_{\text{pairs}} \sim \bar{\Gamma}(\Theta) \times \tau^{\gamma_\times}$$

$$\bar{\Gamma}(\Theta) = \frac{3}{2} \psi \ln(\psi) - \frac{\psi}{4} + \frac{1}{2},$$

$$\psi \equiv [1 - \cos(\Theta)]/2$$

$$\gamma_\times = 2 - 2H_\times = 2 - 2h_\times(q = 2)$$

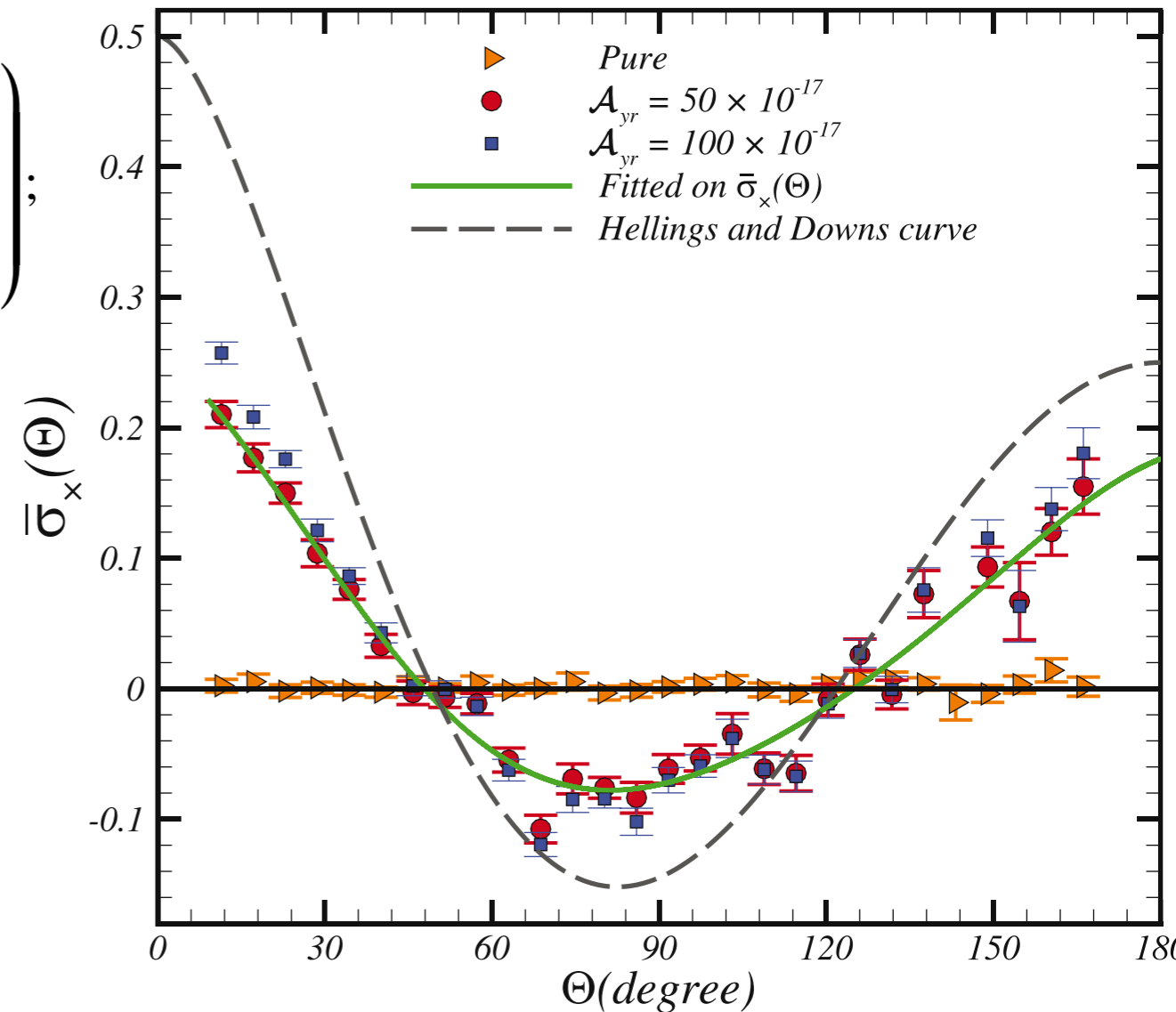


New measure

$$\sigma_{\times}(\Theta_{ab}) \equiv \sum_s \left(\frac{\sum_{\nu=1}^{2N_s} \mathcal{E}_{\times}(s, \nu)}{\sqrt{\left[\sum_{\nu=1}^{2N_s} \mathcal{E}_a(s, \nu) \right] \left[\sum_{\nu=1}^{2N_s} \mathcal{E}_b(s, \nu) \right]}} \right);$$

$$\Theta_{ab} = \arccos|\hat{n}_a \cdot \hat{n}_b|$$

$$\bar{\sigma}_{\times}(\Theta) = \frac{1}{4\pi} \int d\Omega \sigma_{\times}(\Theta_{ab}).$$



4 Strategies for GWB detection

$$1) \Delta h_1(\mathcal{A}_{yr}, \zeta) \equiv \sum_{q=q_{min}}^{q=q_{max}} |\mathcal{G}_{h(q)}(\mathcal{A}_{yr}, \zeta) - \mathcal{G}_{h(q)}(\mathcal{A}_{yr} = 0)|$$

$$\left(\frac{\mathcal{A}_{yr}}{10^{-17}} \right) = a\Delta h_1^2 + b\Delta h_1 + c$$

$$2) \Delta h_2(\mathcal{A}_{yr}, \zeta) \equiv \sum_{q=q_{min}}^{q_{max}} |h(q; \mathcal{A}_{yr}, \zeta) - h_{shuf}(q; \mathcal{A}_{yr}, \zeta)|$$

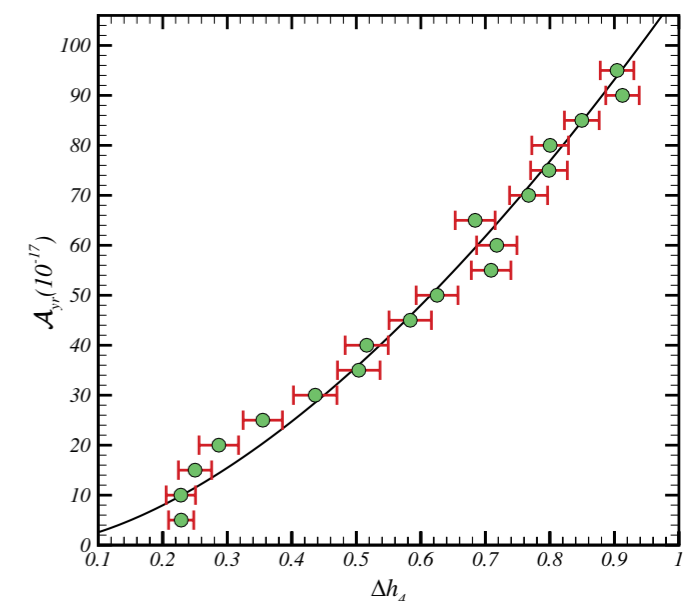
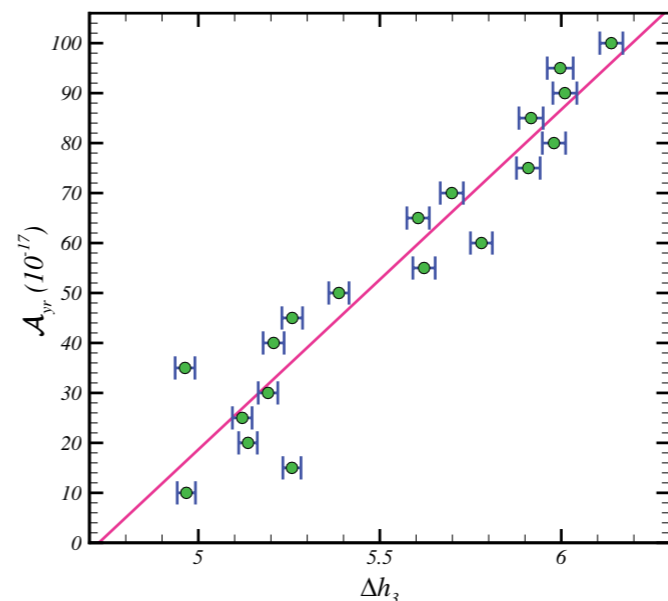
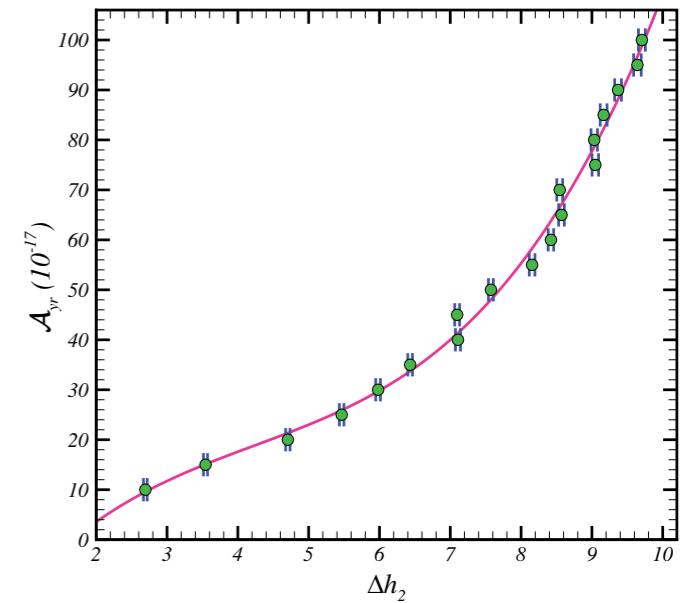
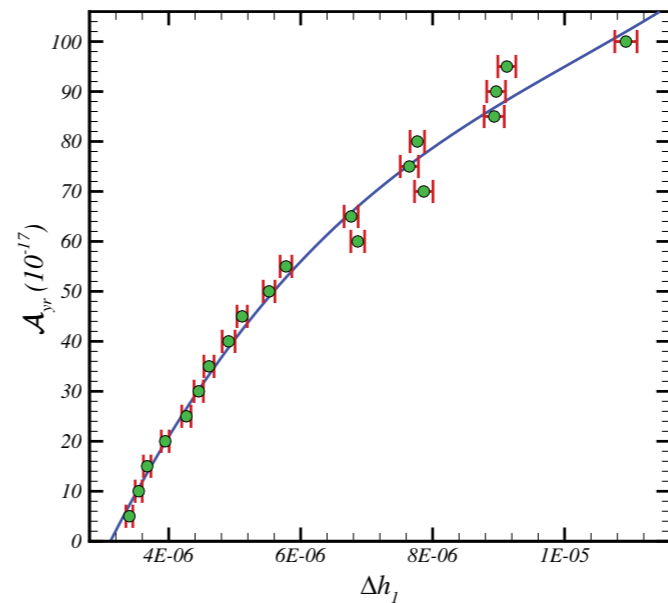
$$\left(\frac{\mathcal{A}_{yr}}{10^{-17}} \right) = a\Delta h_2^3 + b\Delta h_2^2 + c\Delta h_2$$

$$3) \Delta h_3(\mathcal{A}_{yr}, \zeta) \equiv \sum_{q=q_{min}}^{q_{max}} |h(q; \mathcal{A}_{yr}, \zeta) - h_{sur}(q; \mathcal{A}_{yr}, \zeta)|$$

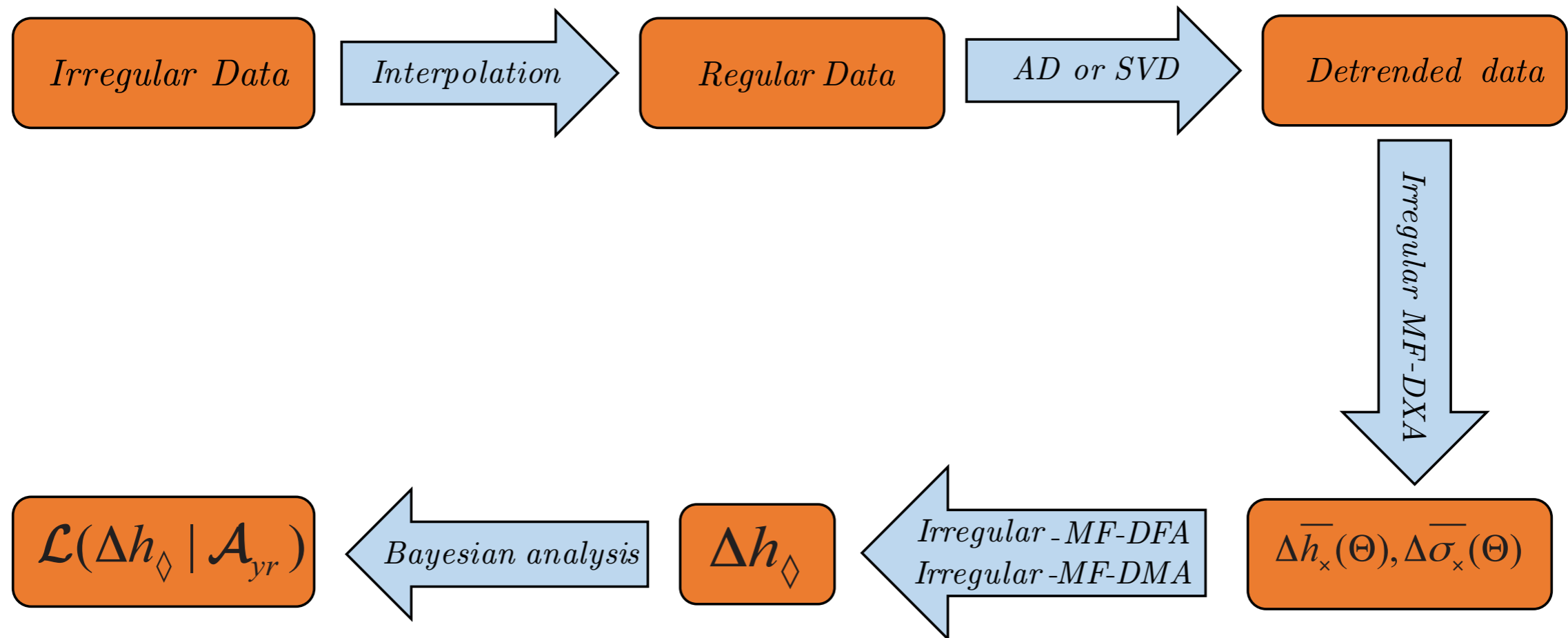
$$\left(\frac{\mathcal{A}_{yr}}{10^{-17}} \right) = a\Delta h_3 + b$$

$$4) \Delta h_4(\mathcal{A}_{yr}, \zeta) \equiv |\Delta\alpha(\mathcal{A}_{yr}, \zeta) - \Delta\alpha(\mathcal{A}_{yr} = 0)|$$

$$\left(\frac{\mathcal{A}_{yr}}{10^{-17}} \right) = a\Delta h_4^b + c$$



Pipeline for GWB detection



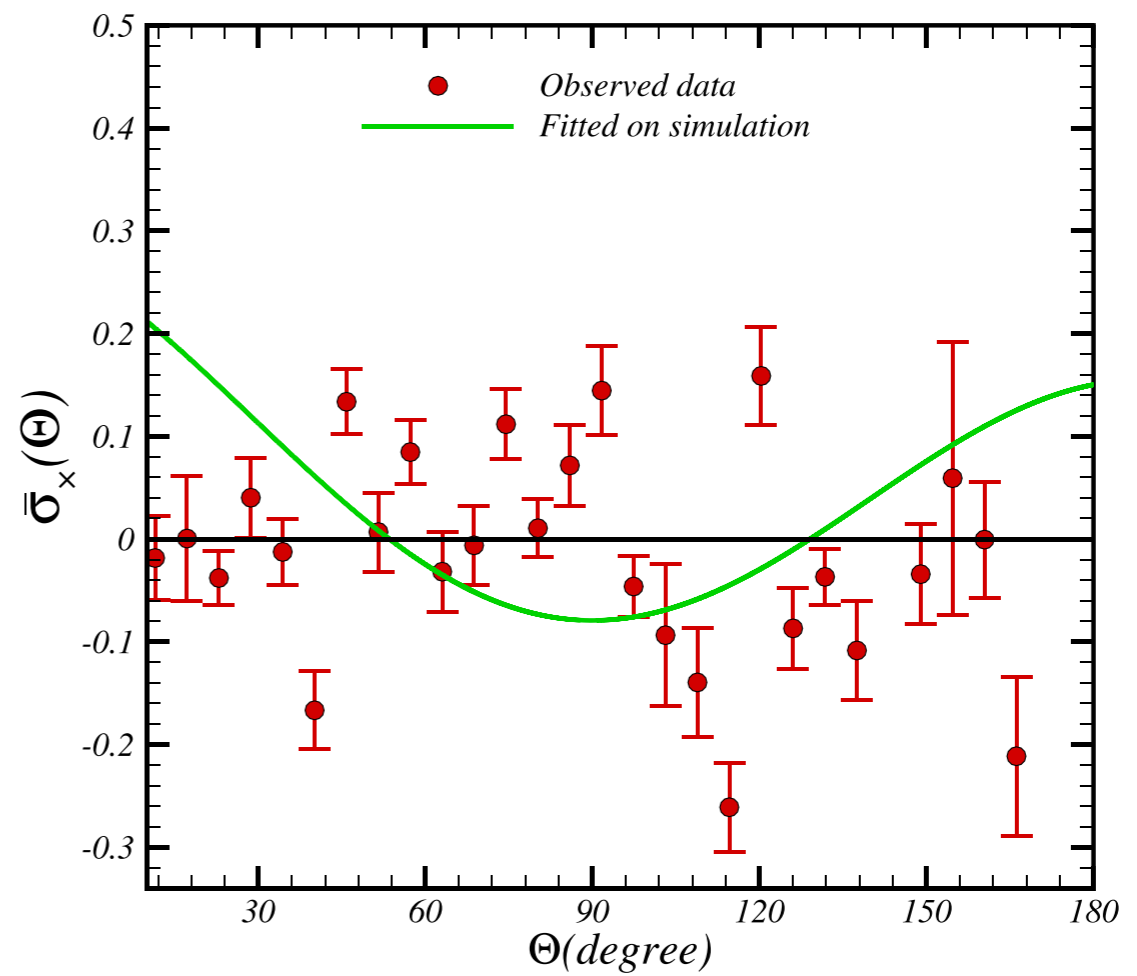
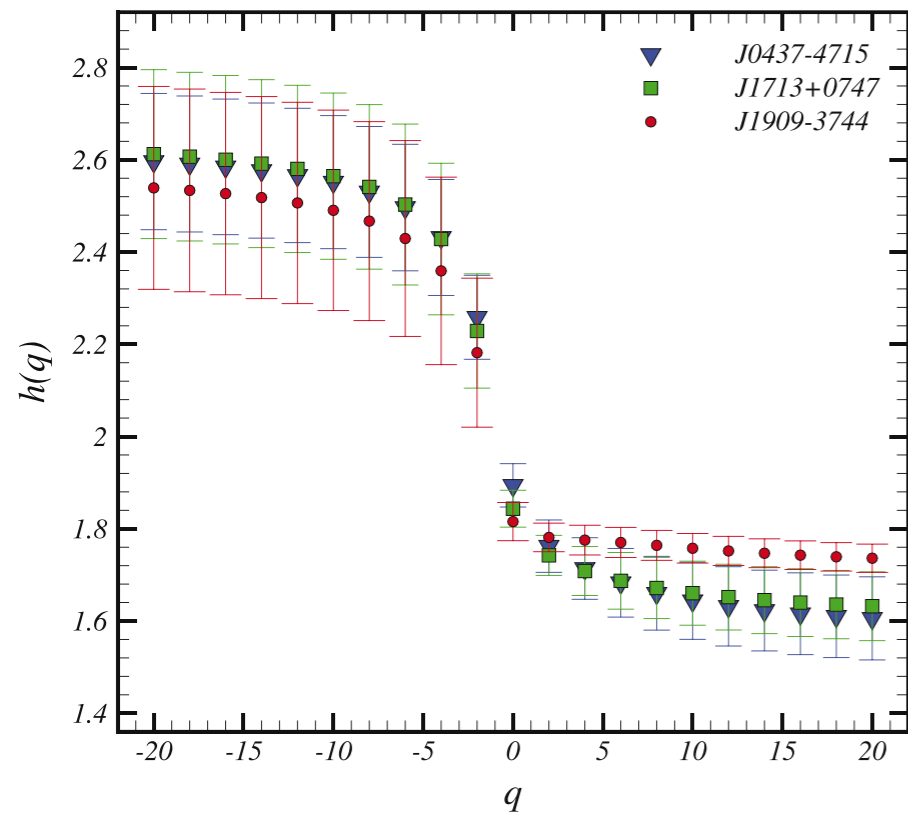
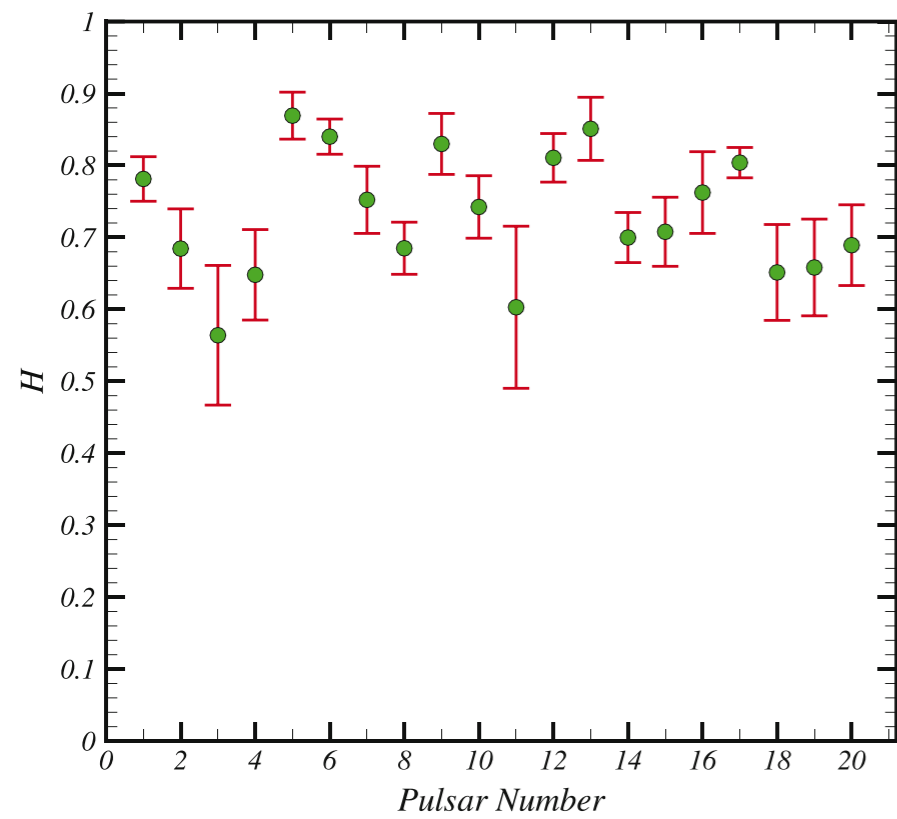
Observed PTR, Parkes Pulsar Timing Array (PPTA)

Table 1

Hurst Exponent, H , Width of Singularity Spectrum, $\Delta\alpha$, Scaling Exponent of Temporal Autocorrelation, γ , rms, Total Time Span (TTS) of Post-fit Timing Residuals, and Upper Limit on Dimensionless Amplitude of GWB of 20 MSPs Observed in PPTA Project

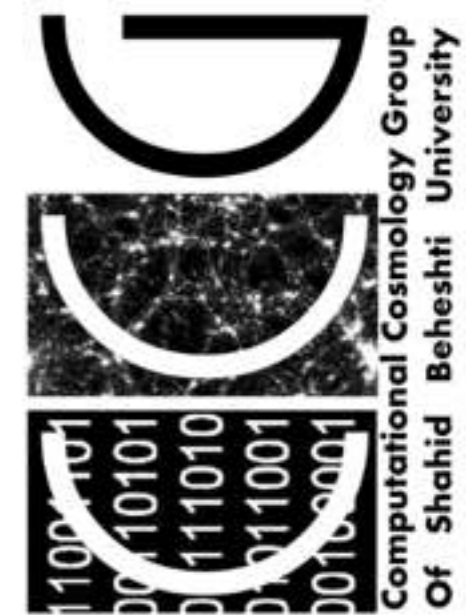
PSR Number	PSR Name	H	$\Delta\alpha$	γ	rms (μs)	TTS (yr)	$\mathcal{A}_{\text{yr}}^{\text{up}}(95\%)$
1	J0437–4715	0.78 ± 0.03	0.89 ± 0.06	-1.56 ± 0.06	0.08	4.76	5.0×10^{-15}
2	J0613–0200	0.68 ± 0.06	1.22 ± 0.04	-1.37 ± 0.11	1.07	5.99	7.0×10^{-15}
3	J0711–6830	0.56 ± 0.10	1.40 ± 0.08	-1.13 ± 0.19	0.89	5.99	6.0×10^{-15}
4	J1022+1001	0.65 ± 0.06	1.04 ± 0.04	-1.30 ± 0.13	1.72	5.88	8.5×10^{-15}
5	J1024–0719	0.87 ± 0.03	1.60 ± 0.03	-1.74 ± 0.07	1.13	5.99	...
6	J1045–4509	0.84 ± 0.02	1.29 ± 0.04	-1.68 ± 0.05	2.77	5.94	...
7	J1600–3053	0.75 ± 0.05	1.34 ± 0.04	-1.50 ± 0.09	0.68	5.93	...
8	J1603–7202	0.68 ± 0.04	1.29 ± 0.05	-1.37 ± 0.07	2.14	5.99	2.5×10^{-15}
9	J1643–1224	0.83 ± 0.04	0.89 ± 0.02	-1.66 ± 0.08	1.64	5.87	...
10	J1713+0747	0.74 ± 0.04	1.20 ± 0.05	-1.48 ± 0.09	0.31	5.71	2.0×10^{-15}
11	J1730–2304	0.60 ± 0.11	1.79 ± 0.04	-1.21 ± 0.23	1.47	5.93	...
12	J1732–5049	0.81 ± 0.03	1.56 ± 0.03	-1.62 ± 0.07	2.22	5.08	2.0×10^{-15}
13	J1744–1134	0.85 ± 0.04	1.52 ± 0.03	-1.70 ± 0.09	0.32	5.87	...
14	J1824–2452A	0.70 ± 0.03	1.26 ± 0.05	-1.40 ± 0.07	2.44	5.75	10.0×10^{-15}
15	J1857+0943	0.71 ± 0.05	1.45 ± 0.02	-1.42 ± 0.10	0.84	5.93	...
16	J1909–3744	0.76 ± 0.06	1.32 ± 0.06	-1.52 ± 0.11	0.13	5.75	6.0×10^{-15}
17	J1939+2134	0.80 ± 0.02	1.25 ± 0.02	-1.61 ± 0.04	0.68	5.88	...
18	J2124–3358	0.65 ± 0.07	1.23 ± 0.04	-1.30 ± 0.13	1.90	5.99	6.0×10^{-15}
19	J2129–5721	0.66 ± 0.07	1.54 ± 0.04	-1.32 ± 0.13	0.80	5.86	7.0×10^{-15}
20	J2145–0750	0.69 ± 0.06	1.29 ± 0.05	-1.38 ± 0.11	0.78	5.99	...

Observed PTR, Parkes Pulsar Timing Array (PPTA)



Eghdami, I., et al., APJ, 864:162 (18 pp), 2018

از توجه شما سپاسگزارم



کارگاه محاسباتی نجوم و کیهان‌شناسی

۲۲ و ۲۳ آبان ۱۳۹۸
دانشگاه شهید بهشتی

تحلیل داده‌های رصدی
دکتر شمس‌الرضا آملان

CosmoMC

اهداف کارگاه:
- آشنایی با کارکرد و کاربرد CosmoMC
- بررسی روش‌های مختلف برای تعیین پارامترهای کیهان‌شناسی با استفاده از CosmoMC
- بررسی روش‌های مختلف برای تعیین پارامترهای کیهان‌شناسی با استفاده از CosmoMC

مدرسین:
- دکتر سید محمدصادق موحّد (دانشگاه شهید بهشتی)
- دکتر حسین مصطفی‌زاده (دانشگاه شهید بهشتی)
- دکتر علی‌رضا وفايي صدر (دانشگاه شهید بهشتی)

مکان: آزمایشگاه میان رشته‌ای این سینا، دانشکده فیزیک، دانشگاه شهید بهشتی
www.gpc.ac/CMC/

کارگاه مدل‌سازی داده

مهیلت ثبت‌نام: ۱۶ اردیبهشت ۱۳۹۷
۲۶ اردیبهشت ۱۳۹۷

Workshop on Data Modeling

آزمایشگاه میان رشته‌ای این سینا، دانشکده فیزیک، دانشگاه شهید بهشتی
In-Situ Multidisciplinary Laboratory, Department of Physics, Shahid Beheshti University

کمیته برگزاری:
- سید محمدصادق موحّد (دانشگاه شهید بهشتی)
- سید علیرضا مهنوی (دانشگاه شهید بهشتی)
- علیرضا وفايي صدر (دانشگاه شهید بهشتی)

موضوعات:
- مدل‌سازی داده‌های نجومی و کیهان‌شناسی
- روش‌های مختلف برای تحلیل داده‌های نجومی و کیهان‌شناسی
- روش‌های مختلف برای تحلیل داده‌های نجومی و کیهان‌شناسی

مکان: آزمایشگاه میان رشته‌ای این سینا، دانشکده فیزیک، دانشگاه شهید بهشتی
http://www.gpc.ac/CMC/

کارگاه آشنایی با کدهای کیهان‌شناسی

CAMB و CosmoMC

۲۷ اردیبهشت ۱۳۹۷

دانشکده فیزیک، دانشگاه شهید بهشتی

مهیلت ثبت‌نام: ۱۶ اردیبهشت ۱۳۹۷

کمیته برگزاری:
- مرصیه فرهنگ (دانشگاه فریبک دانشگاه شهید بهشتی)
- حسین مصطفی‌زاده (دانشگاه شهید بهشتی)
- سید علیرضا مهنوی (دانشگاه شهید بهشتی)
- سید محمدصادق موحّد (دانشگاه شهید بهشتی)
- علیرضا وفايي صدر (دانشگاه شهید بهشتی)

مکان: آزمایشگاه میان رشته‌ای این سینا، دانشکده فیزیک، دانشگاه شهید بهشتی
http://www.gpc.ac/CMC/

هفتمین انجمن نجوم ایران

زمن‌شناسی و مدارها

داده‌های تحلیل رصدی و تطابق مدل‌های کیهان‌شناسی توسط نرم افزار CosmoMC

زمان برگزاری: ۱۲ و ۱۵ بهمن ۹۸
مهیلت ثبت‌نام: ۹۸ و ۳۰ دی ۹۸

مدرسین:
- دکتر سید محمدصادق موحّد (دانشگاه شهید بهشتی)
- دکتر حسین مصطفی‌زاده (دانشگاه شهید بهشتی)
- دکتر علی‌رضا وفايي صدر (دانشگاه شهید بهشتی)

مکان: آموزشگاه میان رشته‌ای این سینا، دانشگاه شهید بهشتی

https://conf.uok.ac.ir/TP12020/
astroconf@uok.ac.ir

سهمین کارگاه یادگیری ماشین در فیزیک

کاربردها در نجوم و کیهان‌شناسی

دانشکده فیزیک، دانشگاه شهید بهشتی

۲۸ و ۲۹ فروردین ماه ۹۸
مهیلت ثبت‌نام: ۱۵ فروردین ماه ۹۸

برخی عناوین:
- آشنایی با اصول یادگیری ماشین
- شبکه‌های عصبی
- آشنایی با تانسورها

کمیته برگزارکننده:
- علی صادقی (دانشگاه شهید بهشتی و پژوهشگاه فیزیک IPM)
- مرصیه فرهنگ (دانشگاه شهید بهشتی)
- سید محمدصادق موحّد (دانشگاه شهید بهشتی و پژوهشگاه فیزیک IPM)
- سید مهدی واعظ‌علائی (دانشگاه تهران و پژوهشگاه فیزیک IPM)
- علیرضا وفايي صدر (پژوهشگاه فیزیک IPM)

مکان: آزمایشگاه میان رشته‌ای این سینا، دانشکده فیزیک، دانشگاه شهید بهشتی
psl.ir

کارگاه یادگیری ماشین در فیزیک

Workshop on Machine Learning in Physics

دانشکده فیزیک دانشگاه شهید بهشتی

۱۰ بهمن ۱۳۹۶

کمیته برگزارکننده:
- علی صادقی
- سید محمدصادق موحّد

مکان: آزمایشگاه میان رشته‌ای این سینا، دانشکده فیزیک، دانشگاه شهید بهشتی

آخرین مهیلت ثبت‌نام برای شرکت در کارگاه: ۳۰ دی ماه ۱۳۹۶

CCGpack

کارگاه آشنایی با کدهای کیهان‌شناسی
CAMB و CosmoMC
 ۲۷ اردیبهشت ۱۳۹۷
 دانشکده فیزیک، دانشگاه شهید بهشتی

مهلت ثبت‌نام: ۱۶ اردیبهشت ۱۳۹۷

کمیته برگزاری:
 مرصیة آرهنگ (دانشکده فیزیک دانشگاه شهید بهشتی)
 حسین مصححی (انجمن فیزیک دانشگاه شهید بهشتی)
 سید علیرضا معنوی (انجمن فیزیک دانشگاه شهید بهشتی)
 سید محمدصادق موجد (دانشکده فیزیک دانشگاه شهید بهشتی و پژوهشگاه دانش‌های بنیادی)
 علیرضا وفاقی صدر (دانشکده فیزیک دانشگاه شهید بهشتی)



کارگاه تحلیل توپولوژیک داده

$$B_k(\psi) \subseteq Z_k(\psi) \subseteq C_k(\psi)$$

$$H_k(\psi) \equiv Z_k(\psi) / B_k(\psi)$$

$$G = \mathbb{Z} \oplus \dots \oplus \mathbb{Z} \oplus \mathbb{Z}_{k_1} \oplus \dots \oplus \mathbb{Z}_{k_p}$$

مخاطبان این کارگاه علاقه‌مندان به:

- همولوژی پایدار
- استخراج ناوردها و ساختارهای توپولوژیک از داده‌ها
- تحلیل داده‌های با ابعاد بالا
- کاربردهای روش‌های داده-محور برای تحلیل سامانه‌های پیچیده

مدرسان کارگاه:
 پویان گودرزی
 بهروز عسکری
 سینا غفوری
 حسین معصومی
 سید محمدصادق موجد

کمیته برگزاری:
 آناهید کیانی
 بهروز عسکری

۱۴ بهمن ماه ۱۴۰۰
 دانشکده فیزیک، دانشگاه شهید بهشتی
 مهلت ثبت نام: ۳۰ دی ماه ۱۴۰۰
<http://ccg.sbu.ac.ir>
[http://www.psi.ir/f/****](http://www.psi.ir/f/)



کارگاه آشنایی با کدهای کیهان‌شناسی
 ۲۳ و ۲۴ آبان
 دانشکده فیزیک، دانشگاه شهید بهشتی

اهداف کارگاه:
 آشنایی با کدهای رایج در کیهان‌شناسی
 آشنایی با ابزارهای تحلیل داده‌های کیهان‌شناسی
 آشنایی با روش‌های آماری در کیهان‌شناسی

مدرسین:
 ۱- سید علیرضا معنوی
 ۲- سید محمدصادق موجد
 ۳- سید علیرضا وفاقی صدر
 ۴- مرصیة آرهنگ

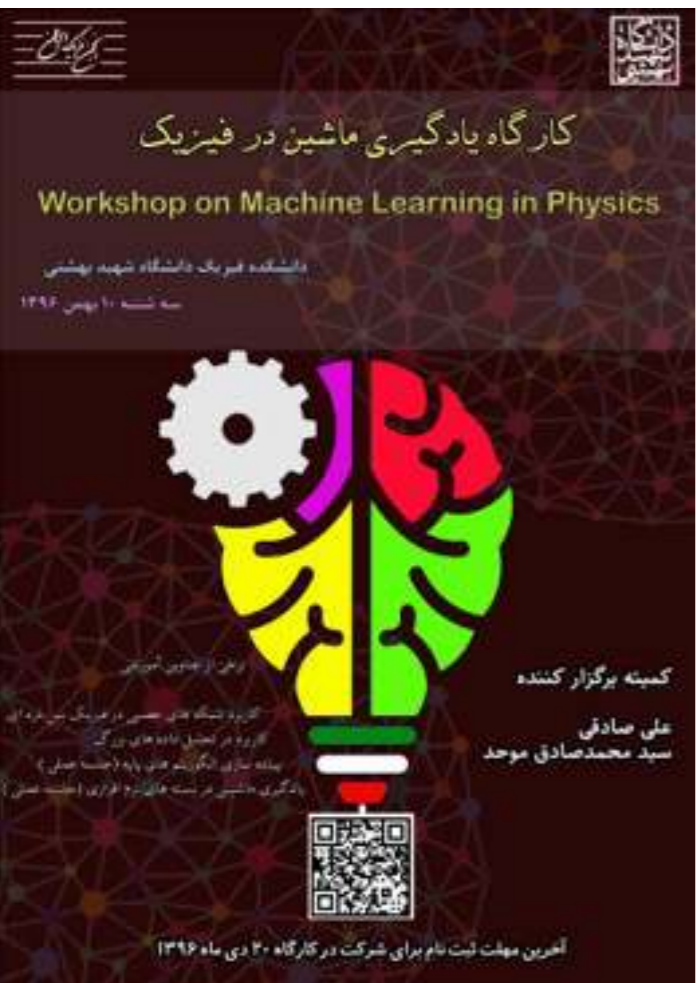


کارگاه یادگیری ماشین در فیزیک
Workshop on Machine Learning in Physics
 دانشکده فیزیک دانشگاه شهید بهشتی
 سه شنبه ۱۰ بهمن ۱۳۹۶

کمیته برگزارکننده:
 علی صادقی
 سید محمدصادق موجد

مدرسین:
 دکتر سید محمدصادق موجد
 (دانشگاه شهید بهشتی)
 دکتر حسین معصومی
 (از دانشگاه مازان رشتگان)
 دانشگاه شهید بهشتی

آخرین مهلت ثبت نام برای شرکت در کارگاه: ۳۰ دی ماه ۱۳۹۶



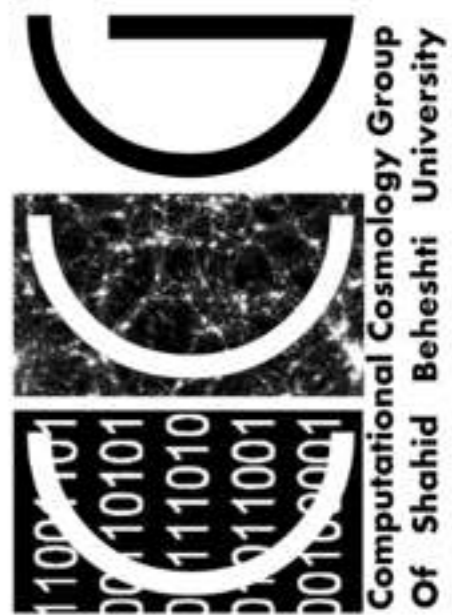
۵ امین
 انجمن
 زمستانی
 مدرسه

زمان برگزاری:
 ۱۲ و ۱۵ بهمن ۹۸
 مهلت ثبت نام:
 ۳۰ دی ۹۸

مدرسین:
 دکتر سید محمدصادق موجد
 (دانشگاه شهید بهشتی)
 دکتر حسین معصومی
 (از دانشگاه مازان رشتگان)
 دانشگاه شهید بهشتی



از توجه شما سپاسگزارم



CCGpack

